

1 руб.



Изложенные вопросы судовой гидроакустики позволяют читателю решать целый ряд практических важных задач анализа и синтеза гидроакустических

средств (ГАС). Проблема анализа ГАС известной структуры сводится

к оценке тактических (функциональных) возможностей личного ГАС в различных условиях

его использования. Итогом анализа является оценка эффективности ГАС при решении возложенных на нее задач в гидроакустических условиях заданных районов Мирового океана; сравнивательная оценка эффективности различных ГАС, решающих сходные задачи; вскрытие причин, снижающих качество

работы исследуемых средств.

Проблема синтеза ГАС связана с выбором лучшего по выбранному критерию варианта системы, т. е. оптимизацией параметров проектируемого или эксплуатируемого средства.

А.П. Евтюков  
В.Б. Митько

# ИНЖЕНЕРНЫЕ РАСЧЕТЫ В ГИДРОАКУСТИКЕ

БИБЛИОТЕКА -  
ИНЖЕНЕРА -  
ГИДРОАКУСТИКА

Рецензент канд. техн. наук А. П. ГРЕШНИКОВ

Редакционная коллегия: В. И. БАБИЙ, П. К. ЗУБАРЕВ, А. П. ЕВТЮТОВ, А. Е. КОЛЕСНИКОВ, Е. А. КОРЛИН, А. П. ДЯЛИКОВ, В. Ф. МАРТЬЯНЮК, В. В. ОЛЬШЕВСКИЙ, Л. В. ОРЛОВ, А. П. ПРОСТАКОВ, В. А. САПРЫКИН, Г. М. СВЕРДЛИН, Ю. Ф. ТАРАСЮК /ответственный редактор/, В. И. ТИМОШЕНКО

С каждым годом человек все глубже проникает в недра Мирового океана, изучая и открывая для себя новые возможности его использования. Важную роль в изучении Мирового океана играют гидроакустические средства и системы, применяемые в народном хозяйстве для обеспечения рыболовства, поиска и разработки полезных ископаемых, в научных исследованиях физики океана и в военном деле.

Во всех этих применениях информация об объекте исследования наиболее полно добывается с помощью гидроакустических информационных систем, проблема разработки и эксплуатации которых в настоящее время привлекает внимание широкого круга специалистов, различного профиля.

Разработка и эффективная эксплуатация гидроакустических информационных систем предполагает знание особенностей теории и практики излучения и приема гидроакустических сигналов с учетом всего комплекса определяющих факторов.

Судовая гидроакустика как специализированная отрасль науки и промышленности развивалась немногим более полувека тому назад. В нашей стране благодаря трудам советских ученых и инженеров Гутина Л. Я., Бреховских Л. М., Андреева Н. Н., Сухаревского Ю. М., Лысанова В. П., Тюрина А. М., Стапкевича А. П. были разработаны основные вопросы теоретической и прикладной гидроакустики.

По сравнению с первым изданием данная книга дополнена и переработана с учетом последних достижений в области инженерных приложений. По сравнению с первым изданием данная книга дополнена и переработана с учетом последних достижений в области инженерных приложений.

Общий принцип изложения материала соответствует структуре гидроакустической информационной системы, основными элементами которой являются устройства формирования и излучения сигналов в воду, устройства приема и обработки информации и канал передачи, в качестве которого выступает морская среда.

В первой главе рассмотрены прикладные вопросы теории направленного действия акустических антенн судовых гидроакустических средств (ГАС). Вторая глава посвящена вопросам помехоустойчивости

**Евтухов А. П., Митко В. Б.**  
**Е27 Инженерные расчеты в гидроакустике.** – 2-е изд., перераб. и доп.– Л.: Судостроение, 1988. – 288 с.; ил. – /Библиотека инженера-гидроакустика/.  
ISBN 5-7355-0017-1

Изложены основные прикладные вопросы судовой гидроакустики, про-

стежено формирование и излучение сигналов в водную среду. Рассмотрены устройства приема и передачи информации, по сравнению с первым изданием („Примеры инженерных расчетов в гидроакустике”, 1981 г.) расширена но-

менкодиаграмма рассматриваемых антенн и приемных устройств.

Для инженеров-гидроакустиков.

**ББК 32.875**  
**Е 275140300-064** 38-88  
048 (01) -88

© Издательство „Судостроение”, 1981  
ISBN5-7355-0017-1  
© Издательство „Судостроение”, с изменениями

и определения оптимальных структур обработки гидроакустической информации. Особенности распространения акустических сигналов в окрест расстояния в третьей главе. В четвертой приведены судовые ГАС с учетом реальных гидроакустических условий.

Главы в методическом отношении построены одинаково. В начале главы рассмотрены основные теоретические положения, в конце поместены задачи и расчеты различной степени трудности. В ряде случаев решенные задачи приведены полностью, в некоторых – только ответы. Авторы предлагают читателю изысканные формулы, спиральные таблицы и комоды для любопытных вопросов, правила одновременного расчета методик и программы, нацеленные широкое применение в инженерной практике.

Ряд фундаментальных и технических характеристики и служит для иллюстрации основных вспомогательных соотношений.

В конце книги приведена общая библиография, получающаяся кото-рой читатель может углубить свою знания по интересующим его вопросам гидроакустики. Все критические замечания и пожелания просям направлять по адресу:

с/у 191065, Ленинград, ул. Гутула, 8, издательство „Судостроение“.

## Глава I.

### НАПРАВЛЕННОСТЬ СУДОВЫХ АКУСТИЧЕСКИХ АНТЕНН

#### § 1.1. Параметры характеристикии направленности акустических антенн

Эффективность акустических антенн (АА), применяемых в судовых гидроакустических средствах (ГАС) различного назначения определяется параметрами, характеризующими преобразование электрической энергии, подавляемой к антенне, в акустическую, а также определяющими напряженность стоянки. К первым параметрам относят: электрикоакустический КПД, частотную характеристику, внутреннее сопротивление и коэффициент излучения, чувствительность в режиме приема и т. д. Вторая группа параметров не зависит от материала АА, и определяется лишь ее конструкцией и позволяет оценить возможность ГАС по угловому разрешению полюсовых центров.

Направленность АА проявляется, если размеры акустического преобразователя больше рабочей длины волны, а также если излучение (пра-вом) производят группы преобразователей. Это утверждение относится к антенне полного диапазона, формируемого АА по склону под давлением явлений скользящим. Применение линзовых вех горных полей, например колебательной скорости или уско-рения частиц среды, обеспечивает направленный прием при других соотношениях размеров приемника и рабочей длины волн. Направленность АА снижает помехи при приеме акустических сигналов и концепциями акустической энергии при излучении. Закономерность изменения в пространстве рассматриваемой физической величины (излучения, интенсивности) в зависимости от направления описывается характеристикой направленности. Описание характеристики направленности обычно выражено графически, в фиксированной системе координат, или применением акустических волн в определенной плоскости и при фиксированной частоте излучения. Диаграмма направленности (ДН) в приемном режиме определяет зависимость выходного напряжения АА от угла прихода акустических колебаний. ДН приемника и излучателя, имеющих одинаковые размеры и рабочие частоты, одинаковы, что следует из „правил вазимости“.

Понятие ДН соответствует давлению полю, под которым понимают поле на таком расстоянии, где в однородной беспротяженной среде интенсивность звука спадает обратно пропорционально квадрату расстояния, т. е. по сферическому закону. Эту область называют зоной дифракции

Франгофера, и для плоского излучателя расстояние до ближней границы определяется соотношением

$$r \approx 2d^2 \lambda^{-1}, \quad (1.1)$$

где  $d$  – наибольший линейный размер преобразователя;  $\lambda$  – длина волны акустического сигнала. На меньших расстояниях акустическое поле в значительной степени имеет случайный характер, так как наблюдается «переворот» если АА является плоской нефокусированной. Для фокуса в большинстве случаев используется пространственная ДН, отнесенную к ее заземлению в направлении максимального уровня наблюдаемой физической величины:

$$R(a, \varphi) = A(a, \varphi)/A_{\text{плак}}, \quad (1.2)$$

где  $R(a, \varphi)$  – нормированная ДН.

Очевидно, что значение нормированной ДН лежит в пределах от 0 до 1. При практических расчетах, как правило, представляют интерес не обобщенная, т. е. эквивалентная интенсивность излучения, а интенсивность, давления или коэффициент интенсивности от напраления в рассматриваемой плоскости. В этом случае плоскостная ДН описывается кривой, соответствующей сечению про странственной ДН той плоскости. Обычно берут сечения, проходящие через направления, где сигнал максимален, а направления в сечущей плоскости выражают через заземленную угловую  $\varphi$  и угол пикапа  $a$ .

Для многих преобразователей пространственная ДН представляет собой поверхность, образованную зрачком плоской ДН вокруг некоторой оси, называемой осью акустической симметрии. Эта ось может сопадать с направлением максимума сигнала ( круговой плоскости получателя), быть перпендикулярна ему ( радиально пульсирующий цилиндр) либо находиться под некоторым углом к нему (групповая компонентированная антенна).

ДН по давлению (напряжению)  $R_D(a, \varphi)$  связана с ДН по интенсивности (мощности)  $R_I(a, \varphi)$  квадратичной зависимостью, т. е.  $R_D(a, \varphi) = R_I^2(a, \varphi)$  для

$$R_P(a, \varphi) = \frac{p(a, \varphi)}{p_{\text{плак}}}; \quad R_I(a, \varphi) = \frac{I(a, \varphi)}{I_{\text{плак}}} = \frac{p^2(a, \varphi)}{p_{\text{плак}}^2(a, \varphi)}. \quad (1.3)$$

Отсюда следует, что при использовании ДН по интенсивности отсутствует информатика о фазовых соподчинениях АА, поэтому часто азимутическое выражение и грацифическое изображение ДН находят по давлению (напряжению) и строят фазовую ДН.

Фазовая ДН  $\Psi(a, \varphi)$  определяет зависимость фазы поля (направление фазы акустического излучения) от углов  $a, \varphi$  при фиксированном расстоянии от заземленной координаты. В сферической системе координат уравнение поверхности фазовых фаз имеет вид

$$\psi(a, \varphi) = \frac{[\Psi(a, \varphi) - \alpha_0]}{k_n}, \quad (1.4)$$

где  $k_n$  – волновое число в воде,  $\alpha_0$  – некоторая постоянная величина. ДН АА с фазовым центром в начале координат совпадающая ДН по давлению показана на рис. 1.1, а и фазовая ДН на рис. 1.1, б. Фаза поля в симметричных лепестках отличается на  $\pi$ .

Направление максимального излучения или прямая называется акустической осью антенны; для линейных плоских антенн она лежит под прямым углом к линии их плоскости. Ориентацией ДН можно управлять непосредственно механическим поворотом АА либо электрическим путем включение поступательного или параллельного с каждым лепестком АА соответствующих фазоизменяющих листов (для узкополосных АА) или специальной эмульсии (для широкополосных АА), которая не беспечивает поворот (компенсацию) акустической оси в нужном направлении. В первом случае ДН называют естественной, а во втором – искусственно, и антенне – компенсированной.

Обычно ДН строят в топливной или прямоугольной системах координат, как показано на рис. 1.2, откуда можно определить основные параметры, характеризующие направленность АА: остроту направленного действия, остроту максимума число направлений и величину дополнительных максимумов, чистоту и направления добавочных максимумов. Важными параметрами определяющими конфигурацию ДН, являются также коэффициент концентрации, коэффициент усиления АА, коэффициент помехоустойчивости, эффекты поглощения АА, коэффициент использования пикапа, апертура.

**Остроота направленного действия (ОНД).** определяется углом  $\theta_0$ , охватывающим основной максимум ДН. При этом угол между максимумом  $\theta_0$ , и тем, выше ОНД. Этот угол определяется либо по графическому представлению ДН между направлением максимальных значений основного лепестка ДН, либо из азимутального описания для конкретной АА.

Каждому выражению для ДН плоской излучающей системы с радиометрическим представлением амплитудно-коэффициентной скро-

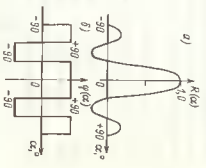


Рис. 1.1. ДН антенны с фазовым центром в начале координат: а – по давлению; б – фазовая ДН

a)

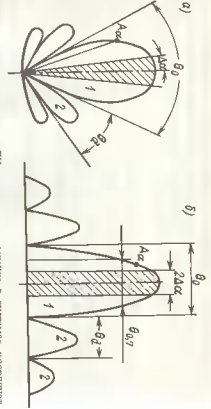


Рис. 1.2. Поверхностная ДН антены и ее сечения в системах координат a – полярной; б – прямоугольной  
1 – полюсный максимум ДН; 2 – дополнительные максимумы;  $\theta_0$  – угол, характеризующий остроту направленности ДН при излучении ДН по направлению к центру максимальной интенсивности;  $A_d$  – значение ДН по направлению к центру максимальной интенсивности.

$$R_p(a) = 1/S \int_S \cos(kx \sin \alpha) dS, \quad (1.5)$$

где  $S$  – площадь поверхности АА;  $k$  – волновое число;  $x$  – координата С ОДН, испроравленно связаная разрешающей способностью АА по направлению, под которым принимают угол  $\Delta\theta$  от ее прямой оси, соответствует различению целей по угловому координате, т. е. Им различение определяется соответствием антеннатором. Этот угол определяется в большинстве практических случаев между направлениями максимума ДН и направлением на объект излучения, при котором  $R_p(a) = 0,707$  или

$$R_p(a) = 0.5. \quad (1.6)$$

**Острые максимумы (ОМ)** определяются углом диагонального лепестка ДН, в пределах которого падающая система излучения направлена к излучающей системе приемника в соответствующей физической величине. Угол определяет точность поглощания в соответствующей плоскости. Значение же замирания от фронта ДН в области каждого из ОМ определяется методом поглощения импульса излучения. Угол  $\gamma$  соответствует некоторое относительное изображение интенсивности  $\eta_I = \Delta I/I_{\text{пик}}$  или давление  $\eta_P = \Delta P/P_{\text{пик}}$ . Соответствия между величинами  $\eta_I$  и  $\eta_P$  можно найти, пользуясь нормированными значениями интенсивности и давления в направлении ДН:

$$R_p(a) = 1 - \nu_I; \quad R_p(a) = 1 - \nu_P. \quad (1.7)$$

Учитывая соотношение (1.3), можно получить  $\nu_I \approx 2\nu_P$ . Общим выражением для  $D$  в случае поиска АА с равномерным распределением АМ, липидом к излучающей поверхности является

где  $J_2 = \int_S x^2 ds$  – момент инерции плоской фигуры площадью  $S$  относительно оси  $Oz$ , совпадающей с направлением осязного максимума ДН

Для компактной АА, т. е. для системы, у которой ДН повторяется на угол компонентами  $\theta_0$ , величина ОМ спада стека от направления главного лепестка будет равна нулю. Это обусловлено несимметричностью ДН при повороте (компактными). Нахождение ОМ для компактных типов АА возможно посредством определения момента инерции  $J_2$  и использования выражения (1.6) при расположении в ряде Фуко, описываемых ДН той или иной АА.

**Коэффициент концентрации (КК)** характеризует абсолютное значение нормированной (мощности) в диапазоне к коэффициенту направленной излучаемости (коэффициента) в зависимости от направления излучения и приема для однократной АА (ДН). КК, как правило, излучение и приема для однократной АА (ДН). КК в направлении главного лепестка ДН, то говорят о ееем коэффициенте концентрации, под которым понимают отношение направленности поля, создаваемого на правленной АА в направлении главного лепестка ДН на некоемом расстоянии, к значению интенсивности поля, создаваемого ненаправленной (изотропной) антенной на том же расстоянии в предположении, что излучаемые акустические мощности обеих АА одинаковы:

$$\gamma_0 = I_{\text{нап}} / I_{\text{ср}}. \quad (1.7)$$

КК по направлению любого другого лепестка ДН связан с основным КК соотношением

$$\gamma(a, \varphi) = \gamma_0 K_c^2(a, \varphi). \quad (1.8)$$

В практическом режиме для условной изотропности акустического поля КК определяется отношением мощности сигнала на выходе направляемой АА к мощности сигнала на выходе направляемой АА в направлении максимума главного лепестка ДН.

Если на вход приемника АА действует изотропная помеха дальнего поля, то электрическая мощность помехи на выходе направляемой АА остается в  $n$  раз по сравнению с направлением. Для компактных АА  $\gamma(a, \varphi)$  зависит от направления компоненты поля. Число связь между КК и пространственной ДН определяется выражением

$$\gamma_0 = \frac{4\pi}{2\pi} \int_0^\pi d\varphi \int_0^{2\pi} K_c^2(a, \varphi) \sin a da. \quad (1.9)$$

Когда ось максимума пространственной ДН совпадает с осью акустической симметрии или перпендикульна к ней и значение ДН не зависит от азимутального угла  $\varphi$ , выражение (1.9) упрощается и принимает вид

$$\gamma_0 = \frac{2}{\pi} \int_0^{\pi} R_p^2(\alpha) \sin \alpha d\alpha. \quad (1.10)$$

При экспериментальных исследованиях снятие пространственной ДН представляет значительные трудности, поэтому, как правило, снимают ДН в двух взаимно перпендикулярных плоскостях, а результатуирующую определяют расчетным путем по формуле

$$R(a, \varphi) = R(a) R(\varphi). \quad (1.11)$$

Для  $R(a)$  и  $R(\varphi)$  ДН в вертикальной и горизонтальной плоскостях, соответственно. При этом для КК, определенного с учетом только осевой моды максимума ДН, как следует из (1.9) и (1.11), справедливо выражение

$$\gamma_0 = \frac{4\pi}{\int_{-\pi/2}^{\pi/2} R_p^2(\varphi) d\varphi} \int_{-\pi/2}^{\pi/2} R_p^2(a) \cos a d\alpha. \quad (1.12)$$

Учитывая, что в выражении (1.12) интегралы соответствуют некоторым фиксированным значениям углов  $a$  и  $\varphi$  (в градусах), приложенная система КК может быть произведена по формуле

$$\gamma_0 = 41300/a_1, \quad (1.13)$$

а с учетом того, что в горизонтальной и вертикальной плоскостях по уровню 0,707 углы  $\varphi$  и  $a$  оказываются, как правило, меньше углов  $\varphi_1$ ,  $a_1$ , то значение выражения (1.13) получают приближенно равным

$$4.10^4. \quad (1.14)$$

В ряде случаев экспериментальные оценки заложения КК можно определить тем, что в выражении (1.13) не учитывается отсек энергии боковых лепестков. С учетом бокового излучения выражение для КК имеет вид

$$\gamma_0 = \frac{a_1}{1 + R_{\text{бок}}^2 \gamma_0}, \quad (1.14)$$

где  $R_{\text{бок}}$  — нормированная ДН в области дополнительных максимумов.

Если промежуточное пространственной ДН и плоскостями, проходящими через ось основного максимума, и если получающие плоскости ДН обладают осевой симметрией, то КК можно определить по следующей приближенной формуле:

$$\gamma^{-1} = n^{-1} (\gamma_1^{-1} + \gamma_2^{-1} + \dots + \gamma_n^{-1}) \quad (1.15)$$

Дополнительные максимумы определяют уровни бокового излучения и уровень помех при приеме. Их величина, направление и число зависят от размеров и формы АА.

Доброупругие максимумы — это дополнительные максимумы, по amplitude равные основному. Наличие дополнительных максимумов приводит к необходимости испытования и характеризует лишь для дискретных АА. Их чистота и направление определяются размерами АА и расстояниями между ее элементами.

**Коэффициент усиления АА** характеризует отношение акустической мощности  $P_a$  излучаемой АА в единичном телесном угле к АА, генерирующей единичную электрическую мощность  $P_e$ , подобную АА, генерирующую единичную акустическую мощность. Он связан с КК единичной электрической мощности КИЛ, т. е. учитывает потери в АА:

$$G(a, \varphi) = \eta_0 \gamma(a, \varphi). \quad (1.17)$$

Аналогичным образом определяется коэффициент усиления АА в режиме приема. Коэффициент усиления, как и КК, зависит от направления компонции.

**Коэффициент помехоустойчивости** для приемной АА определяется выражением в отношении сигнал/помеха по интенсивности или по мощности на выходе направленной АА относительно отношения сигнал/помеха по интенсивности или по мощности на ее входе для единой полосы частот:

$$\kappa = (\delta/N)_{\text{вых}} / (\delta/N)_{\text{вх}}. \quad (1.18)$$

В знаменателе выражения (1.18) при условии недирективности лепестков грунтовой АА можно брать отношение сигнал/помеха на выходе одного элемента в ряде практических случаев, используя логарифмический масштаб:

$$\text{коэф. } 10 \log (S/N)_{\text{вых}} - 10 \log (S/N)_{\text{вх}}. \quad (1.19)$$

Коэффициент помехоустойчивости, в отличие от КК, зависит не только от свойств АА, но и от свойств поля помех. Только в частном случае, когда поля помех линейного поля, имеет место соотношение  $\kappa = 70$ .

**Коэффициент использования площади антенн** характеризует эффективность АА с приемозаданием распределенным поля по ее апертуре АА и определяется как отношение эффективной площади апертуры к реальной площади антены:

$$\sqrt{7 \text{ мкв}} \cdot 2 \text{ мп.} \quad (1.16)$$

$$\sigma = S_{\text{A}, \Phi} / S \quad (1.20)$$



Под апертурой А-А понимают наибольшую плоскую поверхность, образованную проекцией поверхности А-А на плоскость, содержащую линию А-А.

Рис. 1.3. Спектр сигнала акустических антенн со сплошным участком апертуры А-А (зарезанный и рупорный) и интервалом  $f_1 \dots f_2$ . На некоторой плоской поверхности, через которую проходит акустическая энергия, где заштрихована область с данной антенной. Для плоских А-А на поверхности являются и их апертуры. Для

плоского участка апертуры А-А (зарезанный и рупорный) имеется некоторое обозначение. Так, в случае дискретного спектра частот выражение для плоскостной общей ДН можно представить в виде

$$\gamma_0 = \gamma_0 \max, \quad (1.21)$$

где  $\gamma_0 \max$  — максимальный КК для А-А с площадью, определяемой ее геометрическими размерами.

Параметры, характеризующие направленность акустических антенн при приеме и излучении сигналов частот (что характерно для излучения сложных сигналов, шумогенерации и т. п.), аналогичны вышеуказанным для монохроматического сигнала, однако поскольку их расчет имеет некоторое особенность, так, в случае дискретного спектра частот выражение для спектральной плотности мощности

ДН можно представить в виде

$$R_{\rho\Sigma}^2(\varphi) = \frac{\sum_{i=1}^n I_i(\varphi)}{\sum_{i=1}^n I_{f_0}} = \frac{\sum_{i=1}^n I_{f_0} R_{\rho i}^2(\varphi)}{\sum_{i=1}^n I_{f_0}}, \quad (1.22)$$

где  $I_i$  — интенсивность сигнала на частоте  $f_i$  дискретного спектра, соответствующая максимуму ДН на этой частоте;  $R_{\rho i}^2(\varphi)$  — ДН по давлению на  $i$ -й частоте дискретной составляющей спектра. Если в пределах полосы частот излученного или приемного сигнала спектр является равномерным ( $I_0 = I_0 = \text{const}$ ), то

$$R_{\rho\Sigma}^2(\varphi) = 1/n \sum_{i=1}^n R_{\rho i}^2(\varphi). \quad (1.23)$$

График (1.23) показывает, что интенсивность сигнала на частоте  $f_i$  определяется умножением интенсивности сигнала на частоте  $f_i$  и спектральной плотности мощности  $R_{\rho i}^2(\varphi)$ , а сумма интенсивностей на всех частотах определяет общую интенсивность сигнала. В случае излучения из А-А с обширной ДН на частоте  $f_i$  спектральная плотность мощности  $R_{\rho i}^2(\varphi)$  определяется выражением (1.24).

$$R_{\rho i}^2(\varphi) = \frac{\int_{f_1}^{f_2} S(f) R_{\rho i}^2(\varphi, f) df}{\int_{f_1}^{f_2} S(f) df}, \quad (1.24)$$

где интеграл  $\int_{f_1}^{f_2} S(f) df = P_f$  выражает величину мощности сигнала в ширине  $f_1 \dots f_2$ , численно равную площади спектрограммы, показанной на рис. 1.3.

Выражение (1.24) справедливо для равномерной частотной характеристики приемного тракта и однократном коэффициенте усиления по давлению в цепи  $f_1 \dots f_2$ . Для величины выходного эффекта приемного тракта в едином динамическом диапазоне частот можно записать, используя выражение (1.24):

$$R_{\rho i}^2(\varphi) = \frac{\int_{f_1}^{f_2} \nu^2 S_u(f) R_{\rho i}^2(\varphi, f) df}{\int_{f_1}^{f_2} S_u(f) df}, \quad (1.25)$$

где  $\nu$  — коэффициент усиления по давлению;  $S_u(f) = m^2 S(f)/K^2(f)$ ;  $m$  — коэффициент пропорциональности;  $K(f)$  — частотная характеристика приемного тракта.

Из выражения (1.25) следует, что спектральная плотность мощности выходного напряжения покажется главным образом частотной характеристики приемного тракта. Наиболее сильные искажения, очевидно, будут иметь место при работе на рефракционные антенны. В случае же  $\nu = \text{const}$ ;  $K(f) = \text{const}$  выражение (1.25) упрощается:

$$R_{\rho\Sigma}^2(\varphi) = 1/P_f \int_{f_1}^{f_2} S(f) R_{\rho i}^2(\varphi, f) df, \quad (1.26)$$

а для равномерного в пределах полосы пропускания спектре выражение (1.26) имеет вид:

$$R_{\rho\Sigma}^2(\varphi) = \frac{1}{\Delta f} \int_{f_1}^{f_2} R_{\rho i}^2(\varphi, f) df, \quad (1.27)$$

где  $\Delta f = f_2 - f_1$ .

Из выражения (1.26) видно, что при расширении полосы пропускания приемного тракта „нуль“ общей ДН „размывается“, а демпфер.

Однако для дискретного и сплошного спектров определяют из общей формулы (1.6) для некоторой эквивалентной частоты  $f_0$ , определенной из выражения

$\omega$ 

$$f_0 = \sqrt{T_f} / \sqrt{P_f}, \quad (1.28)$$

где величина  $J_f$  — момент инерции оси оптического спектра относительно оси оптического спектра (рис. 1.4, а) определяется как

$$J_f = \sum_{i=1}^n t_{i0} f_i^2, \quad (1.29)$$

Рис. 1.4. К выводу выражения ОМ для дискретного (а) и сплошного (б) спектров частот  $f_0$  — интенсивность по 1-й частоте дискретного спектра. В случае сплошного спектра (рис. 1.4, б) выражение (1.29) имеет вид

$$J_f = \int_{f_1}^{f_2} S(f) f^2 df, \quad (1.30)$$

Для дискретного спектра величина  $P_f$  представляет собой максимум линейной суммарной интенсивности, равное сумме линий спектра.

$$P_f = \sum_{i=1}^n I_{i0}, \quad (1.31)$$

Для сплошного спектра величина  $P_f$  представляет собой площадь спектрограммы (рис. 1.4, б), соответствующую в знаменателе выражению (1.24).

При коэффициентом концентрации при излучении (преме) в заданном диапазоне частот и известной спектральной плотности мощности акустического сигнала понимают отношение акустической мощности, которую излучает (примыкающие) балансировочная гиромоника, к акустической мощности, излучаемой (примыкающей) направлением излучателя (примыкающим) в том же диапазоне. При этом должно выполняться условие, при котором интенсивность излучения на расстоянии  $r$  направлением излучателя в направлении основного максимума общей ДН, равна интенсивности, создаваемой для КК при излучении или приеме в полосе частот оптимальной интенсивности.

Выражение для КК при излучении или приеме в полосе частот оптимальной интенсивности получено в виде

$$\gamma_{\Sigma} = \frac{4\pi}{\lambda} \int_{f_1}^{f_2} \int_0^{\varphi_0} \int_0^{\varphi_1} S(f) R_p^2(\alpha, \varphi_1, f) \sin \alpha d\alpha d\varphi_1 df, \quad (1.32)$$

Это выражение можно представить также в виде

$$\gamma_{\Sigma} = \frac{\int_{f_1}^{f_2} S(f) df}{\int_{f_1}^{f_2} S(f) I(f) df}, \quad (1.33)$$

где  $I(f)$  — интенсивность излучения в сплошном спектре, имеющая аналогичные с  $S(f)$  свойства.

Для фиксированной частоты  $\gamma_{\Sigma} = \gamma(f)$ , АА обладают пространственными квазистационарными свойствами, проявляющимися в циклическом пропускании, величина которой составляет 10 ... 15 % отрезанной частоты в режиме излучения и значительно больше в режиме приема. Это позволяет рассматривать АА как линейный пространственный фильтр аналитику, обладающий свойствами во временной области, где аналогом времени при приеме пространственной гармоники является угол, а аналогом частоты  $d/2\lambda_0$ , где  $d$  — расстояние между излучателями [5]. Напряжение на выходе АА при этом пропорционально величине соотношения  $\sin \varphi_1 / \sin \varphi_0$ , что аналогично записи колебательного процесса во времени со  $\omega = \cos 2\pi f t$ . Из формулы пространственной гармоники следует, что чем больше расстояние между преобразователями  $d$ , тем выше частота пространственной гармоники. Таким образом, ДН сплошного АА может быть представлена в виде суммы пространственных гармоник различной частоты в предположении, что сплошной АА состоит из большого числа элементов, разбросанных на равных расстояниях от центра системы координат.

Пакет будет оффсетироваться, если направление на ее источник будет совпадать с углом в ДН, что может быть достигнуто разнесением элементов АА на нужное расстояние  $d$ , и направлением максимума ДН на цель. Это условие записывается следующим образом:

$$\left| \frac{d(\varphi_0 - \varphi_1)}{2\lambda_0} \right| = 2\pi n, \quad \left| \frac{d(\varphi_0 - \varphi_1)}{2\lambda_0} \right| = \pi (m + 1/2), \quad (1.34)$$

где  $\varphi_0$  — направление главного максимума ДН;  $\varphi_1$  — направление на цель;  $\varphi_0$  — направление на источник помех;  $n$ ,  $m$  — любые подходящие из натурального ряда числа.

При описании аналогом сплошного фильтра во временной области мы имеем, например, АА в виде вертикальной цепочки элементов, расположенных в реальном волноводе, предназначенной для вибраторов нормальных волн [4]. Это следует из представления акустического поля в виде суммы нормальных волн:

$$\rho(r, z, t) = r^{-1/2} \sum_{m=1}^M a_m / \gamma_m \exp [j(\omega t - k_m + \pi/4)] \psi_m(z) \psi_m(z_0) \quad (1.35)$$

где  $r$  и  $z$  — расстояние до источника и вертикальная координата;  $\gamma_m$  и  $k_m$  — вертикальная и горизонтальная компоненты волнового вектора;  $a_m$  — коэффициент возбуждения  $m$ -й нормальной волны;  $\psi_m$  — собственные

## § 1.2. Направленность основных типов акустических антенн

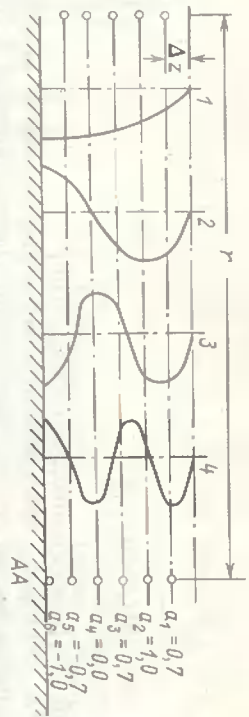


Рис. 1.5. Структура первых четырех нормальных волн в идеальном волноводе с вертикальной дискретной антенной, работающей как „фильтр нормальных волн”.

$l \dots 4$  – номера нормальных волн;  $\Delta z$  – толщина горизонта между элементами АА, состоящей из шести приемников;  $r$  – расстояние между источником и приемной АА;  $a_i, i = 1 \dots 6$  – коэффициенты возбуждения второй нормальной волны при глубине источника  $z_0 = \Delta z$

функции;  $z_0$  – глубина источника. На рис. 1.5 схематично показана структура первых четырех нормальных волн для идеального волновода с верхней звукомяткой и нижней звукожесткой границами. Очевидно, что при расположении источника, например, на горизонте  $2\Delta z$  максимальное значение имеет вторая нормальная волна, а при  $z_0 = 4\Delta z$  эта нормальная волна не возбуждается.

Сущность „фильтрации нормальных волн” состоит в подборе глубины расположения приемников таким образом, чтобы выходной сигнал аддитивной АА для  $M$  нормальных волн имел максимум при выполнении условия

$$\sum_{i=1}^M a_i \varphi_m(z_i) = 1 \quad (1.36)$$

для выделяемой  $m$ -й волны и соответственно

$$\sum_{i=1}^M a_i \varphi_m(z_i) = 0 \quad (1.37)$$

для всех остальных мод.

Из уравнений (1.36) и (1.37) можно определить значения  $a_i$ . При равномерном расположении элементов АА по глубине для нахождения  $a_i$  используют ортогональность собственных функций волновода, т. с. коэффициент данной нормальной волны есть линейная комбинация таких нормальных волн и может быть получена перемножением селективной нормальной волны с интегрированием по глубине:

$$\int_0^{z_0} \varphi_m(z) \varphi_n(z) dz = \delta_{mn}. \quad (1.38)$$

Однако поскольку в практике АА чувствительность по глубине распределена дискретно, а не непрерывно, в выражении (1.38) интегрирование нужно заменить суммированием, т. е.

$$\sum_i \varphi_m(z_i) \varphi_n(z_i) \Delta z_i, \quad (1.39)$$

которое является приближением, дающим точный результат при  $\Delta z = 0$ .

В судовых ГАС используют антенные системы, составленные из различного количества направленных и ненаправленных, а также сплошные приемо-излучающие поверхности или группы сплошных поверхностей, которые формируют ДН АА, как единое целое. Соответствующие формулы для расчета параметров, характеризующих направленность АА различных типов при излучении (приеме) монохроматических сигналов, представлены в табл. 1.

В случае приема или излучения полосы частот расчет параметров, характеризующих направленность АА, может быть выполнен с использованием формул (1.22) ... (1.33).

В ряде прикладных задач представляют интерес также такие параметры АА, как направление и величина дополнительных максимумов, минимумов, условия отсутствия добавочных максимумов и т. д., характеристики для групповых дискретных АА. Методы расчета этих параметров изложены в соответствующих примерах к гл. 1. Следует отметить, что в табл. 1 рассмотрены плоскостные ДН, а для нахождения пространственных ДН можно в ряде случаев воспользоваться выражением (1.11).

**Сложные антенны.** Формулы для расчета ДН сложных АА основаны на использовании теоремы умножения ДН групповой АА, состоящей из ненаправленных элементов, расположенных в тех же точках, что и направленные, т. е.

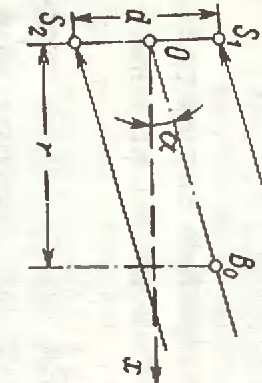
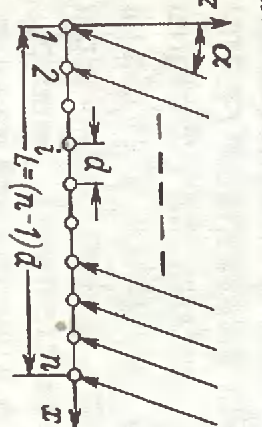
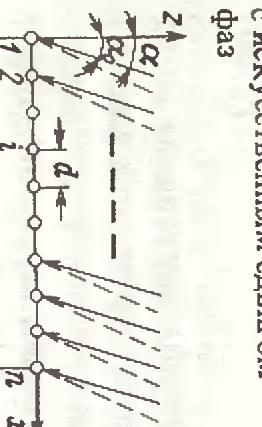
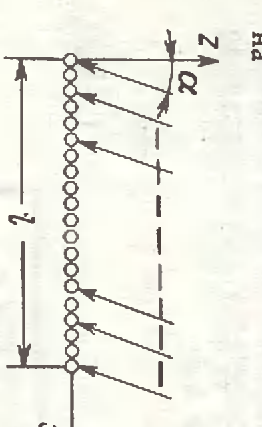
$$R_{AA}(a, \varphi) = R_{\text{эл}}(a, \varphi) R'_{AA}(a, \varphi). \quad (1.40)$$

Согласно **теореме сложения** вид ДН в некотором сечении не изменится, если элементы АА смешать по направлениям проекций элементов на эту же плоскость. Данную теорему используют для упрощения расчетов ДН, имеющих поверхности сложной формы, путем сведения их к более простым поверхностям типа дуги (для АА в форме цилиндра), отрезка прямой (для плоской поршневой АА). В этом случае амплитудные распределения на линии определяются как сумма проектируемых на нее элементов с учетом их амплитудных распределений.

Согласно **теореме сложения** ДН групповой АА может быть представлена в виде суммы ДН отдельных  $N$  групп ее элементов с коэффициентами  $M_j$ , равными отношению нормирующего множителя соответствующей группы к нормирующему множителю ДН всей АА:

$$R_{AA}(a, \varphi) = \sum_{j=1}^N M_j R_j(a, \varphi), \quad (1.41)$$

Таблица 1. Аналитические зависимости, описывающие направленность акустических антенн

Тип антенны и ее графическое изображение	Уравнение диаграммы направленности	Острота направленного действия	Острота. максимума	Направления дополнительных пакетов min	Коэффициент концентрации
	$R_P(a) = \cos\left(\frac{\pi d}{\lambda} \sin a\right)$	$\Theta_0 = 2 \arcsin \frac{\lambda}{2d};$ $\Theta_{0,7} = 2 \arcsin 0,22 \frac{\lambda}{d}$	$\Delta a = 0,55 \frac{\lambda}{d} \times \sqrt{\frac{1}{3} v_I}$	$a_{\max}^{(i)} = \arcsin\left[\frac{\lambda}{4d}(2i+1)\right];$ $a_{\min}^{(i)} = \arcsin\left(\frac{\lambda}{2d} i\right)$	$\gamma = \frac{2}{1 + \frac{\sin(2\pi d \lambda^{-1})}{2\pi d \lambda^{-1}}}$
	$R_P(a) = \frac{1}{n} \sin\left(n \frac{\pi d}{\lambda} \sin a\right)$	$\Theta_0 = 2 \arcsin \frac{\lambda}{nd};$ $\Theta_{0,7} = 2 \arcsin 0,44 \frac{\lambda}{nd}$	$\Delta a = 0,55 \frac{\lambda}{nd} \times \sqrt{\frac{v_I}{1 - \frac{1}{n^2}}} \times \frac{\sqrt{v_I}}{\lambda} \times a_{\max}^{(i)} = \arcsin \frac{\lambda}{nd} \left(i + \frac{1}{2}\right);$ $a_{\min}^{(i)} = \arcsin\left(\frac{\lambda}{nd} i\right)$	$\gamma = \frac{n}{1 + \sum_{p=1}^{n-1} \frac{(n-p) \sin(2p\pi d \lambda^{-1})}{p d \lambda^{-1}}}$	
	$R_P(a) = \frac{\sin\left[\frac{\pi d}{\lambda} n(\sin a - \sin a_0)\right]}{n \sin\left[\frac{\pi d}{\lambda} (\sin a - \sin a_0)\right]}$	$\Theta_0 = 2 \arcsin \frac{\lambda}{nd} \cos a_0;$ $\Theta_{0,7} = 2 \arcsin \frac{0,44}{nd} \frac{\lambda}{\cos a_0}$	$\Delta a = 0,55 \sqrt{v_I} \times \frac{\lambda}{nd} \cos a_0 \times a_{\max}^{(i)} = \arcsin\left[\sin a_0 \pm \frac{2i+1}{2n} \frac{\lambda}{d}\right];$ $a_{\min}^{(i)} = \arcsin\left[\sin a_0 \pm \frac{\lambda}{nd} i\right]$		
	$R_P(a) = \frac{\sin\left(\frac{\pi l}{\lambda} \sin a\right)}{\frac{\pi l}{\lambda} \sin a}$	$\Theta_0 = 2 \arcsin \frac{\lambda}{l};$ $\Theta_{0,7} = 2 \arcsin 0,45 \frac{\lambda}{l}$	$\Delta a = 0,55 \sqrt{v_I} \times \frac{\lambda}{l} \times a_{\max}^{(i)} = \arcsin\left[\frac{\lambda}{2l}(2i+1)\right];$ $a_{\min}^{(i)} = \arcsin\left(\frac{\lambda}{l} i\right)$	$\gamma = \frac{1}{1 + \frac{2 \sin a_0}{n} \sum_{p=1}^{n-1} \frac{(n-p) 2 \sin(p^2 \pi d \lambda^{-1}) \times \cos(p 2 \pi d \lambda^{-1})}{p 4 \pi d \lambda^{-1}}}$	$\gamma \approx 2l/\lambda \text{ при } 2\pi l \lambda^{-1} > 1$

Тип антенн и их геометрические параметры	Упаковка параметров	Остроугольное излучение	Коэффициент концентрации
<p><b>Неструктурированная антенна в форме остроконечного конуса с фиксированной длиной базы</b></p> <p>Антenna в форме остроконечного конуса с фиксированной длиной базы</p> <p><math>I_p(a) = I_1 \left( \frac{\pi}{\lambda} \sin a \right)</math></p> <p><math>I_p</math> — Функция Бесселя Кульбака Пордика</p> <p><math>\theta_0 = 2 \arcsin 0,76 \frac{\lambda}{D}</math></p> <p><math>\Theta_0,7 = 2 \arcsin 0,35 \frac{\lambda}{D}</math></p> <p><math>a_{\min}^{(1)} = \arcsin \frac{3,83 \lambda}{\pi D}</math></p> <p><math>a_{\min}^{(2)} = \arcsin \frac{1,23 \lambda}{\pi D}</math></p> <p><math>a_{\max}^{(1)} = \arcsin \frac{5,52 \lambda}{\pi D}</math></p> <p><math>a_{\max}^{(2)} = \arcsin \frac{1,92 \lambda}{\pi D}</math></p> <p><math>\gamma = \frac{2\pi D}{\lambda} \approx \frac{D}{\lambda} &gt; 2</math></p> <p><math>I = \frac{1 + \sqrt{\frac{\pi^2}{4} - \frac{4\pi D}{\lambda}}}{\frac{\pi^2}{4} - \frac{4\pi D}{\lambda}}</math> при <math>\frac{D}{\lambda} &gt; 2</math></p>			

Максимум	Остроугольное излучение	Коэффициент концентрации
<p><b>Антenna в форме остроконечного конуса с фиксированной длиной базы</b></p> <p>Антenna в форме остроконечного конуса с фиксированной длиной базы</p> <p><math>I_p(a) = I_1 \left( \frac{\pi}{\lambda} \sin a \right) +</math></p> <p><math>+ 2 I_1'(0) I_K \left( \frac{\pi}{\lambda} \sin a \right) \cos \pi a +</math> <math>+ 2 J_1(a) I_m \left( \frac{\pi}{\lambda} \sin a \right) \times</math> <math>\times \cos (2ma) + ..</math></p> <p><math>\Theta_0 = 2 \arcsin 0,76 \frac{\lambda}{D}</math></p> <p><math>\Theta_0,7 = 4 \arcsin \left( 0,175 \frac{\lambda}{D} \right)</math></p> <p><math>a_{\max}^{(1)} = a_0 \pm 2 \arcsin \frac{1,92 \lambda}{\pi D};</math></p> <p><math>a_{\max}^{(2)} = a_0 \pm 2 \arcsin \frac{3,51 \lambda}{\pi D};</math></p> <p><math>a_{\min}^{(1)} = a_0 \pm 2 \arcsin \frac{1,23 \lambda}{\pi D},</math></p> <p><math>a_{\min}^{(2)} = a_0 \pm 2 \arcsin \frac{5,52 \lambda}{\pi D};</math></p> <p><math>\Delta a = 0,45 \sqrt{\pi} \frac{\lambda}{D} \times</math> <math>\times \frac{\lambda}{D} \sqrt{I_1}</math></p> <p><math>\Theta_{\max} = \arcsin \frac{1,02 \lambda}{\pi D};</math></p> <p>при <math>\pi a \geq \pi \frac{D}{\lambda} + 2</math></p> <p><math>a_{\max}^{(1)} = \arcsin \frac{3,83 \lambda}{\pi D};</math></p> <p><math>a_{\max}^{(2)} = \arcsin \frac{1,23 \lambda}{\pi D};</math></p> <p><math>\gamma = \frac{2\pi D}{\lambda} \approx \frac{D}{\lambda} &gt; 2</math></p> <p><math>I = \frac{1 + \sqrt{\pi^2 - \frac{4\pi D}{\lambda}}}{\frac{\pi^2}{4} - \frac{4\pi D}{\lambda}}</math> при <math>\frac{D}{\lambda} &gt; 2</math></p> <p><math>\gamma \approx 2\pi \frac{D}{\lambda} \approx \frac{D}{\lambda} &gt; 4</math></p>		

Продолжение табл. I

Тип антенны и ее геометрические параметры	Уравнение диаграммы	Острупа направленного излучения	Направленность поля в минимумах	Коэффициент концентрации
Плоская правоугольная	$R_p(a, b) = \frac{\sin\left(\frac{2\pi}{\lambda}a \sin \alpha \sin \phi\right)}{\frac{\pi b}{\lambda} \sin \alpha \sin \theta} \times \Theta_0, \theta = 2\arcsin\left(\frac{\lambda}{a}\right), \phi = \frac{\pi}{2}$ $\Theta_0, \theta = 2\arcsin(0.45 \frac{\lambda}{a})$ $\Theta_0, \theta = 2\arcsin\left(\frac{\lambda}{b}\right)$ $\Theta_0, \theta = 2\arcsin\left(\frac{\lambda}{a} \sin \alpha \sin \phi\right)$ $\Theta_0, \theta = 2\arcsin\left(\frac{\lambda}{b} \sin \alpha \sin \phi\right)$		$\Delta a = 0.55 \times$ $a_{\text{пмк}} = \arcsin\left[\frac{\lambda}{2D}(2k+1)\right];$ $\times \sqrt{\frac{\lambda}{a}}$ $a_{\text{пмк}} = \arcsin\left(\frac{\lambda}{2D}\right);$ $\Delta a = 0.55 \times$ $x = b \text{ при } \theta = \pi/2;$ $x = a \text{ при } \phi = 0^\circ$	$\gamma = \frac{\lambda}{\pi b} \text{Si}\left(\frac{2\pi b}{\lambda}\right) - \frac{1}{(\pi b \lambda^{-1})^2}$

Плоская цилиндрическая антenna	$R_p(a) = \frac{2I_1\left(\frac{\pi D}{\lambda} \sin \alpha\right)}{\lambda} \Theta_0, \theta = 2\arcsin\left(1.21 \frac{\lambda}{D}\right)$ $\Theta_0, \theta = 2\arcsin\left(0.64 \frac{\lambda}{D}\right)$ $I_1 = \text{функция Бесселя первого порядка}$		$\Delta a = 0.64 \times$ $a_{\text{пмк}}^{(1)} = \arcsin\left(\frac{6.29\lambda}{\pi D}\right);$ $a_{\text{пмк}}^{(2)} = \arcsin\left(\frac{10.87\lambda}{\pi D}\right);$ $a_{\text{пмк}}^{(1)} = \arcsin\left(4.49\lambda\right);$ $a_{\text{пмк}}^{(2)} = \arcsin\left(9.32\lambda\right);$	$\gamma = \frac{1}{\left(\pi D \lambda^{-1}\right)^2 \left[1 - \frac{1}{\pi}(2\pi D \lambda^{-1})^2\right]^{1/2}}$
	$\frac{\pi d_f}{\lambda} \sin \alpha \sin \theta = \frac{\pi d_f}{d_f} i, \quad i = 1, 2, 3, \dots;$		$\Delta a = 0.55 \times$ $a_{\text{пмк}}^{(1)} = a_{\text{пмк}}; \quad \gamma = \frac{4(\pi D \lambda^{-1})^2}{1.27 + \ln(4\pi D \lambda^{-1}) - \ln(4\pi D \lambda^{-1})};$ $a_{\text{пмк}}^{(1)} = a_{\text{пмк}}; \quad \gamma = \frac{4(\pi D \lambda^{-1})^2}{1.27 + \ln(2\pi D \lambda^{-1})} \text{ при } \frac{D}{\lambda} \gg 1$	$\gamma = \frac{4(\pi D \lambda^{-1})^2}{1.27 + \ln(2\pi D \lambda^{-1})} \text{ при } \frac{D}{\lambda} \gg 1$

В ДН, описываемой (1.42), присутствуют максимумы и минимумы всех частотных ДН  $R_j$ , причем положения этих экстремумов находятся из условия

$$\frac{\pi d_f}{\lambda} \sin \alpha \sin \theta = \frac{\pi d_f}{d_f} i, \quad i = 1, 2, 3, \dots; \quad (1.43)$$

$$\frac{\pi d_f}{\lambda} \sin \alpha \sin \theta = \frac{\pi d_f}{d_f} i, \quad i = 1, 2, 3, \dots; \quad (1.44)$$

где  $i \neq m j$ ,  $m = 1, 2, \dots$ , а величина  $d_f/d_f$  характеризует скважность  $j$ -й группировки ячеек. На основании этой теоремы можно рассчитать ДН АА со сложным амплитудно-фазовым распределением, разбив ее на ряд простых АА с известными ДН.

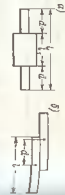
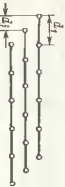


Рис. 1.6. Структура сложной АА, представляемая в виде простой линии

При рассмотрении направленности сложной линейной АА можно пользоваться формулами табл. 1 (графики 2 и 4), которые имеют в этом случае вид:

$$\theta = 2 \arcsin [\lambda / (n_f^2 d_f) \cdot \max]$$

$$\Delta\sigma = 0.55 \lambda \sqrt{\nu_f} / \sqrt{2 n_f^2 d_f (1 - 1/n_f^2)^2}.$$

В случае сложной линейной АА, схематично изображенной на рис. 1.7,а, уравнение ее ДН можно представить в виде:

$$R_p(a) = \frac{\sin(\pi \lambda^{-1} \sin a)}{\pi \lambda^{-1} \sin a} \cos(\pi d \lambda^{-1} \sin a), \quad (1.47)$$

где первый множитель описывает направленность прямоугольника длиной  $d$ , а второй — паук точечных элементов, расположенных на расстоянии  $d$  друг от друга (рис. 1.7,б).

При определении параметров направленности такой АА следует пользоваться формулами:

$$\theta = 2 \arcsin \lambda / l; \quad (1.48)$$

$$\Delta\sigma = 0.78 \frac{\lambda}{l} \sqrt{\nu_f} \frac{1 - (2\pi)^{-1}}{\sqrt{1 - (2r^2)^{-1}}}, \quad (1.49)$$

где  $\lambda$  — число одинаковых прямоугольников длиной  $l$ , симметрично расположенных друг от друга.

Общее уравнение, описывающее ДН такой комбинации, имеет вид

$$R_p(a) = \frac{\sin(\pi l \lambda^{-1} \sin a)}{\pi l \lambda^{-1} \sin a} \frac{\sin(\pi n d \lambda^{-1} \sin a)}{\pi n d \lambda^{-1} \sin a}. \quad (1.50)$$

Как видно из рис. 1.7, б, по мере увеличения  $n$  ступенчатая фигура по форме приближается к ромбу и при  $n \rightarrow \infty$  ДН описывается формулой

$$R_p(a) = \left[ \frac{\sin(\pi l \lambda^{-1} \sin a)}{\pi l \lambda^{-1} \sin a} \right]^2. \quad (1.51)$$

характеризующей направленность АА в форме ромба.

Рупорная антенна, имеющая цилиндрический преобразователь диаметром  $D_1$  и конический рефлектор с углом ракута  $\pi D_2$  и диаметром основания  $D_2$  (рис. 1.8), обладает ДН, описываемой выражением:

$$R_p(a) = \frac{2 [I_1(\pi D_2 \lambda^{-1} \sin a) - D_1 D_2^{-1} I_1(\pi D_2 \lambda^{-1} \sin a)]}{\pi D_2 \lambda^{-1} \sin a [1 - (D_1/D_2)^2]} \quad (1.52)$$

Нетрудно убедиться, что для случая  $D_1/D_2 \ll 1$  уравнение ДН в параметрах  $\delta$ ,  $\Delta\sigma$ ,  $T$  можно определить по формулам табл. 1 для плоской торOIDальной АА.

Цилиндрическая антенна высотой  $h$  и диаметром  $D$  (рис. 1.9) обладает ДН, описываемой выражением [8]:

$$R_p(a) = \frac{\sqrt{l_0^2 (\pi D \lambda^{-1} \cos a) + \cos^2 a l_1^2 (\pi D \lambda^{-1} \cos a)}}{\sqrt{l_0^2 (\pi D \lambda^{-1}) + l_1^2 (\pi D \lambda^{-1})}} \frac{\sin(\pi h \lambda^{-1} \sin a)}{\pi h \lambda^{-1} \sin a}, \quad (1.53)$$

где функция  $f_0(\pi D \lambda^{-1} \cos a)$  описывает ДН плоско-затонченной цилиндрической окружности, диаметр которой равен диаметру цилиндра, а второй множитель описывает ДН плоско-затонченной элеменТАМИ прямой,лина которой равна высоте цилиндра.

В случае, когда диаметр цилиндра мал по сравнению с длиной волны, а также для небольших углов отклонения от нормали к образующей цилиндра, ( $-30 \dots 30^\circ$ ), первый множитель формулы (1.53) можно принять равным единице и для расчета параметров направленности такую антенну можно пользоваться формулами табл. 1.

Антenna с фокусированной апертурой позволяет получить в зоне подиума (Френеля, т. е. на расстояниях, меньших  $2L^2/\lambda$ ), также же ДН, как и нефокусированная в зоне Фраунгофера. Это достигается путем настройки АА на сферический фронт волны конструкций в виде сферы либо компенсаций фазовых изгибов, равных  $\Delta\phi = k_r \Delta r$ , где

$$k_r = 2\pi l^{-1} - \text{внешний угол волны}$$

Такая АА с фокусирующим изгибом на определенную зону на сферической области пространства, как показано на рис. 1.10, а

обладает  $r_{\text{фн}}$  и дальностью  $r_{\text{дл}}$  для Грантильоновской разности акустического поля со стороны, в которых

внешний угол волны

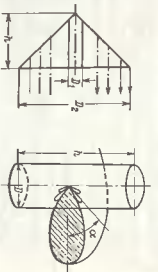


Рис. 1.8. Рупорная антenna

Рис. 1.9. Цилиндрическая антенна

$$r_{\text{дал}} = \frac{L^2 \cdot \lambda_b^{-1}}{1 + L^2 \lambda_b^{-1} r_0^{-1}},$$

$$r_{\text{дал}} = \frac{L^2 \lambda_b^{-1}}{L^2 \lambda_b^{-1} r_0^{-1} - 1} \quad \text{для } r_0 < L^2 \lambda_b^{-1}$$
(1.55)

$$r_{\text{дал}} = \infty \quad \text{для } r_0 \geq L^2 \lambda_b^{-1},$$

где  $r_0 = L^2 \lambda_b^{-1}$  – фокусное расстояние, соответствующее гиперфокальному расстоянию в оптике.

Основным недостатком подобных АА является необходимость использования диаметра антенн для измакания рабочей длины волны, а достоинством – обеспечение стравы испарю узким ДН на малых расстояниях.

Антенны с применением колебательных скоростей (ПКС) относятся к векторным приемникам и обеспечивают направленный прием при размахах, значительно меньших рабочей длины волны  $\lambda_a$ . ПКС имеют ДН, определяемую выражением

$$P(\xi) = (P_c) \xi^l \cos \alpha, \quad (1.56)$$

где  $P_m = (P_c) \xi^l$  – амплитуда давления в плоскости волны, что графически изображают в виде „всплесков”, как показано на рис. 1.1.1, а. Для устройства ПКС используется методика, аналогичная методике ПД, но с тем отличием, что неоднозначность пополнения АА соотносится не к ПКС и ПД, т. е.

они комбинируют таким образом, чтобы формировать остролистья кардиоидной ДН, имеющие наименьшую остролистьевую амплитуду в центре, что видно из рис. 1.1.1, б.

Достоинством таких АА является осуществление направленности АА, комбинируя ПКС и ПД, имеющие наименьшую остролистьевую амплитуду в центре, что видно из рис. 1.1.1, б.

Частотная зависимость параметров направленности АА, рабочие частоты выбираются из условий

$$f_p > f_0 = \frac{1}{2\pi\sqrt{m_a G}}, \quad (1.57)$$

где  $m_a$  – инерционная масса;  $G$  – гибкость плавающей системы инерциональной массы;  $f_0$  – резонансная частота

ри акустике.

ПРИМЕР ГРАДИЕНТА ДАВЛЕНИЯ (ПГД) имеет параметры направленности в линейных структурах АА. Эти методы позволяют избежать наведения

– то есть АА с погрешностью связи с колебательной скоростью  $\xi$  гармонического фронта волны ского источника соотношением

$$\frac{df}{dr} = -f/2\pi f_p \xi^l, \quad (1.58)$$

где  $f_p$  – плотность волны.

Конструкция ПГД подобна ПКС, но в отличие от ПКС в этих приемниках фиксируется градиент давления при ограничении размера преобразователя. В отличие от ПКС резонансная частота ПГД также определяется формулой (1.57), должна быть много выше рабочих частот, а чувствительность ПГД определена



Рис. 1.1.1. Форма ДН антены, состоящей из ПКС (a) и ПКС и ПД (b).

$$\varepsilon = \frac{1/2\pi f A}{\rho_c c_n}, \quad (1.59)$$

Подобными направленными свойствами обладают также приемники, работающие на колебательное ускорение  $\xi$  и производные более высокого порядка. Помехоустойчивость АА, состоящих из ПКС и ПГД, расширяется посредством АА, состоящих из ПД с учетом их направленных свойств. В практических применениях преимуществом АА, в состав которых имеются ПКС и ПД, является их большая помехоустойчивость при ангиоритном поле помех, для которого соотношения табл. 1, определяющие направленность АА, становятся несправедливыми.

### § 1.3. Управление формой ДН

В ряде практических применений повышение помехоустойчивости, улучшающее радиолокационную способность и обеспечивающее выпуск продукции синтезом и автоматическим сопровождением целей, применяются методы управления ДН, основанные на регулировании амплитуды и фазы направления и уровня остаточных и дополнительных лепестков, создаваемых минимумами ДН в направлениях на мешающие цели, перемещение которых в линейных структурах АА. Эти методы позволяют избежать наведения.

Убывание амплитуды от центра АА к краям расположение лепестков обеспечивает расширение главного лепестка при одновременном уменьшении уровня боковых лепестков, причем эти изменения тем больше, чем рече убывает амплитуда. При монотонном убывании амплитуды возбуждения в направлении для суммарной ДН можно получить из формулы (1.42), представив схему АА из элементов в как-



результате

изменения

коэффициента усиления

антенны

и т. д.

Фокусировка

антенны

и т. д.

26

$$R(u) = \sum_{i=1}^N \frac{\sin [\pi d u \lambda_{2i}^{-1} (\sin \alpha - \sin \alpha_0)]}{n \sin [\pi d \lambda_{2i}^{-1} (\sin \alpha - \sin \alpha_0)]}, \quad (1.61)$$

Возрастанием от центра АА к краям распределение амплитуды волнения эллиптического оболочкиания более узкой гибкой лепестков при одновременном увеличении уровня боковых лепестков. Выражение для ДН можно получить, представив стокную ДН в виде набора полного разложения в пространстве гибких АА с конечным числом элементов каждого антена /12/. Тогда, воспользовавшись выражениями (1.40) и (1.42), можно построить ДН такой АА.

Оптимальной ДН называют такую, у которой при заданном уровне боковых лепестков и линейном фазовом возбуждении элементов обеспечивается наименьшая ширина главного лепестка или, при одинаковой ширине главного лепестка, обеспечивается наименьшие уровни боковых лепестков. Распределение амплитуды волнения лепестков в АА в этом случае повторяет коэффициенты полиномов Чебышева:

$$T_0(x) = 1;$$

$$T_1(x) = 2x;$$

$$T_2(x) = 2x^2 - 1;$$

$$T_3(x) = 4x^3 - 3x;$$

$$T_4(x) = 8x^4 - 8x^2 + 1;$$

$$T_5(x) = 16x^5 - 20x^3 + 5x;$$

$$T_6(x) = 32x^6 - 48x^4 + 18x^2 - 1;$$

$$T_7(x) = 64x^7 - 112x^5 + 56x^3 - 7x;$$

$$T_8(x) = 128x^8 - 256x^6 + 160x^4 - 32x^2 + 1;$$

$$T_9(x) = 256x^9 - 576x^7 + 432x^5 - 120x^3 + 9x;$$

$$T_{10}(x) = 512x^{10} - 1280x^8 + 1120x^6 - 400x^4 + 50x^2 - 1.$$

Этот метод был разработан Дольфом [81] и носит название метода Дольфа-Чебышева. Применимочно к гибкой антенне с 2n числом равномерно расположенных элементов выражение для ДН можно представить в виде

$$R_P(u) = R_P^{(1)}(u) \frac{1}{p_1 + p_2 + \dots} [p_1 \cos u(a) + p_2 \cos 3u(a) + \dots] \quad (1.63)$$

для четного числа элементов и

$$R_P(u) = R_P^{(l+1)}(u) \frac{1}{p_1 + p_2 + \dots} [p_0 + p_1 \cos 2u(a) + p_3 \cos 4u(a) + \dots] \quad (1.64)$$

для нечетного числа элементов, где  $R_P^{(l)}(u)$  – ДН l-го элемента в группе, а – амплитуда излучения каждого элемента и  $= \pi d/\lambda^{-1}$  м/д.

Оптимизация амплитудного распределения заключена в нахождении весовых коэффициентов каждого спектрального в формулe (1.63) или (1.64). Чтобы в эти формулы ввести полином Чебышева, их представят в виде [31]:

$$T_n(x) = \cos nx. \quad (1.65)$$

где  $x = \pi d u$ , и нормируют весовые коэффициенты для диагонала зоника: в видении нормирующего множителя  $\phi$  такого, чтобы  $1 \leq x \phi \leq 1$ .

Выражение для ДН преобразуют из вида  $f(\cos nx)$  к виду  $f(\cos \pi u)$ , пропуская теорему Мурава:

$$(\cos nx + i \sin nx) = (\cos u + i \sin u).$$

Раскрывается выражение в правой части и приводится действительные члены, получаем:

$$\cos nx = \cos^n(u) - (n/2) \cos^{n-2} u \sin^2 u + n/4 \cos^{n-4} u \sin^4(u) \dots$$

где

$$n/k = n! / k! (n - k)!.$$

Представив выражения (1.63) или (1.64) для ДН в виде полинома по степеням

$$R_P(u) = \sum f(a_i p_i x^{n-i}), \quad (1.66)$$

приравнивают коэффициенты перед членами полинома к коэффициентам выражения

$$T_{n-1}(x) = a_1 [x_0 x]^ {n-1-i}, \quad i = 0, 2, 4, \dots \quad (1.68)$$

Исходя из требуемого отношения  $T_{n-1}(x_0)$  к максимальной величине  $T_{n-1}(x)$ , находят величину  $\lambda_0$  по формуле

$$\lambda_0 = |1/2| [(r_{6n} + \sqrt{r_{6n}^2 - 1})^{1/n} + (r_{5n} - \sqrt{r_{5n}^2 - 1})^{1/n}], \quad (1.69)$$

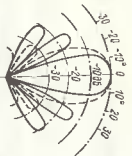


Рис. 1.12. Форма ДН при разном числе элементов и распределении Поляфа-Чебышева



Рис. 1.13. Радиационная ДН

где  $r_{6n}$  — требуемое отклонение величины основного максимума к величине подавляемого дополнительного максимума.

При большом  $r_{6n}$  для  $\chi$  справедливо приближение разности

$$2x_0 \approx (2r_{6n})^{1/2} + (2r_{6n})^{-1/2}. \quad (1.71)$$

Используя выражение для ДН, делим его на сумму всех  $a_i$ . Считаем, что амплитуда ДН линейной антенны при приведении весовых коэффициентов звободных от элементов расчетных так им образом, за-

ключается в том, что при заданном уровне дополнительных максимумов широта ДН будет минимальной (рис. 1.12). При этом направление дополнительных максимумов выражается по формуле

$$\theta_{max} = \arcsin [2/kd \arccos ((1/x_0 \cos(\pi/2)n)/l)], \quad (1.72)$$

а направления кульевых значений по формуле

$$\theta_{min} = \arcsin [2/kd \arccos ((1/x_0 \cos(2\pi/2)n - \pi)/l)]. \quad (1.73)$$

ОДН некомпенсированной АА с распределением Поляфа-Чебышева определяется выражением

$$\theta_0 \approx 2 \arcsin [1/2kd \arccos ((1/x_0 \cos \pi/2(n-1))]. \quad (1.74)$$

на уровне 0,707 до давления:

$$\theta_0 \approx 2 \arcsin \left\{ 2/kd \arccos [(1/x_0 \sin \pi/2(n-1) - 1) \sinh 0,707/r_{6n}] \right\}. \quad (1.75)$$

Одним из методов управления формой ДН является формироование так называемой "расширенной" ДН [3]. Такая ДН имеет вид, показанный на рис. 1.13, и применяется в системах, обеспечивающих сложные

за счетно „расщепленной“ ДН может быть получена путем вычитания сигналов элементов с симметричными половинами АА. В такой ДН значение амплитуды ДН по оси АА равно нулю, а в районах ДН изменяет знак на противоположный. Для получения АА также может быть выбрано оптимальное распределение возбуждения элементов по Поляфа-Чебышеву. Рассмотрим amplitude  $p_i$  возбуждения элементов АА, должно удовлетворять условию

$$2 \sum_{i=1}^{(N-1)/2} p_i \frac{\sin (2i\chi)}{\sin \chi} = T_{N-2}(x_0 \chi) \quad (1.75)$$

при нечетном числе элементов и

$$\sum_{i=1}^{N/2} p_i \frac{\sin [(2i-1)\chi]}{\sin \chi} = T_{N-2}(x_0 \chi), \quad (1.76)$$

при четном числе элементов, где  $N$  — число элементов АА, а первые две строки поликровов  $\sin \chi/\sin u$  определяются выражениями:

$$\begin{aligned} \sin u/\sin \chi &= 1; \\ \sin 2u/\sin \chi &= 2x; \\ \sin 3u/\sin \chi &= 4x^2 - 1; \\ \sin 4u/\sin \chi &= 8x^3 - 4x; \\ \sin 5u/\sin \chi &= 16x^4 - 12x^2 + 1; \\ \sin 6u/\sin \chi &= 32x^5 - 32x^3 + 6x; \\ \sin 7u/\sin \chi &= 64x^6 - 80x^4 + 24x^2 - 1; \\ \sin 8u/\sin \chi &= 128x^7 - 192x^5 + 80x^3 - 8x; \\ \sin 9u/\sin \chi &= 256x^8 - 312x^6 + 204x^4 - 40x^2 + 1; \\ \sin 10u/\sin \chi &= 512x^9 - 988x^7 + 672x^5 - 160x^3 + 10x. \end{aligned} \quad (1.77)$$

Порядок выполнения остается прежним, как и для суммарной оптической ДН. Т. е. приравниваются коэффициенты при одинаковых степенях  $\chi$ . Но сопоставление между  $\chi$  и амплитудой при одинаковых степенях показывает, что выражается стократно. Поэтому мы при таком полном методе приближения [58], заменив амплитуду оптимального распределения для нескольких значений  $\chi$ , определяем для каждого из них коэффициенты для фиксированного  $\chi$  и выполняем наращивание вариации из условия графического изображения подложки. На рис. 1.14 приведено несколько таких зависимостей

При биномиальном распределении амплитуда возобуждения элементов линейной дискретной АА можно усилить дополнительные максимумы в ДН, т. е. уменьшить их до весьма малых величин [67]. В этом случае выражение для ДН будет иметь вид

$$R(\alpha) = \left[ \sum_{i=0}^{(n-1)/2} \frac{(n-1) \cos(2i\pi\alpha)}{\left(\frac{n-1}{2} - i\right)! \left(\frac{n-3}{2} + i\right)!} \right] \times \times \left[ \sum_{i=1}^{(n-1)/2} \frac{(n-1)!}{\left(\frac{n-1}{2} - i\right)! \left(\frac{n-3}{2} + i\right)!} \right] \quad (1.78)$$

при нечетном числе элементов  $n$

$$R(\alpha) = \left[ \sum_{i=1}^{(n-1)/2} \frac{(n-1) \cos[(2i-1)\pi\alpha]}{\left(\frac{n-1}{2} - i\right)! \left(\frac{n-3}{2} + i\right)!} \right] \times \times \left[ \sum_{i=1}^{(n-1)/2} \frac{(n-1)!}{\left(\frac{n-1}{2} - i\right)! \left(\frac{n-3}{2} + i\right)!} \right] \quad (1.79)$$

при четном числе элементов.

Формулы (1.78) и (1.79) позволяют определить амплитуду возобуждения элементов АА для исключения дополнительных максимумов. Тогда ДН для АА с числом элементов  $n = 8$ , например, описывается выражением

$$R(\alpha) = \frac{35 \cos \alpha + 21 \cos 3\alpha + 7 \cos 5\alpha + \cos 7\alpha}{35 + 21 + 7 + 1}, \quad (1.80)$$

где  $\alpha = \pi d \lambda^{-1} (\sin \alpha - \sin \alpha_0)$  для АА с углом компенсации  $\alpha_0$  и  $\alpha = \pi d \lambda^{-1} \sin \alpha$  для некомпенсированной АА.

На рис. 1.15 для сравнения приведены ДН восемьмиэлементной АА при радиометром, оптимальном и биномиальном распределениях.

При синтезе ДН реальных АА могут также применять распределения, отличные от описанных выше, что обуславливается, в частности, отсутствием ограничений по времени, в котором требуется выполнение требований и возможностей генератора. На рис. 1.14, З показаны кривые распределения АА с оптимальной коэффициентами, гауссовским, неравномерным, только крайних элементов АА (квазирандомным) и чисто экспоненциальным возбуждением и т. д.

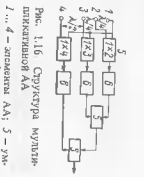
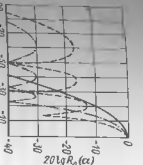


Рис. 1.16. Структура мультиплексированной АА  
1 — усилитель мощности; 2 — АМ-генератор; 3 — умножитель частоты; 4 — интегратор; 5 — АМ-передатчик; 6 — АМ-приемник

Приложив к антенне АА импульс длительностью  $\tau$ , то ее разрешающая способность соответствует импульсу эквивалентной АА с радиометрическим распределением.

Если число элементов в такой антенне уменьшить до двух, а в качестве каждого элемента использовать антенну с листообразной ДН —  $R_2(\alpha)$ , то выражение  $R_m(\alpha)$  для ДН мультиплексированной будет иметь вид

$$\tau \cos 5\pi/2(\sin \alpha - \sin \alpha_0) + \cos 7\pi/2(\sin \alpha - \sin \alpha_0) +$$

Приложив к антенне АА импульс длительностью  $\tau$ , то ее разрешающая способность соответствует импульсу эквивалентной АА с радиометрическим распределением.

Если число элементов в такой антенне уменьшить до двух, а в качестве каждого элемента использовать антенну с листообразной ДН —  $R_2(\alpha)$ , то выражение  $R_m(\alpha)$  для ДН мультиплексированной будет иметь вид

$$R_m(\alpha) = \frac{1}{2} \frac{R_2^2(\alpha) \sin(2k\alpha \sin \alpha)}{\sin(k\alpha \sin \alpha)}, \quad (1.82)$$

в то время как не перемножая, а суммируя для выходных сигналов АА, получаем

$$R_{\Sigma}(\alpha) = R_2^2(\alpha) \cos\left(\frac{k\alpha}{2} \sin \alpha\right). \quad (1.83)$$

Из сравнения формул (1.82) и (1.83) видно, что двухэлементная АА при радиометрическом распределении имеет ту же ДН, как и аддитивная, но вдвое большую амплитуду между элементами.

Мультиплексированная АА позволяет при числе элементов не менее двух получить ДН, подобную линейной эквидистантной АА, образованной любым числом элементов с заданным амплитудным распределением. На рис. 1.17 показана структура АА, формирующую оптимальную ДН, т. е. соответствующую выражениям (1.75 ... 1.76). В этой антенне нелинейные операции выполняются в соответствии с соотношениями



Рис. 1.17. Схема синтеза ДН при нестационарном движении элементов АА

ном числе элементов АА,  $\rho_i T_{1i} = 1 - (\cos \varphi_i)$ ,  $i = 0, 1, \dots, (n - 1)/2$ , при четном числе элементов,  $\rho_i T_{1i} = 1 - (\sin \varphi_i)$ ,  $i = 0, 1, \dots, n/2 - 1$  (здесь  $\varphi_i$  – фаза).

**Крестообразные АА** (крест Миллса) являются особой видом излучателей низкой антенны, представляющей собой две перпендикулярно расположенные прямолинейные антенны с общей средней точкой.

Используя схему умножения, получают ДН вида  $R_S(\vartheta, \psi) = R_1(\vartheta, \psi) R_2(\vartheta, \psi)$ , т. е. листовидную, умноженную по за-

кону поподобию криволинейной кривую, какую имеет плоская линейная антенна с числом элементов  $m \times n$ . Если где  $n = \infty$  – число синтезуемых элементов, то  $R_S(\vartheta, \psi) = R_1(\vartheta, \psi) R_2(\vartheta, \psi)$ , т. е. коэффициенты амплитудно-частотного распределения, б – суммарный

Крестообразная АА при матом числе элементов позволяет получить полную радиоканальную диаграмму  $R_S(\vartheta, \psi)$ , т. е. способность такого АА в широком диапазоне рабочих частот обеспечивает радиоприемникам до

матом АА не зависит от расстояния до объекта  $r_0$  в отличие от предыдущего

Следует учитывать, что при синтезировании АА в активном режиме разрешающая способность в два раза выше по сравнению с работой только линейной обработкой. При этом слуховая обработка приемника не требуется. В случае шумодавления для осуществления синтеза алгоритмы необходимо изменить опорного сигнала, неподвижный относительно центрального объекта, поскольку спектр принимаемого сигнала обычно здравствует.

Описаные методы синтеза и формирования ДН при линейной и нелинейной обработках применяются на практике, когда полностью известно пространственно-временное распределение полезного сигнала и помех. В реальных же условиях, приорное распределение этих полей известно, и их параметры могут быть случайными во времени и пространстве. В этих условиях применяют самовзаимовещающиеся – автоФУС-излучающие (аутофазированые) и самовзаимовещающиеся – аддитивные (приследующие) антенны устройств.

**АвтоФУС-излучающая (аутофазированная) АА** реагирует на фазу приходящего сигнала и автоматически фокусируется или подстраивается к этой фазе. В рассматриваемом случае это означает, что излучение, выходящее из критериев по заданным критериям полезного сигнала на фоне помех, повышается, однако при этом не осуществляется оптимальная пространственно-временная обработка полезного сигнала на фоне помех. Такая оптимальная обработка выполняется в аддитивных АА.

**Аддитивные АА** – это устройство, формирующее оптимальную ДН излучения, выделенное по заданным критериям полезного сигнала на фоне излучения, имеющего минимальную амплитуду. Аддитивная АА отличается от автоФУС-излучающей АА при способностью не только к фазе приследующего сигнала, но и к изменениям в пространстве, во времени и в заданной полосе частот, выпадающим распределением взаимодействия элементов с целью оптимального выделения по выбранному критерию случайного по-

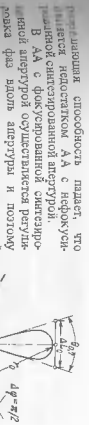


Рис. 1.18. Форма ДН антенны радиоаппаратурой, осуществляющей синтезированную синтезированную диаграмму. Длина синтезированной антенны может быть  $L_s = r_0 \sin^2 \frac{\vartheta}{2}$ , где  $r_0$  – длина ДН АА, используемой для излучения. Планарная распространяющая способность такого АА в широком диапазоне рабочих частот обеспечивает радиоприемникам до матом АА не зависит от расстояния до объекта  $r_0$  в отличие от предыдущего

Число фазовых амплитуд и потоку информации, подаваемому в блок обработки, определяет количество информации, подаваемой в блок приемника. На рисунке изображена форма ДН антенны радиоаппаратурой в активном

$$\theta_0^{(c)} = \arg \sin 1/2 \sqrt{r_0} r_0^{-1}, \quad (1.84)$$

а пакетная излучающая способность  $\Delta t_c = r_0 \sin \theta_0^{(c)}$  является функцией расстояния, как видно, из рис. 1.18. С увеличением расстояния  $r_0$  синтезированная диаграмма становится более широкой.

Современные АА представляют собой сложные конструкции, включающие акустические отражатели, окна, зеркала, поглотители и обтекатели [42], обеспечивающие эффективную работу преобразователей. Акустический отражатель расположжен с тыльной стороны активного элемента и предназначается для формирования одностороннего излучения впереди полупространства. Акустическое окно расположено с лицевой стороны активного элемента и представляет собой фактически национальное покрытие преобразователя с рефракторной оболочкой. Акустическое ядро, или [42], служит для усиления взаимного влияния преобразователей. Акустическая поглотительная оболочка расположена с тыльной стороны активного элемента и предназначена для исключительного излучения впереди полупространства отражателями и стоящими акустическими волнами путем поглощения возбуждающихся на них механических колебаний.

Обтекатель — часть корпуса судна, препятствующая элементам акустической антенны от воздействия потока воды и межнейтральных воздушных потоков.

Акустические параметры отражателей, окон, зеркал, поглотителей и обтекателей зависят от материала, из которого они изготовлены, а также от размеров, формы и конструкции, частью которых они являются [42]. Теоретические оценки просто могут быть выполнены лишь для очень простых конструкций, поэтому в настоящей практике наиболее часто применяются экспериментальные методы. Теоретическая экспериментально определяется частотная зависимость коэффициентов акустических параметров передних элементов в качестве которых используют коэффициент отражения по давлению  $\rho$  и коэффициент пропускания  $\psi$  по давлению, которые в общем случае являются компонентами величинами, т. е. их можно представить в виде

$$\rho_{\text{пр}/\text{ранд}} = \rho = |\psi| e^{j\varphi}, \quad \psi_{\text{пр}/\text{ранд}} = \psi = |\psi| e^{-j\varphi}, \quad (1.85)$$

где  $\rho$  — давление,  $\rho_{\text{пр}}$  — давление в отраженной и падающей, и прошедшей через элемент волне;  $\psi$  и  $\varphi$  — фазы коэффициентов отражения и пропускания.

Если диссипативные потери в элементе отсутствуют, то в соответствии с законом сохранения энергии для модулей этих коэффициентов справедливо соотношение  $|\psi|^2 + |\rho|^2 = 1$ .

Акустический отражатель в режиме излучения изменяет активное сопротивление той части поверхности преобразователя, где он расположжен, по сравнению со свободной частью поверхности, поэтому зеркальная часть поверхности практика не подвергается акустической энергии, что приводит к формированию односторонней ДН, т. е. повышается направление свойства элементов АА и возрастает КК. В приемном

режиме это эквивалентно повышению чувствительности преобразователя. Кроме того, в приемном режиме указаные свойства позволяют ярко проявлять активный элемент от шумовой помехи тыльного полупространства и повышают в целом помехоустойчивость АА.

Полный отражатель  $h$ , учитывая свойства материала из которого он изготовлен, можно определить, исходя из выражения для коэффициента отражения:

$$\psi = (1/m - m) \sin \theta / [2 \cos \theta - j (1/m + m) \sin \theta]^{-1}, \quad (1.86)$$

$$\rho = (\rho_c) \cos \theta / [(j\rho_c) \cos \theta_2]^{-1}, \quad \theta = k_2 h \cos \theta_2, \quad \text{при этом } \cos \theta_2 = \sqrt{1 - (c_2/c_1) \sin \theta_1}.$$

В этих выражениях  $\theta_1$  и  $\theta_2$  — соответственно углы падения и пропускания,  $c_1$  и  $c_2$  — волновые числа в материалах отражателя,  $k_2$  — волновое число в материале отражателя.

В соответствии с этим выражением при нормальном падении  $\theta_1 = \theta_2 = 0^\circ$ ;  $m = (\rho_c)_{\text{з}} / (\rho_c)_{\text{п}}$ ; находим

$$\psi = (1/m - m) \operatorname{tg} kh / [2 - j (1/m - m) \operatorname{tg} kh]^{-1}. \quad (1.87)$$

$$\text{Анализ этого выражения показывает, что при нормальном падении отражателя } h = n\lambda/2, n = 1, 2, \dots, \text{ т. е. в кратной чистоте полузвука в материале отражателя, } \psi = 0, \text{ и коэффициент отражения становится равным нулю, т. е. } \chi_{\text{нр}}^{\text{м}} = 0, \text{ то } \operatorname{tg} kh = \infty \text{ и эффект отражения становится максимальным,}$$

результатом чего является полное поглощение волны в материале отражателя.

$$\rho = \frac{(\rho_c)^2 - (\rho_c)^2}{(\rho_c)^2 + (\rho_c)^2}, \quad (1.88)$$

Отсюда видно, что коэффициент отражения тем больше, чем больше отражатель выполняет сопротивление материала отражателя и волны. При нормальном падении теоретические формулы спиральных для жестких и упругих спиралей показывают, что при  $\theta_1 = 0$  сдвиговая волна в упругом материале не возбуждается. В связи с этим различие во взаимодействии акустической волны с жесткими (или резиново-под彈性ными) и упругими материалами проявляется лишь при наклонном падении.

При нормальном падении модуль коэффициента отражения в общем случае определяется

$$\psi = [(m - 1/m) \sin kh] \times \\ \times [(4 + (m - 1/m)^2 \sin^2 kh]^{-1/2} \quad (1.89)$$

Таблица 2. Параметры материалов, используемых в конструкциях отражателей

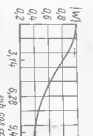
Материал	$\rho, \text{кг}^{-3}$	$c, \text{мс}^{-1}$	$mc^2, 10^6 \text{ кг}^{-1} \text{с}^{-1}$
Сталь	7800	5030	39.4
Литая	4500	5200	23.4
Спецстальник	1700	3000	~5.1
Плексиглас	1180	2820	3.3
Пенопласт	280	1400	0.37
Мокопластик	1260	—	~0.3
Пористый резин	—	500	0.4
Пробка	240	—	0.12
Воды при $t = 20^\circ \text{C}$	1,2	343	1.5
Воды	1000	—	1500

Типичные графики функции  $V = f(h/\lambda)$ , определяемой этим выражением, для материалов, используемых в инженерной практике, имеют вид, представленный на рис. 1.19. Если в материале отражателя имеется погрешность, то эта кривая имеет более сгаженный вид. В качестве звукопоглощающих материалов в инженерной практике также используются звукоизоляционные материалы, поскольку они в звуковом диапазоне частот и в более низких частотах, такие материалы имеют меньшие массы и габариты. Основные параметры материалов приведены в табл. 2, откуда видно, что некоторым звукометрическим материалам является воздух, для которого величина  $|W|$  равна 3600.

Конструкции обогревателей АА должны удовлетворять противоречиям, требующим обеспечения высокой механической прочности и высокой изусточистской проработанности. В соответствии с [72] для тонкой упругой пластины, находящейся в радиусе, module  $|W|$  и фаза коэффициента пропускания определяются выражениями

$$|W| = \left[ 1 + \left( \frac{kh \rho c \cos \alpha_1}{2(\rho c)_1} \right)^2 \right]^{1/2}, \quad (1.90)$$

$$\varphi_W = -kh \cos \alpha_1 + \arctg \frac{kh \rho c \cos \alpha_1}{2(\rho c)_1}. \quad (1.91)$$



Из этого выражения видно, что величина  $|W|$  и  $\varphi_W$  зависят от толщины оболочки обогревателя, материала чистого и болоневого сопротивления материала, а также от угла падения. На рис. 1.20 показана зависимость коэффициента пропускания акустического сигнала стальной оболочки от величины  $kh \cos \alpha_1$ . Из этого графика видно, что если необходиимо, например, обогреть края обогревателя, то коэффициент пропускания придется 0,9, имея в виду, что толщина стальной оболочки будет иметь относительную величину  $kh \cos \alpha_1 \approx 3,14 \cdot 10^{-3} \text{ Гц} \cdot \text{мм}$ .

Очевидно, что такие обтекатели обладают частотно-зависимым коэффициентом пропускания. Более сложные конструкции обтекателей и более обволочек позволяют получить приемлемый коэффициент  $|W|$ , достаточно широкий диапазон частот, однако громкости излучательной системы яблоки лежат в диапазоне частот, ограниченном тоном  $f_1$  и  $f_2$ , имеющим формулу (1.90). Кроме того, в соответствии с (1.91) изменение фазы коэффициента пропускания исключает ДН, т. е. приводит к колебаниям пеленгации.

### Примеры к главе I

Пример 1.1. Найти выражение для КК и эквивалентной частоты радиоизлучающего щитника, излучающего в полосе частот  $\Delta f = \frac{\omega_2 - \omega_1}{2\pi} = h$  при разомкнутом спектре  $S(f) = S_0$  и спектре вибрации  $S(f) = \omega f^{-2}$ .

Решение. Используя в качестве исходной формулу (1.33) и учитывая, что  $\omega(f) = 2h/c$ , получаем для первого и второго случаев соответственно

$$S(f) = 2h/c \cdot \Delta f / (\ln f_2 - \ln f_1); \quad \gamma(f) = 2h/c \cdot f_1 f_2 / (f_1 + f_2),$$

точно то же, что эквивалентная частота определяется формулами соответственно для  $S(f) = S_0$  и  $S(f) = \omega f^{-2}$ :

$$f_K = \Delta f / (\ln f_2 - \ln f_1); \quad f_B = f_1 f_2 / (f_1 + f_2).$$

Пример 1.2. Найти выражение для КК и эквивалентной частоты шлюпочного излучателя, излучающего в полосе частот  $\Delta f = f_2 - f_1$ , для разомкнутого спектра  $S(f) = S_0$  и спектре вибрации  $S(f) = \omega f^{-2}$ .

Решение. Используя в качестве исходной формулу (1.33) и учитывая, что  $\omega(f) = (4\pi\delta/c^2)f^2$ , получим

$$T(f) = (4\pi\delta/c^2)f/f_b; \quad \gamma(f) = \frac{4\pi\delta}{c^2} \frac{f_1 f_2^2}{f_1^2 + f_1 f_2 + f_2^2}.$$

Отсюда видно, что эквивалентная частота определяется для  $S(f) = S_0$  и  $S(f) = \omega f^{-2}$  выражениями

$$f_K = \sqrt{f_1 f_2}, \quad f_B = \sqrt{f_1^2 + f_1 f_2 + f_2^2}.$$

Пример 1.3. Оценить погрешности, возникающие при расчете КК в зависимости от величины  $R_{\text{кос}}$  в соответствии с выражением (1.13), если  $\Delta R_{\text{кос}} = \pm 10\%$ .

Решение. Используя формулу (1.13), получаем приближенное значение КК  $\gamma_0 \approx 333$ .

Используя формулу (1.14), получаем оценку погрешности:

$R_{\text{пог}} = \dots$	$0.01$	$0.02$	$0.05$	$0.1$
$(\gamma/\gamma_0) \cdot 100\%$	$3.3$	$11.5$	$46$	$60.5$

На основании приведенных расчетов можно сделать вывод о том, что использовать приближенную формулу (1.13) можно лишь при малом уровне дополниительных максимумов, практически не превышающих 0.02.

Пример 1.4. Используя табл. 1, получите уравнение ДН для двухточечного источника и сравните его с выражением для ДН при  $n=2$  для линейной дисcreteйной АА из 2 элементов.

Решение. Выражение ДН при условии, что расстояние до точки  $B$  (табл. 1) велико можно записать в виде

$$\begin{aligned} p(g) &= (p_0/r_0) \exp [j(\omega r - kr_0)] \times \\ &\times \left\{ \exp [j(1/2kd \sin \alpha)] + \exp [-j(1/2kd \sin \alpha)] \right\} \end{aligned} \quad (1.92)$$

или в более компактной записи

$$p(g) = (2p_0/r_0) \exp [j(\omega r - kr_0)] \cos \psi,$$

где  $\psi = \pi d k^{-1} \sin \alpha$ .

Такое выражение справедливо при выполнении условия  $r \approx r_0 - 1/2kd \sin \alpha$ :

$$r = \sqrt{r_0^2 + (d/2)^2} - r_0 d \sin \alpha = r_0 \sqrt{1 + (d/2r_0)^2} - d/r_0 \sin \alpha.$$

Из формулы (1.92) максимальное значение на оси двухточечного источника составляет

$$p_0 = 2p_0/r_0 \exp [j(\omega r - kr_0)] \quad (1.93)$$

и уравнение ДН  $R_p(g) = p(g)/p(0) = \cos(\pi d k^{-1} \sin \alpha)$ .

Сравнение выражения (1.93) с формулой для ДН дисcreteйной АА при  $n=2$ , имеем

$$R_p(g) = \frac{1}{2} \sin(\pi d k^{-1} \sin \alpha).$$

Учитывая известное соотношение  $\sin 2\alpha = 2 \sin \alpha \cos \alpha$  это выражение можно представить в виде

$$R_p(g) = \frac{1}{2} \frac{2 \sin(\pi d k^{-1} \sin \alpha) \cos(\pi d k^{-1} \sin \alpha)}{\sin(\pi d k^{-1} \sin \alpha)},$$

которое совпадает с полученным в данном примере.

Пример 1.5. Рабочая частота источника обеспечивает распространение в кипелюме волноды первых четверок нормальных волн. Источником является линейная дисcreteйная АА с числом элементов, равным четырем, как показано на рис. 1.5. Определите зеркальные коэффициенты, которые необходимо ввести в элементы АА для выделения второй нормальной нормы.

Решение. Собственные функции, приведенные на рис. 1.5, соответствуют следующим волнодам, выражаются в виде  $\varphi_m(z) = \sin(m - 1/2)\pi z h^{-1}$ , где  $h$  — толщина волноды. Из этого условия определим значения собственных функций,  $\varphi_m(z)$  в точках  $z = i \Delta z$  ( $i = 1, 2, \dots, 7$ ). Эти значения соответственно равны:

$\varphi_1(z) = \frac{\pi}{2n} z$	$\varphi_2(z) = \frac{3}{2} \frac{\pi}{n} z$	$\varphi_3(z) = \frac{5}{2} \frac{\pi}{n} z$	$\varphi_4(z) = \frac{7}{2} \frac{\pi}{n} z$
$2k = 2\pi/2n$	0.24	0.62	1.10
$2k = 3\pi/2n$	0.62	0.9	-0.22
$2k = 5\pi/2n$	0.9	-0.22	-1.10
$2k = 7\pi/2n$	1.0	-0.62	1.0
$2k = 9\pi/2n$	-1.0	1.0	-1.0

В результате получим систему уравнений из (1.36) и (1.37) с учетом того, что

$$m_1 = 1, 0.24 a_1 + 0.62 a_2 + 0.9 a_3 + a_4 = 0;$$

$$m_2 = 2, 0.52 a_1 + 0.9 a_2 - 0.22 a_3 - a_4 = 1;$$

$$m_3 = 3, 0.9 a_1 - 0.22 a_2 - 0.62 a_3 + a_4 = 0;$$

$$m_4 = 4, a_1 - a_2 + a_3 - a_4 = 0;$$

откуда весовые коэффициенты соответственно равны  $a_1 = 0.28$ ;  $a_2 = -0.42$ ;  $a_3 = 0.14$ ;  $a_4 = 0.28$ .

Знак «-» указывает на то, что необходимо осуществить повторный фазоразделятель.

Пример 1.6. Для линейной эквивалентистской компенсированной антенны из 4 элементов применительно к радионометрической структуре сигнала в положении  $\Delta f$ : а) найти выражение, определяющее скейлер, в пределах которого отсутствуют добавочные максимумы; б) построить ДН для следующих соединений:

$$n = 2 \text{ и } f_1/f_1 = 2; \quad n = 6 \text{ и } f_1/f_1 = 4.$$

Решение. 1) Определим условие пополнения добавочных максимумов. Очевидно, что в ДН такого антенных основной максимум является

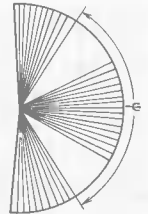


Рис. 1.21. К определению векторных «максимумов» частот на земном направлении для сектора

общими для всех частот, а направления добавочных максимумов для сектора на частотных составляющих спектра определяются выражением (см. табл. 1):

$$\alpha_{\max} = \arg \sin (\lambda d^{-1} l),$$

$$l = 1, 2, 3, \dots$$

Из этого выражения определяем максимальные, находящиеся добавочные максимумы на земном направлении для  $l$ :

$$f = \frac{c}{d \sin \alpha} l, \quad l = 1, 2, 3, \dots$$

Таким образом, по любому направлению существуют добавочные максимумы группы частот, кратных радиусу спектра  $f_b$ , т. е. отстоящим на одну и ту же величину  $f_b$ . По мере отклонения от основного максимума (при увеличении угла  $\alpha$ ) нижние частоты максимумов снижаются и, следовательно, соответствующие группам частот существует, т. е. вилкам добавочных максимумов возрастает по мере отклонения от основного максимума.

Определим условие наличия «нижнего» спектра, в котором отсутствует побочный максимум. Очевидно, что условие состоит в нахождении частот, на которых возникает добавочный максимум, лежащий в данном секторе. Если эти частоты лежат вне полосы  $\Delta f$ , то спектральный сектор будет «чистым», и условия его существования можно записать в виде

$$\sin \alpha / 2 = (\lambda / 2) (n - 1) / n.$$

Рис. 1.21 показывает пространственное величина «чистого» сектора  $\psi$ . Очевидно, благоприятные условия создаются, если «чистый» сектор охватывает углы  $\pm 90^\circ$ , что возможно при условии

$$d / \lambda \ll 1 / n (n - 1).$$

где  $\lambda$  соответствует высшей частоте;

2) выражение, описываемое Ди-антенны, состоящей из двух элементов и имеющей вид

$$R_D(f) = \cos [\pi f d c^{-1} \sin \alpha].$$

Используя выражение (1.27), для общей ДН получаем

$$R_D^2(f) = 1 / (f_b - f_a) \int_a^b \cos^2 [\pi d f c^{-1} \sin \alpha] df$$

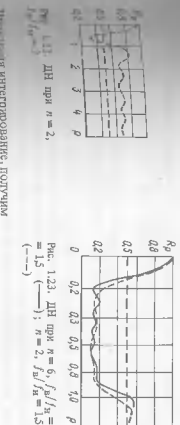


Рис. 1.22. ДН при  $n = 2$ ,  $f_b / f_a = 1.5$  ( $\text{---}$ );  $n = 2$ ,  $f_b / f_a = 1.5$  ( $\text{--}$ )

$$R_D^2(f) = \frac{1}{2} \left\{ 1 + \frac{\sin [\pi d f c^{-1} \sin \alpha (f_b - f_a)]}{\pi d f c^{-1} \sin \alpha (f_b - f_a)} \right\}$$

$$\times \cos \left[ \pi d f c^{-1} \sin \alpha (f_b - f_a) \right]$$

$f_b / f_a =$  соответствующая верхняя и нижняя частоты спектра.

Введем отношение  $k = f_b / f_a$ , обозначим длину волны на высшей частоте  $\lambda_0$  и запишем последнее выражение в виде

$$R_D^2(f) = \frac{1}{2} \left\{ 1 + \frac{\sin [\pi \lambda_0 (1 - k) d \sin \alpha]}{\pi \lambda_0 (1 - k) d \sin \alpha} \right\}$$

$$\times \cos [\pi \lambda_0 (1 + k) d \sin \alpha].$$

При действии с этим выражением на рис. 1.22 построена ДН антены с апертурой от  $d / \lambda_0$  для случая  $f_b / f_a = 2$ ; ( $k = 1/2$ ).

На рис. 1.22 видно, что при увеличении  $d / \lambda_0$  приближение  $R_D$  приближается к плавному  $D(f)$ , так что следует наложить формулу Диане говоря, введенную для широких максимумов, при  $d / \lambda_0 > 1$ , применить для общего случая, что соответствует  $d / \lambda_0 = 0.707$  от амплитуды на основном максимуме.

Найдя выражение для ДН при любом числе элементов, используя формулы табл. 1 и выражение (1.27), получаем

$$R_D^2(f) = \frac{1}{(n - m)^2} \int_m^{m+n-1} (n - m) \frac{\sin [\pi \lambda_0 (1 - k) d \sin \alpha]}{m \pi \lambda_0 (1 - k) d \sin \alpha} \times$$

$$\times \cos [\pi \lambda_0 (1 + k) d \sin \alpha].$$

Интегрирование этого выражения дает

$$\Re^2(f) = \frac{1}{n} - \frac{2}{n^2} \sum_{m=1}^{m=n-1} (n - m) \frac{\sin [\pi \lambda_0 (1 - k) d \sin \alpha]}{m \pi \lambda_0 (1 - k) d \sin \alpha} \times$$

$$\times \cos [\pi \lambda_0 (1 + k) d \sin \alpha].$$

Анализ этого выражения показывает, что при увеличении  $\rho = d/\lambda \sin \alpha$  величина  $R_p(f)$  приближается к значению  $1/\sqrt{n}$ . В соответствии с этим выражением на рис. 1.23 построены ДН антennы для случаев  $n=6$  и  $f_b/f_h=2$ ;  $n=6$  и  $f_b/f_h=4$ .

Из диаграмм видно, что влияние добавочных максимумов отсутствует при условии  $d/\lambda \sin \alpha < (n-1)/n$ , а величина  $R_p(f)$  приближается к значению  $1/\sqrt{6}=0,41$ .

Пример 1.7. Используя рис. 1.21 и данные предыдущего примера,

определить, при какой величине угла отклонения от основного максимума  $\psi/2$  не захватываются добавочные максимумы при заданных  $n$ ,  $d$ ,  $\lambda$ . Вводя понятие длины волны  $\lambda_0$ , соответствующей условию отсутствия добавочных максимумов в секторе  $\pm 90^\circ$ , выразить угол  $\psi$  через величины  $\lambda$  и  $\lambda_0$ .

**Решение.** Используя результаты примера 1.6, определяем условие отсутствия добавочных максимумов в секторе  $\psi$ :

$$d/\lambda \sin \psi/2 < (n-1)/n$$

где  $\lambda$  – длина волны наивысшей частоты в спектре сигнала.

Учитывая, что условием отсутствия добавочных максимумов в секторе  $\pm 90^\circ$  является  $d/\lambda_0 \leq (n-1)/n$ , получаем окончательный результат в виде

$$\sin \psi/2 \leq \lambda/\lambda_0.$$

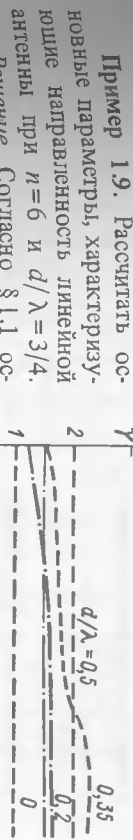
Пример 1.8. Определить, как изменяется КК линейной антенны при  $n=2$  в зависимости от угла компенсации при различных отношениях  $d/\lambda$ .

**Решение.** Используя данные табл. 1, получаем при  $n=2$

$$\gamma \approx 2 \left[ 1 + \frac{\sin 2\pi d \lambda^{-1}}{2\pi d \lambda^{-1}} \cos(2\pi d \lambda^{-1} \sin \alpha_0) \right]$$

Для детального анализа зависимости  $\gamma = \varphi(\alpha_0, d/\lambda)$  построим эти кривые для фиксированных значений  $d/\lambda = 0,0; 0,2; 0,35; 0,5$ . Анализ этих кривых, представленных на рис. 1.24, показывает, что при  $d/\lambda < 0,5$  КК изменяется в пределах  $1,5 \dots 2,5$  (например, при  $d/\lambda = 0,35$ ). При отношениях  $d/\lambda = 0,5i, i = 1, 2, \dots$  КК равен двум, т. е. числу элементов в группе, а при больших отношениях (практически при  $d/\lambda > 1,5$ ) при любых углах компенсации  $\gamma \approx 2$ .

Таким образом, исходя из расчетов, произведенных по формуле и наглядно представленных на рис. 1.24, можно сделать вывод о том, что при больших отношениях  $d/\lambda$  КК линейной антенны с искусственным сдвигом фаз приблизительно равен числу элементов антенны при любом угле компенсации от  $0$  до  $90^\circ$ .



Пример 1.9. Рассчитать основные параметры, характеризующие направленность линейной антенны при  $n=6$  и  $d/\lambda=3/4$ .

**Решение.** Согласно § 1.1 основными параметрами, характеризующими направленность, являются острота направленного действия  $\theta_0$ ; острота максимума  $\Delta\alpha$  (при изменении интенсивности  $i_f = 0,2$ ); коэффициент концентрации  $\gamma$ , число и направления дополнительных максимумов и их направления, число и направления добавочных максимумов.

Используя в качестве данных табл. 1, получаем

$$\theta_0 = 2 \arcsin \frac{\lambda 4}{n 3 \lambda}, \quad \text{т. е. } \theta_0 = 25^\circ 40';$$

$$\theta_{0,7} = 2 \arcsin 0,44 \frac{\lambda 4}{n 3 \lambda}, \quad \text{т. е. } \theta_{0,7} = 11^\circ 12';$$

$$\Delta\alpha = 0,55 \frac{\lambda 4}{n 3 \lambda} \sqrt{\frac{0,2}{1 - n^2}}, \quad \text{т. е. } \Delta\alpha = 3^\circ 7', \quad \text{а } 2\Delta\alpha = 6^\circ 14';$$

$$\gamma = 6 \left[ 1 + \frac{2}{6} \sum_{p=1}^{n-1} \frac{(6-p) \sin(2p\pi 3/4)}{2p\pi 3/4} \right]^{-1}, \quad \text{т. е. } \gamma = 8,57.$$

Используя формулы табл. 1, получаем, что число минимумов определяется соотношением

$$i_{\min} = \text{integer}[nd\lambda^{-1} \sin \alpha_{\min}],$$

$$\text{т. е. } i_{\min} = \text{integer}[6 \cdot 3 \lambda / 4\lambda] = 4.$$

Направления минимумов

$i$	$\sin \alpha_{\min_i}$	$\alpha_{\min_i}$
1	0,222	0,444
2	0,566	0,888
3	41° 50'	63° 00'
4		

Число дополнительных максимумов определяется соотношением

$$i_{\max} = \text{integer} 0,5 [2nd\lambda^{-1} \sin \alpha_{\max} - 1],$$

$$\text{т. е. } i_{\max} = \text{integer} 0,5 \left[ \frac{2 \cdot 6 \cdot 3\lambda}{\lambda 4} - 1 \right] = 4.$$

### Направления максимумов

$i = \dots \dots \dots$	1	2	3	4
ан. сплакс	0,533	0,556	0,775	1,000
ан. макс	19° 25'	33° 42'	51° 06'	90° 00'

Из выражения для ДН такой антенны с учетом того, что

$$a_{\max i} = \operatorname{asc} \sin \frac{\lambda}{2nd} (2i + 1),$$

получаем формулу для оценки амплитуд дополнительных максимумов

$$R_i = \left\{ n \sin [\pi/2n(2i + 1)] \right\}^{-1},$$

расчет по этой формуле дает результаты

$i = \dots \dots \dots$	1	2	3	4
ан. макс	0,236	0,173	0,173	0,236

Используя формулу  $d \sin \alpha = \lambda$ ,  $i = 1, 2$  (обращение ДН в макс., проверяем условие появления в ДН добавочных максимумов в результате заслонки об их отсутствии, поскольку  $3/4\lambda < 5/6\lambda$ , т. е.  $3/4 < 5/6$ ).

Пример 1.10. Для пивольной антенны при  $n = 10$ ,  $d\lambda^{-1} = 0,25$ ;  $0,5$  и  $0,75$  и угол компенсации  $\theta_0 = 60^\circ$ :

- а) рассчитать основные параметры, характеризующие направленность;
- б) построить ДН на интервале  $(-\pi/2, +\pi/2)$ .

Решение. 1) Согласно § 1.1 основные параметры, характеризующими направленность, являются острота направленного действия  $\theta_0$ , острота максимума  $\Delta\alpha$  (при изменении азимутальности  $\vartheta$  от  $0,2\pi$ ), коэффициент концентрации  $\gamma_1$ , число и величина дополнительных максимумов и их направленность, число и направление добавочных максимумов.

Используя в качестве исходных формул табл. 1, получаем: при  $d = 0,25\lambda$

$$\theta_0 = 106^\circ 20'; \quad \theta_{0,7} = 41^\circ 10'; \quad \Delta\alpha = 11^\circ 30',$$

т. е.  $2\Delta\alpha = 23^\circ 00'$ ;  $\gamma = 100$ ;

при  $d = 0,5\lambda$

$$\theta_0 = 47^\circ 10'; \quad \theta_{0,7} = 20^\circ 20'; \quad \Delta\alpha = 5^\circ 42',$$

для  $d = 0,75\lambda$

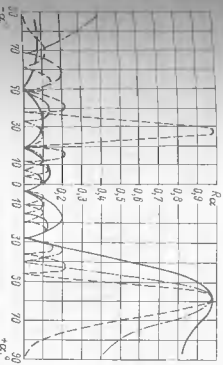
$$\theta_0 = 27^\circ 46'; \quad \theta_{0,7} = 2^\circ 47'; \quad \Delta\alpha = -19^\circ 30'; \quad -47^\circ 12'.$$

Направления минимумов при  $d = 0,5\lambda$  и  $d = 0,75\lambda$  вычисляются аналогичным образом.

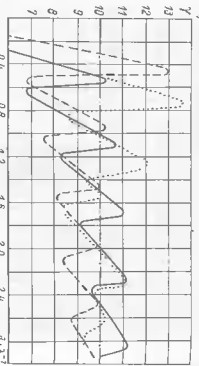
Используя формулу  $d(\sin \alpha - \sin \theta_0) = \pm \lambda$  (обращение ДН в макс., проверяем условие появления в ДН добавочных максимумов в результате заслонки, что при  $d = 0,25\lambda$  и при  $d = 0,5\lambda$  добавочные максимумы отсутствуют, а при  $d = 0,75\lambda$  появляются добавочный максимум). Из направлений, которые определяются из следующей формулы:

$$a_{\min i} = \operatorname{asc} \sin [\sin 60^\circ \pm \lambda/0,75\lambda], \text{ т. е. } \theta_{\min i} = -27^\circ 58'.$$

2) По данным табл. 1 построим ДН антенны (рис. 1.25). Анализ ДН показывает, что при  $d = 0,25\lambda$  присутствует 4 минимума, между ними разница между ценой при дополнительных максимумах, величина которой не превышает  $0,22^\circ$ , при  $d = 0,5\lambda$  присутствуют 9 минимумов, между которыми



- т. е.  $2\Delta\alpha = 7^\circ 36'$ ;  $\gamma = 8,5$



жесткости к числу элементов антенны. При углах компоновки 0 и 90°, т. е. при некомпенсированной антенне и при компенсации вдоль линии, соединяющей элементы антенны, флуктуация 7 при  $d/\lambda < 1$  зависито больше (в пределах 8...16), а при  $d/\lambda > 1$  также приближается к числу элементов антенны.

**Пример 1.12.** Определить длину излучающей линейной антенны, обеспечивающей ширину основного максимума ДН 10° на уровне -6 дБ, если работа ведется в стояч  $f = 30$  кГц. Найти также направление и амплитуду первых дополнительных максимумов.

Решение. Постеколку  $20 \lg |P|/P_0 = -6$  дБ, т. е.  $|P|/P_0 = 0.5$ , имеем

$$\frac{\sin(\pi f \lambda^{-1} \sin \alpha)}{\pi f \lambda^{-1} \sin \alpha} = 0.5$$

откуда по таблице значений функции  $\sin x/x$  имеем  $\pi f \lambda^{-1} \sin \alpha = 1.895$ . Из последнего соотношения с учетом  $\lambda = c/f$  получаем  $l = 0.346$  м.

Используя формулу Гаусса для ДН и формулы напраление первого дополнительного максимума  $\sin \alpha_1 = 1/36^2$ , и его длину

$$R_{\text{доп}} \approx 0.212.$$

**Пример 1.13.** Найти зависимость привесной частоты, соответствующей полевому давлению максимумов, от расстояния между зонами линейной антенны при  $n = 10$ .

*Решение.* Используя формулу для ДН и учитывая, что  $\lambda = c/f$  получаем выражение для  $f_{\text{доп}}$  в виде

$$f_{\text{доп}} \leq (c/nf)(n-1)$$

Для наглядности построим зависимость  $f_{\text{доп}}(d)$ , принявая  $c = 1500$  м/с,  $d = 0.1 \dots 10$  м (рис. 1.27). Анализ рис. 1.27 показывает, что первая кривая лежит в диапазоне  $f = 1.0 \dots 1.5$  кГц, т. е. при увеличении частоты первой лежит в диапазоне  $1.5 \dots 2$  кГц.

Заметим, что при уменьшении частоты от 1 кГц и ниже — резко

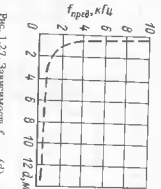


Рис. 1.27. Зависимость бреда (d)

Рис. 1.28. График функции  $I_0(z)$ ,  $z = \pi D/\lambda \sin \alpha$

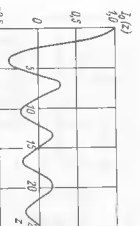


Рис. 1.28. График функции  $I_0(z)$ ,  $z = \pi D/\lambda \sin \alpha$  — закон синуса стоит отношение  $\lambda/L$ , а для дисперсионной антенны  $\lambda/d = (n - 1)/n \lambda/L$ . т. е. во втором случае апертура антенны больше.

Используя наборы направлений, значения тригонометрических функций, однозначно, как синусы, можно функции и аргумента. Основное следует, что изменение угла на 1 % в диапазоне 5 ... 10° соответствует изменению функции на 5 % в диапазоне 75 ... 80° на ~ 1.5 %. Следовательно, 1 ... 1.5 % изменения функции могут быть реальными, если отношение  $(n - 1)/n \approx 0.99$  ... 0.985, откуда определяем  $n = 100$ .

**Пример 1.15.** Для антенны в форме окружности диаметром  $D = 0.5$  м, угол компенсации  $\alpha_0 = 0^\circ$ , число элементов  $n = 6$ ; 10; 20, рабочей длине волны  $\lambda = 0.3$  м рассчитать параметры, характеризующие ее направлительность.

**Решение.** Основные параметры направленности (см. пример 1.9) являются:

$$\theta_0 = 4 \arcsin 0.38 \lambda/D, \text{ т. е. } \theta_0 = 52^\circ 40';$$

$$\theta_{0.7} = 4 \arcsin 0.175 \lambda/D, \text{ т. е. } \theta_{0.7} = 23^\circ 24';$$

$$\Delta\alpha = 0.45 \sqrt{\nu_f} \lambda/D, \text{ т. е. } \Delta\alpha = 6^\circ 50' \text{ или } 2\Delta\alpha = 13^\circ 40',$$

$$\gamma \approx 2\pi d/\lambda, \text{ т. е. } \gamma = 10.5.$$

Используя график функции  $I_0(z)$ , представленный на рис. 1.28, определим величину аргумента  $z$ , при которой функция обращается в нуль:  $z = 2.4^\circ, 5.52^\circ, 8.65^\circ, 11.79^\circ, 14.93^\circ$ . Отсюда направления минимума апerture:  $\alpha_1 = 22^\circ, 80^\circ, 130^\circ, 180^\circ$ .

Используя график функции  $I_0(z)$ , представленный на рис. 1.28, определим величину аргумента  $z$ , при которой функция имеет максимум

$z$	3.83	7.02	10.17	13.32
$R_{\text{ап}(e)}$	-0.403	0.3	-0.25	0.218

Пример 1.14. Оценить, при каком числе элементов  $n$  линейной антенны острота ее направленного действия составляет 95 % от остроты направленного действия пиннейской непрерывной антенны при одинаковых длинах АНН в табл. 1, заключаем, что

для непрерывной антенны, имеющей длину  $\lambda$  в табл. 1, значение  $\lambda/d$  соответствует  $\lambda/L$ , а для дискретной  $\lambda/d = (n - 1)/n \lambda/L$ . т. е. для антенны длины  $\lambda$  получим  $\lambda/d = (n - 1)/n \lambda/L$ .

**Решение.** Используя формулу (1.14), получим, что для непрерывной антенны, имеющей длину  $\lambda$  в табл. 1, заключаем, что

для непрерывной антенны, имеющей длину  $\lambda$  в табл. 1, заключаем, что

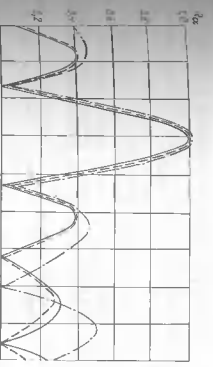


Рис. 1.29. Диаграмма направленности с углом компенсации  $\alpha_0 = 0^\circ$ ,  $n = 6, 10, 20$

Направленные диагональных максимумов  $\alpha_{\max} = 55^\circ, 107^\circ, 150^\circ$  при любом из заданного числа элементов добиваются максимума отсутствуют.

**Пример 1.16.** Для антенны в форме окружности диаметром  $D = 0.5$  м, длине волны  $\lambda = 0.3$  м:

а) рассчитать параметры, характеризующие направленность;

б) построить диаграмму направленности.

**Решение.** 1) Основные параметры направленности (см. пример 1.9) определяют значения:

$$\theta_0 = 52^\circ 40'; \quad \theta_{0.7} = 23^\circ 42'; \quad \Delta\alpha = 13^\circ 40'; \quad \gamma = 10.5.$$

Используя график функции  $I_0(z)$ , представленный на рис. 1.28, определим величину аргумента  $z$ , при которой функция обращается в нуль:  $z = 2.4^\circ, 5.52^\circ, 8.65^\circ, 11.79^\circ, 14.93^\circ$ . Отсюда направления минимума апerture:  $\alpha_1 = 22^\circ, 80^\circ, 130^\circ, 180^\circ$ .

Построим диаграмму функции  $I_0(z)$  (см. рис. 1.28), определяем величину аргумента  $z$ , при которой функция имеет максимум

$z$	3.83	7.02	10.17	13.32
$R_{\text{ап}(e)}$	-0.403	0.3	-0.25	0.218

Направления дополнительных максимумов  $\alpha_{\text{доп}} = 10^\circ; 102^\circ; 150^\circ$

2) Построим ДН антенны в форме окружности (рис. 1.29). Анализ рис. 1.29 показывает, что при  $n \geq 6$  форма основного максимума ДН определяется кривой  $I_0(z)$ , т. е. в этом случае острота направлений действия не зависит от числа элементов в антенне и определяется лишь отно-

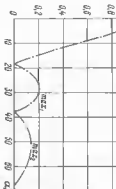


Рис. 1.30. ДН плоской прямоугольной антенны

При любом из заданных чисел определяются добавочные максимумы максимума, имеющие лишь амплитуду, количество и направление дополнительных максимумов.

**Пример 1.17.** Для плоской прямоугольной антенны размерами  $19 \times 19$  см $^2$  на частоте  $f = 25,3$  кГц ( $\lambda = 5,9$  см):

а) рассчитать параметры, характеризующие направленность; б) построить ДН.

**Решение.** 1) Рассчитаем основные параметры направленности (см. прил. 1.9):

Таблица 3  
Число, амплитуды и направления максимумов и минимумов в ДН рупорной

Ном.	$R_{\text{ант}}/R_d = 0$	$K_{\text{ант}}$	$\lambda = 0,1$ м	
			$\frac{\sin \alpha_{\text{ макс}}}{\sin \alpha_{\text{ мин}}}$	$\frac{\alpha_{\text{ макс}}}{\alpha_{\text{ мин}}}$
1	5,14/3,83	0,132	0,327/0,242	$19^\circ 51' 4''$
2	8,44/7,02	0,0645	0,336/0,447	$32^\circ 23' 26'' 30'$
3	11,63/10,17	0,04	0,342/0,646	$49^\circ 55' 49'' 35'$
4	14,81/12,52	0,03	0,943/0,844	$70^\circ 25' 19'' 35'$

$\lambda = 0,05$ м	$\lambda = 0,05$ м
$\frac{\sin \alpha_{\text{ макс}}}{\sin \alpha_{\text{ мин}}}$	$\frac{\alpha_{\text{ макс}}}{\alpha_{\text{ мин}}}$
$\frac{\sin \alpha_{\text{ макс}}}{\sin \alpha_{\text{ мин}}}$	$\frac{\alpha_{\text{ макс}}}{\alpha_{\text{ мин}}}$

$\sin \alpha_{\text{ макс}}$	$\alpha_{\text{ макс}}$	$\sin \alpha_{\text{ мин}}$	$\alpha_{\text{ мин}}$
0,246/0,183	$14^\circ 13' / 10^\circ 33'$	0,64/0,122	$9^\circ 26' / 7^\circ$
0,403/0,350	$22^\circ 46' / 19^\circ 36'$	0,28/0,224	$15^\circ 33' / 11^\circ 56'$
0,557/0,485	$33^\circ 30' / 25^\circ 56'$	0,31/0,24	$11^\circ 58' / 8^\circ 56'$
0,709/0,636	$45^\circ 10' / 39^\circ 50'$	0,41/0,424	$28^\circ 2' / 25^\circ 5'$

$\theta_0 = 30^\circ 00'$ ;  $\theta_0,7 = 16^\circ 10'$ ;  $2\Delta\alpha = 8^\circ 44'$ ;  $\gamma = 6^\circ 44'$ .

Используя формулу для  $\alpha_{\text{мин}}$ , получаем, что число минимумов определяется соотношением

$$i_{\text{мин}} = \text{integer} [ \frac{1}{\lambda} \sin \alpha_{\text{мин}} ],$$

$$i_{\text{ макс}} = \text{integer} [ \frac{1}{\lambda} \sin \alpha_{\text{ макс}} ] = 3.$$

Направления минимумов

$$\begin{aligned} 1 & \quad \sin \alpha_{\text{мин}} = \frac{1}{0,508} \\ \alpha_{\text{мин}} & = 18^\circ 00' \\ & \quad \sin \alpha_{\text{ макс}} = \frac{1}{0,62} \\ & \quad \alpha_{\text{ макс}} = 38^\circ 20' \\ & \quad \sin \alpha_{\text{ макс}} = \frac{1}{0,775} \\ & \quad \alpha_{\text{ макс}} = 51^\circ 30' \end{aligned}$$

Используя формулу для ДН, получаем амплитуды дополнительных максимумов:

$$\begin{aligned} i & \quad \sin \alpha_{\text{ макс}} = \frac{1}{0,466} \\ \alpha_{\text{ макс}} & = 27^\circ 47' \\ & \quad \sin \alpha_{\text{ макс}} = \frac{1}{0,212} \\ R_{\text{ант}}^{(a)} & = 0,127 \end{aligned}$$

2) Построим ДН прямоугольной антенны (рис. 1.30). Анализ рис. 1.30 показывает, что при  $D_1 = 0,05$  м, диаметром излучателя  $D_2 = 0,02$  м при глубине рупора  $K_{\text{рв}} = D_1/D_2 = 0,5$  (см. рис. 1.8) на рабочих частотах  $15 \text{ кГц}$ ;  $20 \text{ кГц}$ ;  $30 \text{ кГц}$  Кривая  $D_1 = 0,5$  м, диаметром излучателя  $D_2 = 0,02$  м при глубине рупора  $K_{\text{рв}} = 0,25$  м (см. рис. 1.8) на рабочих частотах  $15 \text{ кГц}$ ;  $20 \text{ кГц}$ ;  $30 \text{ кГц}$ .

**Пример 1.18.** Для рупорной акустической антенны с диаметром излучателя  $D_1 = 0,5$  м, диаметром излучателя  $D_2 = 0,02$  м при глубине рупора  $K_{\text{рв}} = 0,25$  м (см. рис. 1.8) на рабочих частотах  $15 \text{ кГц}$ ;  $20 \text{ кГц}$ ;  $30 \text{ кГц}$ :

а) рассчитать основные параметры, характеризующие направленность;

б) построить ДН.

**Решение.** 1) Покажем, что выполняется условие  $D_2/D_1 \ll 1$ , основные параметры направленности (см. пример 1.9) будут равны:

при  $\lambda_1 = 0,1$  м  $\theta_0 = 28^\circ 00'$ ;  $\theta_0,7 = 14^\circ 40'$ ;  $2\Delta\alpha = 6^\circ 36'$ ;  $\gamma = 15,7$ ;

а) на них выдражната, описывающее ДН антенны и построить ее;

б) найти выражение для расчета ОНД антенны.

Решение. 1) Используя формулу (1.50) представим уравнение ДН

затворной антенны в виде произведения:

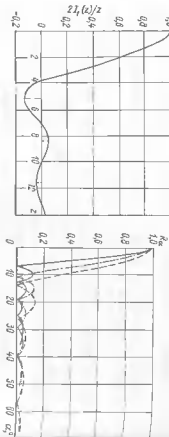


Рис. 1.32. ДН затворной антенны

$\lambda = 0.05 \text{ м}$ ; —  $\lambda = 0.1 \text{ м}$ ;  $\lambda =$

$$R_p(\alpha) = \frac{\sin(\pi/\lambda - \sin\alpha)}{\pi/\lambda - \sin\alpha} \frac{\sin(\pi\alpha/\lambda - \sin\alpha)}{\pi\alpha/\lambda - \sin\alpha}, \quad (1.94)$$

где  $\psi = \pi/\lambda^{-1} \sin\alpha$ ,  $k = d/\lambda$ .  
Построим ДН антенны, используя кривые  $R_1(\alpha)$  и  $R_2(\alpha)$ , как показано на рис. 1.33. б. Очевидно, результаты, полученные кривые  $R_p(\alpha)$  будут иметь максимумы в тех же точках, что и обе кривые  $R_1(\alpha)$  и  $R_2(\alpha)$ .  
Измножив соответствующие максимумы, определяют произведение  $R_1(\alpha) R_2(\alpha)$  в точках, соответствующих максимумам кривой  $R_2(\alpha)$ .

2) Используя рис. 1.33, несложно, что ОНД определяется первым максимумом кривой  $R_2(\alpha)$ , т. е. она такая же, как у затворной антенны с заземлением, расположенной в центре прямоугольника,  $\theta_0 = 2\pi d \sin(\lambda/L)$ , а постоянная  $\alpha_0 = L + d$ , где  $L$  — расстояние между центрами крайних прямоугольников,  $\theta_0 = 2\pi d \sin(\lambda/(L+d))$ .

Пример 1.20. Используя условия примера 1.19, определить величину первого дополнительного максимума при различных соотношениях расстояния между прямоугольниками и их шириной (в штоках ширины  $a$ ).

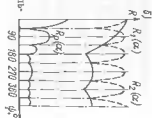
Решение. Исходя из формулы для ДН антенны и учитывая рис. 1.33, можно с посторонней для практики точностью считать, что первый дополнительный максимум в ДН имеет место при  $R_2(\alpha) = 1$ , при  $\psi = \pi/2$ . Подставляя в равенство (1.95) это значение  $\psi$ , получим

$$\alpha_1 = \frac{\sin(\pi/\lambda^{-1})}{\pi/\lambda^{-1}} \quad \text{ибо} \quad R_1 = 1 = \frac{\sin[\pi(1 + a/L)]}{[\pi(1 + a/L)]}.$$

В соответствии с последним выражением рассчитана зависимость  $R_1 = 1 \approx f(a/L)$ , которая для значений  $a/L \in [0.2 \dots 1.0]$  приведена на рис. 1.34.

Анализ этого рисунка показывает, что амплитуда первого дополнительного максимума monotonно возрастает при увеличении отноше-

Рис. 1.33. Антенна, состоящая из плоских прямоугольников (а); ДН антенны (б)



**Пример 1.21.** Найти длину линейкой

антенны и количество элементов, обеспечивающих отсутствие добывочных максимумов синусоидальной волны на рабочей частоте 6 кГц при отсутствии щитку ДН  $\theta = 6^\circ$  на уровне  $-10^\circ$ .

**Решение.** Постольку  $20\lg d/\rho_0 = -6 \text{ дБ}$ ,  $R_i = 1 = T_s \cdot p/\rho_0 = 0.5$  касем  $f(w_i) = f(w)$ .

откуда по таблицам значений функции  $\sin \alpha/k$  имеем  $\pi/k \approx \sin \theta_0/2 = 1.895$ . Отсюда находим величину  $k$ :

$$k = \frac{1.895}{\pi \sin 3^\circ} = 11.5.$$

Используя условие отсутствия максимумов, равных основному, в виде  $d \leq \lambda/2$ , получаем что расстояние между элементами в антенне не должно превышать  $0.5 \text{ м}$ , следовательно, число элементов должно быть не менее  $n = 11.5/0.5 = 23$ .

**Пример 1.22.** Для двух горизонтальных источников, находящихся на частоте 30 кГц и находящихся на расстоянии 2,5 см друг от друга, определить величину отклонения от нормали, при которой разделяющее давление будет не less than  $6 \text{ дБ}$  ниже максимума.

**Решение.** Аналогично примеру 1.21, получаем соглашение  $\cos [\pi d/\rho_0 \cdot \sin \alpha] = 0.5$ , откуда определим

$$\sin \alpha = \frac{c \sin \theta_0 / \rho_0}{\pi d}.$$

где  $\alpha$  — является некоторым условом.

Используя подобное выражение, получаем  $\alpha = 41.4^\circ$ .

**Пример 1.23.** Для шпектской горизонтальной антенны диаметром 12 см, излучающей звук на частоте 37,5 кГц, выбрать КК и оценить потребительский, возникающий при расчетах по упрощенной формуле (см. табл. 1).

**Решение.** Используя упрощенную формулу (табл. 1) для вычисления КК, поскольку напоминается условие  $D/\lambda \geq 3$ , имеем  $T = 89$  или  $10 \text{ дБ } f = 19.5 \text{ дБ}$ .

Использовая более точную формулу для  $\gamma$  имеем

$$\gamma = 89 \left[ 1 - \frac{4}{12 \cdot 3.14} \sqrt{\frac{4}{3.142 \cdot 12}} \sin \left( \frac{2\pi \cdot 12}{4} - \frac{\pi}{4} \right) \right]^{-1}.$$

откуда  $\gamma = 87.8$  или  $10 \text{ дБ} = 19.43 \text{ дБ}$ .

Анализ расчетов показывает, что потребительство определяется звуковой вибрацией в измерителе точной формулы слегка меньшим, чем в измерителе, при котором  $D/\lambda = 3$  составляет  $\sim 1.4\%$ .

**Пример 1.24.** Определить размеры плоскогубчатой антенны

частоте 10 кГц, обеспечивающей угол чувствительности в горизонтали  $\theta_{0,7} = 10^\circ$ , ширина  $2 \Delta = 4^\circ$  и угол обзора в вертикальной плоскости  $\theta_{0,7} = 10^\circ$ . Высота КК и ОНД в вертикальной плоскости  $h = 0.2$ .

**Решение.** Попадая при максимальном методе пеленгования  $\psi = 0.2$ , вибрациям  $\sigma = 0.93 \text{ м}$ .

Используя формулу для  $\theta_{0,7}$ , находим вертикальный размер антены при  $\theta_{0,7} = 30^\circ$ ,  $b = 0.26 \text{ м}$ . Используя приближенную формулу  $\gamma = 4\pi b^2/\lambda^2$ , имеем  $\gamma = 135$ .

Используя формулу для  $\theta_0$ , определяем в вертикальной плоскости  $\theta_0 = 70.52^\circ$ ; в горизонтальной плоскости  $\theta_0 = 20.36^\circ$ .

**Пример 1.25.** Для плоского квадрата, имеющего эффективную площадь  $S = 100 \text{ см}^2$  и колебательного сигнала на частоте 30 кГц, мощность из КВт, наименьшее значение и интенсивность на оси.

**Решение.** Используя упрощенную формулу (см. пример 1.24) и учитывая, что  $\lambda = c/f$  ( $c = 1500 \text{ м/с}$ ), величина  $KK = 50.4$ , Используя формулу  $I_r = 3.45 \cdot 10^4 \sqrt{S/f}$ , где  $R_a$  — излучаемая акустическая мощность,  $V_F$  — полная дальность и интенсивность на оси получаем  $I_r = 1.35 \cdot 10^5 \text{ Па}$ .

Интенсивность сигнала в той же точке равна

$$I_r = 1 \text{ м} = R_a^2 / \rho c = 1.2 \cdot 10^4 \text{ Вт/м}^2$$

**Пример 1.26.** Сравнить ОНД линейной антенны с искусственным свищом фаз при угле компенсации  $\theta_0 = 0^\circ$  и  $\theta_0 = \pm 90^\circ$ , если число элементов  $n = 10$ .

**Решение.** ОНД антенны при угле компенсации  $\theta_0 = 0^\circ$ :

$$\theta_0 = 2 \arcsin \sin \lambda / n d,$$

где  $\lambda/d$  следует, что при этих углах понятие об ОНД практически теряет смысл. При условии отсутствия добывочных максимумов  $d \leq (n-1)/2\pi$  она составляет  $\theta_0 = 25.20^\circ$ . При угле компенсации  $\theta_0 = \pm 90^\circ$  выражение для ОНД имеет вид

$$\theta_0 = 2 \arcsin |1/d| \cdot |\cos 90^\circ|,$$

т. е. при условии отсутствия добывочных максимумов  $d \leq (n-1)/2\pi$  она составляет  $\theta_0 = 25.20^\circ$ . При угле компенсации  $\theta_0 = \pm 90^\circ$  выражение для ОНД имеет вид

**Пример 1.27.** Для рупорной антенны с углом раскрытия  $90^\circ$  (см. рис. 1.9) определить высоту облучающего шлангера  $h$  и диаметр раскрытия  $D_2$ , если на рабочей частоте 5,5 кГц, необходимо обеспечить угол чувствительности  $2 \Delta = 2^\circ$  при отношении  $D_1/D_2 = 0.2$ .

**Решение.** Используя формулу для  $\gamma$  из табл. 1 для  $D_2$  и учитывая, что  $\lambda = 0.27 \text{ м}$  при  $H = 0.2$ , определяем  $D = 2.22 \text{ м}$ .

Из табл. 1 следует, что высота куплюндского шлангера равна полу-диаметру раскрытия рупора, т. е.  $h = 1.11 \text{ м}$ .

**Пример 1.28.** Найти давление в волне по направлению  $30^\circ$  от оси на двух точечных источников мощностью  $1 \text{ кВт}$  каждая, расположенные на расстоянии  $1,4 \text{ м}$  от друга.

*Решение.* Используя формулу  $P_r = 3.45 \cdot 10^2 \sqrt{P_a}$ , определяем давление на ось двухточечного источника с учетом выражения для КК из табл. 1, которое при  $d = \lambda/4$  дает

$$\gamma = 2 \left[ 1 + \frac{\sin 0.5\pi}{0.25\pi} \right]^{-1} \quad \text{т. е. } \gamma \approx 1.77.$$

откуда  $P_r = 2.05 \cdot 10^3 \text{ Па}$ .

Используя выражение для ДН двухточечного источника, получим

$$\sin \theta_0/4 = \rho_0 \cos(\pi/4 \sin 30^\circ) = \rho_0 \cdot 0.924,$$

откуда  $\rho_{30^\circ} = 1.9 \cdot 10^3 \text{ Па}$ .

**Пример 1.29.** Показать, что для антенн в форме окружности при  $n \geq 6$  слагаемое  $\gamma/4 = 0.48 \sin \theta_0/4$ .

*Решение.* Установим, что при  $n \geq 6$  выражение для ДН антennы в форме окружности имеет вид  $R_p(g) = I_0(g)$ , где  $z = 2\pi d/\lambda \sin(\alpha - \phi_0)/2$ , используем рис. 1.29 для находящих величин  $z$ , при которой функция Бесселя первого раза обнуляется в нуль, откуда  $z = 2.41$ . Тогда углы компонентами  $\theta_0 = 0^\circ$  для ОНД имеем

$$\sin \theta_0/4 = 0.38 \lambda/D$$

Используя рис. 1.28, находим величину, при которой  $I_0(z) = 0.707 I_0(0)$ , откуда  $z = 1.1$ . Следовательно, для ОНД на уровне 0.707 по давлению имеем

$$\sin \theta_0/4 = 0.75 \lambda/D.$$

Домножая обе части последнего равенства на 2.17, получим для уровня:

$$\sin \theta_0/4 = 0.38 \lambda/D;$$

$$2.17 \sin \theta_0/4 = 0.38 \lambda/D;$$

$$2.17 \sin \theta_0/4 = 0.38 \lambda/D;$$

откуда следует искомый результат.

**Пример 1.30.** Выяснить величину акустического давления в направлении  $45^\circ$  к оси цилиндрической антенны при  $D/\lambda = 0.15$ , если давление на оси составляет  $10 \text{ Па}$ .

*Решение.* Используя данные для ДН из табл. 1, определим величину  $z$  при  $\alpha = 45^\circ$ , откуда  $z = 1.664$ . По графику функции  $Z_{11}(z)/z$  представляемому на рис. 1.31, находим величину  $R_p(g)$ , соответствующую значению  $z = 1.664$ , которая равна  $0.7$ . Следовательно,  $P_{45^\circ} = 0.7 \cdot 10^5 \text{ Па}$

**Пример 1.31.** Найти выражение и построить оптимальную ДН и коэффициенты для этого амплитудно-распределение в линейном аттенюаторе, состоящей из двух звеньев с коэффициентами на 30 дБ, если задано ослабление дополнительных максимумов на 30 дБ.

*Решение.* Оптимальная ДН в рассматриваемом случае является  $p(g) = \Gamma_{11}(g)$ , где  $x = \lambda d$  в свою очередь, и  $\pi d \lambda^{-1} \sin g$ . Эта диаграмма является полиномом

$$p_0(g) = A_1 \cos g + A_2 \cos 3g + A_3 \cos 5g + A_4 \cos 7g.$$

Найдем это соотношение через степени синуса с учетом выражения для выражения Чебышева:

$$p_0(g) = 6A_4 \cos^7 u + (16A_3 - 112A_4) \cos^5 u + (4A_2 - 20A_3 + 56A_4) \cos^3 u + (A_1 - 3A_2 + 5A_3 - 7A_4) \cos u$$

Для нахождения коэффициентов составим систему уравнений с учетом того, что

$$T_7(x) = 64x^7 - 112x^5 + 56x^3 - 7x,$$

т.е.  $z = x_0 \cos g$ . Приведем коэффициенты в шах по следующим выражениям, ищем

$$\begin{aligned} & A_4 = x_0^7, & A_4 = x_0^7; \\ & 16A_4 - 112A_4 = -112x_0^5; & A_3 = 7A_4 - 7x_0^5; \\ & 4A_2 - 20A_3 + 56A_4 = 56x_0^3; & \text{или} \\ & A_1 - 3A_2 + 5A_3 - 7A_4 = -7x_0; & A_2 = 5A_3 - 14A_4 + 14x_0^3; \\ & x_0 = 0.5(2 - 31\varphi)^{1/n} + (2 - 31\varphi)^{-1/n}, & A_1 = 3A_4 - 5A_3 - 7x_0. \end{aligned}$$

Находим величину  $x_0$  по приближенной формуле (1.70), поскольку

нашему случаю  $\varphi$  видимо не составляет величину  $\pi$  или  $1.5$  или  $3.16$ , т.е.

$$x_0 = 0.5(2 - 31\varphi)^{1/n} + (2 - 31\varphi)^{-1/n}, \text{ где } n=7,$$

подставляя найденную величину  $x_0$  в систему уравнений, вычисляем коэффициенты:  $A_1 = 1.25$ ;  $A_2 = 0.92$ ;  $A_3 = 6.33$ ;  $A_4 = 3.20$ . Для определения корректирующей ДН в соответствии с формулой (1.63) решаем

однократно формулу, описанную для линейной антенны с  $d = 0.5 \lambda$  и требуемым дополнительным максимумом на 30 дБ, имеем вид

$$R_p(\alpha) = 0.387 \cos 3\alpha + 0.313 \cos 5\alpha + 0.199 \cos 7\alpha.$$

Направления дополнительных максимумов в соответствии с формулой (1.71)

$$\theta_{\max 1} = 42^\circ; \quad \theta_{\max 2} = 60^\circ; \quad \theta_{\max 3} = 80^\circ.$$

Направления первичных в соответствии с формулой (1.72)

$$\theta_{\min 1} = 34^\circ; \quad \theta_{\min 2} = 48^\circ 30'; \quad \theta_{\min 3} = 68^\circ.$$

Для определения ширин ДН на уровне половинной мощности получим формулу для использования соотношения  $T_r(x_0, x') = 0.707 T_r(x_0)$ , откуда по дугам

$$2x' x_0 \approx (1.4|4 \cdot r|)^{1/2} + (1.4|4 \cdot r|)^{-1/2}$$

и для ширины ДН на уровне половинной мощности получим формулу

$$\theta_{0.7} = 2 \arcsin \left[ n d \lambda^{-1} \operatorname{arc} \cos x' \right],$$

вычисления по которой дают  $\theta_{0.7} = 33^\circ 12'$ .

На окончании полученных соотношений на рис. 1.35 построена ДН антенны в полярной и прямоугольной системах координат, где уровни акустического давления (нормированные) показаны в дБ относительно максимального значения при  $\alpha = 0^\circ$ .

Анализ рис. 1.35 позволяет сравнить ширину основного лепестка полученной антенны и сплошной антенны. Для сплошной антенны  $\theta_{0.7} = 29^\circ 21'$ , т. е. расширяет основной лепесток приблизительно за счет уменьшения дополнительных максимумов от  $-13$  до  $-30$  дБ.

Пример 1.32. На риске распространение амплитуды возбуждения элементов оптимальной распределенной АА с числом элементов  $N = 8$  при подавлении дополнительных максимумов на 30 дБ.

Решение. Исходя из условий  $B = 30$  дБ, определяем величину  $x_0$  по формуле на рис. 1.14 для АА с числом элементов, равным 8, откуда  $x_0 = 1.5$ . На основании выражений (1.76), (1.77) и (1.62) для  $n = 8$  имеем

$$2p_1 \sin u \sin u + 2p_2 \sin 3u \sin u + 2p_3 \sin 5u \sin u + \\ + 2p_4 \sin 7u \sin u = T_8(x_0, x).$$

$$\text{откуда } 2p_1 + 2p_2(4x^2 - 1) + 2p_3(16x^4 - 12x^2 + 1) + 2p_4(64x^6 - 80x^4 + 24x^2 - 1) = 32.26x^2 - 48x^4 + 18x^6x^2 - 1. \quad \text{Для нахождения величины } p_i \text{ приравняем коэффициенты при одинаковых степенях:}$$

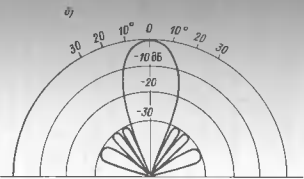


Рис. 1.35. ДН линейной антенны с ослаблением дополнительных максимумов на 30 дБ (—); без ослабления (---) в полярной (а), в прямоугольной (б) системах координат

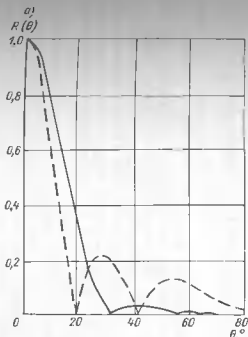


Рис. 1.36. Использование формулы (1.40) и (1.63), получим уравнение

$\Re = \text{предм} + \text{вторм}$  случае:

$$N_1 = 1.3 (\sin x/x)(\cos x + \cos 3x + \cos 5x);$$

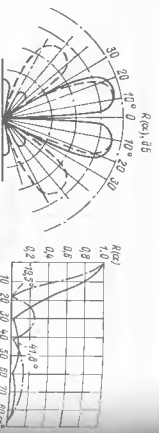


Рис. 1.36. Оптимальная «расщепленная» ДН с оставлением (—) и без остатка (---) дополнительных максимумов на 30 дБ

$$2P_1 = 1 + 4,5 x^2 - 6 x^4 + 2,5 x^6 = 7,23;$$

$$2P_2 = 4,5 x^2 - 9 x^4 + 4,5 x^6 = 15,82;$$

$$2P_3 = 3 x^2 + 2,5 x^4 = 13,29;$$

$$2A = 0,5 x^6 = 5,7.$$

В этом случае для оптимальной «расщепленной» ДН имеем выражение

$$R(x) = \frac{P_1 \sin x + P_2 \sin 3x + P_3 \sin 5x + P_4 \sin 7x}{P_1 + P_2 + P_3 + P_4}$$

где величина  $x = \pi d/\lambda^2 = \pi d$

На рис. 1.36 показана оптимальная «расщепленная» ДН воспроизведенной АА и ДН при равномерном распределении ( $R = \text{const}$ ).

На практике для оценки полезационных свойств таких АА пользуются построением круговых цептографических характеристик  $K_d = dR/d(\pi d)$  и оптимального распределения.

Пример 1.33. Изучившая штоковая антenna имеет длину  $l$ , разделена на шесть элементов, каждый из которых имеет длину  $d$ , равную полуволни волны. Сравнить ширину основного лепестка антенны при разном расположении элементов и при соединении амплитуд возбуждения  $1,2, 3, 6, 12$  (от края к центру антенны). Построить ДН и сравнить амплитуды первых дополнительных максимумов.

Рис. 1.37. К примеру 1.33. (—) радиоантенна; (---) горизонтальное волнообразование

$R_2 = (\sin x/x)(0,52 \cos x + 0,36 \cos 3x + 0,12 \cos 5x)$ ,

где  $x = 0,5 \pi \sin \alpha$ . В соответствии с этими формулами построим ДН, имеющую в логарифмическом масштабе, используя полулогарифмическую сетку. Эта кривая приведена на рис. 1.1.1. В соответствии с табл. 1 ДН сопряженной линии  $\sim 39^\circ$  при  $L/\lambda = 0,33$ .

Аналогичный путь первого дополнительного максимума в первом порядке: радиоантенна (как это следует из прямого  $1,32(2)$ )  $0,217$ , т. е.  $22\%$  от основного максимума, или  $20,8 \cdot 0,217 = 13,5$  дБ.

Как следует из табл. 1.1, амплитуда первого дополнительного максимума при первоначальном возбуждении элеметров соответствует  $-10$  дБ, соответствующему краевым пун. ДН симметрична при  $\alpha = \pm 33^\circ$ , т. е.  $0,5\pi$  дБ. Амплитуда первого дополнительного максимума в прямом угловом координатах в обычном равномерном масштабе, как показано на рис. 1.37.

Как следует из этого рисунка ширина ДН на уровне  $0,707$  ( $= 3$  дБ) при равномерном возбуждении составляет  $\sim 8^\circ$ , а при первоначальном  $\sim 11,3^\circ$ . Эти величины позволяют сделать вывод о целесообразности уменьшения боковых лепестков приемника и излучающих антенн (до  $5\%$ ) при работе при уменьшении дополнительных максимумов на приемниках, расположенных по поверхности земли в два раза (до  $30$  дБ по первому минимумам расширяясь почти в два раза, т. е.  $3,9$  до  $6,4^\circ$ ), а на уровне  $0,707$  ( $= 3$  дБ) расширение ДН весьма незначительное ( $\sim 8,5^\circ$  до  $11,3^\circ$ ).

Пример 1.34. Имеется неоднородная антenna, состоящая из четырех элементов с отношением амплитуд  $1-3-2-1$ . Сравнить величину дополнительных максимумов указанной антенны с аналогичной дополнительными максимумами линейной симметрической широкополосной антены.

Решение. Применив указанную антенну в виде комбинации из двух групп по три элемента в каждой со стоянкой, равной  $d$ , было показано на рис. 1.38.

Методом, аналогичным для применения метода, можно видеть, что постоянная обладает уменьшенными дополнительными максимумами. Данная комбинация привела

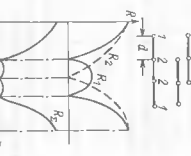


Рис. 1.38. К примеру 1.34

к расположению малого максимума кривой  $R_1$  на два меньших максимума. Для данного распределения антенн по элементам антенны в соответствии с выражением, полученным в примере 1.19, уравнение для ДН  $\psi = d/\lambda$ , т. е.  $\psi = \pi/2$ . Из  $R_p(\psi) = \sin 2\psi / [3 - 2\sin^2 \psi]$ , где  $\psi = \pi/2$ , получим в виде  $R_p(\psi) = \sin 2\psi / 3 = \sin 2\psi / 5/12$ . Величина дополнительного максимума при этом равна

$$R_p(75^\circ) = \frac{\sin(3 \cdot 75^\circ) \sin(2 \cdot 75^\circ)}{3 \cdot 2 \sin(75^\circ)} = 0,063$$

т. е. дополнительные максимумы в такой антенне составляют  $\sim 6\%$  от основного максимума. Для изотропной однородной антенны в соответствии с выражением для ДН замкнутой полиномиальной максимуму радиуса  $R_1 = [\pi \sin \pi/(2n_2 + 1)]^{-1}$ , т. е. при  $n_2 = 1$   $R_1 = 0,271$ . Величина дополнительных максимумов по сравнению с полиномиальной антенной возрастает от 6 до 27%.

**Пример 1.35.** Сравнить для антенн, длины которых приведены в предыдущем примере ОНД и ОМ.

**Решение.** При условии добавочных максимумов для ОНД исходной антенны имеем

$$d/\lambda = (n_1 - 1)/n_1, \quad \theta_0 = 2 \arcsin 1/(n_1 - 1) = 60^\circ,$$

Как и следовало ожидать, ОНД имеет ту же величину, что и однородная антенна из трех элементов.

Для ОМ исходной антенны в соответствии с выражением (1.49) имеем при  $n_1 = 0,2$

$$\Delta a = 0,55 \sqrt{0,2} \cdot 3/2 [3^2 - 1 + 2^2 - 1]^{-1/2} \approx 6,5^\circ.$$

Для однородной антенны из четырех элементов при условии отсутствия добавочных максимумов, т. е. при  $d/\lambda = (n_1 - 1)/n_1 = 3/4$ , ОНД равна

$$\theta_0 = 2 \arcsin 1/(4 - 1) = 35^\circ;$$

ОМ равна  $\Delta a = 0,55 \lambda [nd \sqrt{1 - \kappa^2}]^{1/2}$ , откуда  $\Delta a \approx 4,8^\circ$ .

Степенательно, ОНД и чувствительность для неизодородной антенны ниже, чем для однородной антенны с тем же числом элементов и с тем же расположением между ними.

**Пример 1.36.** Покажать, что линейная антenna из четырех элементов с расстоянием между ними  $d$  может быть представлена в виде двух параллельных антенн по два элемента с расстояниями между элементами  $d_1 = 2d$  и центрами групп, равными  $d$  (рис. 1.39).

Приложение. Из условия наличия максимума в минимумах кривых  $R_p(\phi)$  следует, что для кривой  $R_1$ , относящейся к первому группе, максимумы получаются при

и минимумы при  $\psi_{11} = (\pi/2 - \xi)/\lambda$ , где  $\xi = \pi/2 - \delta$ . Тогда относительный радиус кривой  $R_1$  определяется выражением

$$R_1 = d_1 / d_p, \quad \text{где } d_p = \psi_{11} d / \pi.$$

Полученное положение кривой  $R_p(\phi)$  легко проверяется, определяя положение первого максимума кривой  $R_p(\phi)$  в соответствии с условиями минимумов. Общие максимумы кривых появляются при  $\psi = q\pi$ ,  $q = 1, 2, \dots$ , где  $q$  – наименьшее кратное числа  $d_p$ , т. е.  $q = \xi/d_p$ ,  $\xi = 1, 2, \dots$ ; где  $\xi = \pi/2 - \delta$ .

При этом для каждого элемента из первичной группы, так как находиме возможное значение разности хода луча  $\xi$  равно  $\pi$ , то, следовательно, в общем квадрате число общих добывающих максимумов, равных, очевидно,  $q$  (числу отрицательных  $d_1/(q\lambda)$ ).

В нашем случае общие максимумы получаются при условии  $\xi = q\lambda/2\lambda$ ;  $\xi = 0,5\xi = \lambda$ , где  $\xi$  – разность хода лучей для смежных элементов первичной и результативной антенн.

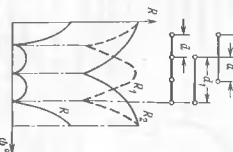
На рис. 1.39 приведены кривые  $R_1$  и  $R_2$  и кривая  $R_p(\phi) = R_1 R_2$ , из которой видно, что кривая имеет два общих максимума, между которыми расположены максимумы кривой  $R_1$ , пересекающий симметричным максимумом кривой  $R_2$ . Результативная кривая является удвоенным ДН исходной антенны из четырех элементов.

**Пример 1.37.** Найти выражение для ДН спиральной антенны, состоящей из четырех элементов на  $d - d_1 = d_2$ , если число элементов первого и второго поясов  $n_1$  и  $n_2$  неизвестных антенн.



Рис. 1.39. К примеру 1.37

Рис. 1.41. Конфигурация антенны



**Решение.** Построим реэмульгаторную антенну,

как показано на рис. 1.40. Видно, что получается линейная неоднородная антenna в середине которой обраузуются элементы, обладающие одинаковыми амплитудами, их отношение к амплитуде первого

го элемента равно  $R_2$ . Количество таких элементов равно  $n_1 - n_2 + 1$ . Амплитуды остальных элементов уменьшаются последовательно на 1 тикам обратно, что краевые имеют амплитуду, равную 1. Тогда

уравнение ДН при сдвиге  $d = d_1 = d_2$  получим из уравнения (1.95) приведя 1.19, положив  $k = 1$ :

$$R = \frac{\sin(n_1\psi) \sin(n_2\psi)}{[n_1 n_2 \sin^2\psi]}$$

где  $\psi = \pi d \lambda^{-1} \sin \alpha$ .

**Пример 1.38.** Построим ДН сплошной антенны, имеющей форму, как показано на рис. 1.41. Определить размер  $d$ , при котором линия первая дополнительный максимум.

**Решение.** Антenna ферома, изображенной на рис. 1.41, представлена в виде комбинации двух прямоугольников. Уравнение ДН такой антенны можно записать, как  $R_p(\psi) = K_1 R_1 + K_2 R_2$ , где  $R_1$  – уравнение ДН прямоугольника длины  $l_1$ ,  $K_1$  – уравнение ДН двух точечных элементов, расположенных на расстоянии  $d$  между ними. В соответствии с табл. 1 находим при

$$R_1 = \frac{\sin(\pi l_1 \lambda^{-1} \sin \alpha)}{\pi l_1 \lambda^{-1} \sin \alpha}, \quad R_2 = \cos(\pi d \lambda^{-1} \sin \alpha).$$

Обозначив  $\psi = \pi l_1 \lambda^{-1} \sin \alpha$  и  $k = dl_1$ , имеем  $R = u^{-1} \sin \psi \cos k\psi$ . Построим направленности, определяемые этими уравнениями, как на рис. 1.42. Очевидно, чтобы достичь максимального уровня первого дополнительного максимума, необходимо расположить оба прямоугольника так, чтобы первый дополнительный максимум антеннами сошел с первым пульевым зенитным фронтальным, как это показано на рис. 1.42. Для этого необходимо выбрать соответствующий сдвиг  $d$ .

Если функция  $R_1$  имеет первый дополнительный максимум при  $\psi = \psi_1$ , то  $R_2 = \cos(k\psi_1) = 0$ , т. е.  $k\psi_1 = \pi/2$ . И, следовательно,  $k = dl_1 = \pi/2\psi_1$ . Для функции  $R$ ,  $R = u^{-1} \sin \psi$  первый дополнительный максимум получается при  $\psi = 4\pi/9$  (предположив при  $\psi = 3/2\pi$ ), как это видно на рис. 1.42. Отсюда  $k = dl_1/\pi$  имеем

$$dl_1/\pi/2 \psi_1 = 3\pi/4/2 \cdot 4/49 = 0,35$$

## ПОМЕХОСТОЙЧИВОСТЬ СУЛОВЫХ ГИДРОАКУСТИЧЕСКИХ СИСТЕМ

**§ 2.1. Элементы статистической теории обнаружения применительно к задачам, решаемым в гидроакустике**

Описание гидроакустических систем и условий их использования

относится на статистической теории гидроакустики – разделе технической гидроакустики, в котором разрабатывается вероятность модели гидроакустики, в поисках и условий подводной наблюдения, а на основе этих

задач – методов анализа и синтеза гидроакустических систем. С точки зрения общих методов решения задач гидроакустики имеет много общего с радиотехникой, однако для гидроакустических ее особенностей обусловлено различие в методах и приемах решения задач гидроакустики.

Гидроакустическая статистическая теория – статистической теории гидроакустики, в которой отсутствует – гидроакустическая теория.

Гидроакустическая статистическая теория – статистическая теория гидроакустики, в которой отсутствует – гидроакустическая теория.

Гидроакустическая статистическая теория – статистическая теория гидроакустики, в которой отсутствует – гидроакустическая теория.

Гидроакустическая статистическая теория – статистическая теория гидроакустики, в которой отсутствует – гидроакустическая теория.

Гидроакустическая статистическая теория – статистическая теория гидроакустики, в которой отсутствует – гидроакустическая теория.

Гидроакустическая статистическая теория – статистическая теория гидроакустики, в которой отсутствует – гидроакустическая теория.

Гидроакустическая статистическая теория – статистическая теория гидроакустики, в которой отсутствует – гидроакустическая теория.

Гидроакустическая статистическая теория – статистическая теория гидроакустики, в которой отсутствует – гидроакустическая теория.

Гидроакустическая статистическая теория – статистическая теория гидроакустики, в которой отсутствует – гидроакустическая теория.

Гидроакустическая статистическая теория – статистическая теория гидроакустики, в которой отсутствует – гидроакустическая теория.

Гидроакустическая статистическая теория – статистическая теория гидроакустики, в которой отсутствует – гидроакустическая теория.

Гидроакустическая статистическая теория – статистическая теория гидроакустики, в которой отсутствует – гидроакустическая теория.

Гидроакустическая статистическая теория – статистическая теория гидроакустики, в которой отсутствует – гидроакустическая теория.

Гидроакустическая статистическая теория – статистическая теория гидроакустики, в которой отсутствует – гидроакустическая теория.

Гидроакустическая статистическая теория – статистическая теория гидроакустики, в которой отсутствует – гидроакустическая теория.

Гидроакустическая статистическая теория – статистическая теория гидроакустики, в которой отсутствует – гидроакустическая теория.

Гидроакустическая статистическая теория – статистическая теория гидроакустики, в которой отсутствует – гидроакустическая теория.

Гидроакустическая статистическая теория – статистическая теория гидроакустики, в которой отсутствует – гидроакустическая теория.

Гидроакустическая статистическая теория – статистическая теория гидроакустики, в которой отсутствует – гидроакустическая теория.

Гидроакустическая статистическая теория – статистическая теория гидроакустики, в которой отсутствует – гидроакустическая теория.



Рис. 1.42. ДН сплошной урважки антенны

антидифракционного

Гидроакустическое обнаружение сводится к поиску решения оно, которое приложено к структуре сигнала (цели). Поскольку помехи за-трудняют прием полного сигнала и соответственно процесс принятия решения, то задача обнаружения является статистической, а решение принимается с той или иной вероятностью, определяемой качеством обра-зования.

Реализация трактов гидроакустического обнаружения оказывается на априорных сведениях о структуре (модели) полезного сигнала.

Исходя из этого, находят методы обработки и анализации сигналов.

С точки зрения выигрышных критериев, а именно, и снятому структуре математической обработки. Поскольку реализация оптимальных структур приема сложна, отбрасывают структуру квазиподстановочных устройств, показавших качество которых не сильно отличается от оптимальных.

Способность трактов обнаружения удовлетворять заданным критериям (показателям) качества, называют помехоустойчивостью тракта. Наиболее гладко посыпана рассматриванием этих вопросов.

**Критерии качества обнаружения гидроакустических сигналов.** При решении задачи обнаружения тракт обработки гидроакустического сигнала предначертан для преобразования и представления решением задачи звука информации в виде, употребленном для принятия оного из двух решений (двоичной информационной задачи). Поскольку в этом случае возможен один из четырех вариантов, то наиболее общим приемом должно быть построено таким образом, чтобы в среднем потерю сопротивления как-для реального изображения, были возможно меньшими. Аналитически это условие представляется в виде

$$R = P_0 C_{00} \int_{-\infty}^{u_0} p(u_n) du + P_0 C_{01} \int_{u_0}^{\infty} p(u_n) du + \\ + P_1 C_{10} \int_{-\infty}^{u_0} p(u_{\text{ср}}) du + P_1 C_{11} \int_{u_0}^{\infty} p(u_{\text{ср}}) du \rightarrow \text{мин.} \quad (2.1)$$

где  $R$  — риск, или оксидемия величина потерь; и  $P_0, P_1$  — априорные вероятности наличия и отсутствия сигнала соответственно;  $C_{00}, C_{01}, C_{10}, C_{11}$  — стоимости каждого варианта принятия решения, где первая цифра — стоимость обнаружения, а вторая — типо- зу, которая была правильной;  $u_0$  — пороговое значение выходного эффекта, определяющее пространство небытия;  $p(u_n)$ ,  $p(u_{\text{ср}})$  — плотность распределения вероятности выходного эффекта при наличии по-ложительного и нейтрального.

Минимизация выраженного формулой (2.1), известен как критерий Байеса. Он приводят к выражению отношения предполо-жения  $\lambda(u)$  и сравнению его с порогом  $\eta$ :

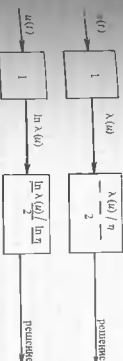
$$\lambda(u_0) \stackrel{\text{если}}{=} \eta, \quad (2.2)$$


Рис. 2.1. Структура обнаружения гидроакустических сигналов в виде велостной формы, запись которой является

$$\ln \lambda(u_0) \stackrel{\text{если}}{=} \ln P_0 - \ln P_1 \quad (2.3)$$

Величина  $\lambda(u_0)$  носит название обобщенного отношения правдо-боя и определяется выражением

$$\lambda(u_0) = \frac{P_1 p(u_{\text{ср}})}{P_0 p(u_n)} \quad \left| \begin{array}{l} u = u_0 \\ u_{\text{ср}} \end{array} \right. \quad (2.4)$$

Величина  $\eta$  определяет порог при реализации критерия Байеса:

$$\eta = \frac{(C_{10} - C_{01})}{(C_{10} + C_{01})}. \quad (2.5)$$

Устройство обнаружения сигнала в соответствии с выражениями (2.2) и (2.3) представлено на рис. 2.1.

Как следует из рис. 2.1, вся процедура обработки сводится к вычислению  $\lambda(u_0)$  и распределению априорных вероятностей и стоимостей (2.1). Можно записать в виде

$$R = C_{00} \int_{-\infty}^{u_0} p(u_n) du + P_1 \int_{u_0}^{\infty} p(u_{\text{ср}}) du. \quad (2.6)$$

Выражение (2.6) — есть полная вероятность ошибки, т. е. критерий Байеса выражает полную вероятность ошибки. При этом критерий Байеса выражает вероятность ошибки в виде

$$\ln \lambda(u_0) \stackrel{\text{если}}{=} \ln (P_0/P_1) = \ln P_0 - \ln (1 - P_0), \quad (2.7)$$

$\text{где } \lambda(u_0) = p(u_0, u)/p(u_n)$  называют отношением правил оценки. Так же результат получается из условий (2.4) и (2.5). Этот частный критерий известен как критерий однозначного наблюдения. Когда для гипотезы правдивости  $(P_0 = P_1 = 0.5)$ , речь идет о том, что при данном критерии правдивость системы связана с полной вероятностью ошибки. Группность реализации этого критерия в ГАС состоит в необходимости быть знакомы широкими вероятностными гипотезами.

Другой частный случай соответствует случаю, когда приложенные вероятности известны. Из формулы (2.1) видно, что в этом случае задачи интегрирования становятся определенными и выражают условные вероятности ложной гравити (  $P_{l,n}$  ), правильного обнаружения (  $P_{p,n}$  ) и пропуска сигнала (  $P_{n,p}$  ).

$$P_{p,n} = \int_{u_0}^{\infty} p(u_n) du;$$

$$P_{l,n} = \int_{-\infty}^{u_0} p(u_n) du;$$

$$\left. \begin{aligned} P_{n,p} &= \int_{-\infty}^{u_0} p(u_{c,p}) du, \\ u_0 &= \int_{-\infty}^{u_0} p(u_{c,p}) du = 1 - P_{l,n}. \end{aligned} \right\} \quad (2.8)$$

Тогда из выражения (2.1) получает критерий, рассчитанный на минимальную максимальную возможную риск, который называется *максимумом критерия и аналитической* выражается в виде

$$(C_{11} - C_{00}) + (C_{10} - C_{11}) P_{p,n} - (C_{01} - C_{00}) P_{l,n} = 0. \quad (2.9)$$

Обычным случаем распределения стоимости, который часто бывает типично спротивленным, является  $C_{00} = C_{11} = 0$ , что гарантирует выполнение максимума фиксацией (2.9). Обозначив  $C_0 = C_{l,n}$ ;  $C_{10} = C_{n,p}$ , получим максимумическое уравнение

$$(C_{11} - C_{00}) + (C_{10} - C_{11}) P_{p,n} - (C_{01} - C_{00}) P_{l,n} = 0. \quad (2.10)$$

Поскольку в реальных условиях гидроакустического обнаружения предполагают реалистические стоимости и априорные вероятности групп, которые определяются лишь условиями вероятности  $P_{l,n}$  и  $P_{p,n}$ . Поэтому вероятность стремительного сингуляра  $P_{l,n}$  как можно меньше и  $P_{p,n}$  как можно больше, приходит к критерию, при котором ограничиваются одна из вероятности и максимизируется (минимизируется) другая. Априорные ограничения  $P_{l,n} \ll 1$  и максимизация  $P_{p,n}$  (или минимизация  $P_{n,p}$ ) при указанном ограничении реализуется с использованием метода Максвелла Лагранжа.

Чтобы удовлетворить указанному ограничению выбирают такое значение откликаня на правдоловения, что  $P_{l,n} = u^*$ . Этот выбор равносителен требование, чтобы

$$\bar{P}_{p,n} = \int_{u_0}^{\infty} p(u_n) du = a^*. \quad (2.11)$$

Решение уравнения (2.11) относительно  $a$  дает величину порога в первом приближении. Этого критерия, при котором максимизируется вероятность правильного обнаружения при фиксированной априорной вероятности, называют критерием Неймана-Пирсона и реализуют в автоматических обнаружителях.

Гелие решение принимает оператор, то процедура принятия решения, как правило, определяется критерием последовательного наблюдения (алгоритмом), путем которого состоят в реализации двух порогов и зоны ненадежных отсчетов. Требуемый дополнительный испытания ГАС критерия может быть реализован в автоматических системах гидроакустического обнаружения.

Ставится физическая сущность трех наиболее часто реализуемых критерий можно проиллюстрировать, используя рис. 2.2. Из рис. 2.2, а

видно, что в зоне критерия центрального наблюдателя максимизируется вероятность правильного решения, поскольку величина вероятности ошибки решения ( $P_{l,n} + P_{n,p}$ ) минимальна при выборе порога, как правило, на рисунке. При этом необходимо учесть, что

априорные вероятности находят  $P_l$  и отсутствуют  $P_{p,n}$  в зоне обнаружения определенного либо по априорной, предварительной (гидроакустический) раздатке, аналитической в соответствии с теорией помех [1], либо интуитивно предположением-адекватом.

Для критерия Неймана-Пирсона фиксированная вероятность правильной гравитации минимизируется, что влечет за собой уменьшение вероятности ложной гравитации, которая и, следовательно, величина помехи, чем в случае центрального наблюдателя.

Возможность пропуска сигнала возрастает, что делает критерий Неймана-Пирсона вероятностью пропуска.

Для критерия последовательного наблюдения наряду с минимизацией вероятности ошибки третьего (она же сама, чем в случае центрального наблюдателя), максимизируется вероятность пропуска сигнала (она также возрастает).

На рис. 2.2, б показано, что вероятность пропуска сигнала при минимизации заданной вероятности ложной гравитации (рис. 2.2, а), что

делает критерий последовательного наблюдения лучше, чем в случае центрального наблюдателя.

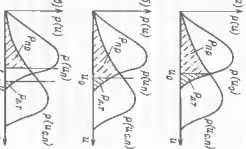


Рис. 2.2. Сравнение физической способности различных критерий обнаружения — критерий последовательного наблюдения;  $b$  — критерий центрального наблюдателя;  $c$  — критерий Неймана-Пирсона;  $d$  — критерий центрального наблюдателя, в котором вероятность пропуска сигнала ограничена.

Выбор того или иного критерия определяется антами условиями, если требуется максимизация вероятности ложных тревог, то целесообразно избрать критерий Неймана-Пирсона. Когда величина вероятности ложной тревоги неизвестна, скажем, мгновенности прохождения сигнала, отдаёт предпочтение критерию максимального наблюдателя. Критерий наблюдателя, т.е. максимального наблюдаемого в тех случаях, когда с отсутствием каких-либо данных о времени прохождения сигнала, снимается в течение более длительного времени. Несмотря на это, критерий предпочтительного наблюдателя позволяет уменьшить общее время обнаружения, при этом же производит результаты, что и критерий Неймана-Пирсона, или повышает производительность обнаружения за же время наблюдения. Критерий Неймана-Пирсона, но проходит в ряде случаев в определенный смысле его реализации.

В гидротехнических обнаружителях наиболее широкое распространение получили критерии Неймана-Пирсона. Это обусловлено рядом обстоятельств: необходимостью вложенного струйки и пружиной сигнала (приведение  $P_{n,r}$  — для), относительной несложностью ток-напряженной реализации; малой чувствительностью к изменению относительного сигнала (в случае стабильных сигналов ее зависит от порога).

В заключение необходимо отметить, что для любого критерия оптимальная процедура испытаний состоит в обработке результатов наблюдений с целью отыскания оптимальной пропорции времени его с порогом для принятия решения. При этом необходимо учитывать досточисленность статистики, т. е. различия выбранных критерия обнаружения и геометрической взаимосвязи ГАС.

Время реализации критерия принятой решения в реальных условиях определяется продолжительностью обработки элементов разрешения, что например в шумомодемиттерной станции (ШМС) соответствует времени передачи ДН в пространстве на величину  $\theta_0$ . В таком числе лентентов определяется разрешением по дальности, частоте и угловым координатам. ГАС оптимизирована обработкой большого числа элементов разрешения на основе Максвелла-Гамма. Качество обнаружения определяется характеристиками связывающими связанных и ошибочных решений в зависимости от относительной сигнала/шума.

Из анализа структурного выражения полностью определяется видом распределения выходного аэропакта, следующим из выбранной модели сигнала и приема (оптимизацией конспектом условий применения ГАС) и решим условиям определения обнаружения. В гидротехнических обнаружителях наиболее часто распределение выходного аэропакта определяется генератором, обобщенным генератором законами и законом Гаусса. При решении критерия Неймана-Пирсона (РХП) определяют зависимость вероятности принятого обнаружения от вероятности ложной тревоги при фиксированном значении относительного сигнала/шума.

#### Вероятностные характеристики обнаружения (ВХО)

Придают зависимость вероятности правильного обнаружения от структуры сигнала/шума при фиксированном значении вероятности ложной тревоги.

- Предположим, что помеха и смесь сигнала и помехи распределены по нормальному закону:

$$P(u_n) = \frac{1}{\sqrt{2\pi}\sigma_n} \exp \left[ -\frac{u^2}{2\sigma_n^2} \right];$$

$$P(u_{c,n}) = \frac{1}{\sqrt{2\pi}\sigma_n} \exp \left[ -\frac{(u - m_c)^2}{2\sigma_n^2} \right], \quad (2.12)$$

где  $\sigma_n^2 = \sigma_e^2 + \sigma_n^2$  — дисперсия эффекта, соответствующего наличию помехи с дисперсией  $\sigma_e^2$ ;  $m_c$  — математическое ожидание выходного эффекта при наличии помехи сигнала. Такое распределение вероятностей является типичным в системах обработки информации с интегрированием на их выходе за время зондирования проходящие интервалы коррелиции помех [43]. Тогда в соответствии с выражением (2.8) для вероятности ложных тревог будет иметь

$$P_{n,r} = 1 / \sqrt{2\pi}\sigma_n \int_0^\infty \exp \left[ -u^2/2\sigma_n^2 \right] du, \quad (2.13)$$

решение которого даст

$$P_{n,r} = 1 - F(u_0/\sigma_n),$$

где  $F(u_0/\sigma_n)$  — известная функция Лапласа;

$$F(x) = 1 / \sqrt{2\pi} \int_x^\infty \exp \left[ -t^2/2 \right] dt. \quad (2.14)$$

При первом значении сигнала из формулы (2.13):

$$u_0 = u_{n,r} F^{-1}(1 - P_{n,r}), \quad (2.15)$$

где функция  $F^{-1}(x)$  является обратной  $F(x)$ , т. е. такой, что если  $x = F(x)$ , то  $x = F^{-1}(x)$ .

Вероятность правильного обнаружения определяется на основании (2.8) и (2.12) следующим выражением:

$$P_{n,o} = F \left[ (m_u - u_0) / \sigma_{c,n} \right], \quad m_u \geq u_0, \quad (2.16)$$

На основании (2.15) и (2.16) аналитическое выражение ВХО имеет вид

$$P_{\pi,0} = F \left[ \frac{m_u - g_n F^{-1}(1 - P_{\pi,\tau})}{\sigma_{c,n}} \right] \quad (2.17)$$

При использовании табличных и аналитических выражений ВХО следует учитывать, что наряду с функцией Лапласа, определенной выражением (2.14), в литературе используют также другие функции:

$$\Phi(x) = 2/\sqrt{2\pi} \int_0^x \exp[-t^2/2] dt, \quad (2.18)$$

и никогда также называемой функцией Лапласа;

— функцию вида

$$F_1(x) = 1/\sqrt{2\pi} \int_0^x \exp[-t^2/2] dt = 1/2 \Phi(x) = F(x) - 1/2, \quad (2.19)$$

которую иногда называют нормированной функцией Лапласа;

— функцию вида

$$\tilde{\Phi}(x) = 2/\sqrt{2\pi} \int_0^x \exp[-t^2] dt = \Phi(x\sqrt{2}) = 1/2 \tilde{F}(x\sqrt{2}) = \quad (2.20)$$

называемую интегралом вероятности, функцией ошибок, функцией Кумпса, т. е. erf(x) =  $\Phi(x)$ .

Если, например, при выводе выражения для ВХО воспользоваться функцией, определимой (2.18), то аналогично (2.17) будем иметь

$$P_{\pi,0} = \frac{1}{2} \left\{ 1 + \Phi \left[ \frac{m_u - g_n F^{-1}(1 - 2P_{\pi,\tau})}{\sigma_{c,n}} \right] \right\} \quad (2.21)$$

Аналогично при использовании функции по формуле (2.19) получим выражение

$$P_{\pi,0} = 0.5 + F_0 \left[ \frac{m_u - g_n F_0^{-1}(0.5 - P_{\pi,\tau})}{\sigma_{c,n}} \right] \quad (2.22)$$

2. Предположим, что помеха и сигнал считаются ломающимися по геометрическому закону.

$$p(u_\pi) = u/\sigma_h^2 \exp(-u^2/2\sigma_h^2), \quad u \geq 0; \quad (2.23)$$

$$p(u_{c,n}) = u/\sigma_{c,n}^2 \exp(-u^2/2\sigma_{c,n}^2), \quad u \geq 0. \quad (2.23)$$

Это закон спаривания для структуры тракта обработки, включающего визуальный фильтр — линейный детектор-интегратор, когда отображение (2.8) и (2.28) касаются

$$\tilde{F}_{\pi,\tau} = \exp \left( -\frac{u_\pi^2}{2\sigma_h^2} \right); \quad (2.24)$$

$$U_\pi = \sqrt{-2\sigma_h^2 \ln P_{\pi,\tau}}; \quad (2.25)$$

$$\tilde{F}_{c,n} = \exp \left( -\frac{u_{c,n}^2}{2\sigma_{c,n}^2} \right). \quad (2.26)$$

Для аналитического выражения ВХО имеет вид

$$P_{\pi,0} = \exp \left( \frac{\sigma_{c,n}^2 \ln P_{\pi,\tau}}{\sigma_{c,n}^2} \right) \quad (2.27)$$

3. Предположим, что помеха распределена по геометрическому закону, а помеха и сигнал на выходе тракта обработки распределены по единичному Рено-Бенесовскому закону:

$$\begin{aligned} p(u_\pi) &= \frac{u}{\sigma_h^2} \exp \left( -\frac{u^2}{2\sigma_h^2} \right), \quad u \geq 0; \\ p(u_{c,n}) &= \frac{u}{\sigma_{c,n}^2} \exp \left( -\frac{u^2 + u_{c,n}^2}{2\sigma_{c,n}^2} \right) I_0 \left( \frac{u \cdot u_{c,n}}{\sigma_{c,n}^2} \right), \quad u \geq 0. \end{aligned} \quad (2.28)$$

Здесь  $I_0$  — амплитуда полевого сигнала.

Этот закон спаривания для тракта обработки типа высокочастотный (линейный детектор-интегратор, в случае, когда полезный сигнал (помеха) имеет постоянную составляющую с постоянным уровнем) на выходе тракта является гуськовой.

В соответствии с формулами (2.8) и (2.28) находим

$$\tilde{F}_{\pi,\tau} = \exp \left( -\frac{u_\pi^2}{2\sigma_h^2} \right); \quad (2.29)$$

$$I_0 \geq \sqrt{-2\sigma_h^2 \ln P_{\pi,\tau}}; \quad (2.30)$$

$$I_{\pi,c,n} = \frac{1}{\sigma_{c,n}^2} \int_{u_0}^{\infty} u \exp \left( -\frac{u^2 + u_{c,n}^2}{2\sigma_{c,n}^2} \right) I_0 \left( \frac{u \cdot u_{c,n}}{\sigma_{c,n}^2} \right) du \quad (2.31)$$

$$\begin{aligned} \text{Несущее квантитативное выражение ВХО имеет вид} \\ P_{\pi,0} = \frac{u_{c,n}}{\sigma_{c,n}} \exp \left( \sqrt{-2\sigma_h^2 \ln P_{\pi,\tau}} \right) I_0 \left( \frac{u_{c,n}}{\sigma_{c,n}} \right), \quad (2.32) \end{aligned}$$

где  $\theta(a, b)$  — табулированная функция (функция Рэлея):

$$\begin{aligned} u(t) &= \frac{1}{k!} [\lambda T_N]^k \exp(-\lambda T_N), \\ \theta(a, b) &= \int_0^a u \exp\left[-\frac{1}{2}(y^2 + \right. \\ &\quad \left. + b^2)\right] I_0\left(\frac{ay}{b}\right) dy. \end{aligned} \quad (2.37)$$

Рис. 2.3. К изложению сущности ложной тревоги

течение определенного времени (время реализации критерия обнаружения). В тракте обработки гидроакустических сигналов это время обратно пропорционально величине полосы пропускания. Если выбросы помимо пересекают пороговый уровень в течение времени  $T_k$  с интегралом  $\bar{T}_k$ , как показано на рис. 2.3, то для вероятности ложной тревоги справедливо выражение

$$P_{\text{л.т.}} = \sum_{k=1}^N u_k / \sum_{k=1}^N \bar{T}_k = \bar{u}_k / \bar{\bar{T}}_k = 1/T_{\text{л.т.}} \Delta f \quad (2.33)$$

Допустимый интервал между ложными тревогами (время  $T_{\text{д.т.}}$ ) определяется требованиями, предъявляемыми к защите от нападения ГАС, способа ее использования.

Так, например, среднее за единицу времени число выбросов отдельного нормального шума, превосходящих уровень  $u_0$ , определяется выражением [2.9]:

$$\lambda = \Delta f \int_{u_0}^{u_1} \exp\left[-\left[\frac{u^2}{2g_f^2}\right]\right], \quad (2.34)$$

где коэффициент  $\lambda$  зависит от структуры тракта обработки и для идеального полосового фильтра равен приближительно 1.03.

С учетом (2.24), (2.29) выражение (2.34) используют также в виде

$$\lambda = \Delta f P_{\text{л.т.}} \sqrt{-\ln P_{\text{л.т.}}} \quad (2.35)$$

При величинах  $u_0/u_1 > 2 \dots 3$  выбросы отбывающей становятся неизбежными, и по величине  $\lambda$  можно определить средний период между ложными тревогами:

$$T_{\text{д.т.}} = 1/\lambda. \quad (2.36)$$

На практике поток ложных тревог поддается гашасовскому и для вероятности получения  $k$  выбросов за время наблюдения  $T_N$  получается выражением

76

$$P(k) = \frac{1}{k!} [\lambda T_N]^k \exp(-\lambda T_N). \quad (2.37)$$

Где вероятности получения числа тревог, меньшего  $m$ , используют выражение

$$P(k < m) = \sum_{k=0}^{m-1} 1/k! (\lambda T_N)^k \exp(-\lambda T_N). \quad (2.38)$$

Где  $\lambda$  — среднее число ложных тревог в единицу времени,  $P(k=0)$

$$P(k=0) = \exp(-\lambda T_0), \quad (2.39)$$

где  $T_0$  — интерпретируется как среднее время, в течение которого с вероятностью  $P(0)$  не произойдет ни одной тревоги. В реальных системах, выше были рассмотрены характеристики обнаружения при воздействии на приемник. Трактально одного сигнала, подлежащего кодированию на пространство частот и времена было определено. В реальных системах на вход приемного устройства могут поступать сигналы от нескольких источников, подлежащих кодированию по частоте и времени является различным. Кроме того, сигналы обладают некоторым временем задержки по направлению.

Обработка сигналов, обладающих неоднородностью положения, осуществляется многоканальными системами. При этом адрес канала (разрешенных элементов) происходит либо циклически (в ГАС с якорем статора), либо циклически (при помощи характеристик напряженности), либо последовательно, то есть времена существования (по изображению пропуска) сигналов.

Неоднородность сигнала по пространству и частоте устраивается облучением его в стационарных каналах, для которых характерно наличие неизменных схем обработки. ВХО таких каналов рассматривались выше. Неопределенность положения сигнала во времени устраивается этими же каналами за счет выбора временных обзоров элементов разрешения в сформированных ГАС процессом обнаружения объекта в полюсовой сфере.

Сопровождается оценкой его координат в трехмерном полюсном пространстве измерений. С этой целью все пространство измерений разбивается на «заслонки» разрешения.

Цель гашасовского с формированием ДН в горизонтальной плоскости и набором узкополосных фильтров число таких элементов можно определить по формуле  $M = m \varphi \ln f/m_r$ . где  $m_r = 360^\circ/0.07$  — число проекций на инструментальных каналах, равное отношению полного азимутального угла разрешения к сплошности по азимуту (ширице ДН на уровне 0.7 по азимуту);  $m_f = \Delta f_f / \Delta f$  — число частотных каналов, равное отношению полосы частот к полосе одного фильтра;  $m_r = R_{\text{п.з.}} / \Delta r$  — число

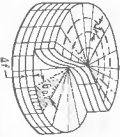


Рис. 2.4. Элементы разре-  
щения ГАС

злементов разрешения по длине, равной одному из максимальной длины, соответствующей циклу обзора к разрешающей способности по диапазону  $\Delta = (1/2) \text{ ст. зк}$ . Ввиду длительности огибающей  $T$ , таким образом, формула для поиска числа элементов разрешения имеет вид

$$M = \frac{360^\circ \Delta F R_{\max}}{0.7 \Delta f \cdot c\tau} \quad (2.40)$$

к она иллюстрирует рис. 2.4.

Отметим, что параметры элементов разрешения определяются диаграммами, воспроизведенными сигналом по измеренным координатам, описываемым в § 2.2.

При расчетах ОДЦ целесообразно пользоваться выражением „в тонке“, полученным под этим эпитетом разрешения. Помимо же цикла обзора состоит в основе всех элементов разрешения. Нетрудно показать, что при величине ложной тревоги  $P_{n,r} \ll 1$  и генеративности ложной тревоги за цикл связана с вероятностью ложных тревог в тонке соотношением

$$P_{n,r,t} \approx M P_{n,r} \quad (2.41)$$

При этом предполагается, что  $P_{n,r}$  во всех элементах является одинаковой. Если в  $k$ -м элементе она равна  $P_{n,r,k}$ , то имеет место более общее соотношение

$$P_{n,r,a} = 1 - \prod_{k=1}^M (1 - P_{n,r,k}) \quad (2.42)$$

или при условии, что  $P_{n,r,k} \ll 1$ ,

$$P_{n,r,a} \approx \sum_{k=1}^M P_{n,r,k} \quad (2.43)$$

На практике изотип ложных тревог полагают пусковым и для вероятности того, что за время  $T$  в одном ячейке появится  $k$ ,  $k < m$ ,  $k = 0$  (секунд), пользуются выражениями (2.37) ... (2.39).

Для М-канальной ГАС эти формулы принимают следующий вид:

$$P(M) (k) = \frac{1}{k!} (M \lambda T_a)^k \exp(-M \lambda T_a); \quad (2.44)$$

$$\begin{aligned} P(M) (k < m) &= \sum_{k=1}^{m-1} \frac{1}{k!} (M \lambda T_a)^k \exp(-M \lambda T_a); \\ P(M) (0) &= \exp(-M \lambda T_a). \end{aligned} \quad (2.45) \quad (2.46)$$

Выражения (2.44) ... (2.46) позволяют решать целый ряд практических задач. Например, зная структуру тракта обработки и технические характеристики канала ( $M, \Delta f$ ), можно по заданной  $P_{n,r}$  в элементе разрешения определить вероятность того, что в течение интервала времени  $T$  не будет обнаружена ложная тревога. Или при некоторой  $P_{n,r}$  определить величину интервала  $I$ , в течение которого с вероятностью  $P_{n,r}$  ложная тревога будет равна  $k$ ,  $k < m$ , или сколько ( $k = 0$ ) можно использовать для приема выражение

$$I = [I_F 2 \sqrt{\pi} P_{n,r} \sqrt{-\ln P_{n,r}}] \quad (2.47)$$

где  $I_F$  – интервал коррекции помех, вычисленный выражениями (2.39), (2.45), для вероятности получения не одной ложной тревоги за цикл будем иметь

$$P_0(0) = \exp(-T_0/2 \sqrt{\pi} M P_{n,r} \sqrt{-\ln(P_{n,r} M)}). \quad (2.48)$$

Это выражение используется для определения допустимого значения  $P_{n,r}$  в элементе разрешения, когда из тактических соображений ограничивается  $P_{n,r}$  за цикл. Решение transcendentalного уравнения представляется с трудом, поэтому на практике пользуются приближенными соотношениями. Так, при значениях  $M P_{n,r} = 10^{-2} \dots 10^{-8}$  можно пользоваться выражением

$$P_{n,r} \approx \frac{T_0}{10 M T_0} \frac{1}{\ln P(0)} \quad (2.49)$$

если вероятность близка к единице, то можно принять  $\ln 1/P(0) \approx 1 - P(0)$ , и тогда для  $P_{n,r}$  в элементе разрешения имеем выражение

$$P_{n,r} \approx \frac{T_0}{10 M T_0} [1 - P(M)(0)]. \quad (2.50)$$

Таким образом, задавая вероятность  $P(M)(0)$ , с которой в течение  $T$  генерируется ложная тревога на один цикл обзора, интересует корреляция помех  $T_0$  и число элементов разрешения (число каналов) генерирующей системы обнаружения, можно определить требуемую вероятность  $P_{n,r}$  в элементе разрешения.

ВХОД многоканальных систем для разрешения разрешенных сигналов (66):

$$P_{n,r} = F[\sqrt{M} K_0 - F^{-1}(1 - P_{n,r})] \quad (2.51)$$

где  $K_0$  – канала с постоянной амплитудой,

$$P_{n,0} = F \left[ \frac{\sqrt{M} K_5 - F^{-1}(1 - P_{n,\tau})}{\sqrt{13} K_5^2 + 1} \right] \quad (2.52)$$

при равномерном распределении;

$$P_{n,0} = F \left[ \frac{\sqrt{M} K_5 - F^{-1}(1 - P_{n,\tau})}{\sqrt{1/\pi(4 - \pi)} K_5^2 + 1} \right] \quad (2.53)$$

при рефлексном распространении, где  $K_5 = u / p_{0,t}$  — отношение сигнала по мощности к выделенному устроителю в  $P_{n,T}$  многоканальной системе приема.

## 2.2. Характеристики сигналов и помех

Для описания сигналов и помех в гидроакустике используют вероятностные модели, основанные на изучении динамических свойств объектов исследований. Вид модели определяется физической сущностью процесса, степенью его понимания и целью исследования.

**Вероятностная модель гидроакустического процесса** называют его математическое представление, которое позволяет выяснить (или постулировать) вероятностные характеристики процесса, интересующие исследователя в конкретной задаче. Она является исходным выражением для реального объекта и строится на основе представления  $X(t, r) = \sum_i \xi_i(i)$ ,  $i = \{1, N\}$ , где  $X(t, r)$  — модельный процесс;  $\xi_i$  — оператор формирования  $\xi_i$  — элементарные случайные процессы, вероятностные характеристики которых зависят и могут быть физически изучены. Следует отметить два подхода к поиску линейических моделей — физетометрический и волновой [43].

При физетометрическом подходе модель гидроакустического процесса полагается при некотором виде исходных данных, т. е. при упрощении физических представлений с целью применения привычных методов измерения отдельных характеристик сигналов. Существует три основных модели, отличающиеся типом учета исходной информации: квантизационные, конструктивные и параметрические.

**Дискретной канонической моделью** сложного сигнала является выражение

$$s(t) = \sum_{i=1}^n a_i \varphi_i(t), \quad (2.54)$$

где  $a_i$  — некоррелированные случайные величины,  $\varphi_i$  — нестационарные функции времени. Чисто стационарных  $n$  в этой сумме может быть как конечным, так и бесконечным. Такие модели могут описывать гидроакустические сигналы, явившиеся результатом рассеяния волн на дискретных

предметах в среде и ее границах, а также при неоднородном пространстве приема-излучения сигналов. Рядовые гидроакустические функции в гидроакустике часто рассматриваются как совокупность простых колебаний, задаваемых различными рядами: разложение по тригонометрическим функциям и разложение по функциям вида  $\sin \omega t$ . В первом случае получается стократное представление сигнала в виде обратного ряда Фурье, а во втором — в виде рядка Б. А. Колмогорова

$$s(t) = \sum_{l=-\infty}^{\infty} s(l) \Delta t \frac{\sin \omega_m (t - l \Delta t)}{\omega_m (t - l \Delta t)}, \quad (2.55)$$

где  $\Delta t = \pi / (\omega_m \cdot \omega_m)$  — максимальная частота спектра сигнала.

**Интегральной канонической моделью** сигнала является выражение

$$s(t) = \int_{-\infty}^t A(\tau) \varphi(\tau, t) d\tau, \quad (2.56)$$

где  $A(\tau)$  — слуцкая функция, обладающая свойствами белого шума;  $\varphi(\tau, t)$  — восстановленная функция. Такая модель может быть использована при описании гидроакустических сигналов, являющихся результатом отражения волн от объектов, а также сигналов, рассеянных на различных неоднородностях.

Часто используемая модель видом (2.57) служит

$$s(t) = 1/2 \pi \int_{-\infty}^t \exp(j \Omega t) [\int_0^\infty s(\ell) \exp(-j \Omega \ell) d\ell] d\Omega = \\ = 1/2 \pi \int S(\ell, \Omega) \exp(j \Omega t) d\Omega. \quad (2.57)$$

**Дифференциальной канонической моделью** сигналов являются выражения

$$s(t) = \sum_{i=0}^n B_i (d^i / dt^i) \xi(t) \quad \text{или} \quad \xi(t) = \sum_{r=0}^m C_r (d^r / dt^r) s(t), \quad (2.59)$$

Такая модель может описывать сигналы, распространяющиеся в водной среде, или эхосигналы.

Конструктивная модель сигнала имеет вид

$$s(t) = \left\{ \xi_1(t) \otimes \xi_2(t) \right\}, \quad (2.60)$$

где  $\otimes$  – знак взаимо действия элементарных процессов.

Таким образом, модель может описывать совокупность сигналов и пачек сигналов с амплитудами и частотами, различными в различных областях. На примере, в качестве модели, хорошо аппроксимирующей излучение гидроакустической системы со случайной амплитудой, можно сказать, что модель может описывать совокупность сигналов, имеющих одинаковую амплитуду, форму которых в установках различны, а частотные характеристики объектов локации, можно использовать пресеты  $\xi_i(t)$ ,  $i = 1, 2, 3, 4$ .

$$s(t) = \xi_1(t) \xi_2(t) + \xi_3(t) \xi_4(t), \quad (2.61)$$

где либо все  $\xi_i(t)$ , либо одна из них являются случайными процессами, а остальные – известные функции.

Частным случаем модели, представляющей выражением (2.61), является представление сигнала в виде колебания со случайной амплитудой и фазой:

$$s(t) = A(t) \cos \varphi(t), \quad (2.62)$$

где  $A(t)$  – амплитуда, а  $\varphi(t)$  – текущая фаза сигнала. Широко используется модель этого вида:

$$s(t) = A(t) \cos [\omega_0 t + \varphi(t)], \quad (2.63)$$

где  $A(t)$  и  $\varphi(t)$  – медленно изменяющиеся функции по сравнению с  $\omega_0 t$ .

Здесь  $\varphi(t)$  называется мгновенной начальной фазой процесса. Это выражение можно представить в виде

$$s(t) = x(t) \cos \omega_0 t - y(t) \sin \omega_0 t, \quad (2.64)$$

где  $x(t)$  и  $y(t)$  называются квадратурными (косинусной и синусной) компонентами процесса, разными:  $x(t) = A(t) \cos \varphi(t)$ ;  $y(t) = A(t) \sin \varphi(t)$ . Обратите внимание на то, что квадратурные компоненты ортогональной и начальной фазе процесса имеют вид

$$x(t) = \sqrt{x^2(t) + y^2(t)}; \quad (2.65)$$

$$\varphi(t) = \arctg(y(t)/x(t)). \quad (2.66)$$

Параметрическая модель сигнала имеет вид

$$s(t) = \xi(t, a), \quad (2.67)$$

где  $\xi$  – некоторая известная нелинейная функция,  $a = (a_1, a_2, \dots, a_n)$  – набор коэффициентов неизвестных случайных величин. Эта модель является наилучшей простой формой конструктивной модели и используется для описания эхосигналов. При рассмотрении многих задач интересует для описания эхосигналов сигналов, каждый из которых является комплексной функцией времени:

$$\hat{s}(t) = s(t) + j \hat{s}(t) = A(t) \exp [j \psi(t)], \quad (2.68)$$

$$\hat{s}(t) = \frac{1}{\pi} Vp \int_{-\infty}^{\infty} \frac{s(\tau)}{t - \tau} d\tau; \quad s(t) = -\frac{1}{\pi} Vp \int_{-\infty}^{\infty} \frac{\hat{s}(\tau)}{t - \tau} d\tau. \quad (2.69)$$

Модель (2.68) является аналогичной сигналом, если  $s(t)$  и  $\hat{s}(t)$  составляют пару преобразований Гильберта:

$$\hat{s}(t) = \frac{1}{\pi} Vp \int_{-\infty}^{\infty} \frac{s(\tau)}{t - \tau} d\tau; \quad s(t) = -\frac{1}{\pi} Vp \int_{-\infty}^{\infty} \frac{\hat{s}(\tau)}{t - \tau} d\tau. \quad (2.70)$$

Амплитуда и аргумент функции соответственно равны

$$|s(t)| = A(t) = \sqrt{s^2(t) + \hat{s}^2(t)}, \quad \arg |s(t)| = \psi(t) = \arg \hat{s}(t)/s(t).$$

Комплексные представления сигналов широко используются при анализе моделирования колебаний, излучениями, морских гидроакустических и эхосигналов.

В связи с тем, что обычное разложение Fourier применяется к периодическим, полигармоническим и биогеническим сигналам, а также в связи с необходимостью описания сигналов в терминах их временных, широкого применения модель сигнала в виде стационарного случайного процесса, когда функции с ограниченной средней

$$\lim_{T \rightarrow \infty} \frac{1}{2T} \int_{-T}^{T} |s(t)|^2 dt < \infty$$

существует в соответствии ее корреляционная функция

$$R_{11}(T) = \lim_{T \rightarrow \infty} \frac{1}{2T} \int_{-T}^{T} s(t) s(t + T) dt. \quad (2.68)$$

Эта модель используется для описания сигналов шумовых полей кораблей и судов, звуков морской рыбы и животных и т. д. Более сложный и полезный является представление в виде обобщенного сплошного

процесса (сумма дегерминированной функции и стационарного процес-  
са) в виде стационарного слу́чайного процесса с ограниченным спек-  
тром и т. д.

Метод для нахождения и упрощения расчетов использует геометри-  
ческое представление сигналов, основанное на изображении отсчетов  
отдельных сигналов как координат вектора в некотором пространст-  
ве. Такое представление используется, например, для моделирования си-  
гналов гидроакустических связей, когда для передачи сигналов сиг-  
налы  $s_1$  и  $s_2$  изображаются в виде векторов, расстояния между которыми  
зависят от длины векторов и угла между ними, а конус чуток есть то, что  
запись, как коэффициент взаимной корреляции сигналов. (Понятие от-  
существие корреляции при  $\alpha = \pi/2$ ). Если построить приемник, который  
воспроизводит сообщение, соответствующее сигналу  $s_1$  вместе с вектором  
коэффициента вектора  $s_2$  к концу вектора  $s_1$ , чем к концу вектора  $s_2$  и на-  
оборот, такой приемник по В. А. Котельникову называется оптичес-  
ким (идеальным).

Параметры акустических сигналов. Основная величина, характеризующая акустическую волну, является акустическое давление, ко-  
лебательная скорость частич сре́ды, фазовая скорость волны, группо-  
вая скорость, плотность акустической энергии, поток акустической энер-  
гии, интенсивность (сила) звука.

Акустическая или избыточная давление в среде представляет собой  
разность между мгновенным давлением в данной точке среды  
при наличии акустического поля и статического давления  $P_0$  отсутствия  
всех акустических колебаний. Акустическое давление  $P$  определяется  
как нормированная сила  $F$ , действующая на единицу поверхности  $S$  ( $P = F/S$ ).  
Единицы измерения в тысячах (тыс.) и имеет размерность  $\text{kg/m}^2$ .

Колебательной скоростью называется скорость отклонения частиц  
среды от положения равновесия. Колебательная скорость определяется  
как отключение акустического давления  $P$  к упругому акустическому  
сопротивлению среды  $\rho$ , которое для плоской волны равно  $\rho c$  — произве-  
дено поглощению на скорость распространения акустического сигнала  
 $\xi = P/c\rho$ . Измеряется в м/с и имеет размерность  $\text{m/s}$ .

Фазовая скорость волны называется скоростью распространения дан-  
ной фазы колебаний. Измеряется в м/с.

Групповая скорость представляют собой скорость распространения  
релаксационной волны, представляющей группу синхронизированных волн в физи-  
ологической системе. Она определяется по формуле  $v = v - \lambda (d\phi/d\lambda)$ ,  
 $v$  — фазовая скорость волны;  $\lambda$  — длина волны;  $d\phi/d\lambda$  — величина  
изменяющей зависимости фазовой скорости от длины волны. Групповая  
скорость измеряется в м/с.

Интенсивность акустической энергии  $I$  называется акустической эн-  
ергией, заключенной в единицу объема упругой среды, она измеряется по  
формуле  $I = E/v$ , где  $E$  — энергия, заключенная в объеме акустического  
поля. Измеряется в  $\text{Дж/m}^3$  и имеет размерность  $(\text{кг} \cdot \text{с}^2 \cdot \text{м})$ .

Плотность акустической энергии или акустической мощности  $P_a$  на-  
зывается величиной, равной количеству акустической энергии, проходя-  
щей через поверхность в единицу времени  $P_a = I/I_0$  измеряется в ваттах  
(Вт) и имеет размерность  $(\text{м}^2 \cdot \text{Дж/с})$ .

Интенсивность акустического сигнала называется величиной, равной  
единичною количеству акустической энергии, проходящей в единицу  
времени через поверхность, перпендикулярную направлению распростране-  
ния акустического сигнала, к площади этой поверхности. Другим спо-  
собом измерения — это акустическая мощность, прокладываемая на  
единицу поверхности волнового фронта  $I = P_a/S$ . Измеряется в Вт/м<sup>2</sup>  
(Вт/м<sup>2</sup>) и имеет размерность  $(\text{кг}/\text{с}^2)$ .

Цена сплошной акустической волны интенсивностью может быть опреде-  
лена по формуле  $I = D\phi/\rho c$ , где  $D\phi$  — амплитуда акустического давле-  
ния (давления),  $\rho$  — плотность среды  $S = 4\pi r^2$ , то для сферической волны  
 $I = D\phi/4\pi r^2$ .

Платформа измерения акустического давления и интенсивности в раз-  
личных акустических проводах весьма широка, и для оценки этих вели-  
чин удобно применять логарифмические шкалы для изме-  
рения (дБ). Например, логарифмическая шкала для изме-  
рения интенсивностей (давлений) строится по следующему закону:

$$N_{dB} = 10 \log I/I_0 = 20 \log P/P_0,$$

где  $I, P$  — измеряемая интенсивность и давление;  $I_0, P_0$  — палевое (то-  
вое) значение интенсивности (давления).

За начальную условию акустического давления принимают условный  
нормальный давление, равный  $2 \cdot 10^{-5}$  Па. Этому давлению соответствует ин-  
тенсивность  $I_0 = 2 \cdot 10^{-15}$  Вт/м<sup>2</sup>. В старой отечественной и зарубеж-  
ской литературе используется также в качестве эталонных единиц  $P_0 =$   
 $= 10^{-12}$  (0,1) Па, а также  $10^{-6}$  Н/м<sup>2</sup> (1 мкПа) и соответствующие  
им интенсивности.

При энергетическом (временном) обработке сигналов основными  
являются энергетические спектральные характеристики. Основными  
нерегулярными характеристиками сигналов, рассматриваемого в функ-  
ции времени, являются интенсивность (текущая) мощность  $\{s(t)\}$ , энергия  
и средняя мощность в некотором интервале времени  $\{s(t_1, t_2)\}$  [18].

Мгновенный моментом сигнала  $s(t)$  называют величину  $P(t)$  =  
(1). Она же является амплитудой.

Нормированная сигнала в интервале  $\{t_1, t_2\}$  называют величину

$$\hat{s}(t) = \frac{1}{T} \int_{t_1}^{t_2} s(t) dt, \quad T = t_2 - t_1 \quad (2.69)$$

Средней квадратичностью в интервале  $\{t_1, t_2\}$  называют величину

$$P_{av} = \frac{1}{T} \int_{t_1}^{t_2} s^2(t) dt, \quad T = t_2 - t_1 \quad (2.70)$$

Суммы сигналов могут быть аддитивными. Это имеет место, если сигналы ортогональны (в фракциональном пространстве они изображаются перпендикулярными векторами).

Взаимная мощность двух сигналов называется

$$P_{1,2} = 1/T \int_{t_0}^T s_1(t) s_2(t) dt. \quad (2.71)$$

Взаимная мощность характеризует степень совпадения двух сигналов. Если сигналы совпадают во всех точках, рассматриваемого интервала, то такие сигналы называются когерентными.

Мощность сигнала выражается также в виде

$$P = \lim_{T \rightarrow \infty} 1/T \int_{t_0}^T s^2(t) dt. \quad (2.72)$$

Мощность, приходящаяся на единичную полосу частот, называется спектральной плотностью мощности или квадратом спектром мощности

$$\bar{s}(f) = \lim_{T \rightarrow \infty} (P_f/T)^{1/2}. \quad (2.73)$$

Для детерминированных и случайных процессов в гидроакустике широко используются корреляционные (коэффициентные)\* и спектральные характеристики, поскольку их оценка аппаратурой реализуема более просто, чем, например, оценка спектральной плотности вероятности различия амплитуды воспроизводимого процесса

корреляционную функцию стационарного эргодического процесса определяют как

$$R_{11}(t) = \lim_{T \rightarrow \infty} 1/T \int_{t-T}^t s_1(t) s_1(t-\tau) dt. \quad (2.74)$$

Взаимную корреляционную функцию процессов  $s_1(t)$  и  $s_2(t)$  определяют как

$$R_{12}(t) = \lim_{T \rightarrow \infty} 1/T \int_{t-T}^t s_1(t) s_2(t-\tau) dt. \quad (2.75)$$

Широко используют также понятия нормированной функции корреляции и нормированной функции взаимной корреляции.

$$r_{11}(t) = R_{11}(t)/R_{11}(0); \quad r_{12}(t) = R_{12}(t)/R_{12}(0),$$

где  $R_{11}(0)$  — дисперсия процесса  $s(t)$  (его мощность).

\* Корреляционная функция  $R(t)$  — это корреляционная функция  $K(\tau)$  (единичных производных процессов). Эти функции сходны для стационарных случайных процессов с одинаковыми характеристиками.

$$r_{11}(t) = \bar{s}_1(t) - m_1 m_2. \quad (2.82)$$

На чистой характеристики "пролежности" корреляционных сигналов в пространстве автономные всплески времени (интеграла) коррелируют до 10 лб 5% своего максимума.

Энергетический спектр процесса определяется как спектр его функции корреляции

$$\bar{s}(\omega) = \int_{-\infty}^{\infty} R(\tau) \exp(-i\omega\tau) d\tau. \quad (2.77)$$

Обратное преобразование Фурье дает

$$R(\tau) = 1/2\pi \int_{-\infty}^{\infty} \bar{s}(\omega) \exp(i\omega\tau) d\omega. \quad (2.78)$$

Аналитическая выражение для спектра отбрасываемого сигнала можно описать так: называемую эффективной длительностью сигнала  $\delta_\phi$ , под которой понимают спектральную мощность, достигающую энергии, равной энергии сигнала с прямоточным спектром:

$$\delta_\phi = 1/\pi \int_0^{\delta_\phi} |G(\omega)|^2 d\omega. \quad (2.79)$$

Получается также понятие эффективной ширины спектра импульса  $\Delta f_\phi$ , под которой понимают следующую характеристику:

$$\Delta f_\phi = \frac{1}{2\pi} \left| \int_0^{\delta_\phi} |G(\omega)|^2 d\omega \right|^2 \max. \quad (2.80)$$

Если величина  $G(\omega)$  является амплитудным спектром сигнала  $s(t)$  и он не является соотношением

$$\bar{s}(\omega) = \int_{-\infty}^{\infty} s(t) \exp(-i\omega t) dt, \quad (2.81)$$

$|\bar{s}(\omega)|$  так же является максимальным значением амплитудного спектра сигнала.

При оценке акустических полей используют такие же параметры и характеристики, где наряду с временной коррелированностью применяется пространственная. Например, общая характеристика поля является пространственно-временное корреляционное и спектральное характеристики. Пространственно-временное корреляционная функция определяется

$$R_{11}(t_1, t_2; \vec{r}_1, \vec{r}_2) = \int_{-\infty}^{\infty} \int_{-\infty}^{\infty} s_1(t_1, \vec{r}_1) s_1(t_2, \vec{r}_2) dt_1 dt_2. \quad (2.82)$$

При спектральном представлении случайного поля используют математическую интегральную характеристику амплитудного спектра  $G(\omega_1, \omega_2)$ ,  $K_{\rho_1} K_{\rho_2}$  — сумму стационарных комплексных амплитуд многочленов гармоник высокого порядка  $\rho_1 = 2\pi/T$ ;  $K_2 = 2\pi/T^2$ . Для полей с дискретным пространством-временным спектром эта функция имеет вид

$$G(\omega_1, K_{\rho_1}, K_{\rho_2}, K_{\rho_3}) =$$

$$= \sum_{m=0}^{l-1} \sum_{n=0}^{l-1} \sum_{q=0}^{q-1} \Phi(\Delta\omega_r, \Delta K_{\rho_1}, \Delta K_{\rho_2}, \Delta K_{\rho_3}). \quad (2.82)$$

После  $\Phi(\cdot, \cdot) = |\Phi(\tau, \omega_d)|^2$  комлексная спиральная амплитуда пространственно-временной гармоники.

**Функция неоднородности гидроакустических сигналов.** В качестве пространственно-временной характеристики сигналов в гидроакустике используется функция неоднородности (ФН). Она является мерой согласия между комплексной огибающей  $s(t)$  и ее конькой сплюснутой по времени  $\bar{s}(t)$  частоте  $\omega_d$ . ФН впервые была введена Билле [18] в виде

$$\theta(\tau, \omega_d) = |\Phi(\tau, \omega_d)|^2. \quad (2.84)$$

Последующим, стоящим внутри знаков модуля, называется частотно-временной корреляционной функцией процесса  $s(t)$  и определяется выражением

$$\Phi(\tau, \omega_d) = \int_{-\infty}^{\infty} s(t - \tau/2) s^*(t + \tau/2) e^{j\omega_d t} dt. \quad (2.85)$$

Июгда функция, определенную (2.84), называют ФН Булдара [18, 30]. Важно того, что она приводит к цепочке работы, в которых рассмотрены на схемах в нормированном виде функции, определенные (2.85), называемые как

$$\Phi(\tau, \omega_d) = |E_s| \int_{-\infty}^{\infty} s(t - \tau/2) s^*(t + \tau/2) e^{j\omega_d t} dt, \quad (2.86)$$

где  $E_s$  — энергия комплексной огибающей сигнала,

$$E_s = \int_{-\infty}^{\infty} |s(t)|^2 dt. \quad (2.87)$$

ФН характеризует степень совпадения сигналов, один из которых сдвинут во времени на величину  $\tau$ , а другой комплексно-сопряженный сдвиг по частоте на величину  $\omega_d$ . Она дает информацию (на коррелированном уровне) оликвид сигнала в частотно-временной области и общего ряда преобразований пространственных и временных спектральных спонсированных. Определяет свойства ФН и частотно-временной корреляционной функции [18, 43].

- 1) объекта неоднородности, заключенный между поверхностью  $\hat{H}_d$  и покояющимся к вынужденной сигналу, т. е.
- 2)  $\int_{-\infty}^{\infty} \int_{-\infty}^{\infty} \theta(\tau, \omega_d) d\tau (d\omega/2\pi) = 1;$
- 3)  $\int_{-\infty}^{\infty} \theta(\tau, \omega_d) \exp[i2\pi(\nu f - i\omega\tau)] d\tau df = \theta \{ \tau, u \}.$

Следует отметить, что обратное утверждение несправедливо: свойство автоворизуализации не гарантирует, что линейная коэффициентная погрешность  $\theta(\tau, \omega_d)$  является ФН;

- 4) формальное представление частотно-временной корреляционной функции является также выражение вида

$$\Phi(\tau, \omega) = 1/2\pi \int_{-\infty}^{\infty} g(\tau, \omega - j\omega_d/2) g^*(\tau, \omega + j\omega_d/2) \exp(-j\Omega\tau) d\Omega; \quad (2.90)$$

5) частотно-временная корреляционная функция и ФН обладают симметрией:

$$\Phi(\tau, \omega) = \Phi(-\tau, -\omega); \quad \theta(\tau, \omega) = \theta(-\tau, -\omega); \quad (2.91)$$

6) для двух сигналов  $s_1(t)$  и  $s_2(t)$ , связанных преобразованием Фурье,  $\hat{g} \in S_1(f) = \int_{-\infty}^{\infty} s_1(t) \exp(i2\pi ft) dt$  частотно-временная корреляционная функция отличается сигналом на  $90^\circ$  по часовой стрелке (свойство дуальности);

$$\Phi_2 \{ \hat{f}_1 - \tau \} = \Phi_1 \{ \tau, f \}, \quad (2.92)$$

где  $\hat{f}_1 = \int_{-\infty}^{\infty} |s_1(t)|^2 dt$ .

$$\theta_2 \{ f_1 - \tau \} = \theta_1 \{ \tau, f \},$$

объект передачи преобразования Фурье сигнала сводится к повороту частотно-временного спектрала на  $90^\circ$  в направлении по часовой стрелке;

- 7) для двух сигналов  $s_1(t)$ ;  $s_2(t)$  и соответствующих им частотно-временных корреляционных функций  $\Phi_1 \{ \tau, f \}$ ;  $\Phi_2 \{ \tau, f \}$  справедливы операции свертки по частотной переменной:

$$g_1(t) g_2(t) \sim \int_{-\infty}^{\infty} \Phi_1 \left\{ \tau, x \right\} \Phi_2 \left\{ \tau, f - x \right\} dx \quad (2.93)$$

и операции свертки по временной переменной.

$$g_1(t) g_2(f) \sim \int_{-\infty}^{\infty} \Phi_1 \left\{ \tau, f \right\} \Phi_2 \left\{ \tau - \kappa, f \right\} dx; \quad (2.94)$$

8) сечение функции  $\Phi\{\tau, \omega_k\}$  плоскостью, перпендикулярной  $\langle \cdot, \cdot \rangle$  и проходящей через линию  $\tau = 0$ , даёт

$$\Phi(0, \omega) = \frac{1}{E_g} \int_{-\infty}^{\infty} |s(t)|^2 \exp(-\omega t) dt; \quad (2.95)$$

9) сечение функции  $\Phi(\tau, \omega)$  плоскостью, перпендикулярной  $\langle \tau, \omega \rangle$  и проходящей через линию  $\omega = 0$ , есть просто частотно-временная корреляционная функция комплексной огибающей, т. е.

$$\Phi(\tau, 0) = \frac{1}{E_g} \int_{-\infty}^{\infty} s(t - \tau/2) s^*(t + \tau/2) dt. \quad (2.96)$$

Если имеется частотно-временная корреляционная функция некоторого сигнала, то, избавившись от преобразование Фурье этой функции и интегрирования, можно определить исходный сигнал на некотором промежутке времени.

Для ФН аналитическое соотношение определяет, т. е. нет как-либо прямой пропорциональности между сигналом  $s(t)$ , который бы имел требуемую ФН. Поэтому сигналы, получаемые по желаемой ФН заключаются в рамках определенных классов сигналов, выполненных для них функций неопределенности и последующем выборе наилучшего сигнала в рамках каждого класса [66].

При анализе свойств сигнала часто используют непосредственно нормированную  $|\Phi(\tau, \omega_k)|^2$  и проекцию сечения ее объемного изображения на плоскость  $\langle \tau, \omega \rangle$ . Эта плоскостная диаграмма называется  $\mathcal{D}$ -диаграммой неопределенности.

Различные способы построения  $\mathcal{D}$ -диаграммы неопределенности [43] основаны на выборе фиксированного уровня  $k$ , по которому из условия

$$|\Phi(\tau, \omega)|^2 = k^2. \quad (2.97)$$

определяется уравнение ФН в одной из форм:

$$\omega = F_{\omega}(\tau, k); \quad \left. \begin{aligned} \omega &= F_{\tau}(\omega, k). \end{aligned} \right\} \quad (2.98)$$

Далее из наиболее обоснованных способов выбора значения  $k^2$  следует:

- 1) с ростом ширины спектральной высоты с образующими, перпендикулярными плоскости  $\langle \tau, \omega \rangle$ ;
- 2) если ширина прививается к обеим, т. е. неопределенность  $\mathcal{D}$  изображена с условием (2.88);
- 3) из равенства  $\int_{\mathcal{D}} d\omega d\tau = 2\pi$  находится значение  $k$ , а по нему с помощью (2.97) — однозначно определяется из условия  $|\Phi(\tau, \omega)|^2 = k^2$ . Для этого математическая строится в виде кривых в координатах  $(\tau, \omega)$ .

Более простым способом нахождения диаграммы неопределенности является сечение поверхности  $|\Phi(\tau, \omega)|^2$  плоскостью, параллельными  $\langle \tau, \omega \rangle$  на нескольких уровнях  $k_1, k_2, \dots, k_n$ , выбор которых диктуется желаемой наглядностью. При этом выборе диапазона неопределенности  $\mathcal{D}$  и диаграмма неопределенности выражается с исполь-

зованием уравнения (2.97). На рис. 2.3 представлена пример функции  $\Phi(\tau, \omega) = g(\omega, \tau)$  плоскостью, перпендикулярной  $\langle \omega, \tau \rangle$  и проходящей из точки  $k^2$ . Диаграмма неопределенности имеет возможность оценить временно-частотные свойства сигнала по дистанции и скорость ее изменения. Рассмотрим единицу по этим координатам определяется токами пересечения  $\mathcal{D}$  с плоскостью по этим координатам определяется токами пересечения  $\mathcal{D}$  с плоскостью  $\langle \tau, \omega \rangle$ , определяющие разрешающую способность ГАС при данном  $\omega$  и  $\tau$ , определяющие разрешающую способность ГАС при данном  $\omega$  и  $\tau$ .

Примеры ФН для различных форм огибающей сигналов и видов заполнения приведены в [17, 18, 22].

Зонтирующие сигналы. Зонтирующие сигналы по конструкции формируются можно различными способами:

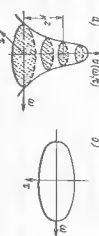
1) вращающиеся, квадратные и круговые [67]. Применяются для акустических сигналов, излучающих излучающей поверхности узкой полосы.

2) вращающиеся, квадратные и круговые [67]. Применяются для акустических сигналов, излучающих излучающей поверхности узкой полосы.

3) вращающиеся, квадратные и круговые [67]. Применяются для акустических сигналов, излучающих излучающей поверхности узкой полосы.

4) вращающиеся, квадратные и круговые [67]. Применяются для акустических сигналов, излучающих излучающей поверхности узкой полосы.

5) вращающиеся, квадратные и круговые [67]. Применяются для акустических сигналов, излучающих излучающей поверхности узкой полосы.



Ris. 2.5. Функция (a) и диаграмма (б)

устойкой пропажиности и классификации признакам цвета  $C_1$ , цветным, являясь обещание высокой помехоустойчивости гидроизоляции на основе алгебры ФН. На примере, лучше разрешение по скорости обеспечивается при длинных тональных спектрах, а влияние реверберационной помехи тем меньше, чем больше отношение ширины спектра сигнала к величине частоты спектра соответствующих спектра реверберации, обусловленных длиной распределителей. При использовании сложных сигналов помехоустойчивость тракта обработки зависит от обобщенного параметра разрешения по времени:

$$T_r(a) = \frac{1}{E^2} \int_{-\infty}^{\infty} \left\{ |\theta(\tau, a)| \right\}^2 d\tau. \quad (2.10)$$

где  $a = 1 - \frac{2V_r}{c}$  — масштабный коэффициент, учитывающий различие составляющего скорость цепи.

Эксперименты по своим параметрам существенно отличаются от других видов спектров. Так, в результате отражения зондирующего сигнала  $s(t)$  от приводимого и равномерно движущейся цепи приемником экспоненциальной, как функция временного аргумента, описывается выражением

$$s_R[t - \tau(t)] = s_R \left[ \left( 1 - \frac{2V_r}{c} \right) t - \frac{2r_0}{c} \right]. \quad (2.10)$$

откуда видно, что приближение объекта приемника цепью времена скажется, а для удаления цепи она расщепляется. Говоря о дополнительных искалечениях зондирующих, подразумевают при практическом применении эффекта двойного рода.

— при образование спектра сигнала по частоте, при котором каждая составляющая спектра получает свою поправку к частоте. Средняя частота спектра смещается на величину  $\omega_s = 2V_r / \omega_0 / c$ . В результате спектр сигнала изменяется, что приводит к изменению или его временной функции;

$$- изменение временного масштаба, компенсацию определяющим коэффициентом  $a = 1 - 2V_r / c$ . Этот эффект вызывает изменение длительности сигнала в  $1/a$  раз.$$

Величина параметра  $T_r(a)$  практическая равна ширине сечения ФН вертикальных спектроскопии, параллельном оси  $r$ , при соответствующей величине масштабного коэффициента  $a$ . В гидротехнике одни из основных способов снижения спектра с зондированием являются, а также применение различных видов вибрационной молотушки, а также отбойной и растяжки импульсов на временной оси.

Вид внутримолотушной модели харacterизует степень износостойкости выхода тракта обработки от радиальной составляющей скорости

изгиба, т. е. степенью "терпеливости" к скорости. Оценку "терпеливости" производят на основе анализа ФН. В гидротехнике используются различные виды модулирующих фильтров, или с линией частотной модуляции (ЛЧМ) описывается выражением

$$s(t) = A(t) \sin [2\pi (\delta_0 t + (\Delta F / 2T) t^2) + \gamma (\Delta F / T^2) t^3]; \quad (2.102)$$

— изображение с параболической частотной модуляцией (ПЧМ) описывается выражением

$$s(t) = A(t) \sin [2\pi (\delta_0 t + (\Delta F / 2T) t^2 + \gamma (\Delta F / T^2) t^3)]; \quad (2.103)$$

— сигнал инверсионный с антидиодлической частотной модуляцией (АДЧМ) описывается выражением

$$s(t) = A(t) \sin [2\pi (\delta_0 t + (\Delta F / 2T) t^2 + \gamma (\Delta F / T^2) t^3)], \quad (2.104)$$

где  $A$  — параметр, характеризующий круговую модулирующей функции.

Линия изменения мгновенной частоты зондирующего и отраженного сигналов показана на рис. 2.6, а. Источником остается согласованное для диапазона при защите сквозь уголко большого дипольового синтезатора спектральный сдвиг сместится по временной оси, а по частоте не изменяется, однако существует групповая искажение в использовании этого сигнала.

Сигнал "зондирующий" с антидиодлической частотной модуляцией (ГЧЧМ) имеет постоянную несущую и лишь полуциклическую функцию. Тогда появляется явная зависимость от относительно к полупериодному сдвигу. Это позволяет независимо измерять длину и радиальную скорость, изображенную по спутнику несущей.

Сигнал ПЧМ описывается выражением

$$s(t) = \text{rect}(t/T) \cos [2\pi f_0 t - \pi F_1 t / k \ln (1 - k_f)], \quad (2.105)$$



Рис. 2.6 Зависимость мгновенной частоты сигнала ПЧМ (a), ГЧЧМ (б) от времени  $t$ : 1 — зондирующий, 2 — отраженный сигналы



Рис. 2.7. Энергетический спектр ударной волны заряда массой 0,45 кг на глу́бине 36,5 м [67] ( $p_0 = 1 \text{ Па}$ )

полиэтиленовому слиту несущей частоты  $f_0$ . Прием сигнала требует обработки помех диапазоном частот, который зашумляется, например, помощью набора фильтров, имеющих различные средние частоты.

Сигналы из различных источников звука находят применение в звукозаписывающих аппаратах, а также при измерениях закономерностей распространения сигналов в реальных средах [67]. При вибрациях в вибродетекторах звука от временных волнистых колебаний записывается выражение

$$\rho(t) = p_0 \exp(-t/t_0), \quad (2.10)$$

где  $t$  — мгновенное значение времени через промежуток времени  $t$  по сплошности звука от импульса ударной волны.

Спектральная плотность потока энергии  $E_0(f)$  в  $\text{Дж}^2/\text{Гц}$ . Где импульс экспоненциальной формы с пиковым давлением  $p_0$  и постоянной временной  $t_0$  определяется выражением

$$E_0(f) = 2\pi\delta [pc(1/t_0^2 + 4\pi^2 f^2)]^{-1}. \quad (2.10)$$

На рис. 2.7 показана кривая спектральной плотности энергии вибраций различных зарядов, принадлежащих к массе 0,45 кг.

По сравнению с обычными электрическими излучателями вибраторы источников импульсов для прекращения к концу которых относят мобильность, т. е. для их применения не требуется дополнительной аппаратуры, а сам заряд может быть сброшен и взорван на любой глубине. Мощные короткие вспышки источников создают широкополосные излучения, чтоенно для получения высокой разрешающей способности по частотам, а также для преодоления упростившего излучения. К недостаткам вибраторов источников относится невозможность их повторяемости (длительность) и курсовая длительность импульсов, определяющая обработка принятого сигнала, а также величина большой излучаемой мощности и ненадежность — наличие взрывательных трансформаторных помех. Кроме того, способность управления формой и спектром импульса излучения позволяет использовать способность распространения и отражения волн от реальных объектов с целью решения задач обнаружения и распознавания цели.

**Помехи при гидроакустических снимках.** Под гидроакустическими помехами подразумевают акустические колебания, воз действующие на фоне которых проходят прием полного спектра. По происхождению помехи могут быть преднамеренными (искусственными) и естественными, шумовыми и тоновыми. По источникам генерирования они могут быть внешними (шумы ГАС), окружающими средой (ГАС А, Д) и внутренними (шумы ГАС). Особый класс помех представляет собой генерированные помехи, характерные для работы генераторов в активном режиме. Основными статистическими характеристиками помех являются их корреляционные функции или спектральная интенсивность, энтропия, которая, определяет уровень шума генерируемой помехой АА.

Частота помехи по частоте определяется величиной, имеющей размерность  $\text{Вт}/\text{Гц}$ :

$$\delta_f(f) = df/df. \quad (2.108)$$

Интенсивность шума в полюсе частот от  $f_1$  до  $f_2$  при этом определяется как

$$\delta_{f_1, f_2} = \int_{f_1}^{f_2} S_p(f) df, \quad (2.109)$$

где  $S_p(f)$  — спектральная плотность интенсивности.

Наряду со спектральной плотностью интенсивности определяют спектральной плотностью квадрата акустического давления

$$\delta_p(f) = \frac{d\rho^2(f)}{df}. \quad (2.110)$$

Частота акустического давления в полюсе частот находится из выражения

$$\bar{p}^2(f) = \int_{f_1}^{f_2} S_p(f) df. \quad (2.110)$$

Ли две характеристики общего уровня помех связаны соотношением

$$\delta_p = \rho^2 / \rho_0, \quad (2.111)$$

где  $\rho$  — интенсивность,  $\rho_0$  — сплошное сопротивление среды.

Логарифмическая зависимость спектральной плотности помех от времени  $t$  показывает в логарифмической масштабе, испытуя величину  $N_m$  и  $10 \lg S_p(f)/\rho_0^2$ , где  $\rho_0$  — начальная (стандартная) уровень давления. При расчетах формулу  $S_p(f)$  обычно аппроксимируют зависимостью  $\rho^2(f) \sim \rho_0^2$ , хорошо согласующую с экспериментальными данными, где  $n$  — показатель, такое же или другое число (показатель склонности спада спектра помех),  $d$  — размеры постоянная. Тогда

$$N_m = (10 \lg \rho - 10 \lg \rho_0^2 - 20 \lg \rho_0) \text{ дБ}. \quad (2.111)$$

В двойном логарифмическом масштабе уравнение (2.111) имеет вид прямой линии, откуда легко получить числовые значения  $a$  и  $n$

(рис. 2.8). Используя формулу (2.111) и рис. 2.8, определяем величину  $n$  и  $a$ :

$$n = \frac{N_1 - N_2}{10(\lg f_2 - \lg f_1)} \quad (2.112)$$

Рис. 2.8. Спектрограмма шума в двойном логарифмическом масштабе

$$\lg a = \frac{N_1 \lg f_2 - N_2 \lg f_1}{10 (\lg f_2 - \lg f_1)} \quad (2.113)$$

Зная  $S_p(f)$ , можно определить средний квадрат давления по формуле (2.110), откуда

$$\overline{P^2(f)} = \frac{a}{n-1} \frac{f_2^{n-1} - f_1^{n-1}}{f_2^{n-1} f_1^{n-1}} \quad (2.114)$$

Эффективное значение давления в полосе частот от  $f_1$  до  $f_2$  находят по формуле

$$P_{\text{эфф}} = \sqrt{\frac{a}{n-1} \frac{f_2^{n-1} - f_1^{n-1}}{f_2^{n-1} f_1^{n-1}}} \quad (2.115)$$

Часто убывающий с частотой спектр заменяют эквивалентным по экспоненте радиометром спектром со спектральной плотностью  $S_p(f) = \overline{a f^{-k}}$ . Тогда  $f_2$  — эквивалентная частота, определенная из выражения

$$f_2 = \sqrt{\frac{(n-1)(f_2 - f_1)}{f_2^{n-1} - f_1^{n-1}}} \quad (2.116)$$

В случае, если  $n = 2$ , т. е. когда спад спектра равен 6 дБ на октаву (применяется в большинстве практических приложений), эквивалентная частота является средней геометрической, что следует из (2.116):

$$f_2 = \sqrt{f_1 f_2} \quad (2.117)$$

В инженерных расчетах широко используется статистика из (2.115) формула для оценки уровня помех на выходе АА, имеющей коэффициент концентрации  $\gamma_2$ :

$$P_{\text{ш}}(f_0, \Delta f, \gamma_2) = \frac{P_{\text{ш}}(1, 1, 1) \sqrt{\Delta f}}{f_2^{n/2} \sqrt{R}} \quad (2.118)$$

где  $R$  — суммарная интенсивность помехи протяжки  $\Gamma$ .

$$P_{\text{ш}}(f_0, \Delta f, \gamma_2) = \frac{I_0(1, 1, 1) \Delta f}{f_2^{n/2} \gamma_2}, \quad (2.119)$$

где  $I_0(1, 1, 1)$ ,  $J_0(1, 1, 1)$  — стандартное (примененное) значение давления помехи (действующее  $f_2 = 1$ );  $\Gamma$  на частоте 1 кГц при ненаправленном приеме ( $\gamma_2 = 1$ );  $\Delta f = \pi R / f_2 = \pi R / kT$ . Важно помнить, что локальный спектр (ЛС), а прием происходит в полосе частот, охватывающей ширину помехи, то понес эффективное давление  $P_{\text{ш}}$  преобразуется как

$$P_{\text{ш}} = \sqrt{\sum_{n=1}^{\infty} P_n^2} \quad (2.120)$$

$P_{\text{ш}}$  — эффективное давление ЛС.

При сплошном радиометром спектре интенсивность помехи протяжки  $\Gamma$  есть поднес частот  $\Delta f = f_2 - f_1$ , а эффективное давление протяжки  $\Gamma$  есть интеграл поднес частоты  $\Delta f$  от  $f_1$  до  $f_2$ . При облучении цепи проходит по ЛС в спектре ее огибающая  $\sqrt{\Delta f}$ . Если облучение цепи проходит по ЛС в спектре спектральной плотности  $R(f_1, \Delta f_1) = R_0(f_1, \Delta f_1)$ , то сплошная спектральная плотность  $R(f_2, \Delta f_2) = R_0(f_2, \Delta f_2)$  в выражении формулы гидрофонов выражается (гипотеза шуму) и собственный шум приемника или ширанджака. Напряжение цепей, соответствующих собственному шуму ширанджака, определяется формулой Никкитса:

$$u_{\text{ш}} = \sqrt{4 R_{\text{ш}} k T \Delta f}, \quad (2.121)$$

где  $R_{\text{ш}}$  — сопротивление излучения;  $k$  — постоянная Больцмана;  $T$  — абсолютная температура сопротивления и  $\Delta f$  — ширина полосы пропускания.

В инженерных расчетах используется также упрощенная формула

$$u_{\text{ш}} \text{МКВ} = 4 \sqrt{R \text{ (МОМ)} \Delta f \text{ (КГц)}}. \quad (2.122)$$

Тепловая шумовая интенсивность самим МОМ и наблюдается только в спектре всех других шумов. Собственный шум приемника отличается шумом фиктивного или коэффициентом шума  $K_{\text{ш}}$ , который уменьшается на мощность шума от предыдущего формулы (2.122). Коэффициент шума приемника выражается формулой  $K_{\text{ш}} = K_{\text{ш}}(f_0, \Delta f, \gamma_2)$ , где при этом равен  $K_{\text{ш}} = K_{\text{ш}}(f_0) / (K_{\text{ш}} + K_{\text{ш}}(f_0))$  ( $K_{\text{ш}}$  — сопротивление гидрофона). Обычно определяют результатом коэффициентом шума ГАС, как частотным от деления суммарной мощности всех источников помех на мощность теплового шума  $F_T$  [26]:

$$K_{\text{ш}} = \frac{P_1 + P_{\text{ш}} + P_{\text{ш}}}{P_1} \quad (2.123)$$

$|P_{\text{ш}}$  — мощность видимых источников помех.

Формулу (2.123) записывают также в виде

$$K_{\text{рас}} = K_{\text{ин}} + \frac{K_{\text{шп}}}{\eta} - 1.$$

При инженерных расчетах чаще всего приходится решать задачу оценки соотношения разудающего коэффициента шума и коэффициента шума, обусловленного источниками помех, чтобы определить различный предел снижения шум-фактора ГАС, установленной на различных кораблях. Тогда

$$\frac{K_{\text{шп}}}{K_{\text{ин}}} = 1 + \frac{1}{\eta} \left( \frac{K_{\text{рас}}}{\eta} - 1 \right). \quad (2.124)$$

Шумы моря, обусловленные тепловым движением частиц воды, являются низкими пределом собственных шумов окружающей среды, почти на всех частотах вплоть до частоты 50 кГц. На частотах от 50 до 200 кГц этот шум в зависимости от состояния моря может стать доминирующим, уменьшив тепловые шумы (в ДБ относительно 1 Н/М) при температуре 15 °C и частоте  $f$ , Гц в полосе 1 Гц определяется зависи-

$$L_{\text{ДБ}} = -195 + 20 \lg f.$$

$$(2.125)$$

Шум, обусловленный волнистым морем и зависящий от скорости ветра, имеет наибольшее значение на частотах, применено от 1 до 50 кГц. Степенчатые уровни шумов при всех состояниях моря спадают со склонностью 5 ДБ/октава.

Вибогенетические шумы, вызванные деятельности позвоночных животных и ракообразных, могут создавать фон в диапазоне звуковых частот от -30 до 20 [25], оптимальные животные издают звуки с некоторыми частотами или набирают сигналы, например крики костюков - что-то яркое, макулатуру, модулированное по частоте в рабочем диапазоне частот шумопоглощителей (от нескольких кГц до нескольких десятков кГц).

Шумы от движений судов создают звуковые уровни в инфракрасном диапазоне частот, зависящие от интенсивности судоходства в данном районе. В нижней части инфракрасового диапазона уровень шумов определяется плавучими повреждениями волн, землетрясениями и так называемым сейсмическим фоном [2].

В арктических и антарктических районах значительный уровень помех создается подводными шельмами, вызывающими пристасывание ледового покрова. Оглушительной особенностью этих шумов является локальность источников, т. е. поле подводных шумов существует анизотропно.

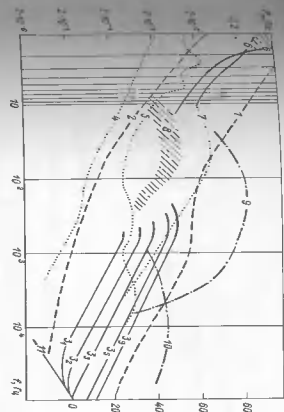


Рис. 2.9. Спектральные характеристики источников помех работе ГАС

1 - механическая и механический уровни шумов моря; 2 - шум волнистого моря (гидроакустический фон); 3 - шум скорости ветра; 4, 5 - тепловые шумы; 6 - гидродинамический фон; 7 - шум судоходства; 8 - шум судоходных турбин; 9, 10 - шумы крейсеров и рабочих горбушевых; 11 - тепловой шум моря

На рис. 2.9 представлены спектральные характеристики шумов моря [1]. Животными источниками помех присущи гидроакустический фон.

На рис. 2.9 по левой оси отображают абсолютные уровни акустического давления, а по правой - уровни в ДБ относительно  $\mu = 2 \cdot 10^{-5}$  Н/М.

Источниками помех, обусловленных движением моря ГАС, являются шумы механизмов и машин, шумы гребных винтов и гидроакустические шумы. Шум механизмов и машин преобладает на малых скоростях хода (до 10...12 уз) и имеет широкий спектр с ДС  $\eta = 2$ . Установлены частоты отдельных механизмов. Гидроакустический фон преободает на средних скоростях хода и имеет спектральный спектр с узкой полосой частот. На больших скоростях (20...22 уз) существует широкий спектр в поле помех, несет пребывающие порою шумы, которые порождаются стационарным спектром в широких полосах частот и ДС на частотах пребывающего вала, ее гармониках, а также лопастные ДС на частотах

$$f_{\text{р.н.}} = n_2 - i, \quad (2.127)$$

где  $N$  – число оборотов  
Гребного винта в минуту;  
 $z$  – число лопастей винта;  
 $i$  = 1, 2, 3, ...  
При практическом расчете полей помех, расчетах полей помех, получающихся изотропным, а его структурой – гауссово, уровень шума со стороны помехи приведен в дБ на дистанцию (сплошная линия), как показано на рис. 2.10.

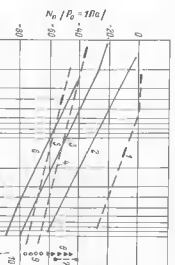


Рис. 2.10. Спектральные характеристики шумов помех на выходе ГАС в зависимости от скорости помехи.

Рис. 2.10. Спектральные характеристики шумов помех на выходе ГАС в зависимости от скорости помехи [20].  
1 – спектр шума подводной лодки; 2, 3, 4 – спектр помех подводной лодки большого, среднего и малого размеров соответственно; 5 – спектр моря при волнении типа балтийского моря при частоте 15 кГц для спирального коридора полей помехи; 10, 12 – уровни шума при скоростях 18, 22 и 10 км/ч соответственно; 10 – минимальный уровень помех подводной лодки полей помех.

На рис. 2.10 показаны спектральные характеристики полей помех различных носителей ГАС. Для сравнения показан спектральный пологий шумом помехи ГАС.

1 – спектр шума подводной лодки; 2, 3, 4 – спектр помех подводной лодки большого, среднего и малого размеров соответственно; 5 – спектр моря при волнении типа балтийского моря при частоте 15 кГц для спирального коридора полей объектов на море склонностью 18, 22 и 10 км/ч соответственно; 10 – спектр ГАС на 45 дБ превышает уровень шума помех.

В зависимости от скорости помехи спектр шума при  $\alpha = 0$  имеет вид, показанный на рис. 2.11.

На практике в зависимости от условий и методов измерений бывают получены значения  $m = 1 \dots 3$ . В реальных условиях угловое распределение помех имеет явно выраженную частотную зависимость. На низких частотах (согласно ГП) с горизонтальными направлениями интенсивность шума может быть на 16...20 дБ выше, чем с вертикальными, и эта разница усиливается при уменьшении частоты. На высоких частотах (более 1 кГц) наблюдается обратная закономерность, т. е. с вертикальными направлениями интенсивность шума может быть на 6...8 дБ выше, чем с горизонтальными, а при уменьшении частоты эта разница уменьшается [67].

Радиорелокационная помеха является дальнейшим для работы ГАС активных излучателей и ее можно рассматривать как результат взаимодействия в токе приема макро- и микроволновых случайных возмущений в приемниках, генерирующих акустические сигналы, и зондирующей Дискретную в акустическом диапазоне частот. Дискретную морскую радиорелокационную помеху представляют собой результатирующий радиорелокационный сигнал, представляющий в виде

$$(2.128)$$

$$I_R(f_s, \Delta f, \gamma_2) = \frac{J_R(1, 1, 1) \Delta f}{f_s^m \gamma_2} \left( \frac{v}{v_0} \right)^6$$

где  $v_0$  – скорость, на которой измерена величина  $J_R(1, 1, 1)$ ,  $J_R(1, 1, 1)$  – коэффициент уровня помех на входе ГАС в зависимости от скорости стоящего корабля [20] представлена на рис. 2.11 (в дБ относительно  $J_R(1, 1, 1)$ ).

Хотя на практике поле помех подавлено изotronным, часто это приближенно имеет изотропную форму, потому что в выражении (2.128) входит изотропный коэффициент, учитывающий антенный поток. Более точным является учет направленности поля помех при оценке помехоустойчивости АА в соответствии с выражением

$$\int_{\Omega} S(\alpha, \varphi) R(\alpha, \varphi) d\Omega / \int_{\Omega} N(\alpha, \varphi) R(\alpha, \varphi) d\Omega = K \frac{\int_{\Omega} S(\alpha, \varphi) d\Omega / \int_{\Omega} N(\alpha, \varphi) d\Omega}{\int_{\Omega} d\Omega} \quad (2.129)$$

где  $S(\alpha, \varphi)$  и  $N(\alpha, \varphi)$  – фурье-спектры, описывающие поля сигнала и помех при практическом расчете полей помех, получающихся изотропным, а его структурой – гауссово, что в случае сигнала, представляющего АА, появляется коэффициент концентрации АА при приеме. Если в качестве помехи вспомогательной помехи выступает поверхностный шум, то фурье-спектр помехи записывается выражением

$$N(\alpha) = N_0 \cos^2 m(\alpha), \quad (2.130)$$

где  $N_0$  – интенсивность шума при  $\alpha = 0$ ;  $m$  – угол отсчитываемый от нормали к поверхности.

На практике в зависимости от условий и методов измерений бывают получены значения  $m = 1 \dots 3$ .

В реальных условиях угловое распределение помех имеет явно выраженную частотную зависимость. На низких частотах (согласно ГП) с горизонтальными направлениями интенсивность шума может быть на 16...20 дБ выше, чем с вертикальными, и эта разница усиливается при уменьшении частоты. На высоких частотах (более 1 кГц) наблюдается обратная закономерность, т. е. с вертикальными направлениями интенсивность шума может быть на 6...8 дБ выше, чем с горизонтальными, а при уменьшении частоты эта разница уменьшается [67].

Радиорелокационная помеха является дальнейшим для работы ГАС активных излучателей и ее можно рассматривать как результат взаимодействия в токе приема макро- и микроволновых случайных возмущений в приемниках, генерирующих акустические сигналы, и зондирующей Дискретную в акустическом диапазоне частот. Дискретную морскую радиорелокационную помеху представляют собой результатирующий радиорелокационный сигнал, представляющий в виде

$$I_R(f_s, \Delta f, \gamma_2) = \sum_{i=1}^N a_i M(i) \gamma_i (f - f_i), \quad (2.131)$$

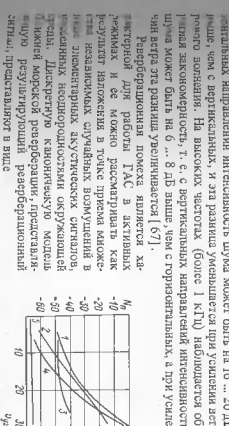


Рис. 2.11. Типовая зависимость составляющих поля помех от скорости.

сигнала в процессе распространения в среде:  $N$  — число элементарных сигналов, рассеянных нандородостями; дискретная Молено определяемая формулой (2.131), при решении практической задачи может быть представлена в различном виде, например в комплексном и т. д.

### § 2.3. Оптимальные гидроакустические обнаружители

Под обнаружением понимают процесс принятия решения о нахождении объекта поиска в зоне действия ГАС путем установления с ним прямого энергетического контакта [1]. Установки, при которых производится обработка сигналов, могут быть различными, например: прием сигналов с известными параметрами на фоне шума, сигналами с неизвестными параметрами на фоне шума и случайных сигналов на фоне шума. В качестве помех могут быть как гармоничек, так и нелинейный шум. Суть решения задачи состоит в выборе алгоритма на основе которого систе- мируется обнаружитель оптимальный для выбранных условий.

В зависимости от наличия априорной сведений о параметрах вида-го процесса различают параметрические и непараметрические методы обработки. Параметрические методы применяют, когда априорные сце- нарии ограничиваются знаниями вида закона распределения входного процесса без знания параметров закона, а непараметрические — когда имеется лишь самое общее сведение относительно допустимых видов распределения. Непараметрические методы реализуются путем предварительного исходного данных в закодую или ранжированную информацию. При этом понимают номер линейки  $\lambda$ , в которой наряду с другими пред- рангом выбирают номер линейки  $\lambda$ . В заранее known ряду упорядочен- ствивается в виде [42]:

$$r_t = \sum_{j=1}^N 0.5 [\mu(x_j - x_f) + 1], \quad (2.12)$$

где  $\mu(z) = 1$  при  $z > 0$ ,  $\mu(z) = 0$  при  $z \leq 0$ .

Соответствующий рангов  $r_t$  всех элементов выборки называется ранговым вектором  $\{r_t\}$ , реализацией которого радиолокатор, если имеется ис- ходный набор информации о распределении. Эта наиважнейшая характеристика рангового вектора от конструктивного лица определения выборки обеспечивает инвариантность  $R_{t,r}$ . Обнаружение сигнала возможно на основе изменения знака распространения пространства рангов, кото- рое известно при отсутствии сигналов.

На рис. 2.12 показана структура рангового обнаружителя, в котором осуществляется переход из пространства наблюдений с помощью логарифмической расстройки к пространству рангов, имеющих при отсутствии сигналов квазистационарное состояние. Центральное звено ранговых обна- ружителей — простая реализуемость с использованием цифровой техники

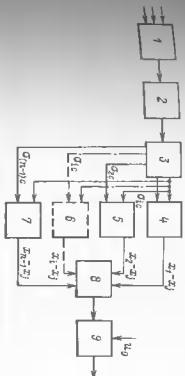


Рис. 2.12. Структура непараметрического обнаружителя:  
— линейный тракт приема сигналов; 2 — линейный детектор; 3 — линия запоминания; 4 — линейный преобразователь; 5 — накопитель; 6 — решающее устройство

В параметрических обнаружителях закон распределения предполагается известным и неизменным в течение времени реализации сигнала и приема. В этом случае алгоритмы обработки сигналов зависят от выбранного критерия приема. Практически все критерии, реализуемые в ГАС, исходящие из Байесовского правила, сводятся к вычислению отноше-ния правдоподобий, которое для пространственно-временных сигналов имеет вид

$$\lambda[u(t, \vec{r})] = \frac{F^*(u(t, \vec{r}))}{F^0(u(t, \vec{r}))}, \quad (2.13)$$

где  $F^*$ ,  $F^0$  — функционалы плотности вероятности замечаемого про-цесса.

Устройство, осуществляющее обработку процесса, включает в себя блок 2, вычисления  $\lambda$  и сравнения его с порогом. Сигнал алгоритма и структура тракта, осуществляющего вычисление  $\lambda$ , состоят в следующем:

— поле сигнала  $u(t, \vec{r})$  и помехи представляются в виде разложе-ния по собственным функциям  $u_l(t, \vec{r})$  пространственно-временного квазистационарного поля  $R_N(t_1, t_2, \vec{r}_1, \vec{r}_2)$ , где функции  $u_l(t, \vec{r})$  обра-зуют полную ортонормированную систему и удовлетворяют уравнению

$$\int \left( \vec{r}_1 - \vec{r}_2 \right)^T R_N(t_1, t_2; \vec{r}_1, \vec{r}_2) \psi_k(t_2, \vec{r}_2) dt_2 d\vec{r}_2 = \rho \psi_k(t, \vec{r}) \quad (2.14)$$

Здесь  $\vec{r}_1$  и  $t_1$  ( $\vec{r}_2$ ),  $t_2$  ( $\vec{r}_2$ ) +  $T$  — соответственно пространственные и временные интервалы наблюдения;

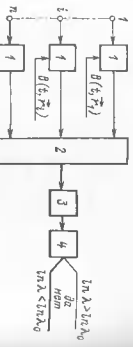


Рис. 2.13. Структура оптимального обнаружителя для известного  
1 – умножитель; 2 – сумматор; 3 – интегратор; 4 – пороговое

устройство

– выражение (2.134) представляется в виде

$$\int_{\tilde{T}}^T R_N(t_1, t_2; \tilde{\pi}_1, \tilde{\pi}_2) b(t_2, \tilde{\pi}_2) dt_2 d\tilde{\pi}_2 = s(t, \tilde{\pi}), \quad (2.135)$$

где  $s(t, \tilde{\pi})$  – функция, определяющая поле сигнала.

Тогда алгоритм оптимальной обработки определяется соотношением

$$u_{\max} = \int_{\tilde{T}}^T b(t, \tilde{\pi}) u_{\max}(t, \tilde{\pi}) dt d\tilde{\pi}, \quad (2.136)$$

где  $b(t, \tilde{\pi})$  определяет структуру оптимального обнаружения и является решением интегрального уравнения (2.135).

Первым решением уравнения (2.135) может служить односигнальная оптимальная структура обнаружения для тюю известного сигнала [42], когда для дискретной антенны уравнение представляют в виде системы интегральных уравнений для малых непересекающихся областей:

$$\begin{aligned} u_{\max} &= \sum_{i=1}^N \int_{\tilde{T}_i}^T u_i(\tilde{\pi}_i) + T R_N(t_1, t_2; \tilde{\pi}_1, \tilde{\pi}_2) B(t_2, \tilde{\pi}_2) dt_2 = s(t, \tilde{\pi}_i). \end{aligned}$$

Из этой системы определяется структура оптимального обнаружителя  $B(t_1, t_2; \tilde{\pi}_i)$  и соответственно оптимальный алгоритм обработки:

$$u_{\max} = \sum_{i=1}^N \int_{\tilde{T}_i}^T u_i(\tilde{\pi}_i) + T B(t, \tilde{\pi}_i) dt. \quad (2.137)$$

Структура оптимального обнаружителя, определенная этим выражением, представлена на рис. 2.13. Линейность операций суммирования и интегрирования позволяет в этой структуре осуществлять их в любой последовательности. Физической основой пространственной обработки

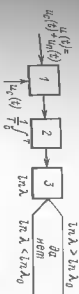


Рис. 2.14 Структура коррелиционного приемника.  
1 – умножитель; 2 – сумматор; 3 – интегратор; 4 – пороговое устройство

аналогических полей является конкретное суммирование (с учетом фазы и амплитуды) сигнала с заданным направлением всеми элементами АА и прецессивного синтезирования некоррелированных или слабо коррелированных помех от элементов к элементу АА.

При пространственной обработке (ПО) понимают действия по получению оптимальной выборки в пространстве поля сигналов/помех и дискретно-фазовые преобразования сигналов с целью представления информации в виде, удобном для принятия решения. В результате ПО выделяется процесс, характеризующий поле receivedного сигнала.

При временной обработке (ВО) понимают совокупность преобразований входного процесса с целью максимального отыскания сигнал/помех по заданному параметру.

Если склады временные корреляционные функции помех и сигнала,

то ВО называется (при этом сохраняется эффективность временного усреднения после испытательного элемента) и основным инструментом решения задач является ПО. При построении трехтактных ГАС, как правило, ориентируются на некоторые виды определения корреляционных свойств сигнала и помех, поэтому при их оценке имеет смыслность выделение сигнала при отсутствии ПО. Тогда из выражения (2.137) получаем для процедуры однократной ВО выражение (2.139) – решение интегрального уравнения

$$u_{\max} = \int_{\tilde{T}}^T u_{\max}(t) B(t) dt, \quad (2.138)$$

$\int_{\tilde{T}}^T R_N(t_1, t_2) B(t) dt = s(t).$

Последним выражением ПО является формирование ДН и управление ею.

В практическом случае ПО является формирование ДН и управление ею. Практически реализуется в виде устройства корреляции, фильтрации (спектрального анализа), усреднения (интегрирования). Так, в оптимальном обнаружителе тюю известного сигнала функция  $B(t)$  в выражении (2.138) является коньюгатом сигнала  $s(t)$  и структура обнаружителя предполагает собой корреляционный приемник, показанный на рис. 2.14. Такой приемник вычисляет взаимную корреляционную функцию между принимаемым процессом и коньюгатом сигнала. Эту функцию можно

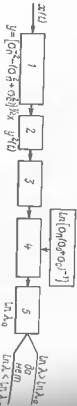


Рис. 2.15. Структура оптимального обнаружителя циркулярного сигнала на фоне гауссовой помехи  
1 — линейно-преобразующее устройство; 2 — квадратор; 3 — интегратор; 4 — линейно-измерительный блок; 5 — пороговое устройство

получить также при помощи согласованного фильтра, рассмотренного в следующем параграфе.

Структура оптимального одноканального гидроакустического устройства при обнаружении гауссово-стационарного шумового сигнала на фоне стационарной гауссовой помехи (см. выше) принципиально отличается параметрами плотности распределения вероятностей процессов на входе тракта обработки и видом критерия принятия решения. В этом случае алгоритм вынесения суждения о присутствии сигнала определяется структурой оптимального обнаружителя в составе линейно-изображающего устройства, подключенного к сумматору, формирующему пороговую оценку пропорционально амплитуде обнаруженного представления на рис. 2.15. Эта структура видоизменяется при приеме слабых сигналов, что имеет место на практике в большинстве случаев путем изменения функций, выполняемых линейно-преба-зующими устройствами.

#### § 2.4. Оптимальная фильтрация гидроакустических сигналов

Формулировка задачи фильтрации слу́жебных функций состоит в том, что требуется произвести оценку сигнальной функции  $\hat{s}(t)$  по наблюдаемой функции  $s(t)$ , статистически связанных с  $\hat{s}(t)$ . Её наиболее разработанной является теория линейной фильтрации, которая часто называется винкроской или интегральной, поскольку здесь оптимальный фильтр представляется в виде интегрального оператора, в исходной задаче сводится к решению интегрального уравнения Винкера-Хопфа:

$$K_{s\hat{s}}(t, \tau) = \int_{\tau}^t h_0(t, u) K_{s\hat{s}}(u, \tau) du, \quad \eta < \tau < t, \quad (2.14)$$

где  $K_{s\hat{s}}(t, \tau) = \delta(s(t), \tau) - \delta(\hat{s}(t), \tau)$  — единичная ковариационная функция между прямым и выделенным сигналом;  $K_{s\hat{s}}(u, \tau) = \delta(s(u), \tau) - \delta(\hat{s}(u), \tau)$  — ковариационная функция прямого сигнала;  $h_0(t, \tau)$  — импульсная характеристика оптимального фильтра.



Рис. 2.16. Оптимальный линейный фильтр во временной области с нелинейной характеристикой  $h_0(t, \tau)$  или в пространственной области Компенсированной логарифмической функции

Линейный фильтр разработан в отдельных случаях в отсутствии этих

участков в структуре Калмановского подхода лежит структурная модель случайного процесса (полюса), как видим линейной динамической системы, возбужденной белым шумом. Оптимальный фильтр представляется в виде системы подрессоренного управляемого, управляемой наибольшим процессом. Применительно к этому следует заметить, что если даже управление не решено, то для аналитической, как всегда можно решить при помощи аналоговых или цифровых методов.

В качестве простого примера можно привести RC-фильтр и это можно сделать, предполагая на рис. 2.17, где в качестве первичной состояния  $s(t) = s(0) + v(t)$  получает напряжение на конденсаторе, являющееся оценкой выходного сигнала  $\hat{s}(t)$  в соответствии с уравнением  $(R/C)(s(t) + v(t)) = \hat{s}(t)$ , а начальное условие  $s(0)$  выступает в качестве смеси на выходе интегратора.

В дальнейшем ограничимся рассмотрением задачи линейной фильтрации, предполагая аддитивное взаимодействие сигнала с шумом, т. е.  $s(t) = s(t) + v(t)$ .

Оптимальная фильтрация по критерию минимума среднеквадратичной ошибки (СКО) заключается в определении системы, которая из полезной смеси с минимальной СКО выделяет полезный сигнал,

причём говоря, система, минимизирующая величину

$$\epsilon^2 = M[\hat{s}(t) - s(t + \tau)]^2. \quad (2.14-1)$$

Введение в это выражение временного сдвига  $\tau$  означает, что при  $\tau > 0$  оценка  $\hat{s}(t)$  на выходе системы должна предсказывать значение входного сигнала на время  $\tau$  вперед, при  $\tau = 0$  задача сводится к выделению

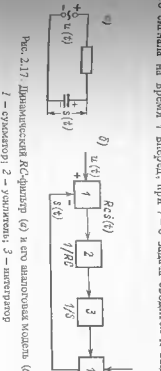


Рис. 2.17. Динамическая RC-фильтр ( $a$ ) и его аналоговая модель ( $b$ )

(стремлением) сигнал  $s(t)$  из колебания  $m(t)$ . В этом случае импульсная характеристика фильтра должна удовлетворять уравнению Бюнера-Хофда.

Практические методы решения, уловившие главным образом, правило физической реализуемости откликающегося фильтра, приведены в [14]. В частном, но весьма важном с практической точки зрения случае однородной линейной спектральной плотности  $S_4(\omega)$ , входного процесса  $s(t)$  из (2.14-9) можно получить следующее выражение для передаточной функции  $H_0(f \omega)$  [27]:

$$H_0(f \omega) = \frac{1}{2\pi F(f \omega)} \int_0^{\infty} e^{-j\omega t} dt \int_0^{\infty} \frac{S_{44}(\Omega)}{F(f \Omega)} d\Omega \delta(\omega + \Delta \omega). \quad (2.14-12)$$

Здесь

$$F(f \omega) F^*(f \omega) = |F(f \omega)|^2 = S_4(\omega);$$

$$\left. \begin{aligned} S_{44}(\omega) &= \int_{-\infty}^{\infty} K_4(\tau) e^{-j\omega\tau} d\tau; \\ S_{34}(\omega) &= \int_{-\infty}^{\infty} K_3(\tau) e^{-j\omega\tau} d\tau. \end{aligned} \right\} \quad (2.14-13)$$

При этом минимальная СКО фильтрации равна

$$\epsilon_{min}^2 = \frac{1}{2\pi} \int_{-\infty}^{\infty} [S_3(\omega) - |H_0(f \omega)|^2 S_{44}(\omega)] d\omega, \quad (2.14-14)$$

где

$$S_3(\omega) = \int_{-\infty}^{\omega} K_3(\tau) e^{-j\omega\tau} d\tau.$$

Важным практическим вопросом в гидроакустике является сплошное аддитивное взаимодействие стационарных случайного процесса  $s(t)$  и белого шума  $n(t)$  с функцией ковариации  $K_4(t) = 0.5 M[\delta(t)]^2$  поскольку для всех радионавигационных стоксов можно подобрать реализуемый дизайнерский фильтр с постоянными во времени параметрами, выход которого является блоком процессов (выбрасывающий фильтр), когда на выходе действует  $c(t)$  и обратным контролю является также реализаций гипотетический фильтр [18]. В этом случае решение оказывается тригонометрическим. Если же „умножается“ помеха, а сигнал представляется собой стационарной случайной процесс, то выражение (2.14-2) упрощается следующим образом [21]:

$$H_0(f \omega) = 1 - 0.5 N_0 [S_s(\omega) + 0.5 N_0]^{-1}, \quad (2.14-15)$$

где индекс „s“ у выражения в квадратных скобках означает, что при его разложении на простые дроби должны быть оставлены только те из них,

которые соответствуют полосам, расположенным в верхней полуточке. Минимальная СКО для рассматриваемого случая может быть определена по формуле [18]:

$$\epsilon_{min}^2 = 1/2 N_0 \int_{-\infty}^{\infty} (1 + 2 S_s(\omega)/N_0) d\omega / 2\pi. \quad (2.14-16)$$

Поскольку практические вычисления по формуле (2.14-2) оказываются довольно громоздкими, имеет смысл иногда не выкладывать на отдельный фильтр требования физической реализуемости, а поместить в фильтр (2.14-10) номинальный предел равных  $\omega$ . Тогда решение этого уравнения приводит к выражению для передаточной функции физически управляемого оптимального фильтра в виде

$$H_0(f \omega) = \frac{S_{34}(\omega)}{S_4(\omega)} \exp(-j\omega\tau), \quad (2.14-17)$$

и минимальная СКО в этом случае вычисляется по формуле (2.14-6). В частном случае статистически гезависимых сигналов  $s(t)$  и шума  $n(t)$ , имеющих нулевые средние значения, формула (2.14-7) имеет вид

$$H_0(f \omega) = \frac{S_3(\omega) + S_{3n}(\omega)}{S_4(\omega) + S_{4n}(\omega)} e^{j\omega\tau} \quad (2.14-18)$$

Угол формулы (2.14-7) и (2.14-8) соответствует направлению фильтра  $n(t)$ , они годны для практических случаев, так как позволяют оценить приемлемую точность реализуемых оптимальных фильтров.

Оптимальная интегральная фильтрация по критерию максимума отношения сигнала/помехи состоит в определении устройства, максимизирующего это соотношение в выходе фильтра:

$$K_3^2 = \frac{|\max(s(t))|^2}{2N}, \quad (2.14-19)$$

где  $K_3^2$  — отношение сигнала/помехи по мощности на выходе фильтра;  $s(t)$  — значение комплексной отыскивающей сигнальной составляющей на выходе фильтра;  $N$  — средняя мощность помехи.

Рассмотрим содержание выходных из (2.14-9) членов, исходя для них общего отыскания сигнала/помехи на выходе фильтра в момент  $t = T_s$ :

$$K_3^2 = \left| \frac{1}{2\pi} \int_{-T_s}^{T_s} H_0(f \omega) S_3(f \omega) e^{j\omega T_s} d\omega \right|^2 \times \left[ \frac{1}{\pi} \int_{-\infty}^{\infty} S_{3n}(\omega) |H(f \omega)|^2 d\omega \right]^{-1} \quad (2.150)$$

Максимизация по критерию максимума отношения сигнала/помехи является

% линейный фильтр, максимизирующий отношение (2.150). Передача на фильтр такого фильтра равна [21, 89]:

$$H_0(j\omega) = k S_j^*(j\omega) |S_n(\omega)| \exp(-j\omega T_s), \quad (2.151)$$

где  $k$  – некоторая постоянная;  $S_j^*(j\omega)$  – функция, комплексно-сопряженная со спектром  $S_j(j\omega)$  выходного сигнала  $s(t)$ ;  $|S_n(\omega)|$  – спектральная плотность помехи.

Оптимальный фильтр, коэффициент передачи которого определяется выражением (2.151), является фильтром, согласованным с комплекской отрицательной прямой синуса. Это согласование следует понимать следующим образом:

– амплитудно-частотная характеристика согласованного фильтра

должна быть пропорциональна отношению амплитудного спектра  $S(j\omega)$  к спектральной плотности помехи  $S_n(\omega)$  на каждой частоте, т. е. модуль амплитудно-частотной характеристики оптимального фильтра с точностью до постоянной  $k$  должен быть равен

$$|H(j\omega)| = |S(j\omega)| |S_n(\omega)|^{-1}; \quad (2.152)$$

– фазовый сдвиг оптимального фильтра на каждой частоте компенсирует начальную фазу элемента сжидкого сигнала на этой частоте. Кроме того, входит свидетельство о том, что частоты эквивалентных задержек на время  $T_s$ , т. е. фазовая характеристика такого фильтра должна определяться выражением

$$\varphi(\omega) = -[\varphi_2(\omega) + \omega T_s], \quad (2.153)$$

где  $\varphi_2(\omega)$  – фазовый спектр сигнала.

Максимальная величина выходного отношения сигнала/помеха для согласованного фильтра определяется как

$$K_s^2 \leq \frac{1}{4\pi} \int_{-\infty}^{\infty} |S_s(j\omega)|^2 |S_n(\omega)|^{-1} d\omega. \quad (2.154)$$

Если помеха представляет собой стационарный нормальный белый шум с энергетическим спектром  $S_n(\omega) = N_0/2$ , то формула (2.154) применима для всех

$$H_0(j\omega) = k S^*(j\omega) \exp[-j\omega T_s], \quad (2.155)$$

а максимальное значение отношения сигнала/помеха в этом случае получается равным

$$K_s^2 = \frac{1}{2\pi N_0} \int_{-\infty}^{\infty} |S(j\omega)|^2 d\omega. \quad (2.156)$$

Согласно теореме Парсеваля выражение

представляет собой экспоненциально приращаемого сигнала и с учетом этого равенство (2.156) можно представить в виде

$$K_s^2 = \frac{P_f T_s \Delta f_s}{N_0 \Delta f_s}, \quad (2.157)$$

где  $P_f$  – мощность сигнала на выходе;  $T$  – длительность сигнала;  $\Delta f_s$  – полоса пропускания фильтра.

Поскольку  $N_0 \Delta f_s$  – есть мощность помехи в полосе  $\Delta f_s$  на входе фильтра, то выражение (2.157) можно переписать в виде

$$K_{\max} = (P_f / P_n)_\text{рак} \Delta f_s T_s, \quad (2.158)$$

где  $(P_f / P_n)_\text{рак}$  – значение  $H_0(j\omega)$  из равенства (2.152). Тогда

$$k_s(j\omega) = K_s(T_s - t), \quad (2.160)$$

где  $k$  – некоторая постоянная величина, имеющая смысл коэффициента усиления.

На рис. 2.19, а изображена форма напряжения на выходе согласованного фильтра по мощности на выходе согласованного фильтра в  $\Delta f_s$  раз превышает значение этого отношения на выходе фильтра.

Неподдельскую спектральную функцию можно определить из выражения

$$k_s(t) = (1/2\pi) \int_{-\infty}^{\infty} H_0(j\omega) e^{j\omega t} d\omega, \quad (2.159)$$

откуда видно, что максимальное возможное значение отношения сигнала/помехи на выходе согласованного фильтра в  $\Delta f_s$  раз превышает значение этого отношения на выходе фильтра.

Неподдельскую спектральную функцию можно определить из выражения

$$k_s(t) = K_s(T_s - t), \quad (2.160)$$

где  $K_s$  – некоторая постоянная величина, имеющая смысл коэффициента

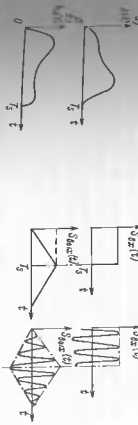


Рис. 2.19. Напряжение на выходе согласованного фильтра для видимой полосы (а) и радиолупы (б).

18. Комплексная форма результирующей спектральной функции фильтра:  $a$  – спектральный сигнал,  $b$  – спектральная помеха.

Из выражения (2.160) видно, что комплексная импульсная реакция оптимального фильтра, согласованного с приемником, сигналом, представляющей собой зеркальное отображение комплексной отбрасыванием, приобретает вид  $\tau_3$ , на рис. 2.18. На рис. 2.19 приведены графики напряжения на выходе согласованных фильтров для прямого сигнала и видео- и радиодиапазонов, откуда видно, что максимумы сигнала на выходе фильтра имеют место при  $\tau = T_3$  ( $T_3$  – длительность сигнала). Физическая реализуемость согласованного фильтра определяется по временному либо частотному критерию. Первый требует выполнения условия  $f_0(\tau) = 0$  при  $\tau < 0$  а также, чтобы при  $\tau \rightarrow \infty$  фильтр  $h_0(\tau)$  стремился к нулю. Частотный критерий (критерий Гильберта [88]) указывает на необходимость и достаточность выполнения условия

$$\int_{-\infty}^{\infty} \frac{|\ln H_0(\omega)|}{1 + \omega^2} d\omega < \infty$$

Для выполнения критерия Гильберта амплитудно-частотная характеристика фильтра должна быть интегрируемой в квадрате, т. е.

$$\int_{-\infty}^{\infty} |H_0(\omega)|^2 d\omega < \infty. \quad (2.161)$$

В практических акустических задачах приема сигналов часто вместо оптических (коаксиальных) применяются квазиоптические (субаппаратные) фильтры, когда при данной форме частотной характеристики максимального усиления сигнал/шум находят подбором ширины полосы пропускания фильтра. Известно, что при прохождении оптического радиопомехи через с прямого излучения оптической полосовой фильтр с полосой пропускания  $\Delta f$  в форме полумягкого типа „долгоигра“ максимальную отдачу получают на выходе фильтра полосового фильтра при  $\Delta f = 1.3/T_3$  ( $T_3$  – длительность импульса).

Практика приема акустических сигналов показывает, что в случае, когда фазовая характеристика фильтра не является существенной ролью вполне допустимым ограничением квазиоптической фильтрпринципа. Переходная функция фильтра, максимальную отдачу которой получают на выходе фильтра на высоких обобщенных приемниках тракта, как показано в [24], имеет вид

$$|H(f)| = k \sqrt{S_s(f)/S_n(f)}, \quad (2.162)$$

где  $S_s(f)$  и  $S_n(f)$  – соответственно спектральная плотность сигнала и помехи на входе приемника.

Выражение (2.162) определяет модуль коэффициента передачи оптимального фильтра, так как фильтр в инструкции литературы признается фильтром Эккера [41]. Однако этот фильтр принципиально отличается от фильтров Эккера [41] и Гильберта [88], поскольку условие (2.161) для ко-

нечисленности (интеграл рас-  
считывается) не выполняется. Применять выражение (2.162) в виде

$$h(t) = [\sqrt{S_n(t)}]^{-1} \times$$

$$\langle \sqrt{S_s(t)} |\sqrt{S_n(t)} \rangle^{-1}, \quad (2.163)$$

оптимальный фильтр приводится в виде постсовет-  
републиканского соединения „зарыбка“ –  
„зарыбка“ спектр полосы фильтра  
и фильтра, частотная харак-  
теристика которого совпадает с

спектром преобразованного спектра сигнала [20], поскольку

$$s_s(f) H^2(f) = S_s(f)/S_n(f).$$

$$(2.164)$$

Чтобы спектра мощности сигнала и помехи совпадают, то оптимальный фильтр и обратимый „зарыбка“ фильтр практически со-  
впадают, как это следует из (2.163). Оптимальный фильтр тем  
более, чем больше различаются спектры мощности сигнала и помехи.

Оптимальный фильтр с частотной характеристикой вида (2.149) или (2.152)ает максимальное отношение спектра мощности сигнала к помехам. Форма которого является корреляционной функцией входного сигнала, форма которого является корреляционной функцией входного сигнала, т. е. оптимальный фильтр эквивалентен коррелатору, представ-  
ленному на рис. 2.14. Задав в соответствии с выражением

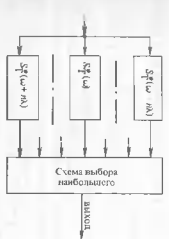
$$s_{\text{вых}}(t) = \int_0^T s(t-t_1) s(t) dt + \int_0^T n(t) s(t) dt. \quad (2.165)$$

приходится интегрирование за конечное время, формирующее на выходе коррелатора кратковременное конечное значение функции корреляции сигнала при  $t = t_3$ . Однако в случае подвижных цепей коррелатора, использующие гетеродинные сигналы, должна строиться с учетом равновесного сдвига фаз постоянных спектров зондирующего сигнала на величину  $\Delta\omega$  обусловленного эффектом Доплера. Если спектр зондирующего сигнала есть  $S_s(\omega)$ , то спектр отраженного сигнала можно представить в виде

$$S_{\text{вых}}(\omega) = A S^2(\omega - \Omega_d) \exp[-i(\omega \tau_3 - \theta)], \quad (2.166)$$

где  $\tau_3 = \tau_3 - \theta$  – время запаздывания;  $A$  и  $\theta$  – стационарные амплитуда и начальная фаза.

Частотная характеристика приемника, выполняющего оптимальный прием звуковых сигналов, должна иметь вид



$$H(\omega) = A_0 \exp[-i\theta] S_0^*(\omega - \Omega_{\text{ex}}) \exp[-i\omega(r_s - r_0)] \quad (2.167)$$

или

$$H(\omega) = a' S_0^*(\omega - \Omega_{\text{ex}}) \exp[-i\omega r'] \quad (2.168)$$

где  $a'$  и  $r'$  — новые произвольные постоянные.

Поскольку доплеровское смещение, определяемое радиальной скоростью движения цели, заранее неизвестно, приемная система состоит из набора согласованных фильтров, как показано на рис. 2.20.

Согласованные фильтры сдвигаются по частоте на величину, кратную полуperiоду  $\Omega_{\text{ex}} \approx 2\pi T^{-1}$ , и передают чисто фазовый сигнал выбирается равным произведению полного материала доплеровских частот на длительность сигнала. В случае постоянства радиальной скорости цели эксп-сигнал на выходе гидроакустического приемника можно представить в виде

$$x_R(t) = S_T(a - 2r_0/c), \quad (2.168)$$

где  $a$  — масштабный коэффициент;  $a = 1 - \delta$ ;  $\delta$  — показатель длины радиального сканера (расширения);  $r_0 = 2r_p/c$ ;  $2r_p/c$  — начальная дальность, соответствующая дальности до цели в момент  $t = r_0/c$ .

При восстановлении на входе приемной гидроакустической системы сигнала, оцифрованного выражением (2.168), к антенному селектору шума доплеровской линии сканера оказывает влияние на ВХО и разрешающую способность согласованных фильтров.

### § 2.5. Помехоустойчивость приемных трактов ГАС

Схемы обнаружителей по своей структуре являются некоторым приближением к неравнозначным структурам КН, называемым субоптимальными. Неравнозначность оптимальных структур определяет трудность удовлетворения одних структурных требований одновременно по решению задачам, видам сигналов и помех. Так же невозможно построение с помощью радиокомпьютеров этого методом моделей, соответствующих математическим условиям оптимальных схем.

Обобщенный приемный тракт обнаружения с пороговым устройством называют типовым трактом обнаружения (ТТО), который включает приемник (фильтр высоких частот), блокираторный квадратурный детектор, интеграторное устройство (фильтр низких частот) и пороговое устройство, как показано на рис. 2.21.

Задачей любого тракта обнаружения является, помимо представления полной сигнала и помех в виде, удобном для принятия решения, преобразование смеси сигналов и помех таким образом, чтобы эпизодическое отношение сигнал/помеха на входе решалющего звена (порогового

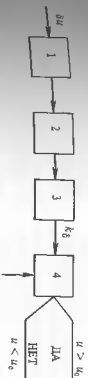


Рис. 2.21. Структура типового тракта обнаружения:  
1 — помеховой фильтр; 2 — детектор; 3 — интегратор; 4 — пороговое устройство

устройства) обеспечено при минимальном отношении сигнал/помеха на входе тракта (коэффициенте распознавания), поэтому качество приема характеризуется отношением этих коэффициентов

$$2 = K_{\text{S}}/\delta, \quad (2.169)$$

которое называют коэффициентом помехоустойчивости обнаружителя.

ВХО конкретного тракта обработки сигнала обычно строят исходя из формулы (2.17), (2.27), (2.28), подставляя в них величину  $K_S$  в виде амплитудного выражения, связывающего величину  $\delta$  (отношение сигнала/помехи) и параметры тракта обработки. Такие кривые называют линиями характеристики тракта обработки.

Например, в случае приема шумового сигнала в достаточно большом количестве общее выражение для ВХО определяется следующим образом [24]:

$$P_{\text{in},u} = F \left\{ \frac{\delta^2 \sqrt{T}}{\sqrt{1+2\delta^2} \sqrt{\tau_{\text{Kd}}/\tau_{\text{K0}}}} - \frac{\arcsin F(1-P_{\text{in},u})}{\sqrt{1+2\delta^2} \sqrt{\tau_{\text{Kd}}/\tau_{\text{K0}}}} \right\} \quad (2.170)$$

где  $F(1 - P_{\text{in},u})$  есть функция, обратная функции  $F(1 - P_{\text{in},u})$ ;  $\tau_{\text{Kd}}$  — выходное время корреляции высокочастотных флюктуаций пропускаемого сигнала;  $\tau_{\text{K0}}$  — время действия детектора при наилучшей отсутствии помехенного сигнала соответственно.

Применительно к конкретным частям случаю построения приемных трактов формула (2.169) несколько видоизменяется [36]:

$$k_{\text{S}} = F \left\{ \frac{\delta^2 \Delta T}{\sqrt{1+2\delta^2}} - \frac{1}{\sqrt{1+2\delta^2}} \arcsin F(1 - P_{\text{in},u}) \right\}. \quad (2.170)$$

Похожую в этом случае можно полагать  $\tau_{\text{Kd}}/\tau_{\text{K0}} = 1/2\Delta f$ ;  $\tau_{\text{Kd}}/\tau_{\text{K0}} = \Delta f$  — полоса пропускания фильтра.

Широкополосной фильтр высоких частоты с частотной характеристикой в форме приложенной к выражению

$$P_{n,o} = F \left[ \frac{\sqrt{2}\delta^2 \sqrt{\Delta f T}}{\sqrt{1+2\sqrt{2}\delta^2}} - \frac{\arcsin F(1-P_{n,z})}{\sqrt{1+2\sqrt{2}\delta^2}} \right], \quad (2.171)$$

ПОКОЛКУ в этом случае можно положить

$$\tau_{k_0} = \frac{1+2\sqrt{2}\delta^2}{2\sqrt{T}(1+2\delta^2\Delta f)}; \quad \tau_{k_0} = \frac{1}{2\sqrt{T}\Delta f},$$

— фильтр высокой частоты с частотной характеристикой в виде разомкнутой кривой отклика колебательного контура приводят к выражению

$$P_{n,o} = F \left[ \frac{\sqrt{2}\delta^2 \sqrt{\Delta f T}}{1+4\delta^2} - \frac{\arcsin F(1-P_{n,z})}{\sqrt{1+4\delta^2}} \right] \quad (2.172)$$

поскольку в этом случае можно положить

$$\tau_{k_0} = \frac{1}{4\Delta f}; \quad \tau_{k_0} = \frac{1+4\delta^2}{1+2\delta^2}.$$

Уравнения (2.170) ... (2.172) позволяют вычислить пороговое значение заходного отклонения сигнала помехи, при котором обеспечивается заданная  $P_{n,o}$  при единичном  $P_{n,z}$ .

При обнаружении модулированного сигнала вида  $u(t) = A(t) \cos \omega_0 t$  аналитическое выражение для ВХО имеет вид

$$\tau_{k_0} = F \left[ \frac{\delta \sqrt{T}}{\sqrt{2}\sqrt{1+2\delta^2\tau_{k_0}}} - \frac{\sqrt{\tau_{k_0}}}{\sqrt{1+2\delta^2}} \frac{\arcsin F(1-P_{n,z})}{\sqrt{\Delta f T}} \right], \quad (2.173)$$

которое аналогично выражению (2.170) с той лишь разницей, что в нем вместо величины  $\delta$  — усредненная величина  $\delta$ , а вместо величины  $\tau_{k_0}$  и  $\tau_{k_1}$  — усредненные величины  $\tau_{k_0}$  и  $\tau_{k_1}$ :

$$\bar{\tau}_{k_0} = \int_0^T r_{s,k_0}(\tau) d\tau; \quad \bar{\tau}_{k_1} = \int_0^T r_{s,k_1}(\tau) d\tau.$$

ВХО тракта при приеме шумового сигнала формирующего на выходе прецессора нормальный стационарный процесс с нулевым математическим ожиданием и дисперсией  $\sigma_s^2 = \sigma_d^2 + \sigma_n^2$  имеет вид [43]:

$$P_{n,o} = F \left\{ \frac{\delta^2 Q}{1+\delta^2} - \frac{1}{1+\delta^2} \arcsin F(1-P_{n,z}) \right\}, \quad (2.174)$$

где  $Q$  — величина выпуклости, вычисляемая по формуле, относящейся к конкретным структурам трактова. В общем случае

Прием с использованием также на практике приближенные формулы оценки избыточности тракта обработки [60]:

$$\text{а) } \delta = \frac{\sqrt{\tau_{k_0}}}{\sqrt{\Delta f T}}; \quad \Delta f T \gg 1; \quad \text{б) } \frac{\sqrt{2\tau_{k_0}}}{\sqrt{\Delta f T}} = \delta, \quad \Delta f T \approx 1, \quad (2.176)$$

что соответствует случаю ширмопеленгования (а) и гидроакустики (б).

## Примеры к главе 2

**Пример 2.1.** Построить ФН прямоугольного импульса единичной амплитуды  $T_1$  а также схемы ФН ширикоставами  $\omega_d$ ;  $\tau = 0$ . Решение. Аналитическая временная функция импульса длительностью  $T_1$  с заполнением  $\omega_d$  можно представить в виде

$$s(t) = \begin{cases} \frac{1}{\sqrt{T}} e^{j\omega_d t} & \text{при } |t| < \frac{1}{2} T, \\ 0 & \text{при } |t| > \frac{1}{2} T. \end{cases}$$

Найдем частотно-временную корреляционную функцию сигнала, используя выражение (2.85):

$$\Phi(\tau, \omega) = \int_{-\pi/2}^{\pi/2} s(t - \tau/2) s(t + \tau/2) e^{j\omega_d t} dt =$$

$$= s(-\dot{\omega}_d \tau) / j \omega_d T [e^{j\omega_d T} - e^{j\omega_d \tau/2}] e^{-j\omega_d \tau/2}, \quad |\tau| \leqslant T.$$

Заметим, что для ФН справедливо выражение

$$\Phi(\tau, \omega) = |\Phi(\tau, \omega)|^2 = \Phi(\tau, \omega) \hat{\Phi}(\tau, \omega),$$

где  $\hat{\Phi}(\tau, \omega)$  — обратная ФН в виде

$$\Phi(\tau, \omega) = e^{j\omega_d \tau} \frac{1}{T} \{ e^{j\omega_d T} - e^{j\omega_d \tau/2 - j\pi/2} - e^{j\omega_d \tau/2 - j\pi/2} \}.$$

$$\Phi(\tau, \omega_d) \Phi^*(\tau, \omega_d) = \left( \frac{2}{\omega_d T} \right)^2 \left\{ \sin \left[ \frac{\omega_d T}{2} \left( 1 - \frac{|\tau|}{T} \right) \right] \right\}^2$$

и для окончательно

$$\theta(\tau, \omega_d) = \begin{cases} \left( 1 - \frac{|\tau|}{T} \right) \frac{\sin \left[ \frac{\omega_d T}{2} \left( 1 - \frac{|\tau|}{T} \right) \right]}{\frac{\omega_d T}{2} \left( 1 - \frac{|\tau|}{T} \right)} & \text{если } |\tau| \leq T \\ 0 & \text{если } |\tau| > T \end{cases}$$

Для построения ДН запишем ее выражение при сечении плоскостью  $\omega_d = 0$  и  $\tau = 0$ :

$$|\Phi(\tau, 0)| = |1 - |\tau|/T|; \quad |\Phi(0, \omega_d)| = \left| \frac{\sin 0.5 \omega_d T}{0.5 \omega_d T} \right|$$

При  $|\tau| = T$  значение  $|\Phi(\tau, \omega_d)| = 0$ . На рис. 2.22 показана ДН прямогольного импульса в сечении плоскостью  $\omega_d = 0$  и  $\tau = 0$ . При этом любые цепи, попадающие внутрь эллипса, представляющего собой ДН, не могут быть разрешены.

Для нахождения уравнения кривой сечения тела неопределенности в области высокой корреляции необходимо выражение фи разложить в ряд Тейлора.

**Пример 2.2.** В гидролокаторе применяется простой прямогольный импульс длительностью 100 мс при несущей частоте 15 кГц. Построить сечение ФН плоскостью  $f_d = 0$  и  $\tau = 0$ , а также ДН на уровне  $k^2 = 0.25$ . Сравнить данное с применением в качестве сигнала импульса длительностью 30 мс при той же несущей частоте.

**Решение.** Как следует из примера 2.1, уравнение кривой сечения ФН плоскостью  $f_d = 0$  имеет вид  $|\Phi(\tau, 0)| = |1 - |\tau|/T|$ , а при  $\tau = 0$   $|\Phi(0, f_d)| = |\sin 2 \pi f_d T / f_d T|$ . На рис. 2.23 построены кривые (2.23) построены, исключая кривые для  $T = 100$  мс и  $T = 30$  мс при  $\delta = 15$  кГц.

Для сечения тела неопределенности на уровне  $k = 0.5$  из выражения (2.97) имеем с учетом примера 2.1

$$0.5 = \frac{1}{\pi f_d T} \sin \pi f_d T (T - |\tau|)$$

и учитывая, что при высоких уровнях фи, описанных этим выражением, оно представляет собой эллипсы, получим, отмечим, предполагая, что эллипсы не пересекаются с осьми  $f$  и  $\tau$ . Так, при  $\tau = 0$  будем

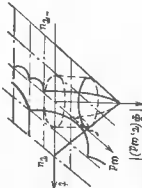


Рис. 2.22. ДН окончательного прямого импульса

Используя выражение (2.85), найдем частотно-временную корреляционную функцию сигнала

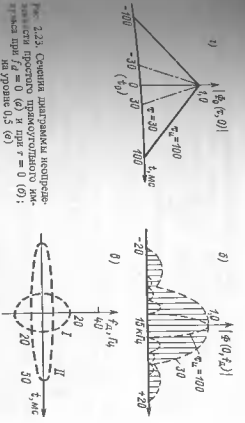
$$s(t) = \frac{1}{\sqrt{T}} \exp \left\{ i \left[ \omega_d t + \frac{\Delta \omega}{27} t^2 \right] \right\} \text{ при } |t| < 1/2T;$$

$$s(t) = 0 \text{ при } |t| > 1/2T.$$

Используя выражение (2.85), найдем частотно-временную корреляционную функцию сигнала

$$|\Phi(\tau, f_d)| = \frac{\sin (\pi (f_d \tau) + \Delta f \tau / T) (T - |\tau|)}{\pi T (f_d + \Delta f \tau / T)}, \quad |\tau| \leq T.$$

Анализ этого выражения показывает, что ДН на высоких уровнях корреляции представляют собой эллипсы, полученные в отрыве от некоторой прямолинейной импульса на концах к осм  $\tau$  и  $f$ , под некоторым углом, который можно определить из выражения  $\tan \alpha = T / 2\pi \Delta f$ .



В данном случае  $\alpha = 1/2$  астор  $T/\Delta\omega$  равен единице, поэтому при его существование показано лишь кривая на рис. 2.24.

Для оценки разрешения по  $\tau$  и  $f_A$

$$\text{имеем при } k = 0,5$$

$$0,5 = \left| \frac{\sin \pi(\Delta f/\tau) / T - 1}{\pi \Delta f/\tau / T} \right|,$$

$$\tau = 50 \text{ мс}, \Delta f = 10 \text{ Гц}$$

$$f_A = 1,835/\pi T \approx 6 \text{ Гц}.$$

В случае, если импульс не имеет частотной модуляции, т. е. в выражении для  $\Phi(\tau)$  величина  $\Delta\omega/2T = 0$ , модуль частотно-пространственной функции имеет такой же вид, как и для однократного импульса. При этом  $\tau = 100$  мс,  $f_A = 10$  Гц, как и следовало ожидать, полоса ГИЧИ-импульса по оси  $f_A$  меньше приближенно в  $\sqrt{7}/2$  раз.

**Пример 2.4.** Построить ДН на уровне  $k^2 = 1/e$  импульсного сигнала с копоколообразной спадкой,  $\Phi(\tau) = 1/f_A e^{-\pi\tau^2/(2f_A^2)} e^{j\omega_0\tau}$ , где  $T = 2$  мс,  $\omega_0 = 100$  рад/с,  $f_A = 10$  Гц. Решение. Используя выражение (2.85), получим

$$|\Phi(\tau, f_A)| = \exp \left[ -\pi \left( \frac{\tau^2}{4f_A^2} + T^2 f_A^2 \right) \right],$$

откуда видно, что проекция сечений тела неопределенности на плоскость  $\{\tau, f_A\}$  представляет собой эллипс с общим центром, главными осями которых совпадают с осями  $\tau$  и  $f_A$ . При этом для полуоси  $\tau$  при  $f_A = 0$  имеем  $|\Phi(\tau, 0)| = \exp(-\pi\tau^2/4f_A^2) = 0,67$ , откуда разрешение по оси времени  $\tau \approx 2\sqrt{\ln(1/k^2)} \approx 2\sqrt{-\ln(1/e)} \approx 2,7$  мс, при получении  $f_A = 0$  имеем  $|\Phi(0, f_A)| = \exp(-\pi f_A^2 T^2/4) = 0,507$ , откуда разрешение по оси частот  $f_A$   $\approx 1,7$  Гц. В результате для пологой погонки  $\tau = 0,87$  мс,  $f_A = 0,44$  Гц, т. е.  $\tau = 80$  мс,  $f_A = 4$  Гц. Интересно отметить, что для любого эллипса площадь подразделена на две части, так как, выражаем ее по формуле  $S_\alpha = \pi f_A \tau$ , имеем

$$S_\alpha = \pi 2T \sqrt{(-1/\pi) \ln 0,67} / T \sqrt{(-1/\pi) \ln 0,507} = \text{const.}$$

**Пример 2.5.** В ГИС используются коинтенообразные ГИЧИ-импульсы. Такие импульсы, если их длительность берется на уровне 0,46 наносекунд, имеют актигуды, описываемые выражением  $\Phi(\tau) = \exp[-(\pi/\tau^2)(1 + (\mu/\tau)^2)]$ , где  $\mu = \Delta f/T$  — промежуток времени между частотной девиацией на длительность импульса. Построить ДН для  $k^2 = 0,25$ .



Решение. Используя выражение (2.85), получим

$$|\Phi(\tau, f_A)| = \exp \left[ -\frac{\pi}{2} \left( \frac{1 + \mu^2}{\tau^2} \tau^2 + 2\pi f_A \tau + f_A^2 T^2 \right) \right].$$

При  $\tau = 50$  мс,  $\Delta f = 6$  Гц имеем  $\mu = 0,2$ . Для оценки разрешения по  $\tau$  и  $f_A$

имеем для  $\Delta f/T = 0$ , то случай соответствует сигналу с синусоидальным спектром, рассматриваемому в примере 2.4. ДН копоколообразного ГИЧИ-импульса подобна ДН ГИЧИ-импульса с прямоголовой спадкой, изображенной на рис. 2.25.

**Пример 2.6.** В ГИС используется ГИЧИ-сигнал с модулирующей функцией, имеющей крутизну  $k = 0,02$ . Оценить, какое разрешение по длине спектра может реализовать в этой ГИС при скорости  $v = 18$  км/с. Какой спектр можно получить круглому модулюющему фильтру, чтобы при скорости  $v = 12$  км/с обеспечить разрешение не менее  $300$  м?

**Решение.** В соответствии с выражением (2.104) в ИЧМ-сигнале за счет изменения мгновенной частоты, как проявленной фазы, имеет вид  $\Phi(\tau) = F(1 - k\tau)$ , а для ограниченного от ширины спектра этого вида  $\Phi(\tau) = f_A^2 / (1 - k\tau)$ , где  $a =$  максимальный коэффициент, определяющий временное сжатие  $|\Delta f_0| \approx 2v/a$ ,  $c =$  скорость света. Такому временному сжатию сигнала на выходе согласованного фильтра соответствует эквивалентное изменение дальности до цели на величину  $|\Delta D| = 1/2(c|\Delta f_0|) \approx v/k$ . Так как время необходимо для изменения дальности до цели на  $\Delta D$ , равно  $\Delta D/f_A = 1/f_A$  то можно подыскать выражение для  $\Delta D$ , равное  $\Delta D = 1/f_A$  то можно подыскать выражение для  $\Delta D$ , равное  $\Delta D = 1/f_A$ .

После отражения сигнала от цели, а не в момент отражения. Следовательно, имеем  $\Phi(\tau) = f_A^2 / (1 - k\tau)$ , где  $k = 0,02$ . Это говорит об эффекте, который способствует сжатию: извращение к эффективу Доплера достигается ценой ухудшения разрешения по дальности  $\nu$ , известно, что величина элемента разрешения по дальности равна  $\Delta D$ . Построим условные задачи, на которые

отвечают условия задачи, на которые отвечают условия задачи. Отметим, что из соотношения  $|\Delta D| = |\nu_r| / |\Delta D|$  легко определить величину подыскиваемой функции, обеспечивающей разрешение по дальности  $\Delta D$ . Это говорит об эффекте, который способствует сжатию: извращение к эффективу Доплера достигается ценой ухудшения разрешения по дальности  $\nu$ , известно, что величина элемента разрешения по дальности равна  $\Delta D$ . Построим условные задачи, на которые

**Пример 2.7.** Спектральная плотность помех широкоспектральной полосы выражена формулой  $S(f) = \eta f^n$ . Имеется энергетическая спектрограмма полюсных помех в двойном логарифмическом масштабе, как показано на рисунке 2.8. Вынести формулы для находившихся  $N_1$  и  $N_2$  по линии спектрограммы.

**Решение.** На основании формулы (2.11) можно записать

$$N_1 = 10 \lg a - 10 n \lg f_2 - 20 \lg \rho_0;$$

$$N_2 = 10 \lg a - 10 n \lg f_1 - 20 \lg \rho_0.$$

Вычитая из первого уравнения второе, получим

$$n = \frac{N_1 - N_2}{10 (\lg f_2 - \lg f_1)}$$

Кроме этого первое уравнение на  $\lg f_1$ , а второе на  $\lg f_2$ . Тогда, вычитая из первого уравнения второе, имеем

$$N_1 \lg f_2 - N_2 \lg f_1 = 10 \lg a (\lg f_2 - \lg f_1) - 20 \lg \rho_0 (\lg f_2 - \lg f_1),$$

$$\text{или } \lg a = \frac{N_1 \lg f_2 - N_2 \lg f_1 + 20 \lg \rho_0 (\lg f_2 - \lg f_1)}{10 \lg f_2 - 10 \lg f_1}.$$

Как правило, в качестве этиотипного выбирают единичное значение  $\rho_0$ , например 1 Па, МкГа. Тогда в последнем выражении числитель упростится, а для нахождения  $a$  формула будет иметь вид

$$\lg a = \frac{N_1 \lg f_2 - N_2 \lg f_1}{10 \lg f_2 - 10 \lg f_1}$$

**Пример 2.8.** Определить, как изменяется уровень помех (в дБ) при изменении скорости корабля в два раза.

**Решение.** В соответствии с выражением (2.12б) имеем

$$20 \lg P_h (f_2, \Delta f, \tau_2) = 20 \lg P_h (1, 1, 1) + 10 \lg \Delta f - n \lg \rho_0 f_2$$

$$= 10 \lg \tau_2 + 60 (\lg \nu - \lg \nu_0),$$

откуда

$$20 \lg P_h (f_2, \Delta f, \tau_2) \Big|_{\nu=\nu_0} = 20 \lg P_h (f_2, \Delta f, \tau_2) \Big|_{\nu=\nu_0} = 60 \lg \nu / \nu_0 = 18 \text{ дБ.}$$

**Пример 2.9.** Интенсивность помех в полосе частот определяется выражением  $I_n (f_3, \Delta f, \tau_2) = [(\alpha \Delta f) / (f_3^2 \tau_2)]^{\nu}$ , где  $\alpha$  – некоторый размерный коэффициент. Вынести формулу для расчета интенсивности

(плотности) помех через стандартное значение  $I_h(1,1,1)$ ;  $P_h(1,1,1)$  и получит формулу ГАС. Поколебав под стандартным значением интенсивности по-разному. Поэтому, поскольку под стандартным значением интенсивности понимается их значение, имеющее некоторальное преимущество, то для стандартного значения интенсивности помех можно записать

$$J_h(1,1,1) = \frac{\alpha \Delta f}{f_3^2 \tau_2} \nu^{\frac{1}{2}}.$$

Но это – так сказать, равенство относительно  $\alpha$  и постоянна со значением в первоначальном выражении, получим

$$J_h(f_2, \Delta f, \tau_2) = J_h(1,1,1) \Delta f / \Delta f_0 (f_2/f_3)^{\nu/2} \sqrt{\nu_0/\nu} (\nu/\nu_0)^{\frac{1}{2}}$$

или в терминах акустического давления

$$p_h(f_2, \Delta f, \tau_2) = p_h(1,1,1) \sqrt{\Delta f / \Delta f_0} (f_2/f_3)^{\nu/2} \sqrt{\nu_0/\nu} (\nu/\nu_0)^{\frac{1}{2}},$$

где числовое подразумеваемое значение “0” не обязательно относится к стационарному значению  $f_2(1,1,1)$ ;  $p_h(1,1,1)$ , что очевидно, и могут выражаться фиксированные значения систем спаркторов, обладающей одинаковой условной измеримостью.

**Пример 2.10.** Старт помех, обусловленный волнением моря, аппроксимируется выражением  $N_h(f)$ . Пользуясь спектрограммой по рис. 2.9, найти величину  $a$  и  $n$  для помех, обусловленных волнением моря при двух баллах.

**Решение.** Как следует из спектрограммы, при  $f_0 = 1 \text{ кГц}$   $N_h = 67 \text{ дБ}$ ; при  $f_0 = 10 \text{ кГц}$   $N_h = 84 \text{ дБ}$ . Следовательно, используя формулу для величины  $n$ , получим  $n = (-67 + 84) / [10 (\lg \nu_0 - \lg 2)] = 17$ , т. е. приближенно  $n \approx 2$ .

Используя выражение для  $a$ , полученное в примере 2.7, при  $\rho_0 = 1 \text{ Па}$  имеем

$$\lg a = \frac{-67 \lg 10^4 + 84 \lg 10^3 + 10 \lg 1 (\lg 10^6 - \lg 10^2)}{10 \lg 10^4 - 10 \lg 10^2} = -16$$

Откуда величина  $a = 0,25 \cdot 10^{-16} \text{ Гц}^{1.2} \text{ Га}$ .

**Пример 2.11.** Вынести уравнение уровня теплового шума в дБ отдельно  $\rho_0 = 1 \text{ Га}$  (см. рис. 2.9).

**Решение.** Как следует из спектрограммы, при  $f_0 = 1 \text{ кГц}$   $N_h = 67 \text{ дБ}$ ; при  $f_0 = 10 \text{ кГц}$   $N_h = 84 \text{ дБ}$ . Следовательно, используя формулу для величины  $n$ , получим  $n = 17$ .

Из аналитической геометрии известно, что уравнение прямой, проходящей через две заданные точки  $(f_1, N_1); (f_2, N_2)$ , имеет вид

$$N_h - N_1 / N_2 = f - f_1 / f_2 - f_1.$$

Из спектрограммы следует, что  $N_1 = -114$  дБ,  $N_2 = -94$  дБ;  $f_{\text{д}} = 10^4 \text{ Гц}$ ,  $f_{\text{п}} = 10^5 \text{ Гц}$ , тогда

$$\frac{N+114}{-94+114} = \frac{f - 10^4}{10^5 - 10^4}$$

откуда

$$N_{\text{ЛД}} \mid p_{\text{д}} = 1 \text{ Па} \approx -114 + 3,33 \cdot 10^{-4} (f - 10^4).$$

**Пример 2.12.** Пользуясь спектрограммой, приведенной на рис. 2.9, определить величину  $\bar{p}_{\text{п}}(1,1,1)$  и  $\bar{p}_{\text{д}}(1,1,1)$ , соответствующие максимуму и минимуму уровня шума моря.

**Решение.** Используя спектрограмму на рис. 2.9, для максимального уровня имеем  $\bar{p}_{\text{п}}(1,1,1) = 1,0 \cdot 10^{-2}$  Па, а для минимального  $\bar{p}_{\text{д}}(1,1,1) = 2,0 \cdot 10^{-5}$  Па. В терминах интенсивности в соответствии с  $I = p^2 / \rho c$

$$\bar{J}_{\text{п}}'(1,1,1) = 6,7 \cdot 10^{-11} \text{ Вт/м}^2;$$

$$\bar{J}_{\text{д}}''(1,1,1) = 2,7 \cdot 10^{-16} \text{ Вт/м}^2.$$

В логарифмических единицах это будет соответственно  $N_{\text{п}}(1,1,1) \approx -40$  дБ и  $N_{\text{д}}(1,1,1) \approx -94$  дБ относительно длины  $\delta_0 = 1 \text{ м}$  и квадратной генерации  $I_0 = 6,7 \cdot 10^{-11} \text{ Вт/м}^2$ .

**Пример 2.13.** Известно, что в инфракрасовом диапазоне частот один из основных источников шума является шумом судоходства.

Оценить значение помех на частоте 40 Гц если прием велется в рабочей полосе частот 0,2 Гц.

**Решение.** В соответствии со спектрограммой на рис. 2.9 в полосе  $\Delta f = 1$  Гц на частоте 40 Гц значение помех, определяемых судоходством, составляет  $\sim 0,68 \cdot 10^{-2}$  Па или относительно уровня 1 Па это составляет  $\bar{p}_{\text{п}}(40, 1, 1) = -43,3$  дБ. В соответствии с выражением (2.1.18) видим, что некоторое значение помех также относится к несущей частоте 40 Гц, получаем

$$\bar{p}_{\text{п}}(40, 0, 2, 1) = 0,68 \cdot 10^{-2} \sqrt{0,2} = 0,3 \cdot 10^{-2} \text{ Па.}$$

**Пример 2.14.** Минимальный уровень помех на входе ГАС определяется шумами моря. В большинстве инженерных расчетов в качестве такого уровня принимают шум моря при состоянии поверхности 3 балла.

Найдите значение этого уровня помех.

**Решение.** В соответствии со спектрограммой на рис. 2.9  $\bar{p}_{\text{п}}(1,1,1) = 1,5 \cdot 10^{-3}$  Па (или  $0,015 \text{ дин/см}^2$  в системе СГС). Относительное 1 Па это составляет  $-56,5$  дБ. Относительное 1 дин/см<sup>2</sup> это составляет  $N_{\text{п}}(1,1,1) = -36,5$  дБ.

**Пример 2.15.** Пользуясь спектрограммой на рис. 2.11, определить  $N_{\text{п}}(1,1,1)$  и  $\bar{p}_{\text{п}}(1,1,1)$  для подводной лодки малой, средней и большой шумов. **Решение.** В соответствии с рис. 2.1 уровня помех в относительных единицах на частоте 1 кГц составляют  $-62$  дБ;  $-50$  дБ;  $-31$  дБ для подводных лодок малой, средней и большой шумности соответственно. Рассмотрим спектрограмму на рис. 2.10, для максимального уровня имеем  $\bar{p}_{\text{п}}(1,1,1) = 1 \text{ Па} [10 \cdot 3,16 \cdot 1,12]^{-1} = 2,8 \cdot 10^{-2}$  Па.

Интенсивность поля помех с учетом выражения (2.1.19) равна

$$\bar{J}_{\text{п}}(1,1,1) \approx 0,43 \cdot 10^{-12} \text{ Вт/м}^2;$$

$$\bar{J}_{\text{п}}''(1,1,1) \approx 6,7 \cdot 10^{-17} \text{ Вт/м}^2;$$

$$\bar{J}_{\text{п}}'''(1,1,1) \approx 5,2 \cdot 10^{-19} \text{ Вт/м}^2$$

**Пример 2.16.** Спектр поля помех корабля описывается функцией  $\bar{J}_{\text{п}} \sim \bar{J}_{\text{п}}(\omega) \sim \omega^{-2}$ . Рабочая частота ГАС, установленная на этом корабле, равна 20 кГц. Определить значение помех на рабочей частоте ГАС, если  $\bar{p}_{\text{п}}(1,1,1) = 0,01$  Па.

**Решение.** В соответствии с выражением (2.1.18)

$$\bar{p}_{\text{п}}(1,1,1) = 0,01 \text{ Па} \cdot 20^{-1} = 0,5 \cdot 10^{-3} \text{ Па.}$$

**Пример 2.17.** Спектр поля помех корабля описывается функцией  $\bar{J}_{\text{п}} \sim \bar{J}_{\text{п}}(\omega) \sim \omega^{-1}$  Гц. Установленная на корабле, имеет полосу пропускания, равную 400 Гц. Оценить значение помех в рабочей полосе ГП если  $\bar{p}_{\text{п}} = 20$  кГц.

**Решение.** Используя линии предыдущего примера, получим

$$\bar{p}_{\text{п}}(\bar{f}_1, \Delta f, \bar{f}_2) = 0,5 \cdot 10^{-3} \text{ Па} \cdot \sqrt{400} = 10^{-2} \text{ Па,}$$

где  $\bar{f}_1$  и  $\bar{f}_2$  – это частоты расширения полосы частот приемного тракта ГАС, резко уменьшающие помехостойкость.

**Пример 2.18.** Спектр помех, обусловленный шумами моря и шумом подводной лодки аппроксимируется выражением  $\bar{J}_{\text{п}} \sim \bar{J}_{\text{п}}(\omega)$ .

**Решение.** Как следует из рис. 2.10, величина  $\bar{J}_{\text{п}}$  для спектра помех в физическом масштабе, огибающие спектра являются параллельными

приманки). В соответствии с (2.112)  $f_1 = 1 \text{ кГц}$ ,  $N_1 = -30 \text{ дБ}$ ;  $f_2 = 10 \text{ кГц}$ ,  $N_2 = -63 \text{ дБ}$ .

$$n = \frac{-30 + 63}{10 \lg 10} = 3.3.$$

Аналогично для спектра помех, обусловленных шумами моря (крайне 4 и 5 на рис. 2.10),  $f_1 = 1 \text{ кГц}$ ,  $N_1 = -50 \text{ дБ}$ ,  $f_2 = 10 \text{ кГц}$ ,  $N_2 = -66.7 \text{ дБ}$  откуда  $n = 1.7$ .

Пример 2.19.

Спектр помех ШПС содержит дискретные составляющие, имеющие спектр по уравнению для каждого последующего повторения на б Гц. Первая гармоника имеет уровень  $-12 \text{ дБ}$  относительно  $P_{\text{вых}}$ . Оцените соотношение между уровнем помех, определяемых сплошной частотой в диапазоне от 5 Гц до 65 Гц и дискретной частотой, считая первую гармоническую частоту в 6 Гц.

*Решение.* В соответствии со спектрограммой на рис. 2.10 в полосе  $\Delta f = 1 \text{ Гц}$  на частоте 40 Гц давление помех, определяемое сплошной частотой, составляет  $-43.3 \text{ дБ}$  относительно 1 Па или это составляет  $0.588 \times 10^{-2} \text{ Па}$ . В соответствии же с формулой (2.118) и учитывая, что искомое значение помех относится к полосе  $\Delta f = 65 \text{ Гц} - 5 \text{ Гц} = 60 \text{ Гц}$ , имеем для общего уровня

$$P_{\text{вых}}(f_3, \Delta f, \gamma) = 0.68 \cdot 10^{-2} \sqrt{60} \approx 5.3 \cdot 10^{-2} \text{ Па.}$$

$$N_{\text{вых}}(f_3, \Delta f, \gamma) = -25.5 \text{ дБ.}$$

Исходя из условий задачи, определяем чисто гармоник, попадающих в заданную полосу частот:

$f_1$	1	2	3	4	5	6	7	8	9	10
$f_2$	6	12	18	24	30	36	42	48	54	60
$N_1, \text{дБ}$	-12	-18	-24	-30	-36	-42	-48	-54	-60	-66.7
$N_2, \text{дБ}$										

Интегральный уровень помех, определенный дискретным спектром, можно подсчитать, используя выражение  $P_{\text{вых}} = \sqrt{\sum_{i=1}^{10} P_i^2}$ .

Оценим, что сумма членов в квадратных скобках представляет собой сумму лесистой цепочки убывающей гометрической прогрессии, первая член равна  $P_1^2$ , а последний  $= P_{10}^2 \cdot q^{10-1}$ , приемлем заменить прогрессию равен  $q = 0.5^2$ .

Известно, что сумма  $n$  членов геометрической прогрессии равна

$$S_n = \frac{a_1 (q^n - 1)}{q - 1}.$$

Чтобы ЕДМК, что  $P_{\text{вых}} = 0.25 \text{ Па} (-12 \text{ дБ относительно } \rho_0 = 1 \text{ Па})$  имеем

$$\nu^2 \Phi = \frac{0.25^2 (1 - 0.25^{10})}{1 - 0.25} = 0.083 \text{ Па}^2, \text{ т. е. } P_{\text{вых}} = 0.29 \text{ Па.}$$

Следует, что при таких условиях задачи, основной вклад в полосе помех имеет сплошная часть спектра в этом диапазоне радиовещательного частот, в диапазоне от 5 Гц до 65 Гц и дискретной частотой, считая первую гармоническую частоту в 6 Гц.

*Решение.* В соответствии со спектрограммой на рис. 2.10 в полосе  $\Delta f = 1 \text{ Гц}$  на частоте 40 Гц давление помех, определяемое сплошной частотой, составляет  $-43.3 \text{ дБ}$  относительно 1 Па или это составляет  $0.588 \times 10^{-2} \text{ Па}$ . В соответствии же с формулой (2.118) и учитывая, что искомое значение помех относится к полосе  $\Delta f = 65 \text{ Гц} - 5 \text{ Гц} = 60 \text{ Гц}$ , имеем

$$P_{\text{вых}}(f_3, \Delta f, \gamma) = 0.01 \text{ Па} \cdot 0.083 \text{ Па}^2 = 4.3 \cdot 14 \cdot 0.85 \cdot 20^2 \cdot 10^6 \cdot 1.5^2 \cdot 10^{-6}.$$

Найдя  $\gamma_2 = 19.000$ , в соответствии с выражением, полученным в примере 2.20, на корабле установлен ГПС, работозапас на частоте  $f_3 = 20 \text{ кГц}$  при полосе пропускания  $\Delta f = 600 \text{ Гц}$ . Определить уровень помех с учетом трех обработок при скорости корабля  $v = 20 \text{ Уз}$ , если спектр помех имеет вид  $\nu^2 \Phi = 0.25 \text{ Па}^2$  на октане ( $n = 2$ ), а антена имеет площадь  $0.85 \text{ м}^2$ .

*Решение.* Определим коэффициент концентрации антенны по формуле

$$\gamma_2 = 4\pi S^2 c^2 = 4 \cdot 3 \cdot 14 \cdot 0.85 \cdot 20^2 \cdot 10^6 \cdot 1.5^2 \cdot 10^{-6}.$$

Найдя  $\gamma_2 = 19.000$ , в соответствии с выражением, полученным в примере 2.20, и учитывая, что в данном случае  $n = 2$ ;  $\Delta f_0 = 1$ ;  $f_0 = 1$ ;  $\gamma_0 = 1$ , будем для оценки давления помех в полосе имеем в виде

$$P_{\text{вых}}(f_3, \Delta f, \gamma_2) = \frac{P_{\text{вых}}(1.1, 1) \sqrt{\Delta f}}{f \sqrt{\gamma_2}} \left( \frac{\nu}{\nu_0} \right)^2 = \frac{0.01 \text{ Па} \sqrt{600}}{20 \cdot 43.6} \cdot 15.7 \approx 4.5 \cdot 10^{-3} \text{ Па}$$

Интегрический спектр в единицах  $N(20, 600, 1900) = -46.9 \text{ дБ}$ , будем засчитывать помехи, если в тракте обработки применить узкополосный фильтр с полосой каждого фильтра  $\Delta f_{\text{УФ}} = 60 \text{ Гц}$ .

*Пример 2.21.* При условных предыдущего примера оценить, как изменяется значение помех, если в тракте обработки применить узкополосный фильтр с полосой каждого фильтра  $\Delta f_{\text{УФ}} = 60 \text{ Гц}$ .

*Решение.* В соответствии с формулой, выведенной в примере 2.9, давление помех, пропущенных сквозь один фильтр, определим полосы полосы 0.5. Поэтому для  $P_{\text{вых}}(20, 600, 1900)$ :

$$P_{\text{вых}}(f_3, \Delta f, \gamma_1) = P_{\text{вых}}(20, 600, 1900) \cdot \sqrt{\frac{60}{600}} = 1.48 \cdot 10^{-3} \text{ Па.}$$

Пример 2.22. ШПС подводной лодки имеет рабочую полосу частот от 2 кГц до 10 кГц. Справив интегральные уровни помех при установке АПС на подводной лодке малой шумности в соответствии со спектрограммой на рис. 2.10.

*Решение.* Для подводной лодки большой шумности спектральный уровень, в соответствии с рис. 2.10 составляет  $-30 \text{ дБ} (3 \cdot 10^{-2} \text{ Па}^2)$ . Для малой шумной подводной лодки эта же величина составляет  $-52 \text{ дБ} (5 \cdot 10^{-3} \text{ Па}^2)$ . Для подводной лодки АПС ( $\Gamma = 1/2$ ). Интегральный уровень помех в соответствии с (2.128) равен

$$N(f_5, \Delta f, \gamma_2) = N(1, 1, 1) + 10 \lg \Delta f - \kappa \cdot 10 \lg f_5 - 10 \lg \gamma_2.$$

Тогда для полводной лодки большой шумности имеем

$$N(f_5, \Delta f, \gamma_2) = -30 + 10 \lg 8 \cdot 10^3 - 3,3 \cdot 10 \lg 4,46 \text{ дБ}$$

Здесь  $\kappa = 3,3$  на примере 2.18,  $f_5 = \sqrt{f_1 f_2} = 4,46$  кГц,  $\gamma_2 = 1$ . (Равесто приближенное, поскольку выражение (2.117) справедливо для  $\kappa = 3$ , для пологой не более двух октав). Величина акустического давления  $N$ , мах для полводной лодки большой шумности

$$P_A(4,5; 8000) = [2 \cdot 2 \cdot 1,05]^{-1} = 0,24 \text{ Па.}$$

Для маневренной полводной лодки интегральный уровень помех равен

$$N_1(-4,5; 8000) = -62 + 10 \lg 8 \cdot 10^3 - 3,3 \cdot 10 \lg 4,46 = -44,6 \text{ дБ}$$

Величина акустического давления помех в этом случае составит

$$P_A(4,5; 8000) = 1,66 \cdot 10^{-2} \text{ Па.}$$

Как следует из данного Примера, энантитные уровни помех определяются в первую очередь величиной полосы пропускания шумомодуляторов.

**Пример 2.23.** Рассчитать давление помех для ГПС при скорости корабельного корабля 12,7 м/с, рабочая частота  $f = 16$  кГц, коэффициент коррекции  $\gamma_2 = 40$  дБ. Рабочая полоса частот оптимизирована к диапазону  $\sim 4f^2$ , а при скорости 4 м/с стандартное давление помех на 9 дБ выше уровня шума моря при двух баллах.

**Решение.** Из спектрограммы на рис. 2.10 стандартный уровень шума моря при двух баллах составляет  $-67$  дБ (относительно 1 дБ). Тогда стандартный уровень помех соответствует условию приемника составляет  $N_1(1,1,1)_D = 58$  дБ. В терминах акустического давления  $E_D(1,1,1)_D = 1,26 \cdot 10^{-3}$  Па.

При оптимизации полосы пропускания приемника к ширине  $\Delta f$  получается  $\gamma_2$ , как это следует из п. 2.3,  $\Delta f \approx 1/f_1^2$ , т. е.  $\Delta f = 20^{-1} \cdot 10^3 c^{-1} = 50$  Гц. В соответствии с выражением (2.118) с учетом данных, полученных в примере 2.9, имеем

$$\rho_A(16, 50, 600) = 1,26 \cdot 10^{-3} \frac{\sqrt{50}}{16} \left(\frac{12}{4}\right)^3 \frac{1}{\sqrt{400}} = 0,75 \cdot 10^{-3} \text{ Па.}$$

**Пример 2.24.** ШПС с полосой пропускания  $\Delta f = 4$  кГц установлен на полводной лодке. Каким должно быть сопротивление излучения, его активности при чувствительности 100 МкВ/Па чтобы собственный шум преобразователя был на порядок ниже шума моря при волении и один балл?

Частьца. Сентинарный уровень шума моря при волении в один балл — 2,0 дБ (рамка на рис. 2.9) разен  $-74$  дБ в терминах акустического давления  $\gamma_2(1,1,1) = 2,0 \cdot 10^{-4}$  Па. При чувствительности антенны  $\rho_A = 2 \cdot 10^{-3}$  Па, то ее коэффициент давления разовет на выходе ее наружение, равное  $\rho_A = 2 \cdot 10^{-4}$  Па. 100 МкВ/Па  $= 2 \cdot 10^{-2}$  МкВ. Требование малошумящий преобразователь  $\rho_A = 0,1 \cdot 2 \cdot 10^{-2}$  МкВ.

Найдем формулу (2.122), рассчитаем необходимое сопротивление излучения для этого случая:

$$R = \frac{\rho_A^2}{\Delta f^4} \text{МОМ} = 4 \cdot 10^{-6} \cdot 4^{-3} = 6,25 \cdot 10^{-9} \text{МОМ.}$$

Решение. Из спектрограммы на рис. 2.10 стандартный уровень шума моря при двух баллах составляет  $-67$  дБ (относительно 1 дБ).

Давление излучения на входе антенны составляет  $2 \cdot 10^{-3}$  Па. Уровень излучения отражения сигнала/помехи по выходе тракта обработки бывает по сравнению с его выходом, если полоса частот профиль тракта  $\sim 4$  кГц, а тракта обработки — 400 Гц, и преобладает электрическая помеха.

**Пример 2.25.** Чистота передачи антенны ГПС составляет 50 МкВ/Па, уровень помехи на входе тракта обработки — 400 Гц, и преобладает электрическая помеха. Напряжение шумов является на входе тракта обработки  $\rho_A = 0,06$  Ом.

Приемник полезного сигнала на входе антенны составляет  $2 \cdot 10^{-3}$  Па.

Давление излучения отражения сигнала/помехи по выходе тракта обработки по формуле (2.122):

$$M_J = 4 \cdot \sqrt{100 \cdot 10^{-6}} \cdot 4^{-3} = 8 \cdot 10^{-2} \text{ МкВ.}$$

Напряжение полезного сигнала, развязываемое на выходе тракта обработки, составляет  $\rho_B = 50 \text{ МкВ/Па} = 2 \cdot 10^{-3}$  Па  $= 10^{-2}$  МкВ.

Таким образом, отношение сигнала/помехи на выходе тракта обработки к ее напряжению составляет  $\delta = 1,25$ , а то мощность  $\delta^2 = 1,56$ . Уменьшение полосы пропускания тракта обработки при сдвигах спектра сигнала и помех не ведет к изменению отношения сигнал/помеха.

Чтобы здание сопротивление излучения в узкой полосе, как это можно видеть в гиперболике, уменьшение полосы пропускания делает зависимость  $\Delta f / \Delta F$  нелинейной, а то сопротивление излучения в чисто  $\Delta f / \Delta F$ , а то сопротивление излучения в чисто  $\Delta f / \Delta F$  раз, где  $\Delta f$  — полоса частот на выходе тракта обработки,  $\Delta F$  — полоса частот на выходе тракта обработки. В данном примере это 16 раза и 10 раз соответственно.

**Пример 2.26.** ГПС, установленная на эсминце, работает на частоте 4 кГц. Минимальный уровень помех работы ГПС соответствует шуму моря при четырех баллах. Определить максимальный коэффициент шума приемника ГПС, при котором потери вследствие собственных шумов составили бы менее 0,1 дБ. Принять КПД преобразователя равным 0,5 ( $= 6$  дБ).

*Решение.* Используя спектрограмму на рис. 2.10, определим веяла шума моря при четырех боязнях на частоте 10 кГц. Он равен  $T_4 = 39,8$  дБ, т. е.  $20 \lg \sqrt{K_{шм}} = 39,8$  дБ, откуда  $K_{шм} = 9500$ . Установим, при каком потере ГПС по энергетическому отношению сигнал/шум  $\delta$  оно вдвое, т. е.  $\delta = 0,1$  дБ, можно записать в виде

$$10 \lg K_{шм} / K_{шм} = 0,1 \text{ дБ или } K_{шм} / K_{шм} = 1,26.$$

Используя выражение (2.125) определим  $K_{бр}/\eta$ :

$$1,26 > 1 + 1/19500 \cdot (K_{бр}/\eta - 1),$$

в результате получим  $K_{бр}/\eta < 2500$ , т. е.  $\sim 38$  дБ. Это значит, что при КПД преобразователя, использующегося в данной ГПС, коэффициент усиления приемника должен быть не менее 32 дБ ( $\sim 1260$ ). Такие значения коэффициента шума достичь можно несложно на практике.

**Пример 2.27** Используя условия предыдущего примера, определить коэффициент преобразования к коэффициенту шума приемника, если ГПС должна работать на поливодной подстилке.

*Решение.* Покажему на подводной полосе минимальная величина шума, на которую может быть настроенныни, чем для поливодного корабля (при одинакительном на 15 дБ), то для урона шума моря волем  $\Delta T = -90$  дБ. Тогда коэффициент шума внешних источников определяется следующим образом:

$$20 \lg \sqrt{K_{шм}} = -90 \text{ дБ} + 114 \text{ дБ} = 24 \text{ дБ}; \quad K_{шм} = 126;$$

Тогда, в соответствии с (2.125) имеем

$$K_{бр}/K_{шм} = 1 + 1/126 \cdot (K_{бр}/\eta - 1).$$

Из этого, так же, как в предыдущем примере,  $K_{бр}/K_{шм} < 1,26$ :

$$1,26 > 1 + \frac{1}{126} \cdot (K_{бр}/\eta - 1),$$

в результате получим  $K_{бр}/\eta < 32$ , т. е. 15 дБ. При КПД преобразователя, равном — 6 дБ, необходимо, чтобы коэффициент шума приемника был не менее 8,0 (9,0) дБ. Такие значения коэффициента шума весьма сложно реализовать на практике. Данный пример указывает на то, что для реальных типов ГАС могут представляться различные требования по шум-фактору приемно-усилительных каналов. Они тем жестче, чем ниже уровень внешнего акустического поля помех на выходе ГАС (шумы, береговая ГАС и т. п.). При этом, чем внешний фон ниже, тем

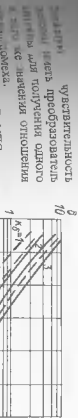


Рис. 2.25. Зависимость коэффициента расширения  $\delta$  от величины  $\Delta T$  для ШПС (—) и ГПС (—)

коэффициент  $\delta = 2$  (по выражению (2.176)) величина коэффициента  $\delta$  неизменна, с выражением (2.176) величина коэффициента  $\delta = 2,8$  по сравнению или  $\delta = 7,8$  по неточности.

**Пример 2.29** Оценить величину порогового коэффициента для ГПС с фильтром пропускания  $\Delta f = 10$  Гц и временным поспектральным интегрированием  $T = 0,1$  с, если пороговый коэффициент на входе решепного канала  $K_{бр} = 2$  (по выражению (2.176)).

Решение. Используя формулу (2.176), где  $K_0 = 2$ , Тогда время интегрирования равно 1 с. Тогда  $K_3 = 6$  дБ, т. е.  $K_3 = 2$ . Тогда величина порогового коэффициента для ГПС  $K_{бр} = 2,8$ .

**Пример 2.30** Построить график зависимости коэффициента расширения  $\delta$  от коэффициента расширения ШПС от соотношения полос приемника и поспектрального фильтра  $\delta = (\Delta f / \Delta F)^2$ .

Решение. Определим, что время интегрирования в тракте никой час- тично стоящих пропускаемых поспектрального фильтра прибли- зительно  $\Delta T = 1/\Delta F$ . Тогда в соответствии с формулой (2.176) можно записать  $\delta_{шпс} = K_0^2 / \Delta f^{1/4}$ , т. е. величина коэффициента расширения обратно пропорциональна корню четвертой степени из поливодной полосы пропускания. Результаты по формуле приведены на рис. 2.25.

**Пример 2.31** Построить график зависимости коэффициента расширения ГПС от соотношения полос приемника и поспектрального фильтра  $\delta_{ГПС} = f(\Delta f / \Delta F)$ .

Решение. Отведем, что время интегрирования в тракте никой час- тично стоящих пропускаемых поспектрального фильтра прибли- зительно  $\Delta T = 1/\Delta F$ . Тогда в соответствии с формулой (2.176) можно записать  $\delta_{ГПС} = \sqrt{2} K_0 \Delta f^{-1/2}$ , т. е. величина коэффициента расширения обратно пропорциональна корню квадрати- ческого соотношения полос пропускания. Результаты по формуле приведены на рис. 2.26.

**Пример 2.32.** ШПС усилителя на малошумящей подающей имеет рабочую полосу пропускания  $0.5 \dots 6$  кГц и реализует коэффициент усиления на выходе радиолюбителя звука  $K_3 = 6$  дБ. Каким должно быть время интегрирования в тракте низкой частоты, если необходимо снизить уровень помех, создаваемый на выходе антенны на  $0.18 \cdot 10^{-2}$  Па? Как необходимо изменить время интегрирования, если тот же шумомодемагатор установить на подиодной лодке большой мощности?

Решение. Определим давление помех, равнозначное на входе ГАС, в соответствии со спектрограммой на рис. 2.10. На основании формулы (2.128) для интегрирования уровня помех можно записать выражение

$$N_{\text{п}}(f_3, \Delta f, \gamma_2) = N_{\text{п}}(1, 1, 1) + 10 \lg \Delta f - n \lg f_3 - 10 \lg \gamma_2,$$

где величину  $n$ , определим из спектрограммы на рис. 2.10:  $n = 3.2$  (см. пример 2.11). Величина эквивалентной частоты в соответствии с формулой (2.117) равна

$$f_3 = \sqrt{\frac{2.3 \cdot 5.5 \cdot 6^{2.3}}{6^{2.3} - 0.5^{2.3}}}, \quad f_3 = 2.35 \text{ кГц.}$$

Следовательно  $N_{\text{п}}(2.35; 5500; 1) = -62 \text{ дБ} + 37.4 \cdot 3 \cdot 10 \cdot 0.37 = -36.8 \text{ дБ}$ . Коэффициент интегрирования  $\delta = 0.25$  ( $-12 \text{ дБ}$ ) по давлению ШПС равен  $= 5.4 \text{ с}$ , если в тракте низкой частоты время интегрирования равно  $T = 10 \text{ мс}$ , что следует из выражения (2.176). При этом абсолютные значения давления помехового сигнала на выходе ГАС можно найти из соотношений

$$20 \lg \frac{p_{\text{п}}(f_3, \Delta f, \gamma_2)}{p_{\text{п}}(f_3, \Delta f, \gamma_2)} = -12 \text{ дБ или } \frac{p_{\text{п}}(f_3, \Delta f, \gamma_2)}{p_{\text{п}}(f_3, \Delta f_1, \gamma_2)} = 0.25;$$

— интегральное значение давления помех на входе антенны равна

$$p_{\text{п}}(f_3, \Delta f, \gamma_2) = \text{арктан}(0.05 \cdot (-36.8)) = 1.45 \cdot 10^{-2} \text{ Па.}$$

Степеневатально, давление помехового сигнала, соответствующего времени интегрирования  $T = 5.4 \text{ с}$ , равно  $p_{\text{п}}(f_3, \Delta f) = 0.25 \cdot 1.45 \cdot 10^{-2} \text{ Па} = 0.36 \cdot 10^{-2} \text{ Па}$ . Если давление помехового сигнала составляет  $0.18 \cdot 10^{-2} \text{ Па}$ , т. е.  $\delta = 0.125$ , то время интегрирования сформулируем следующим образом (2.176) должно составлять  $T \approx 86 \text{ с}$ . Если данный шумомодемагатор устанавливать на подиодной лодке с большой шумностью, то интегральное значение помех на соответствующем со спектрограммой на рис. 2.11 будем уменьшать на половину логже с большой шумностью, то интегральное значение помех в терминах акустического давления это составит

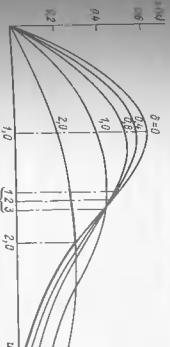


Рис. 2.26. К примеру 2.33

$$p_{\text{п}}(f_3, \Delta f, \gamma_2) = 0.5 \cdot 1.15 = 0.58 \text{ Па.}$$

На графике шумомодемагатор должен реализовать  $\delta = 0.31 \cdot 10^2$ . Если реализовать только время интегрирования в тракте низкой частоты, то в соответствии с формулой (2.176)  $T = 86 \cdot 83^4 \text{ с}$ , что само по себе представляет невыполнимую задачу.

Пример 2.33. Построить кривые распределений

$$\bar{f}(u) = \frac{u}{1 + K_3 \bar{f}} e^{-\frac{u^2}{2(1 + K_3 \bar{f})}}$$

при различных отходящих  $K_3 = u_c/u_0$ , равных 0; 0.4; 0.6; 1; 2. Определить значение напряжения на выходе тракта обработки сигнала с тремя распространениями, когда  $f(u) = p_{\text{пах}}$ , и пороговые напряжения для приема Нельсона на подиодной лодке.

Решение. Построим кривые, соответствующие различным значениям отходящих статистик напряжения. Эти кривые представлены на рис. 2.26 для различных значений напряжения  $f(u)$  на входе антенны. Используем и приравняем путь функции  $f(u)$ :

$$\frac{\partial f(u)}{\partial u} = \frac{1}{1 + K_3 \bar{f}} \exp \left[ -\frac{u^2}{2(1 + K_3 \bar{f})} \right] +$$

$$+ \frac{u}{1 + K_3 \bar{f}} \exp \left[ \frac{u^2}{2(1 + K_3 \bar{f})} \right] \left[ \frac{2u}{2(1 + K_3 \bar{f})} \right] = 0.$$

Используем  $\bar{f} = \pm \sqrt{1 + K_3 \bar{f}}$  для различных значений  $K_3$  соответственно равно  $K_3 = \pm \sqrt{1 + K_3 \bar{f}}$ . Для различных значений  $K_3$  соответственно равно  $N_{\text{п}}(f_3, \Delta f, \gamma_2) = -30 + 37.4 - 1.22 = -4.8 \text{ дБ}$  и в терминах акустического давления это составляет

$$\frac{K_3}{U_{\text{В}}} = \dots \quad 0 \quad 0.4 \quad 0.6 \quad 1.0 \quad 2.0$$

$$U_{\text{В}} = \dots \quad 1 \quad 1.08 \quad 1.17 \quad 1.41 \quad 2.24$$

Для определения пороговых напряжений при реализации критерия алного наблюдателя обратимся к рис. 2.27. Поскольку в этом случае минимально-крайняя суммарная вероятность ошибочного решения, то, как это следует из рис. 2.27, для различных значений  $K_0$  пороговые напряжения равны

$$\frac{K_0}{U_{\text{пор}} \cdot B} = \begin{cases} 0 & 0.4 \\ 1 & 1.54 \\ 1.62 & 1.7 \\ 2.0 & \end{cases}$$

Заметим, что в случае реализации критерия Неймана–Пирсона, пороговое напряжение является постоянным при любом значении  $K_0$ , как следует из рис. 2.27, б.

Пример 2.24. Определение оптимального порогового уровня в решете гидроакустического обнаружителя, реализующего критерий минимального наблюдателя и критерий Неймана–Пирсона в случае совмещения цепочек сигналов на фоне шумовой помехи с отбивающей, подавляемой регрессивным законом распределения.

*Решение.* Выражение для плотности распределения отбивающей помехи имеет вид

$$p(u_{\text{отв}}) = \frac{u}{\sigma_n^2 + \sigma_e^2} \exp \left[ -\frac{u^2}{2(\sigma_n^2 + \sigma_e^2)} \right].$$

Для плотности распределения отбывающей помехи имеем

$$p(u_n) = \frac{u}{\sigma_n^2} \exp \left[ -\frac{u^2}{2\sigma_n^2} \right].$$

При реализации критерия минимального наблюдателя при известных цепочках вероятностей наличия и отсутствия сигнала  $P_{\text{н}}$  и  $P_{\text{ш}}$  вероятность ложной тревоги и вероятность пропуска нели можно найти по формулам

При реализации критерия Неймана–Пирсона вероятность ложной тревоги определяется из уравнения, можно отразить формулу:  $\lambda_{\text{пор}}^2 = 2\sigma_n^2 \ln P_{\text{н,н}}$ , где  $\lambda_{\text{пор}}^2$  – заданная вероятность ложной тревоги.

Пример 2.25. Приведены схематичные выражения для минимальной оценки вероятности ошибочного обнаружения при реализации критерия Неймана–Пирсона и критерия минимального наблюдателя. Для критерия минимального наблюдателя принять  $P_{\text{н,н}} = 0.5$ . Для наблюдателя Неймана–Пирсона принять  $P_{\text{н,н}} = 10^{-2}$ .

Напишем выражение для условной вероятности пропуска сигналов:

$$P_{\text{пр}} = P_0 \int_{-\infty}^{\infty} \frac{u}{\sigma_n^2 + \sigma_e^2} \exp \left[ -\frac{u^2}{2\sigma_n^2} \right] du = P_0 \exp \left[ -\frac{u_{\text{пор}}^2}{2\sigma_n^2} \right];$$

$$P_{\text{пр}} = P_1 \int_{-\infty}^{\infty} \frac{u}{\sigma_n^2 + \sigma_e^2} \exp \left[ -\frac{u^2}{2(\sigma_n^2 + \sigma_e^2)} \right] du =$$

$$= P_1 \left\{ 1 - \exp \left[ -\frac{u_{\text{пор}}^2}{2(\sigma_n^2 + \sigma_e^2)} \right] \right\}.$$

Вероятность ошибочного решения равна  $P_{\text{ош}} = P_{\text{пр}} + P_{\text{н,н}}$ .

Поскольку при реализации критерия минимального наблюдателя минимально-крайняя вероятность ошибочного принятия решения, необходима для пропуска сигнала, то при этом существует минимум суммарной ошибки  $P_{\text{ош}} + P_{\text{пр}} = 0$ . Вычисление имеет оптимальное значение порогового уровня.



Рис. 2.27. Зависимость  $P_{\text{н,н}}$  от отношения  $K_0/(U_{\text{пор}} \cdot B)$  для критерия минимального наблюдателя (—) и критерия Неймана–Пирсона (---).

График вероятности ложной тревоги определяется формулой

$$P_{\text{ш,пор}} = \int_{-\infty}^{\infty} \frac{u}{\sigma_n^2} \exp \left[ -\frac{u^2}{2\sigma_n^2} \right] du = \exp \left[ -\frac{u_{\text{пор}}^2}{2\sigma_n^2} \right].$$

Значу в этом случае вероятность ложной тревоги задается, из полученного уравнения можно отразить формулу:  $\lambda_{\text{пор}}^2 = 2\sigma_n^2 \ln P_{\text{н,н}}$ , где  $\lambda_{\text{пор}}^2$  – заданная вероятность ложной тревоги.

Пример 2.26. Приводятся схематичные выражения для минимальной оценки вероятности ошибочного обнаружения при реализации критерия Неймана–Пирсона и критерия минимального наблюдателя. Для наблюдателя Неймана–Пирсона принять  $P_{\text{н,н}} = 0.5$ . Для наблюдателя минимального наблюдателя принять  $P_{\text{н,н}} = 10^{-2}$ . Напишем выражение для условной вероятности пропуска сигналов:

$$P_{\text{пр}} = \int_0^{u_{\text{пор}}} \frac{u}{\sigma_n^2 + \sigma_e^2} \exp \left[ -\frac{u^2}{2(\sigma_n^2 + \sigma_e^2)} \right] du = 1 - \exp \left[ -\frac{u_{\text{пор}}^2}{2(\sigma_n^2 + \sigma_e^2)} \right]$$

Выражение  $1 - P_{\text{пр}}$  имеет смысл вероятности правильного обнаружения при отсекающем уровне  $P_{\text{н,н}}$ . Из последнего выражения можно определить

$$\lambda_{\text{пор}}^2 = -2(\sigma_n^2 + \sigma_e^2) \ln (1 - P_{\text{н,н}}).$$

При этом правые части последнего выражения и полученного для отсекающего порога в предыдущем примере, получаем

$$\lambda_{\text{пор}}^2 = \ln P_{\text{н,н}} \sqrt{\ln (1 - P_{\text{пр}})} - 1.$$

График зависимости вероятности ошибочного наблюдателя:

$$P_{n,0} = 1 - \left\{ P_0 \exp \left[ - \frac{u_{0,p}^2}{2\sigma_1^2} \right] + P_1 \left[ 1 - \exp \left( - \frac{u_{0,p}^2}{2(\sigma_1^2 + \sigma_2^2)} \right) \right] \right\}$$

Постановим задачу: значение  $\hat{u}_{0,p}^2$  из приведенного примера. Тогда

$$\begin{aligned} P_{n,0} &= 1 - \left\{ 0.5 \exp \left[ - \frac{1}{K_0^2} \ln (1 + K_0^2) (1 + V_0^2) \right] + \right. \\ &\quad \left. + 0.5 \left[ 1 - \exp \left( - \frac{1}{K_0^2} \ln (1 + K_0^2) \right) \right] \right\} \end{aligned}$$

Для постановки вероятности правильного обнаружения  $P_{n,0}$  (см. рис. 2.28). Для постановки вероятности ошибки  $P_{n,0} - P_{0,p}$  (см. рис. 2.28), для приближения вероятности правильного обнаружения  $P_{n,0} - P_{0,p} = 0.9$ ;  $0.6$ ;  $0.1$ , при наблюдателе Неймана-Пирсона эта зависимость приведена в табл. 2.27:  $\hat{u}_{0,p}^2 = 5.8$ ;  $3.4$ ;  $1.0$ .

На рис. 2.27 следует, что для наименьшего наблюдателя вероятность правильного обнаружения мало отличается от минимальной  $K_0^2$ , а при наблюдателе Неймана-Пирсона эта зависимость очень сильно выражена. Это следует из физической сущности рассматриваемых критериев обнаружения.

**Пример 2.36.** Найти значение вероятности ложных тревог  $P_{n,0}$  для гидролокатора с элементом разрешения  $M = 1000$ , если для полноты того, что за время  $T_0 = 10$  мин не происходит ни одной ложной тревоги  $P(0) = 0.9$ , а материнская корреляция помехи  $\gamma_k = 0.5$ .

**Решение.** Используя формулу (2.35), имеем для  $P_{n,0}$ , в т.к.

$$P_{n,0} = \frac{(t_{cp})^n (1/n!)}{\sum_{m=0}^n (1/m!) (t_{cp})^m}$$

$$P_{n,0} = \frac{0.5^n}{10 \cdot 1000 \cdot 10 \cdot 60 \cdot c} [1 - 0.8]^n = 1.7 \cdot 10^{-5}.$$

**Пример 2.37.** В районе поиска подводных объектов находятся  $n$  подводных промыслов в точках  $t_{cp}$  — спредного времени обследования каждого из них. Их координаты известны. Оценить необходимое значение вероятности ложной тревоги  $P_{n,0}$  для числа пространственных каналов каждого ГАК равно 30, частотами  $10 \cdot 10^6$  Гц.

**Решение.** Используя формулу (2.37), выражим вероятность того, что за время  $t_{cp}$  появится ровно  $n$  тревог (где все тревоги будут обнаружены) и поисковыми системами за время  $t_{cp}$ . Тогда

$$P_n(t) = (\lambda t_{cp})^n \frac{1}{n!} e^{-\lambda t_{cp}}.$$

С другой стороны, поток ложных тревог может значительно превышать поток ожидаемых гидролокистических систем в районе и первоначально, то есть в момент времени  $t_{cp}$  (причем не более  $n$  ложных тревог):

$$R_n(t) = (\lambda t_{cp})^n \frac{1}{n!} e^{-\lambda t_{cp}}.$$

$$P_{n,0}(t_{cp}) = \sum_{k=0}^{n-1} (t_{cp})^k \frac{1}{k!} e^{-\lambda t_{cp}}.$$

Соотношение между этими вероятностями, очевидно, определяет величину при соотнесении гидролокистического обследования района производственной подводной полосы, т. е. количества поисковых систем  $n$  и времени обследования  $t_{cp}$ . Тогда для вероятности обследования всех ложных тревог можно написать

$$\begin{aligned} P_{n,0}(t_{cp}) &= \frac{(t_{cp})^n (1/n!)}{\sum_{m=0}^n (1/m!) (t_{cp})^m} \\ &= \lambda (1 - P_{n,0}) - P_{n,0} \text{exp} \frac{1}{t_{cp}} = 0. \end{aligned}$$

При заданной вероятности обследования всех ложных тревог можно оценить необходимую интенсивность ложных тревог на время поиска, т. к. если время  $t_{cp}$  — 10 мин, то  $\lambda (1 - 0.9) = 0.9 \times$

$$1/100 = 0.01, \lambda = 1.5 \cdot 10^{-2} \text{ с}^{-1}, \text{ общее число элементов разрешения} = m = 10^6 = 10^3 \cdot 10^3. \text{ Используя выражение (2.49), примем } \gamma_k = 0.1 \text{ и решим для } P_{n,0} \text{ за цикл (за время поиска } t_{cp}), P_{n,0} \approx 10^4,$$

то есть вероятность ложных тревог в районе  $t_{cp}$  —  $t_{cp}/M \approx 0.33 \cdot 10^{-7}$ . Так как вероятность ложных тревог приходит к запределению порога обнаружения, то же к узкому значению вероятности правильного обнаружения в определенных случаях.

**Пример 2.38.** Траектория движения цели стационарный процесс на срептном значении, представляющим собой стационарный, однородный шум, радиус пульта и функция координаций  $K_c = \langle \delta \varphi, \delta \theta, \delta r \rangle$  со сдвигом на фазе помехи, представляющей собой стационарный, ярко коррелированный, белый шум со спектральной плотностью  $1/2f_{\text{пом}}$ . Постановить передаточную функцию  $H_0(j\omega)$  нерадиолокационного стражника  $(j\omega)$  наименее чувствительного канала и выразить соответствующую ему минимальную среднеквадратичную ошибку:  $\sigma^2 = M[\hat{f}_c(t) - f_c(t)]^2$ .

**Решение.** Передаточную функцию в соответствии с выражением (2.49) можно записать в виде

$$H_0(j\omega) = \frac{S_c(\omega)}{S_p(\omega) + S_n(\omega)}$$

Определение энергетический спектр процесса  $s(t)$  по соотношению Ван-Ранцинга:

$$S_c(\omega) = \int_0^\infty K_c(\tau) e^{-i\omega\tau} d\tau = \frac{1}{\sigma^2 + (\omega - \omega_c)^2 + \sigma^2 + (\omega + \omega_c)^2}$$

Подставляя выражения для спектров сигнала и помехи в формулу для  $H_0(j\omega)$ , имеем

$$H_0(j\omega) = [2\alpha\sigma^2(A+B)] / [2\alpha\sigma_c^2(A+B) + N_0AB]$$

где  $A = \sigma^2 + (\omega - \omega_c)^2$ ,  $B = \sigma^2 + (\omega + \omega_c)^2$ .

Для определения среднеквадратичной ошибки используем выражение (2.144), в соответствии с которым

$$\epsilon_{\min}^2 = \sigma_\xi^2 \sqrt{\frac{\alpha N_0}{\alpha N_0 + 2\sigma^2}}$$

**Пример 2.39.** Определить структуру оптимального фильтра приемника усиленного на фоне аддитивной помехи со спектральной плотностью  $S_p(\omega) = 1/(2N_0)$ ,  $-\infty < \omega < \infty$  и выполнить описание сигнального блоке схемы.

*Решение.* Временную функцию прямоугольного импульса можно записать в виде

$$s(t) = \begin{cases} S_0 & \text{при } -T_c/2 \leq t \leq T_c/2; \\ 0 & \text{при } T_c/2 < t < -T_c/2. \end{cases}$$

Ввиду того что спектр прямоугольного импульса, используя преобразование Фурье:

$$S_c(f) = \int_{-\infty}^{\infty} s(t) e^{-j\omega t} dt.$$

Остается

$$S_c(f) = \frac{S_0}{f\omega} (e^{j\omega T_c/2} - e^{-j\omega T_c/2}).$$

Следовательно, передаточная функция  $H(f)$  фильтра, согласованного с прямоугольным видеосигналом длительностью  $T_c$ , имеет вид

$$H_0(f) = \frac{H_0}{f\omega} (e^{j\omega T_c/2} - e^{-j\omega T_c/2}) e^{-j\omega T_c} = h S^*(f) e^{-j\omega T_c}.$$

Если интервал излучения равен длительности импульса, т. е.  $T_0 = T_c$ ,

$$H_0(j\omega) = (e^{-j\omega T_c/2} + e^{j\omega T_c/2} H_0) H_0 / j\omega;$$

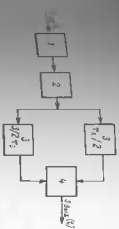


Рис. 2.29. ВХО тракта с П-образной частотной характеристической при приеме некодированного сигнала

Из рисунка ясно, что максимальное значение выходной сигналы достигнуто при  $t = T_c$  и равен

$$|s(t)|_{\max} = H_0 s(T_c - t) = H_0 s(T_c - t).$$

На рисунке видно, что максимальное значение выходной сигналы достигнуто при  $t = T_c$  и равен

$$|s(t)|_{\max} = H_0 S^2 T_c = K_0 E.$$

Таким образом, максимальное значение выходного сигнала определяется выражением

$$E_{\max}^2 = \int_{-\infty}^{\infty} |S_c(\omega)| |H(f)|^2 d\omega =$$

$$= \frac{N_0^2}{2} \int_{-\infty}^{\infty} \frac{2}{\omega^2} (1 - \cos \omega T_c) d\omega = 1/2 H_0^2 N_0 E^2$$

Частотные спектры помехи по напряжению  $\Omega_{\text{сп}} = \sqrt{2E/N_0}$ .

**Пример 2.40.** Обнаружить гармоны стационарных сигналов имеет место в высоких частотах с прямоугольной частотной характеристикой, длительностью  $T_0$  в практике каждой частоты осуществляется интегрирование

Рис. 2.30. ВХО тракта с фильтром АЧХ

Рис. 2.31. ВХО тракта амплитудно-

фильтрации. Для ВХО в динамическом случае справедливо аналитическое выражение

$$P_{\text{вх}} = \exp \left[ \frac{1}{2} \left( \sigma_{\text{вх}}^2 / \sigma_{\text{ш}}^2 \right) \ln P_{\text{нр}} \right]$$

После этого на этой формуле ВХО представлена на рис. 2.31. Из рисунка видно, что при отношении сигнал/помеха 20 дБ и более

достигается во всем диапазоне реализации истинное значение  $P_{\text{нр}}$  ...

Пример 2.40. Тракт обработки сигналов помех на выходе тракта нанесен на рис. 2.30.

Решение. В соответствии с выражением (2.169) построим ВХО обра-

зужителя, соответствующим условиям из рис. 2.29 задачи, что уменьшит отношение сигнал/помеха на 6 дБ в диапазоне значений  $\Delta f_T$  от 0 до 0,2 и увеличено вероятность правильного обнаружения с 0,1 до 0,9 ( $P_{\text{нр}} = 10^{-5}$ ). В диапазоне от  $-\infty$  до  $-8$  дБ и от  $0$  до  $+10$  дБ + вероятность правильного обнаружения постоянна и равна 0 и 1 соответственно ( $P_{\text{нр}} = 10^{-6}$ ).

Пример 2.41. Используя условие приведенного примера, построим ВХО обнаружителя для различных значений  $\Delta f_T$ , разных  $1, 10, 50, 100, 1000$  при фиксированном значении  $P_{\text{нр}} = 10^{-5}$ . Определить, как измениется значение  $P_{\text{нр}}$  при изменении  $\Delta f_T$ .

Решение. Воспользуемся выражением (2.169) для построения ВХО. Результат расчета приведен на рис. 2.30. Из рисунка видно, что изменение времени приема сигнала в  $\Delta f_T$  раз и следующего за ним изменение времени приема  $\Delta f_T$  во столько же раз в диапазоне отношения сигнал/помеха от  $-2$  до  $+6$  дБ  $P_{\text{нр}}$  изменяется таким образом, уменьшение  $T$  в 10 раз ведет к увеличению вероятности правильного обнаружения от 0,8 до 0,9 (при  $\delta = -2$  дБ).

Пример 2.42. Тракт обработки гидроакустического сигнала является высокочастотный фильтр — линейный дифтегор-интегратор. Амплитуда высокочастотных флюктуаций на релаксационном языке, а сигнал имеет сдвиг фазы  $\pi/2$  относительно языка. Построить ВХО при  $P_{\text{нр}} = 10^{-5}, 10^{-4}, 10^{-3}, 10^{-2}, 10^{-1}$ .

Определить, при каком значении отношения сигнал/помеха вероятность правильного обнаружения практически не зависит от величины  $P_{\text{нр}}$  [43].

Рис. 2.31. Тракт обработки гидроакустического сигнала

Прием (2.32):

$$\hat{\theta}_n = \vartheta \left( \sqrt{-2 \ln P_{\text{нр}}}, \sqrt{2 K_0} \right), \quad (*)$$

где  $K_0 = \pi d / 2 \lambda n^2$  — отношение сигнал/помеха,  $\vartheta$  — дистерсионные помехи в канале высокочастотного фильтра. Построим при оптимальном фильтре из эффективной полосы пропускания фильтра выбирается равной  $\Delta f_T = 1 / T_{\text{Ф}}$ , где  $T_{\text{Ф}}$  — эффективная длительность сигнала, то для динамического диапазона в полосе имеем

$$\hat{\theta}_n = S_1 \sqrt{2} \Delta f_T, \quad (2.33)$$

где  $S_1$  — степень мощности помех на рабочей частоте фильтра. Окончательно  $K_0 = K_{\text{Ф}} / T_{\text{Ф}} \lambda n^2$ , где  $K_{\text{Ф}} = 1 / (2 \pi) T_{\text{Ф}}$  — амплитуда звука сигнала.

Решение. Воспользуемся выражением (2.169) для построения ВХО. Результат расчета приведен на рис. 2.32. Из рисунка видно, что при отношении сигнал/помеха 10 дБ и более практиче-

ски вероятность правильного обнаружения  $P_{\text{нр}} = 1$  при использовании ВХО, пред-

ставленных в этом и предыдущем выражениях. Некоторую учитывая, что

изменение отношения сигнал/помеха в 1000 раз не влияет на результаты расчета, получаемые с помощью (2.169).

Прием (2.33):

$$P_{\text{нр}} = \exp \left[ \frac{1}{2} \left( \sigma_{\text{вх}}^2 / \sigma_{\text{ш}}^2 \right) \ln P_{\text{нр}} \right]$$

Прием (2.34):

$$P_{\text{нр}} = \exp \left[ \frac{1}{2} \left( \sigma_{\text{вх}}^2 / \sigma_{\text{ш}}^2 \right) \ln P_{\text{нр}} \right]$$

Прием (2.35):

$$P_{\text{нр}} = \exp \left[ \frac{1}{2} \left( \sigma_{\text{вх}}^2 / \sigma_{\text{ш}}^2 \right) \ln P_{\text{нр}} \right]$$

Прием (2.36):

$$P_{\text{нр}} = \exp \left[ \frac{1}{2} \left( \sigma_{\text{вх}}^2 / \sigma_{\text{ш}}^2 \right) \ln P_{\text{нр}} \right]$$

Рис. 2.32. К примеру 2.43.

---

 РАСПРОСТРАНЕНИЕ АКУСТИЧЕСКИХ  
СИГНАЛОВ В ОКЕАНЕ

 § 3.1. Характеристика океана как  
звукопроводящей среды

**Скорость звука в океане.** Характер распространения акустических волн в океане определяется целым рядом факторов, обусловленных свойствами как самой среды, так и ее границ.

В однородной непоглощающей среде распространение звука описывается скалярным волновым уравнением

$$d^2 p / dr^2 = c^2 \nabla^2 p. \quad (3.1)$$

Согласно формуле (3.1) при заданной начальной форме возмущения характер акустического поля на любом расстоянии от источника звука определяется параметром  $c$ , т. е. величиной скорости звука, для которой справедливо соотношение

$$c = \sqrt{\kappa / \rho}.$$

Здесь  $\kappa$  — модуль объемной упругости;  $\rho$  — равновесная плотность. Величины  $\kappa$  и  $\rho$ , существенно зависящие на суще звуков от температуры и солености морской воды.

Свойства неупругого материала определяются величинами  $\kappa$  и  $\rho$ . Приведем к разработке так называемых прямых и косвенных методов определения скорости звука.

Прямые методы предусматривают неупругое измерение скорости звука в воде с помощью измерительных промежутоков времени [57]. Косвенные методы основаны на расчете скорости звука с помощью эмпирических зависимостей по данным о температуре и солености морской воды.

В настоящее время существует несколько эмпирических зависимостей для расчета скорости звука. Наиболее точной является формула Вильсона. По нем составлены таблицы значений скорости звука [64]. Для практических расчетов можно рекомендовать nomogrammu на рис. 3.1. Для условий  $4^{\circ} C < T < 30^{\circ} C$ ;  $1 \text{ кг}/\text{м}^2 < P < 1000$ ;  $0 < S < 37/100$  результаты расчета по этой формуле совпадают с экспериментально определенными значениями скорости звука с точностью  $\pm 0.3 \text{ м}/\text{с}$ . Приложены более простую формулу для определения скорости звука.

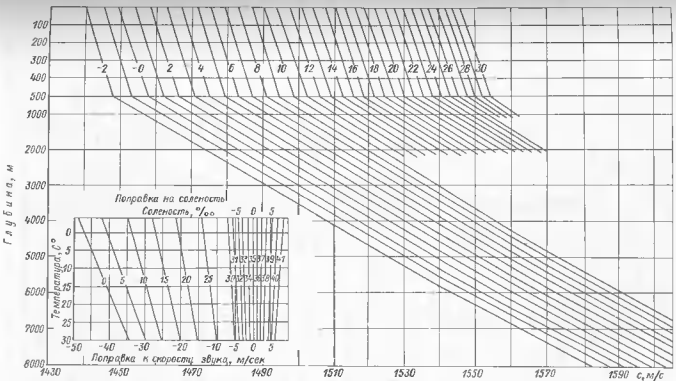


Рис. 3.1. Номограмма для расчета зависимости скорости звука от глубины с поправкой на соленость.

$$r = 1492.9 + 3(T - 10) - 6 \cdot 10^{-3}(T - 10)^2 - 4 \cdot 10^{-2}(T - 18)^2 +$$

$$+ 1.2(S - 35) - 10^2(T - 18)(S - 35) + z/61 \quad (3.2)$$

Здесь  $z$  — глубина в метрах.

Считается, что эта формула обеспечивает точность  $0.1$  м/с для  $T < 20^\circ\text{C}$  и  $z < 800$  м.

Анализ комограмм показывает, что скорость звука является функцией температуры, солености и гидростатического градиента, для вертикального градиента  $G_e = dc/dz$  можно записать

$$G_e = a_1 G_t + a_S G_S + a_P G_P, \quad (3.3)$$

где  $G_t$ ,  $G_S$ ,  $G_P$  — градиенты температуры, солености и давления;  $a_1$ ,  $a_S$ ,  $a_P$  — коэффициенты, характеризующие влияние отмеченных факторов на скорость звука.

Анализ комограмм показывает, что скорость звука воззрастает с увеличением любого из трех отмеченных параметров  $T, S, P$ . В самом общем случае значение скорости звука в море является функцией трех координат с  $(x, y, z)$ . Исследования показали, что изменение солености и температуры в горизонтальной плоскости значительно изменяет в вертикальной плоскости, и в первом приближении можно пренебречь.

В наименее ярком можно считать доказанным, что тип акустического распространения скорости звука в первом приближении определяется термической структурой воды. Кроме того, существенную роль при этом играет проницаемость на боковых глубинах.

Наиболее изменчив температура, отмечается в верхнем слое океана. Значительное значение изменения в более глубоких слоях, впрочем, не уменьшается с глубиной.

Такое распределение температуры с учетом солености, которая в первом приближении может считаться линейной по глубине, определяет вертикальное распространение скорости звука.

В поверхностных слоях распространение скорости звука характеризуется отрицательным градиентом, значение которых будет определяться широтой места, сезоном года и глубиной. С увеличением глубины возрастает влияние гидростатического давления. Увеличение скорости звука обусловлено повышением температуры, будет компенсироваться ее увеличением за счет гидростатического давления. Совместное воздействие двух противоречивых факторов в глубоководных районах приводят к возможному минимуму скорости звука. Обычно глубина, сопровождающая минимум скорости звука, называется подводным звуковым камнем (ПЗК).

На рис. 3.2 представлена распространение скорости звука с глубиной в некоторых районах мирового океана [2, 89]. При анализе распределе-

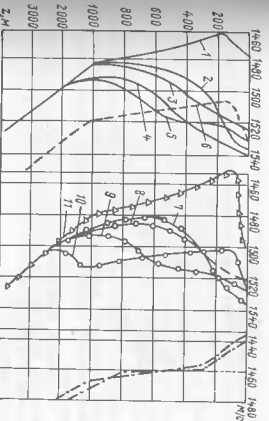


Рис. 3.2. Распределение скорости звука по глубине для некоторых районов Мирового океана: — Атлантический океан, разрез по долготе  $\lambda = 50^\circ\text{S}$ ; — Средиземное море (шаг  $\varphi = 10^\circ$ ); — Атлантический океан, разрез по широте  $\varphi = 40^\circ\text{S}$ ; — Тихий океан, — акустически активные районы (Камчатская котловина);  $- \varphi = 40^\circ\text{S}$ , шир.  $2 - 10^\circ\text{W}$ , шир.  $4 - 20^\circ\text{W}$ , шир.  $6 - 40^\circ\text{W}$ , шир.  $7 - 60^\circ\text{W}$ , шир.  $8 - 40^\circ\text{E}$ , шир.  $9 - 50^\circ\text{E}$ , шир.  $10 - 10^\circ\text{E}$ , шир.  $11 - 50^\circ\text{E}$ .

ний  $c(z)$ , содержащих минимум скорости звука, следует различать кривые  $c(z)$ , в которых скорость звука у поверхности моря меньше скорости звука у дна  $c_p < c_s$ . Во второй группе распространения следуют кривые, у которых  $c_p > c_s$ .

Ниже будет показано, что в первом случае для распространения звука в отмечененных условиях будет характерно возникновение дельных зон акустической освещенности (ДЗАО). У поверхности моря, во втором — глубинных зон акустической освещенности.

**Поглощение и затухание звука в море.** В процессе распространения волн убывает за счет расширения фронта волны, потерями и рассеянием звука. Основными причинами пропускания акустических волн являются вязкость морской воды, теплопроводность и релаксационные процессы, обусловленные наличием растворенных в воде солей. Кроме того, часть акустической энергии расходуется различными неоднородностями.

Коэффициент поглощения, учитывающий вязкость и теплопро-

где  $\mu$ ,  $\nu$  — коэффициенты вязкости и теплопроводности;  $\gamma = c_p/c_V$  — отношение теплоемкости.

Поскольку коэффициент теплопроводности для воды равен  $\nu = 0,5$ , а  $c_p/c_V = 1,001$ , то влияние теплопроводности на поглощение ничтожно мало.

Релаксационные процессы, обусловливающие дополнительное (сверхвзяжковое) поглощение, вызываемые изменениями структур молекул (на частотах порядка 1 МГц) и слегка дисориентацией некоторых солей, в основном  $MgSO_4$  (на частотах порядка 150 кГц).

Наряду с постепенным от среды характером рассеяния акустических волн, Пограудки при распространении являются аддитивными (позволяющими отдельно учесть поглощение и рассеяние). В зависимости от величины их вкладов изменяется время размытия авторами предложены эмпирические формулы для вычисления коэффициента затухания. Наиболее достоверные данные, по-видимому, можно получить по формуле Марти и Шулькина (1962 г.):

$$\beta = \left[ \frac{0,03 \cdot 10^{-2} S f_T^2}{f_T^2 + f^2} + \frac{2,93 \cdot 10^{-2} f^2}{f_T} \right] (1 - 6,54 \cdot 10^{-4} P), \quad (3.4)$$

где  $\beta$  — коэффициент затухания;  $S$  — концентрация,  $\text{g/l}$ ;  $f$  — частота,  $\text{Гц}$ ;  $P$  — статическое давление, атм;  $f_T$  — фрактальная температура,  $^\circ\text{C}$ ,  $f_T = 21,9 \cdot 10^{-6} \cdot (S/10^7)^{2/3}$ . Для опечаток расчетов часто используют формулу Ильиной и Хедли (1957 г.):  $\beta = 0,036 f^2/3$ , дБ/км.

Использованные в работе экспериментальные данные удовлетворительно согласуются с расчетами по формуле (3.4), если частоты колебаний приводятся практическимо 5 кГц. Но даже при этих условиях отрывные экспериментальные значения отличаются от расчетных в 1,5...2 раза.

На рис. 3.3 приведены зависимости  $\beta = \beta(f, T, f_T)$ , рассчитанные по формуле (3.4), при  $P = 0$ ,  $S = 35\%$  и 10% и различным температурам. Поправочный множитель, учитывающий гидростатическое давление  $\rho$ , соответствует формуле (3.4), при  $P = 0$ .

Анализ графиков рис. 3.4, б позволяет сделать следующие выводы. Знаменательное выражение на величину пространственного затухания оказывает температуру и концентрацию воды. С увеличением температуры воды с  $0^\circ\text{C}$  до  $25^\circ\text{C}$  величина  $\beta(f)$  уменьшается в 2,5...3 раза. С уменьшением концентрации затухание  $\beta(f)$  также уменьшается в пропорциональных рядах ската линии  $\beta$  для различных рабочих частот, имеющих ГАС в неискривленном виде, чем в открытых районах. Изменение концентрации пределах  $2\ldots3\%$ /л, характерные для открытого океана, незначительно влияют на величину  $\beta(f)$ . Изменение статического давления может быть легко учтено согласно графику рис. 3.3, б.

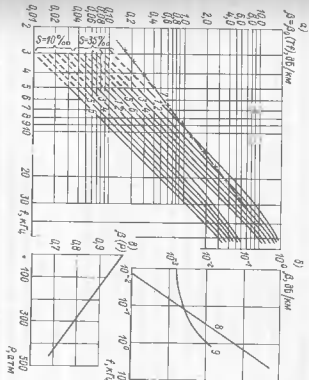


Рис. 3.3. Частотная зависимость коэффициента затухания в морской воде:  
а — зависимость  $\beta = \beta_0(f_T)$  при  $P = 0$ ;  $\beta$  — затухание в изотермической  
воде;  $\beta_0$  — поправочный множитель, учитывающий гидростатическое  
давление;  $f$  — частота колебаний, Гц;  $f_T$  — фрактальная температура,  $^\circ\text{C}$   
б — соответствует температуре воды 0; 10; 15; 20; 25  $^\circ\text{C}$  соответ-  
ственно;  $\beta = \beta_0(0) f^2/3$ ;  $\beta = \beta_0(10) f^2/3$ ;  $\beta = \beta_0(15) f^2/3$ ;  $\beta = \beta_0(20) f^2/3$   
 $\beta = \beta_0(25) f^2/3$

Заданные  $\beta(f)$  на рис. 3.3, б рассчитаны только до частоты 5 кГц. Измерения в море на частотах  $f < 5$  кГц дают значения  $\beta$ , отличающиеся от расчетных на порядок. В литературе отмечается наличие наименее дополнительных релаксационных процессов на частотах  $f = 0\ldots1$  кГц.

Обобщенные данные Тирта [16, 87] вместе с последними работами позволяют коэффициент  $\beta(f)$  на частотах  $0.1\ldots3$  кГц широкомасштабно выраженным  $\beta = \beta_S + 0.11 f_K (1 + f^2)^{-1} + 0.11 f^2$ , где  $\beta_S = 2 \cdot 10^{-4}\ldots4 \cdot 10^{-3}$  дБ/км;  $f_K = 0.5\ldots1.1$ .

Приложение к условиям Приморского звукоизмерительного канала (ПЗК) Хельга предложил для коэффициента пространственного зату-

$$\beta = (1, 0, 94) \left[ \frac{1.776 f^{2/3}}{32.768 + f^3} + \frac{1}{1 + 32.768/f^3} \times \right. \\ \left. \times \left( \frac{0.65 f^2 f_T}{f^2 + f_T^2} + \frac{0.926 f^2}{f_T} \right) \right] \quad (3.5)$$

так  $\beta$ , дБ/км;  $f$ , кГц; частота  $f_T$  определяется так же, как и в формуле (3.4).

Для практических расчетов часто оказывается удобным исполь- зовать выражение для коэффициента затухания вида

$$\beta = \beta(n) r^n, \quad (3.6)$$

где  $n$  — показатель, выбираемый в пределах  $1 \leq n < 2$ ;  $\beta(n)$  — коэффи- циент, соответствующий значению выбранного показателя  $n$ . Виоле- ствует для выбранного значения  $n$  величина  $\beta(r)$  должна соответ- ствовать наименьшему расстоянию между аппроксимацией (3.6)

и экспериментальной зависимостью. В общем случае представляется возможным переход от одного вида аппроксимации к другому. Минимизация ошибки при переходе от аппроксимации с показателем  $n$  к аппроксимации с показателем  $k$  достигается при выборе коэффициента  $\beta$  по формуле

$$\beta(k) = \beta(n) f_1^{n-k},$$

где  $f_1$  — верхняя граница частоты рассматриваемого диапазона частот.

В частности, если имеется экспериментальная зависимость  $\beta$ , то для линейной и квадратичной аппроксимаций получим

$$\beta(n=1) = \beta(3/2) \sqrt{f_2} \approx 0.036 \sqrt{f_2};$$

$$\beta(n=2) = \beta(3/2) f_2^{-0.5} \approx 0.036 f_2^{-0.5}.$$

С учетом коэффициентов пространственного затухания для интен- сивности и давления поля в однородной среде будет справедливо

$$I_s(r) = \frac{P_0 / R_0^2 (1 - 0.2 \beta^2)}{16 \pi^4}, \quad r^2(r) = \frac{P_0^2 \beta^2 (1 - 0.4 \beta^2)}{r^2}. \quad (3.7)$$

режим экспоненцирования

$$I_s(r) = \frac{P_0 / R_0^2 (1 - 0.2 \beta^2)}{16 \pi^4}, \quad r^2(r) = \frac{P_0^2 r_0^2 K^2 (1 - 0.2 \beta^2)}{4 r^4}. \quad (3.8)$$

Здесь  $P_0$ ,  $R_0$  — акустическая мощность и коэффициент концентрации излучения;  $I_s(r)$ ;  $r^2(r)$  — интенсивность и давление центрального снопа и давление экспонента соответственно;  $K$  — элек- тростатический радиус снопа,  $r_0 = 1$  м.

**Изменчивость акустических свойств океана.** С акустической точки зрения океан изменчив: течения, внутренние волны, вихри, ме- лкие масштабные турбулентности измениют горизонтально-стационарный характер

распределения скорости звука. Данные обстоятельства обуславливают в ряде случаев искривленно сплющеный характер акустического поля. На границах крупномасштабных географических регионов, сопосто- ящих волн и скорости звука испытывают резкие перепады. Кроме того, данные характеристики изменяются по правилу распределения, в связи с чем изменяется профиль скорости звука.

Близки к нитекамовым географиям отмечается синоптические вихри, имеющие форму конусов, с простирающимися радиусами до сотен кило- метров и скорость перемещения от 0.25 до 1.5 м/с. В зоне вихрей обра- зуется сплошная простирающаяся структура поля скорости звука, опре- деленная градиентом скорости звука замкнутой плавильной при приближении к центру вихря. Внутренние волны, представляющие собой колебания стоянок скорости звука с периодами от десятка минут до нескольких часов, вызывают фрактуацию амплитуды и фазы сигналов, а также горизонтальную рефракцию акустических лучей.

Справедливо, недавно в литературе появилось понятие „тонкий“ вихрь, существоующий в воде [16]. Тонкий структурой гидрофор-

ических полей принимает устойчивую форму существования неоднород- ностью определенной толщины. Такие характеристики полей окна, как температура, соленость, плотность, скорость течения изменяются с глу- биной не линейно, а скользящим. На толщину конвекции отвечает до десят- ков метров, а горизонтальная протяженность до десятков километров.

Тонкая структура вода может существовать на достаточно низкоминимальном уровне, особенно на достаточно высоких частотах. Мелкомасштаб- ная турбулентность с пространственным размерами от долей до десят- ков метров вызывает флюктуации скорости звука, а следовательно, и рассея- ние акустических волн.

**Влияние поверхности.** Наличие границ среды приводит к рассеянию, поглощению и отражению акустических волн.

Морская поверхность является гравитационным разделяем, на которой величина волнового сопротивления меняется скачком. Этот скачок настолько велик, что энергия, подложенная сквозь на поверхность, практически всяозвращается в воду.

Морская поверхность находится в непрерывном движении и является существенно не равной. Характер акустического поля будет зависеть от целого ряда факторов, основными из которых являются соотношение размеров источника и длины падающей волны.

В общем случае акустического поля состоит из двух компонент: неупругого (коэффициентного) и слушающего (акустического). Коли- чественно соотношение между ними определяется параметром Ритея [7]:

$$\Phi = 2k_0 \sin \alpha; \quad k = 2\pi/\lambda, \quad (3.9)$$

где  $\alpha_0$  — сферически-диаграммическое значение высоты неровностей. Нетрудно видеть, что параметр Ритея определяется не только стечением неру-

ности поверхности, то и частотой падающей волны и углом склонения относительно некоторой средней плоскости.

Если  $\Phi \ll 1$ , то поверхность приблизительно считать симметричной. В первом приближении после преобразований получаем следующую зависимость:

$$\Phi \gg 1, \quad \text{поверхность является сферическией неровной. Остальная полупериодичности части, формируемой отражением звука от средней плоскости, можно ввести понятие коэффициента корректировки отражения:}$$

$$W_{\text{кор}} = \rho_{\text{кор}} / \rho_0,$$

где  $\rho_0$  и  $\rho_{\text{кор}}$  — амплитуды давления в падающей и отраженных волнах соответственно.

В теории дифракции показано, что при нормальном распределении возвышений поверхности

$$W_{\text{кор}}^2 = |W_0|^2 \exp(-\Phi^2), \quad (3.10)$$

где  $W_0$  — коэффициент отражения от плоской границы раздела этих сред.

Для интенсивности отраженной волны следовательно, будем иметь

$$I_{\text{кор}} = I_0 r^2 W_{\text{кор}}^2 / (R + R)^2; \quad r_0 = 1 M,$$

где  $R$  — расстояния точки зеркального отражения от излучателя и приемника соответственно.

При малых  $\Phi$  величина  $\exp(-\Phi^2) \rightarrow 1$ ;  $W_{\text{кор}} \cong |W_0|$ . Практически вся первоначальная энергия соударяется в отраженной волне. С увеличением параметра  $R$  величина  $W_{\text{кор}}$  быстро падает. Так, при  $\Phi \approx 1$   $W_{\text{кор}} \approx 0.4 |W_0|^2$ ; при  $\Phi = 2$  величина  $W_{\text{кор}}$  составляет 2% от величины  $|W_0|^2$ ; при  $\Phi = 3$  — примерно  $10^{-4} |W_0|^2$ . Таким образом, при  $\Phi \gg 1.5 \dots 2$  почти вся энергия цилиндрической волны переходит поверхностью в виде рассеянной волны. Откуда если постулировать полных экспериментальных систем для изучения практике использовать расчетные значения для коэффициентов отражения от статистически неровных поверхностей земли. В частности, формула Мартина [67] имеет вид

$$W = 1 - 0.458 (\beta H)^{3/2} (3H)^{1/10}, \quad (3.11)$$

где  $\alpha$  — угол склонения, град.;  $I$  — частота, кГц;  $H$  — среднее значение высоты волнистот от плоскости до грунта. Выражение (3.11) сплюснуто для случаев длинных по сравнению с размерами неровностей акустических волн.

**Бытие.** Для взаимодействия между акустическими волнами и дном — стоящий процесс. Он включает зеркальное отражение от границы

раздела вода — грунт, рассеяние от неровной границы и неоднородностей в группе и колпачке.

Первый простейший физический моделью для является представление о вида полубесконечного пространства с параметрами, характерными для жесткости. Для коэффициентов отражения плоской волны в этом случае справедлива формула

$$V = \frac{m \cos \theta_1 - \sqrt{n^2 - \sin^2 \theta_1}}{m \cos \theta_1 + \sqrt{n^2 - \sin^2 \theta_1}}, \quad (3.12)$$

где  $m = \rho_2 / \rho_1$  — отношение плотностей грунта и воды;  $n = c_0 / c_2$  — коэффициент преломления;  $\theta_1$  — скорость звука в воде;  $\theta_1$  — угол падения. В общем случае коэффициент преломления является комплексным:

$$c^2 = c^2 (1 + i/\eta), \quad (3.13)$$

где  $c_0$  — вещественная часть скорости звука;  $\eta$  — коэффициент потерь. Коэффициент потерь связан с коэффициентом поглощения  $\beta$  в грунте  $\eta = 2.3 c_1 \beta_T(\omega)$ ;  $c_1$  — скорость звука в грунте. С учетом  $c_2$  выражение для  $V$  примет вид [7],

$$V = A + B; \quad |V| = \sqrt{A^2 + B^2}. \quad (3.14)$$

Здесь

$$A = \frac{m^2 \cos^2 \theta_1 - n^2 \sqrt{\cos^2 \theta_1 + \eta^2}}{m^2 \cos^2 \theta_1 + n^2 \sqrt{\cos^2 \theta_1 + \eta^2} + m n \sqrt{2} \cos \theta_1 \sqrt{\cos^2 \theta_1 + \eta^2 + \cos^2 \theta_2}},$$

$$B = \frac{m n \sqrt{2} \cos \theta_1 \sqrt{\sqrt{\cos^2 \theta_2 + \eta^2} - \cos^2 \theta_2}}{m^2 \cos^2 \theta_1 + n^2 \sqrt{\cos^2 \theta_2 + \eta^2} + m n \sqrt{2} \cos \theta_1 \sqrt{\cos^2 \theta_2 + \eta^2 + \cos^2 \theta_2}}. \quad (3.15)$$

где  $\theta_2$  — угол преломления.

При падении звуковой волны на дно оказывается положительный угол  $\theta_2$  — угол преломления, при падении звуковой волны на дно оказывается отрицательный угол  $\theta_2$  — угол преломления. При падении звуковой волны на дно оказывается положительный угол  $\theta_2$  — угол преломления, при падении звуковой волны на дно оказывается отрицательный угол  $\theta_2$  — угол преломления.

Реальные грунты характеризуются сложной структурой, причем свойствами жидкости может обладать только один, привыкший к воде. Остальные слои характеризуются свойствами твердого тела, в которых распространяется как продольные, так и поперечные волны.

коэффициент отражения от тонкого однородного слоя осадков, расположенного или полубескрайней жесткой скрепой с более высоким акустическим сопротивлением, определяется из соотношения [23]:

$$V = [k_{12} + k_{21} \exp(2/\vartheta \cdot h)] / [1 + k_{12} k_{21} \exp(2/\vartheta \cdot h)].$$

Здесь  $h$  — толщина осадочного слоя, а  $k_{12}$  и  $k_{21}$  — коэффициенты отражения для соответствующих поверхности раздела;  $\vartheta_2$  — азимутальная составляющая волнистого числа в слое.

Нетрудно видеть, что для данного  $h$  коэффициент отражения зависит как от частоты, так и от угла склонения. При пологом склонении величина  $\vartheta_2$  будет комплексной  $\vartheta_2 = a + j\beta$ , где  $a$  — вертикальная составляющая волнового числа в слое,  $\beta$  — коэффициент затухания. Поскольку потопление пропорционально частоте, коэффициент  $\vartheta$  при  $\beta_a \gg 1$  будет достигать значений  $k_{12}$  для высоких частот.

При выполнении акустических сигналов с реальным дном моря практическая никотина не проявляет зеркального отражения. В первоначальном виде он же следует окантовке наименее когерентной и сплошной составляющей. Когерентная составляющая формируется постепенной поверхностью. Направление когерентной составляющей близко к вертикальну направлению. Неровности дна и небольшой грунт, покрывающий сплошную составляющую, направления которой в перекрестье сплошной.

Форма нелинейности рассеяния звука дном существенно зависит от характера неровностей, частоты акустического поля и угла падения. В хартии отклика в реальном дне нелинейность рассеяния в зеркальном направлении имеет сравнительно узкий максимум. В остальных направлениях уровня рассеяния резко падают. Узкий максимум нелинейности генерируется плавными погодными колебаниями, а широкий — волами, которых много больше, чем длина акустической волны. Эти не ровности могут лежать как на поверхности, так и на дне. Для очистки И. А. Андреевым широку максимума над участком реального дна составляет  $8 \dots 10^\circ$ . Существование в нелинейном рассеянии максимума позволяет так же, как и в случае рассеяния поверхностью моря, проверять когерентному значению коэффициента отражения  $V$ .

Форма  $V$  определяется из экспериментальных данных.

Для акустической оптики коэффициента отражения от многоголосого дна могут быть использованы соответствующие выражения для коэффициентов  $V$  при отражении от системы плоскопараллельных слоев [25].

Учитывая стоянность получения эффективных коэффициентов отражения от морского дна, для практических целей может быть рекомендована эмпирическая зависимость  $V = V(\theta)$  (см. рис. 3.4).

Следует отметить, что наряду с коэффициентом отражения в literature часто встречается понятие коэффициента потерь при отражении, под которым понимают величину

$$k_H = -10 \lg |V_{\text{eff}}|^2. \quad (3.16)$$

Затухание звука в осадочной толще осадка зависит от частоты, раз.,  $a_{\text{eff}}$  (пространство — отношение объема, занятого водой, к объему объема, занятому водой, в отсутствии осадка),  $a_{\text{eff}} = 0.29$ .

Мерой частоты и пористости осадков является коэффициент  $\beta$  (пористость — отношение объема, занятого водой, к объему объема, занятому водой, в отсутствии осадка). При переходе от мелководья к глубинам  $k_H$  падает, а размер основных частиц возрастает. Типичные размеры частиц при составлении  $10^{-4}$  отражения акустического сигнала из почвы частицы  $a$  угла склонения  $10^{-2}$  см и пористости  $70 \dots 80\%$ .

Средний диаметр частиц песка достигает  $0.05$  см, а пористость при этом уменьшается до  $35 \dots 40\%$ . Величина коэффициента (затухания) в группе возрастает с частотой  $f$  по закону Билокуму — — обратно пропорционально  $f^2$ . Рис. 3.4. Зависимость коэффициента отражения акустического сигнала от частоты  $\theta$  угла склонения  $\alpha$  и пористости  $\beta$  почвы. Максимальное значение коэффициента для стандартного тритона, — — обратно пропорционально  $\theta^2$ . Данные Билокума и Билокумского, сплошной кирсановские, сплошной Марина, сплошной — — диапазон Марина, сплошной — — диапазон Билокума и Билокумского.

$\beta = \beta(f, \theta, \beta, k_H)$

где  $\beta = f, \beta \leq k_H$ ;  $f$  — частота,  $\text{кГц}$ . Значения коэффициентов  $\beta$  и  $k_H$  зависят от свойств грунта, являются эмпирическими постоянными. Как показали измерения в песчаниках, итисках, глиняных и других типах грунтов,  $\beta$  практически равно единице;  $k$  зависит от пористости, равно приблизительно  $0.5$  для пористости  $35 \dots 60\%$ .

Акустические волны, рассеянные средой и ее границами в направлении к приемнику, формируют развернутые конические скрепы. Радиация — посторонние скрепы, результат рассеяния звука низкочастотными средами и границами, свойственны только активным ГАС. Формируясь на частоте излучения и воссоздаваемые только активным ГАС. Формируясь симметрически, развернутая коническая скрепа является полусферой, существенно снижающей эффективность ак.

В зависимости от характера низкочастотного излучения и гравитации разбросаны объемистую скрепу и гравитационную.

Образная разборка изображения рождается безразличной скрепой, сплюснутой — пропорционально коэффициенту стоянности рассеяния, эмульсионизирующей изображение.

Гравитационная разборка является результатом рассеяния звука поверхностью и дном моря при больших углах склонности, когда пропорциональный и осадочный слой пронизывается падающими волнами.



Рис. 3.4. Зависимость коэффициента отражения акустического сигнала от угла склонения  $\theta$  и частоты  $f$  (Гц).

Рис. 3.5. К обяснению формирования изображения звука в морской воле.

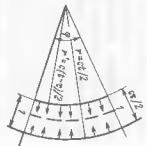


Рис. 3.5. К обяснению формирования изображения звука в морской воле.

В тоже время реверберация фиксируется как физикующийся спадающий во времени случайный процесс. В любой момент времени радиограмма формируется стечением пространственной протяженностью ср. Это непрерывно доказывается. Если длительность зондирующего импульса ср в пространстве распространения волной пакет простирается ср (рис. 3.5).

В некоторый момент времени передний фронт посыпает часть волны в обратном направлении. Через время  $\tau/2$  эта часть волны встречается с задним фронтом, который перемещается в положение  $-l/l$  и формирует реверберационный сигнал. Для расчета урожайной реверберации необходимо знание коэффициентов рассеяния в обратном направлении.

### § 3.2. Основы методов оценки поля в морской среде

**Общая характеристика методов оценки поля.** Страгическое решение задачи распространения акустических волн в ограниченных средах возможно с использованием методов волной акустики.

Остальные волны являются решением волнового уравнения (3.1) для заданных начальных и граничных условий [2, 16]. Для бесграницной однородной среды решение волнового уравнения затруднено неизвестной. В реальной среде скорость звука является функцией пространственных координат  $x, y, z$ . В первом приближении изменением скорости звука в функции координат  $x$  и  $y$  можно пренебречь. Тогда модель соответствует так называемой сплошной-бесконечной среде, в которой скорость звука является только функцией глубины.

Решение уравнения (3.1) с использованием метода Fourier при излучении гармонических волн с учетом цилиндрической симметрии задачи для среды с границами приводят к следующему результату

$$p(r, z) = \sum z_i(z) H_0^{(1)}(u_i r) + \psi(r, z), \quad (3.17)$$

где  $z_i$  и  $z$  – координаты источника и приемника соответственно;  $r$  – горизонтальное расстояние;  $u_i$  – горизонтальные волновые числа;  $H_0^{(1)}(u_i r)$  – функция Гипсса первого рода (нулевого порядка);  $\psi$  – представляет эзид, даваемый некородными (экспоненциальную затуханием с расстоянием) волнами и боковой волной. При  $r \gg \lambda$  исчислением

$$H_0^{(1)}(u_i r) = \sqrt{2/\pi} u_i r e^{j\phi} (u_i r - \pi/4). \quad (3.18)$$

Сумма в правой части (3.17) описывает совокупность нормальных волн, которые являются стоячими в направлении оси  $z$  и бегущими в фазовой скоростью  $v = \omega/a$  в направлении оси  $z$ . Такие волны называют нормальными волнами или модами, поскольку они соответствуют

движениям, при которых вся среда колеблется с одной частотой  $\omega$ . Амплитуды нормальных волн на больших расстояниях определяются пропорционально расстоянию (инвариантский закон среды). Боковые волны распространяются между границами среды со скоростью, равной скорости распространения волн в обратном направлении. Амплитуды боковых волн убывают с расстоянием по закону  $1/r^2$ .

Нормальные волны определяют величину акустической энергии, захватываемую волноводом и имеющую доминирующее значение на больших расстояниях от источника. При отсутствии волновых эффектов, а также на больших расстояниях в формировании поля играют важную роль боковые волны.

Таким образом, акустическое поле, являясь суперпозицией определенного числа нормальных волн, имеет сложную интерференционную структуру. Хотя определение амплитуд и фазы каждой нормальной волны не представляется принципиальной трудностью, их суммирование может оказаться весьма сложной задачей. Количественно нормальные волны определяются соотношением концентрации стока к длине волны  $H/L$ . На больших расстояниях число нормальных волн может быть весьма велико, что создает трудности при вычислениях.

Расчет поля с использованием волнового уравнения (3.17) приводит в достаточно широком диапазоне частот, начиная от 1 Гц по десятки кГц. Однако в большинстве случаев решение волнового уравнения заканчивается интегрированием преисповеданника. Доведение решения до суммы нормальных волн оказывается возможным только для весьма ограниченного числа сравнительно простых профилей  $s(z)$ , но охватывающих всего многообразия встречающихся в практике распределений.

Задача несколько облегчается, если зависимость скорости звука от глубины аппроксимировать ступенчатой функцией. Ступенчатая аппроксимация профиля  $s(z)$  является переходом к модели состоящей из системы однородных сред на однородном полупространстве [5, 6]. Результат показывает, что если гольмиан слова не превосходит ширины полосы, то такая аппроксимация позволяет получить достаточно точный результат.

Как математическое представление, так и решение в виде суммы нормальных волн не позволяют довести задачу о поле точечного источника до результатов, поддающихся анализу и математической интерпретации.

Отличительные трудности математического и вычислительного плана, отсутствие возможности физической интерпретации решений тесно связаны с разработкой приближенных методов расчета поля в оканчивающейся в точку, которую в первую очередь следует отнести методы, основанные на гипотезе (геометрической) теории.

Лучшая теория является аналитическим решением волновой теории и дает удовлетворительные результаты только при  $f \rightarrow \infty$ , т. е.

Основными достоинствами лучевой теории является ее удивительная простота, наглядность, возможность оценки поля при практической любых профилях скорости звука, независимо в пространстве.

Создание вынужденных устройств уединенных сфер при применении лучевой теории. Можно сказать, что лучевая аналитика в практической гидроакустике в настороднее время преобладает над волновой теорией.

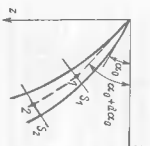


Рис. 3.6. Энергетическая трубка  
источника и приемника звука вблизи дна. Лучевая теория не учитывает частотную зависимость параметров поля (фактора фокусировки), что противоречит физике явления.

*Разрушение звуковой структуры поля* — поле в области тени может быть описано только с помощью волновой теории. Учитывая большую практическую значимость лучевой теории для решения многих задач практической гидроакустики, рассмотрим ее более подробно.

**Лучевая теория акустического поля в окрестности (геометрической теории) акустического поля** является представлением об акустических лучах, передаваемых волной поверхности в каждый момент времени, вдоль которых осуществляется передача акустической энергии.

Два луча, выходящие из источника звука с углами склонения  $\alpha_0 + d\alpha_0$  и  $\alpha_1 + d\alpha_1$ , образуют энергетическую трубку (рис. 3.6). В соответствии с законом сохранения энергии амплитуда давления в некоторой точке может быть определена из следующего очевидного соотношения:

$$\rho_2 = \rho_1 \sqrt{\rho_1 c_2 z_2 / \rho_2 c_1 z_1}, \quad (3.19)$$

где  $S_1, S_2$  — площади поперечного сечения энергетической трубы в точках  $z_1$  и  $z_2$ ;  $\rho_1, \rho_2, c_1, c_2$  — параметры любой расположенной впереди энергетической трубы можно считать с начальном амплитудой единицей. Использовано явное выражение фокальные точки  $J_1, J_2$  и окрестности касания, где  $S_2 \rightarrow 0$ .

Нетрудно видеть, что подобным способом амплитуду волны на любом расстоянии впереди точечного источника можно считать с начальном амплитудой единицей. Помимо этого, можно сформулировать закономерности распространения звука в пространствах координат.

Таким образом, для расчета поля необходимо определение площади поперечного сечения локализованных энергетических трубок, что в свою очередь, требует расчета траекторий акустическихлучей при заданном распределении скорости звука в физике и пространственных координатах. В стационарной среде касательная к траектории луча должна удовлетворять закону Снеллиуса:

$$c(z_0) \cos \alpha_0 = c(z_1) / \cos \alpha_1 = c(z_2) / \cos \alpha_2 = \dots = c(z_r) / \cos \alpha_r = c_r(z).$$

Величина  $c_r$  является скоростью звука на горизонте, где луч горизонтален ( $\alpha = 0$ ). Луч претерпевает полное внутреннее отражение, выражение (3.21) показывает, что угол склонения на некотором горизонте  $z_r$  определяется углом  $\alpha_0$  на горизонте  $z_0$ , отношением скоростей

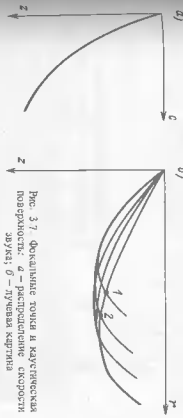


Рис. 3.7. Фазовые точки и акустическая поверхность:  $\varphi$  — радиопротяжение скорости звука;  $\sigma$  — лучевая картина

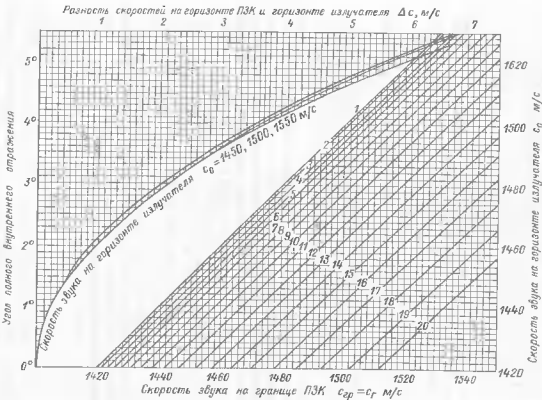


Рис. 3.8. Номограмма для расчета  $\alpha_r = f(\Delta c_r)$  при  $c_r = \text{const}$  и  $c_r = r(\Delta c)$  при  $c(z_r) = \text{const}$

$c(z_r)/c(z_0)$  и не зависит от знака скорости звука в промежуточных зонах.

$$c(z_r)/\cos \alpha_r = c_r(z).$$

Соотношение (3.21) позволяет решить две задачи, имеющие практический интерес:

- при заданном  $c_r$  определить угол склонения на любом горизонте, где величина скорости звука  $c(z)$  известна;
- при заданном  $c(z)$  и угле склонения на этом горизонте  $\alpha_r$  определить величину скорости  $c_r$ , где луч преграничит полное внутреннее отражение ( $\alpha_r = 0$ ).

На основании формулы (3.21) составлена номограмма (рис. 3.8), позволяющая решать данные задачи. Номограмма действительна для значений угла  $\alpha = 0 \dots 20^\circ$ . При сопоставлении  $c_0$  и  $c_r$  пожеших в пределах 1420 .. 1550 м/с. В области неплохих углов  $0 \dots 5^\circ$  номограмма представляет графическую запись, по которой  $\alpha_r = f(c_r)$  при  $\alpha_r = \text{const}$ . Для углов  $2 \dots 20^\circ$  номограмма изображена зависимостью  $c = f(c_r)$  при  $\alpha_r = \text{const}$ .

Траектория акустического луча, прямой скорость звука является линейно-ускоряющей функцией глубины (рис. 3.9);

$$c(z) = c_0 [1 - a(z - z_0)], \quad (3.22)$$

где  $c_0$  — скорость звука на глубине излучателя  $z_0$ ;  $a = \frac{1}{c_0} \left| \frac{dc}{dz} \right|$  — относительный градиент скорости звука.

В соответствии с законом Снеллиуса для луча будет рефрактировать вниз. Из бесконечно малого элемента луча имеем

$$dr = |dz/tg \alpha|.$$

Полное горизонтальное расстояние, проходимое лучом, равно

$$r = | \int_z^z dz/tg \alpha |, \quad (3.23)$$

Так как текущий угол склонения на горизонте  $z$  связан с утлом входа луча в этот слой как  $\cos \alpha = \cos \alpha_0/r$ ,  $r = c_0/c(z)$ , для расстояния  $r$  получим

$$r = \cos \alpha_0 \left[ \int_{z_0}^z \frac{dz}{\sqrt{n^2(z) - \cos^2 \alpha_0}} \right]. \quad (3.24)$$

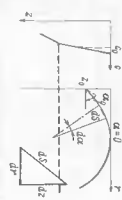


Рис. 3.9. Траектория акустического луча при постоянном градиенте скорости звука

Если луч между горизонтами  $z_0$  и  $z$  не испытывает полного внутреннего отражения, то поставим (3.22) в (3.24) находим

$$r = \cos \alpha_0 \int_{z_0}^z \frac{[1 - a(z - z_0)] dz}{\sqrt{1 - [1 - a(z - z_0)]^2 \cos^2 \alpha_0}}. \quad (3.25)$$

После замены переменной  $\xi = [1 - a(z - z_0)] \cos \alpha_0$  и интегрирования имеем:

$$r = [\sin \alpha_0 + \sqrt{1 - [1 - a(z - z_0)]^2 \cos^2 \alpha_0}] / a \cos \alpha_0. \quad (3.26)$$

После некоторого преобразования

$$(r - 1 \sin \alpha_0 / a)^2 + [1/a - (z - z_0)]^2 = 1/a^2 \cos^2 \alpha_0. \quad (3.27)$$

Из (3.27) видно, что при  $a = \text{const}$  траектория луча является дуги окружности радиуса  $\rho = 1/a \cos \alpha_0$  с координатами центра в точке

$$r_u = 1 \sin \alpha_0 / a; \quad z = z_0 + 1/a. \quad (3.28)$$

С учетом формулы (3.21) уравнение (3.27) может быть записано в следующем виде:

$$r = [\sin \alpha(z) - \sin \alpha_0] / \cos \alpha_0. \quad (3.29)$$

В случае произвольного профиля скорости звука траектория луча может быть представлена как сопряженные дуги окружностей различных радиусов. Звуковая скорость  $c(z)$  при этом аппроксимируется линейными отрезками. Вся проекция луча на ось  $r$  в этом случае может быть представлена суммой

$$r = \sum_{i=1}^n h_i \operatorname{ctg}[(a_{i-1} + a_i)/2]. \quad (3.30)$$

Здесь  $n$  — число отрезков аппроксимации кривой  $c(z)$ ;  $h_i$  — толщина ступ. По формуле (3.30) с учетом малости угла скольжения  $\alpha$  составляется номограмма для определения расстояния  $r$  в слое толщиной  $h$ , рис. 3.10.

Аналитическим образом выражается и время пребывания волны в поле  $S$ . Согласно рис. 3.9 время пребывания волновой зондации  $t$  для луча  $dt = dS/c(z) = dz/c \sin \alpha(z)$

$$(3.31)$$

$$dt = \rho \, dz; \quad dt = \rho \, da/c(z) = da/G_c \cos \alpha$$

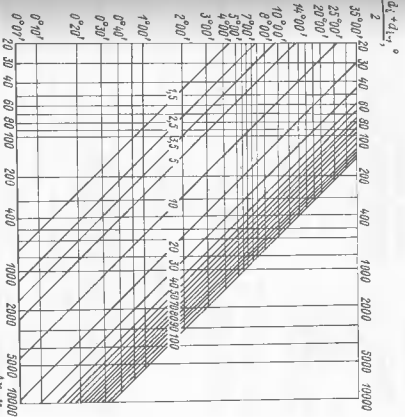


Рис. 3.10. Номограмма для построения траектории акустического луча

Время пребывания волны от горизонта с углом скольжения до точки поворота луча (на горизонтальном расстоянии полудиаметра луча):

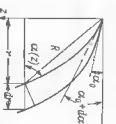
$$t = \frac{1}{2 \pi c_0} \ln \frac{1 + \sin \alpha_0}{1 - \sin \alpha_0}, \quad (3.32)$$

Фактор фокусировки. В рамках лучевой теории интенсивность звука, излучаемая некоторым источником, определяется законом расширения лучевой трубки, если допустить, что энергия не выходит за ее границы (рис. 3.11).

Мощность, получаемая источником в конусный угол  $d\Omega$ , составит

$$dP_a = \frac{P_a 2\pi \cos \alpha_0 \, d\alpha_0}{4\pi}.$$

Площадь волнового фронта, заключенная в пределах углов  $\alpha_0$  и  $\alpha_0 + d\alpha_0$ , в рефракционной среде с учетом шарнирной симметрии звуковой волны



$$dS = 2\pi r \Delta r \sin \alpha(z) =$$

$$= 2\pi r \sin \alpha(z) |\partial r / \partial \alpha_0| d\alpha_0.$$

Рис. 3.11. К определению фактора фокусировки  $r = r(\alpha_0)$ .

Таким образом, интенсивность звука в некоторой произвольной точке  $(r, z)$  выражается как

$$I(r, z) = \frac{dP_a}{dS} = \frac{P_a}{4\pi R^2} \frac{R^2 \cos \alpha_0}{r |\partial r / \partial \alpha_0| \sin \alpha(z)} = \frac{P_a}{4\pi R^2} f(z, r). \quad (3.33)$$

Из (3.33) следует определение фактора фокусировки, как ототношения силы звука в радиальной ортот к силе звука в однородной среде. На больших расстояниях  $R \gg r$ , следовательно:

$$f(z, r) = \frac{R^2 \cos \alpha_0}{r |\partial r / \partial \alpha_0| \sin \alpha(z)} \approx \frac{r \cos \alpha_0}{|\partial r / \partial \alpha_0| \sin \alpha(z)}. \quad (3.34)$$

Таким образом, акустическое поле источника будет определено, если известна аналитическая зависимость для горизонтального расстояния  $r$  и существует производная от него по пути выхода луча из источника. Фактор фокусировки может быть больше и меньше единицы. При  $f \gg 1$  или  $f \ll 1$  получена теория концентрации. При  $f \rightarrow 0$  получена теория дифракции звука.

Полученная теория достаточно хорошо описывает звуковых лучей, если на длине акустической волны скорость звука может считаться неизменной. Количественно это выражается неравенством

$$\alpha \lambda \ll 1, \quad (3.35)$$

где  $\alpha$  — относительный градиент скорости звука.

Л. М. Броховский для случая пологоградиентной рефракции получил еще одно условие применимости лучевой теории, отграничивающее значение угла скопления на заднем горизонте в зависимости от градиента скорости звука и частоты:

$$\sin \alpha_0 \geq (a / \lambda / 2\pi)^{1/3}. \quad (3.36)$$

Выражения (3.35) и (3.36) являются условиями применимости лучевой теории. Из (3.24) также следует, что фактор фокусировки обращается

в бесконечность в точках заворота луча ( $\alpha(r)=0)$ ) и в области кустик, где  $\partial r / \partial \alpha_0 \rightarrow 0$ .  
Каутиком является отображение симметрии лучей (рис. 3.7). Уравнение каутикома имеет вид

$$r = r(\alpha_0, z),$$

где  $\alpha_0$  — параметр семейства лучей, выходящих из источника звука. Отображение семейства таких лучей находится исключением из  $r(\alpha_0, z)$  углов  $\alpha_0$ . Следовательно,

$$\partial r / \partial \alpha_0(z) / \partial \alpha_0 = 0 \quad (3.38)$$

Из формулы (3.38) видно, что на каутике фактор фокусировки обращается в бесконечность.

### § 3.3. Распространение звука в „мелком море“

„Мелкое море“ — понятие весьма условное, поскольку нет строгого критерия различия. С географической точки зрения это районы морей и океанов с глубинами местами 200 метров. С акустической точки зрения именуется „мелким“ водой в [2, 16] согласно значению безразмерного параметра  $\kappa h \leq 10$ , где  $\kappa$  — горизонтальное волновое число;  $h$  — глубина моря. В другой работе термин „мелкое“ море относится к морям, в которых акустическое поле формируется за счет многократных отражений от поверхности и дна. [67]. Другими словами, мелкое море характеризуется распространением звука на расстояниях, превышающие по крайней мере в несколько раз глубину.

Для процесса распространения звука в условиях мелкого моря характерно сложность теории и трудности математического описания акустических свойств, как границ, так и среды, заключенной между ними. В частности в прямом скоплении для геометрических подходов опаска акустического поля в мелком море. Обычно используют функции, являющиеся решением волнового уравнения и дополненные корректировками, позволяющими учесть акустические характеристики границ.

Основные выводы волновой теории распространения звука в „мелком море“, первые результаты с использованием волновой теории были получены в предположении независимости скорости звука от глубины в пределах некоторого вида сплошного и плоскограницых границ. Для модели среды состоящей из однородного слоя и плоскограницей границами, для которых абсолютной мягкой (стороной) и абсолютно жесткой (стороной), получено следующее выражение для потенциала скорости на больших по сравнению с длиной волны расстояниях [2]:

$$\varphi(r, z) = \frac{2 \exp(i\pi/4)}{H} \sqrt{\frac{2\pi}{r}} \sum_{l=1}^{\infty} \cos \left[ \frac{\pi(l-1/2)z}{H} \right] \times$$

$$\times \cos \left[ \frac{\pi(l-1/2)r}{H} \right] \frac{\exp(iq_1 r)}{\sqrt{a_l}} \quad (3.39)$$

Здесь  $a_l$  — горизонтальная компонента волнового вектора  $k$ ;  $z_0$  — координата источника звука (рис. 3.12), представляется суммой, так называемых нормальных волн, амплитуды которых убывает по экспоненциальному закону. При расположении источника на поверхности моря amplitude всех нормальных волн равны нулю. По мере заглубления источника звука поле, определяемое произведением множителей, находящихся под знаком суммы, будет отличаться от нуля, но квазиравномерно (дополнительным знаменем), когда поле каждого источника гаснет по всему источнику, работавшему в прошлом. В рассматриваемом случае имеется одновременно много пар источников, находящихся в противофазе.

Волновое число каждой нормальной волны определяется выражением

$$a_l = \omega / c \Phi_l = \sqrt{(k_0 H)^2 - (l-1/2)^2 r^2 / H}. \quad (3.40)$$

Здесь  $\omega$  — волновое число для безграничного пространства;  $c \Phi_l$  — фазовая скорость волны номера  $l$ . При  $k_0 H < (l-1/2) \pi$  волновое число становится минимумом, что соответствует о дополнительном волновом затухании нормальных волн. Соответствующие этому случаю нормальные волны представляют недогородные волны с антизональной убыванием при увеличении  $r$  по экспоненциальному закону. Частота для нормальной волны с индексом  $l=1$ , для которой  $k_0 H = \pi/2$ , называется критической.

Волны с частотами ниже критической практикой не рассматриваются. Этой причиной и объясняется затухание инфразвуковых волн, для которых кинетическое потопление преобразуется мало.

Реальная граница киргизской зоны лежит между частично отраженными и моделями, включющей оптический слой со склоном звука  $\frac{dz}{dr} = \frac{|V|^2}{c_1^2}$ ,  $c_1$  — волевой speed, плотность которой  $\rho_1 > \rho_2$ ,  $c_2 > c_1$ , критическая частота первой нормальной волны определяется выражением

$$f_{\text{кр}} = c_1 / 4H \sqrt{1 - \frac{r_1^2}{r_2^2}}, \quad (3.41)$$

Рис. 3.12. К выражению (3.39). Здесь  $H = c_1 / c_2$ .

Выражение (3.41) получено в предположении отсутствия дифракции сферы. Сточно (3.41) оказывается возможным определить скорость звука в группе при условии экспериментального определения критической частоты поливолны. Необходимо

сделать только один измерения скорости звука в группе при условии отсутствия поливолны.

Выражение (3.39) справедливо для упрощенной модели среды. В более точной модели используется представление для вида совокупности плоскоколлипсальных волн с различными скоростями  $c_1$ ,  $c_2$ ,  $c_3$ ,  $c_4$  и толщинами  $r_1$ ,  $r_2$ ,  $r_3$ ,  $r_4$ , падающих на упрочное покрытие. Исследование показали, что степень совпадения результатов экспериментальных исследований с теорией существенным образом зависит от правильного выбора параметров  $c_1$ ,  $r_1$ ,  $H$ .

В редких случаях для оценки эффективности ГАС оказывается достаточным использование усредненных законов стечения интенсивности поля с расстоянием.

**Усредненные законы стечения звука в мелком море.** Акустическое поле в мелком море на больших расстояниях представляет собой набор горизонтальных волн и имеет сплошную интерперерывистую структуру.

Флюктуации параметров среды и излучателя позволяют считать к усредненным законам стечения интенсивности и давления, имеющих большое практическое значение.

При расчете поля в группе (практике полагается методом минимумов источников, находящихся широкое применение в акустике [2, 16].

В случае расположения источника звука в точках  $(0, z)$  и  $(0, r)$  от центра  $H$  (рис. 3.13). Поле в произвольных точках  $(r, z)$  будет суперпозицией прямой волны и волны, отраженной от границы. Волны, отраженные от границ, можно рассматривать как волны, излученные минимумами источников, явившимися зеркалами отображениями действующих источников в плоскости соответственно  $z=H$  и  $z=0$ . Ориентации источников первой четверти лучше соответствуют  $O_1$ ,  $O_2$ ,  $O_3$ ,  $O_4$ ,  $O_5$ .

Процесс таким образом можно построение минимумов источников, можно получить выражение для суммарного поля. При этом каждая пара минимумов источников будет все более удалена от граничной плоскости. В удаленной точке с координатами  $(r, z)$  акустическое давление представляет сумму волн

$$p = p_0 \sum_{l=0}^{\infty} \frac{R_l \exp(ikr_l)}{r} \quad (3.42)$$

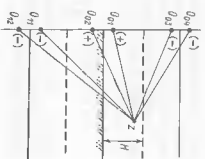


Рис. 3.13. Картинка минимумов источников

где  $\rho_0$  — гавиение источника на единичном расстоянии;  $R_i$  — амплитуда коэффициента отражения, соответствующий  $i$  минимуму источнику;

$\exp(iKt)$  — фазовый множитель ( $K = 2\pi/\lambda$ ).

Переход к энергетическому суммированию волн и учитывая потерю при отражении волн на границах для упрощенного закона спадания, получаем [2]:

$$p^2(r) = \frac{\rho_0^2 a_0^2}{r^{3/2}} \sqrt{\frac{\pi}{2H(a_1 + a_2)}}, \quad (3.43)$$

где  $a_{1(2)}$  — параметр коэффициентов отражения от границы.

Коэффициент отражения от поверхности и дна моря при этом записывается в виде

$$W(z) = \exp(-4a_2 a_1); \quad Y(z) = \exp(-4a_1 a_1), \quad (3.44)$$

где  $a_1$  — угол склонения луча у границы.

Значения параметров  $a_{1,2}$  определяются так:

$$\sigma = \operatorname{Re} m \sqrt{n^2 - 1},$$

где  $m = \rho_2/\rho_1$ ;  $n_1 = c_1/c_2$ ;  $n_2 = c_2/c_1$ ,  $\rho_1$ ,  $c_1$  — плотность и скорость звука (непосредственно в едином стое, а  $n_2$  и  $\rho_2$  — в  $2/3$ -группе и волокне соответственно).

Выражение (3.43) представляет собой закон  $3^{1/2}$  для упрощенного сопротивления синусоиды в мелком море. По оценке Л. М. Берковских оно справедливо при условии

$$1 \ll \sigma r / H \ll (kH/n)^2; \quad \sigma = a_1 + a_2.$$

После логарифмирования (3.43) и учета пространственного затухания

$$20 \lg P(r) = 20 \lg \rho_0 - 20 \lg r - \beta r + 5 \lg r + A = 20 \lg P_0 - \Pi^*, \quad (3.46)$$

где  $P$  — потеря на распространение, обусловленные расширением фронта волны, пространственным затуханием и акустическими свойствами горизонта;  $A = 10 \lg \sqrt{2H/(n_1 + \sigma_1)}$ .

Следует подчеркнуть, что вопрос о расчете потерь на распространение в гидроакустике уделяет большое значение, поскольку только после этого возможна оценка эффективности ГАС при решении сводимых к нему задач. Приведенные для мелкого моря разработки Л. М. Берковских, для поля в условиях отрицательной рефракции и больших расстояний получено следующее выражение [2.16]:

$$P^2 = \frac{2}{r^{3/2}} \sqrt{\frac{\pi}{f''(0)}} |D(G_{\text{диф}})| \operatorname{tg} \alpha_{\text{диф}} |^{-1} \exp[-2r f'(0)], \quad (3.47)$$

где

$$f(a_n) = -\frac{\partial}{\partial a_n} \left[ \frac{\ln V(a_n)}{D(a_n)} \right] \frac{c_n \sin \alpha_0}{c_0 \sin \alpha_n}; \quad f'(0) = 0,$$

$$f''(0) = \left\{ \begin{aligned} &\frac{\partial}{\partial a_n} \left[ \frac{\ln V(a_n)}{D(a_n)} \right] \operatorname{ctg} \alpha_n \\ &a_n \end{aligned} \right\}$$

$D$  (а<sub>н</sub> — длина пикса луча; а<sub>0</sub>, с<sub>0</sub>, с<sub>н</sub> —  $(z, c, z, c)$ ,  $(z, c, z)$  — углы склонения и скорости звука на горизонтах источника звука, дна и приемника соответственно. Мощность источника нормирована таким образом, что в однородной среде  $\rho^2 = 1/r^2$ .

Таким образом, соотношение (3.43) может быть использовано для оценки поля в однородном стое волны (3.47) — в силу приложения метода рефракции кисинеских лучей. Упрощение (6.7), отмечая сложность оценки поля в мелком море, предполагает сопоставление упрощенных законов спадания, полученных Маршем и Шульцием:

$$p^2(r) = \frac{\rho_0^2 r_0^2}{r^2} 10^{-0.1 \rho r} A L; \quad (3.48)$$

$$p^2(r) = \frac{\rho_0^2 A^2}{r^{3/2} D^{1/2}} 10^{-0.1 \rho r} 10^{-0.01 \alpha_r (r/D - 1)}; \quad (3.49)$$

$$p^2(r) = \frac{2.82 \cdot \rho_0^2 c_0^2 A L}{r} 10^{-0.01 \rho r} 10^{-0.4 r (r/D - 1)}. \quad (3.50)$$

Здесь  $F_L$  — фактор аномалии в близи поле, определяемый в зависимости от частоты по линиям табл. 4;  $r$  — расстояние, м;  $\rho$ ,  $\sigma$  — коэффициент затухания в мелком море;  $D$  — параметр, определяемый в выражении (3.48). Расстояние  $r$  входит в множества затухания, км.

В выражении для  $D$  входит  $H$  — глубина моря, м;  $L$  — толщина

изогоризонтного (если он имеется) стоя, прямиком к поверхности, м. Параметр  $D$  определяется в КМ. Соответствующим выражением (3.48) . . . (3.50) справедливы для значений параметра  $D$ :

$$r < D; \quad D \leq r \leq 8D; \quad r > 8D.$$

Последний случай соответствует большим расстояниям. Потеря на распространение при этом, аналогично (3.46), составляет

$$\Pi^* = -10 \lg P - \beta r - a_1 (r/D - 1) - 10 \lg H - 64.5 + AL.$$

Таблица 4. Факторы, определяющие потерю при распространении звука в мелком море

Частота, кГц	Состояние моря, баллы					
	1	2	3	4	5	
Песок	Ил	Песок	Ил	Песок	Ил	I. Зависимость фактора аномалии $A_L$ , дБ
0.2	6.2	6.1	6.2	6.1	6.1	6.0
0.4	6.1	5.8	6.1	5.8	6.1	5.8
0.8	6.0	5.7	5.9	5.3	5.0	4.7
1.0	5.9	5.5	5.7	5.3	4.9	4.5
2.0	5.3	4.9	4.2	3.8	3.4	3.0
4.0	3.9	3.5	3.6	3.1	3.5	3.0
8.0	3.3	2.8	2.9	2.6	2.3	2.2
10.0	3.1	2.6	2.7	2.2	1.7	1.6
II. Коэффициент затухания в мелком море, $b$						
0.2	1.3	1.3	1.3	1.3	1.3	1.3
0.4	1.6	2.2	1.6	2.2	2.4	2.2
0.8	1.8	1.9	2.2	3.0	3.8	4.0
1.0	1.9	2.7	2.1	2.9	2.9	4.3
2.0	2.4	3.5	3.1	4.7	5.0	5.7
4.0	3.5	5.2	3.7	5.5	5.8	6.4
8.0	4.3	6.3	4.5	6.7	6.9	7.0
10.0	4.5	6.8	4.8	7.2	5.0	7.5

Рекомендации в "мелком море". В мелком море на формирование поверхности существенное влияние оказывает подвижность моря с присущими ему водулишками пульпами, шероховатостью и неровностью дна. Другими словами суммарная рекордная является суммой стационарной и границной рекордации. Соотношение между ними будет определяться параметром акустических характеристик границы. Рассмотрим элементарную теорию рекордации.

Поместим источник звука на поверхность моря. По поверхности и дну моря при импульсном излучении будет распространяться комплексное возмущение вибраторной с  $r/2$  со  $\cos(\omega t - k_0 z)$  (рис. 3.14). Пусть к поверхности примыкает стойка рефлекторной толщины  $d$ . Тогда элементарный объем  $dV$  и походящий  $dS$  будут выступать как вторичные излучатели с элементарной интенсивностью:



$$dI_{\text{сп,}p} = \frac{k_1 l_1 d\rho}{4\pi\rho^2}, \quad dI_{\text{рв,}p} = \frac{k_1 I_1 \sin \vartheta dS}{2\pi\rho^2}.$$

Здесь  $k_1$ ,  $k_1$  — коэффициенты, рассеяния стоя и дна в пространстве соответственно;  $\rho$  — фактическое расстояние;  $I_1$  — интенсивность падающей волны.

На больших расстояниях  $\rho' = \rho, \vartheta = H/\rho$ . Тогда с учетом пространственного затухания для интенсивностей рекордаций будем иметь

$$I_{\text{сп,}p} = \int_{-\infty}^{k_1} \frac{k_0 I_1 H}{4\pi\rho^2} \exp(-4\beta'\rho) d\rho; \quad (3.52)$$

$$I_{\text{рв,}p} = \int_0^{\infty} \frac{k_0 I_1 H}{4\pi\rho^3} \exp(-4\beta'\rho) dS, \quad (3.53)$$

где  $H$  — глубина моря, м. Для элементов обеих я и площадки в полярной системе координат справедливо  $d\rho = \rho d\rho d\vartheta dz$ ;  $dS = \rho d\rho d\vartheta$ . После интегрирования получим

$$I_{\text{сп,}p} = \frac{P_a \eta_1}{16\pi^2 r^3} \int_0^z k_0 dz \int_{-\pi/2}^{\pi/2} R_1^2(a, \varphi) R_2^2(a, \varphi) d\varphi \times \\ \times \frac{[1 - \exp(-2\rho' c\tau)]}{4\beta'}, \quad (3.54)$$

$$I_{\text{рв,}p} = \frac{P_a \eta_1 H k_1}{8\pi^2 r^4} \int_0^H R_1^2(a, \varphi) R_2^2(a, \varphi) d\varphi \frac{[1 - \exp(-2\rho' c\tau)]}{4\beta'}, \quad (3.55)$$

где  $R_1(a, \varphi)$ ,  $R_2(a, \varphi)$  — функции диаграммы направленности излучающей и приемной антенн. Для коротких импульсов  $2\beta' c\tau < 0,1$

$$I_{\text{сп,}p} = \frac{P_a \eta_1 c\tau}{32\pi^2 r^3} \int_0^H R_1^2(a, \varphi) R_2^2(a, \varphi) d\varphi e^{-4\rho' r}; \quad (3.56)$$

$$I_{\text{рв,}p} = \frac{P_a \eta_1 k_1 H c\tau}{16\pi^2 r^4} \int_0^H R_1^2(a, \varphi) R_2^2(a, \varphi) d\varphi e^{-4\rho' r}. \quad (3.56)$$

Таким образом, интенсивность стоячей и гравитационной реverbации пропорциональна длительности импульса и обратно пропорциональна расстоянию в третьей и четвертой степенях соответственно. Экспериментально установлено, что значение коэффициента  $k_0$  для стоячей и  $k_T$  для гравитационной реverbации в пределах  $10^{-2} \dots 10^{-3}$  соответствует значению коэффициента  $k_0$  для стоячей и  $k_T$  для гравитационной реverbации в пределах  $10^{-2} \dots 10^{-3}$  соответственно. Отмечено, что в литературе при описании эффектов акустического рассеяния в пространстве и полупространстве широко используют понятие коэффициентов рассеяния в синтетический телесный угол  $\pi M_r / M_s$ . Последние связаны с коэффициентами  $k_0$  и  $k_T$ , соответственно:

$$k_0 = 4\pi n_r \nu, \quad k_T = 2\pi M_s.$$

Для перехода в выражения (3.55), (3.56) к германам давления необходимо учесть, что  $I = P^2 / \rho c$ ;  $P_g = 4\pi n_0^2 \rho_0 c_0 \sigma_0$ , где  $\rho_0$  — природное давление;  $n_0$  — коэффициент осевой концентрации;  $a_0 = 1 \text{ м}$ .

### § 3.4. Распространение звука в глубоком море

На больших глубинах распространение скорости звука разнодиабатично, в связи с чем при анализе акустического поля следует различать два противоположных случая распространения звука — волноводные (канальные) и антиволноводные.

В первом случае значительная часть излученной энергии звука удерживается каналом и распространяется на большее расстояния. Во втором случае отщепляется антизональный отбор части энергии в нижележащих слоях. При этом существенное влияние на долю отбрасываемой энергии оказывает расположение скорости звука в глубине отражения.

Противоречийный звуковой канал (ПЗК). Граница стоячих пологоградиентными градиентами определяется седловиной горы и широтой места. Задача в выборе широты полярностью градиента, пространственным от повторности до пола с максимумом задержки до  $a = 5 \cdot 10^{-3} \text{ м}^{-1}$ .

В упомянутых и никаких широтах величина градиентов маленькая, а толщина слоя не превосходит десятков метров. В частности, среднее пологоградиентное в Северной Атлантике ( $40 \dots 50^\circ \text{ с. шир}$ ) составляет: 60 м (январь — март); 27 м (апрель — июнь); 21 м (июнь — сентябрь); 45 м (октябрь — декабрь).

Для существования ПЗК отрицательный градиент не должен превышать установленного значения, определяемого влиянием гидростатического давления на значение скорости звука. В изотермическом случае гидростатическое давление формирует градиент скорости звука  $0.017 \text{ с}^{-2}$ . При  $T = 15^\circ \text{ C}$ , которая создает этот градиент скорость звука  $0.017 \text{ с}^{-2}$ . При  $T = 15^\circ \text{ C}$ , которая создает этот градиент скорость звука. Первая скорость звука должна быть на  $1^\circ \text{ C}$  на 150 м. Если отрицательная градиентная миссия, чем это, то образуется канал.

Характерной особенностью ПЗК является малогулуочистое распространение и канализация энергии. Рассмотрим эти особенности подробнее.

Прямым выражением границы плоской с коэффициентом отражения  $|V| = 1/10$ . Это эквивалентно условию, что высоты первичной поверхности моря по сравнению с длиной волны. Этому условию удовлетворяют акустические волны с частотами не выше сотен герц, а при благоприятных условиях до 5 ... 6 кГц.

Поскольку лучевая траектория спадающей при  $\lambda \ll z_{\text{ПЗК}}$  звука от источника, г. с. при  $z = 0$ , сочтена на рис. 3.15.

Луч, выходя из источника, рефрактируют в сторону поверхности. Длина цикла пути с учетом выхода до будет равна

$$\Delta = 2\sin \alpha_0 / \cos \alpha_0 = 2\pi g_0 / a; \quad a = G_0 / c_0.$$

Максимальная длина цикла определяется толщиной стоячей

волны  $\Delta_{\text{макс}} = 2\pi g_0 a_0 / a$ .

Угол  $\alpha_0$  является пределным для ПЗК. Его величина может быть связана с толщиной стоячей волны согласно (3.21)

$$\cos \alpha_0 = c_0 / c_T = c_0 / (c_0 + \Delta c),$$

где  $c_T = c_0 / \sqrt{1 - \Delta^2 / c_0^2}$ .

Угол  $\alpha_0$  является пределным для ПЗК. Его величина может быть связана с толщиной стоячей волны согласно (3.21)

$$\cos \alpha_0 = c_0 / c_T = c_0 / (c_0 + \Delta c),$$

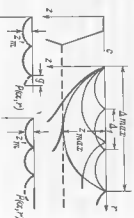
где  $c_T = c_0 / \sqrt{1 - \Delta^2 / c_0^2}$ .

Разлагая левую и правую части (3.60) в ряд, получим

$$\cos \alpha_0 \approx \sqrt{2 \Delta c / c_0},$$

с учетом (3.57)

$$\Delta_{\text{макс}} \approx \sqrt{2 a z_m},$$



Величина предельного угла определяет диапазон лучей, заданных волновоком. Лучи, выходящие из источника звука при  $\alpha_0 > \alpha_{\text{пм}}$ , либо отражаются от дна, когда нижней границей волновода является дно, либо уходят в область отрицательных трансверт. Акустическое поле будет формироваться только лучами, отраженными от поверхности моря.

В какую точку поверхности попадают только лучи, для которых длина шарика укладывается в расстояние до нее целое число раз:

$$r = N\Delta. \quad (3.63)$$

Для горизонтального расстояния  $N\Delta$  имеем  $r = N\Delta + g$  или  $r = (N + 1)\Delta - g$ ;  $N = 0, 1, 2, \dots$

Первое равенство соответствует случаю, когда точка наблюдения лежит на исходящей ветви, а второе — на восходящей ветви луча. Величину  $g$  можно найти согласно рис. 3.15. Число лучей, приходящих в точку наблюдения, определяется как

$$n = N_{\text{ макс}} - N_{\text{ мин}} + 1,$$

где  $N_{\text{ макс}}$ ,  $N_{\text{ мин}}$  — максимальное и минимальное число шариков, определяемые соответственно максимальным (из условия применения формулы акустики) и максимальным (гипотезой ППЗК) углами склонения:

$$r = \Delta N; \quad t_{\text{ поглащ }} = ar/2N_{\text{ мин}}; \quad t_{\text{ отраж }} = ar/2N_{\text{ макс}}. \quad (3.64)$$

Время пробега волны шарика в ППЗК с учетом полного внутреннего отражения найдено из выражения (3.32). Следовательно, для полного времени распространения волны в ППЗК будет справедливо

$$T(\alpha_0, r) = 2rN = N\ln[(1 + \sin \alpha_0)(1 - \sin \alpha_0)]/ac_0. \quad (3.65)$$

Для малых углов  $\ln[(1 + \sin \alpha_0)/(1 - \sin \alpha_0)] \approx 2\alpha_0(1 + \alpha_0^2/3 + \alpha_0^4/5\dots)$ . Следовательно,

$$T(\alpha_0, r) = 2Na_0(1 + \alpha_0^2/3)/ac_0. \quad (3.66)$$

Угол  $\alpha_0$ , согласно (3.61), равен  $\alpha_0 = \arctg(ar/2rN)$ . Разлагая  $\alpha_0$  в ряд по степенным  $ar/2rN$ , удерживая первые два члена и подставля в (3.66), окончательно получим

$$T(\alpha_0, r) = \frac{r}{c_0} \left[ 1 - \frac{a^2 r^2}{24 N^2} \right] \quad (3.67)$$

(3.62). По мере уменьшения угла  $\alpha_0$  число шариков и время пробега уменьшаются, а промежутки времени между соседними импульсами увеличиваются. Последним придет импульс, распространяющийся по горизонтали. Уменьшение интервала времени между импульсами приводят к формированию кругового звука фронта. Волнина неизвестного может циклически последовательно сопровождаться импульсами на основании будет равна

$$\Delta t(N) = T(r, N+1) - T(r, N) = [(r/c_0)] - a^2 r^2 / [24(N+1)]^2 + a^2 r^2 / [24N^2] = a^2 r^3 / (2N+1) / 24c_0(N+1)^2 N^2. \quad (3.68)$$

Сигнал в точке приема является ступенчатой сигнализ, распространяющейся по разным лучам с различными временами запаздывания. При импульсном излучении и коротких послыхах прямые сигналы впадают радиоточкой во времена, и затем начинают прокрываться и суммироваться. Время затяживания сигнала может быть определено по формуле (3.68) после подстановки туда значения  $N_{\text{ пм}}$  и  $N_{\text{ макс}}$ :

$$\Delta T = T(r, N_{\text{ макс}}) - T(r, N_{\text{ мин}}) = [a^2 r^3 / (24c_0)] 1/N_{\text{ мин}}^2 - 1/N_{\text{ макс}}^2. \quad (3.69)$$

На больших расстояниях  $1/N_{\text{ мин}}^2 \gg 1/N_{\text{ макс}}^2$ , кроме того,  $N_{\text{ пм}} \approx ar/2\sqrt{2.22m}$ . Тогда (3.69) примет вид

$$\Delta T \approx ar\pi r/750. \quad (3.70)$$

Можно видеть, что время затяживания сигнала пропорционально расстоянию. Изменение фокусировки зондера кинжалом может показать способы сгущения расходимого луча.

Линеаризация формулы (3.61) для энергии разрываемой кинжалом пленки, имеющей с ординатой  $z = 0$  в единичный телесный угол, имеет вид

$$dP_a = P_a / 4\pi. \quad (3.71)$$

Элементарный телесный угол равен  $d\Omega = 2\pi \cos \alpha_0 d\alpha_0 d\phi$ . Следовательно, для монохроматической кинжалом в интервале углов  $0 - \alpha_0$ , будет справедливо

$$P_{a,k} = P_a \int_0^{\alpha_0} \cos \alpha_0 d\alpha_0 = P_a \sin \alpha_0. \quad (3.71)$$

При малых углах  $P_{a,k} = P_a \alpha_0$ . С учетом (3.61) для  $P_{a,k}$  получаем

$$P_{a,k} = P_a \sqrt{2\Delta c/c_0}. \quad (3.72)$$

Таким образом, доля канализируемой энергии определяется первым скоростным углом у поверхности и дна (нижней границы канала). Показанную канализируемую энергию пропорциональна углу  $\alpha_0$ , а толщина изходящий излучающий слоистый шариков  $N_{\text{ пм}}$  и удовлетворяющая условию

сток  $\hat{z}_m$ , охватываемая углом  $\alpha_m$ , равна  $\hat{z}_m \approx c_0^2/a_m$ , для плотности энергии в этом слое получим

$$P_{a,k}/\hat{z}_m = 2a R_a/a_m. \quad (3.73)$$

У самой поверхности  $a \rightarrow 0$  плотность акустической энергии в лучевом приближении стремится к бесконечности. Это обстоятельство является недостатком лучевой теории, поскольку при  $a=0$  неизвестно (см. (3.34)). Кроме того, на звукометкой границе давление всегда равно нулю.

Интерференция взвешенных лучей в каждой точке канала обуславливает звуковую картину, характерную скоплениям. На больших расстояниях интерференционная картина частично сглаживается за счет фильтрующей поглощений среды. Предполагаем, что энергия распределяется по толщине канала сравнительно равномерно, для упрощенного закона слаживания будем иметь

$$I = P_{a,k}/2\pi r z_m = P_a \sqrt{2\Delta/c_0/2\pi r z_m}. \quad (3.74)$$

Мы получили цилиндрический закон спада интенсивности с расстоянием.

Следует отметить, что полученные в лучевой трактовке выводы отнюдь не являются окончательными для достаточно высоких частот ( $z_m, \lambda \gg 1$ ).

По мере понижения частоты энергия посредством волнод и пучков акустика становится критической. Согласно [67] критическая длина волны, удерживаемая в волнодом, равна

$$\lambda_{kp} = 8.53 \cdot 10^{-3} H^{3/2}. \quad (3.75)$$

Здесь  $H$  — толщина ППЗК, м.

Учитывая многоугольный характер формирования акустического поля в установках ППЗК, потерю каждой луча части энергии при отражении от поверхности и направляемость излучения для интенсивности поля на любом расстоянии, можно написать

$$I(r) = [P_a \gamma_1 10^{-0.1 \beta r} / 4\pi r^2] \sum_{i=1}^N f_i(a) R_i^2(a, \varphi) |u|^{2n}(a), \quad (3.76)$$

$N$  — число лучей, приходящих в точку наблюдения  $r$ ;  $\gamma_1, \beta$  — коэффициент и число отражений лучей от поверхности моря;  $R_i$  — значение диаграммы направленности на  $i$ -м луче.

Заметим, что напотоком излучения может быть найдено выражение для интенсивности поля в установках многоугольного распространения при произвольном распределении скорости звука. В выражение (3.76) при этом следует ввести коэффициент отражения от дна моря  $V'(a)$  и число отражений  $\tau$ .

Сумма в выражении (3.76) называется фактором аномалии (амплитудой распространения):

$$A_f = \sum_{i=1}^N f_i(a) R_i^2(a, \varphi) |u|^{2n}(a). \quad (3.77)$$

Из теории антиен известно, что если направленность в какой-либо плоскости достаточно узка, то функция пространственной диаграммы наплавленности  $R(a, \varphi)$  может быть представлена в виде произведения  $R(a, \varphi) = R(a) R(\varphi)$ . В этом случае выражение (3.76) примет вид

$$I(r) = \left[ \frac{P_a \gamma_1 R^2(\varphi)}{4\pi r^2} |10^{-0.1 \beta r}| \sum_{i=1}^N f_i(a) R_i^2(a) |u|^{2n}(a) \right]. \quad (3.78)$$

Р. Д. Урик применительно к ППЗКает следующее выражение для упрощенного закона спадания:

$$I = \frac{P_a \gamma_1}{4\pi r^2} |10^{-0.1 \beta r}| \frac{r}{r_0} |10^{-0.1 \beta L}|, \quad (3.79)$$

где  $A_f(r) = r r^{-1} |10^{-0.1 \beta L}|$  — фактор аномалии;  $r_0$  — расстояние начальной формирования цилиндрического звукоизлучения;  $\beta$  — коэффициент переходного расстояния из конца.

Переходное расстояние  $r_0$  определяется так:

$$r_0 = \frac{\Delta_{\text{ макс}}}{4} \sqrt{\frac{H}{H - h_m}}, \quad (3.80)$$

где  $\Delta_{\text{ макс}}$  — максимальная величина цикла пути в канале толщиной  $H$ ;  $h_m$  — глубина источника.

Для коэффициента утечки существует соотношение

$$a_f = 1.1 b/f(H)^{1/2}, \quad (3.81)$$

где  $b$  — состояние поверхности моря, баллы;  $f$  — частота кГц. Выражение (3.81) справедливо при выполнении неравенства

$$0.9 < f h_m < 21 \text{ кГц}, \quad (3.82)$$

$f$  — частота колебаний, связанных с состоянием поверхности моря соотношением

$$h_m = 0.4 b^2.$$

В работе [89] отмечается, что на расстояниях порядка  $10 \dots 30$  км  $h_m$  на распространение не зависит от частоты, толщины канала и

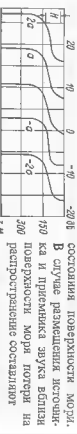


Рис. 3.16. Влияние глубины источника (правка) на пограничный при радиоизлучении ПЭК в случае размещения источника и приемника звука вблизи поверхности моря, когда на расстояние составляют

$$Pr = -20 \lg r - 0.25r + 10^{-3}.$$

$H$  — глубина звука скважки

Подводный звуковой канал (ПЭК), типичный для ПЭК, лучами которого приведена на рис. 3.17.

Характер лучевой картины существенно зависит от положения источника относительно оси ПЭК. При размещении излучателя вблизи оси ПЭК образуется группа лучей, вдоль которых акустическая энергия распространяется на большие расстояния без потери на границах среды.

При расположении источника за окном ПЭК каждый луч пересекает ее на всем протяжении траектории под углом, равным углу выхода из излучателя. Группами проходят лучи в области отраженных и попутных гравитационных и велличинах попутников  $\Delta$  определяемых значениями этих гравитонов и отстоящими на всем протяжении. Попутники, значения которых гравитонов в стоке выше оси ПЭК составляют в среднем  $(3 \dots 6) \cdot 10^{-3}$  м, а ниже ось  $-1.2 \cdot 10^{-5}$  м, являются первыми лучами и дальше отходят от оси, чем верхние. Значения первого  $\Delta_{01,m}$  и нижнего  $\Delta_{02,m}$  предполагают луч при поступательных градиентах скорости звука выше и ниже оси ПЭК определяются как

$$\Delta_{01,m} = \sqrt{2a_1 z_m}; \quad \Delta_{02,m} = \sqrt{2a_2^2(H - z_m)},$$

где  $H$  — глубина моря, м;  $z_m$  — глубина погружения источника звука.

Для полученных  $\Delta_1$  и  $\Delta_2$  будет справедливо

$$\Delta_1 = 2.8 a_0 / a_2; \quad \Delta_2 = 2.8 a_0 / a_1.$$

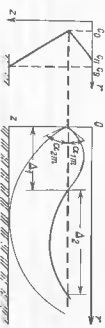


Рис. 3.17. Лучевая картина ПЭК. Источник на оси ПЭК

Все рассуждения относительно времени пребывания и концентрации энергии, сделившие для ПЭК, оказываются справедливыми и для ПЭК.

В частности, полное время пребывания импульса от источника до точки наблюдения видно луча, совершившего  $N'$  циклов в волной и на

$$T(a_0, r) = N'(\tau_1 + \tau_2) = \frac{2N'}{c_0} \ln \frac{1 + \sin \alpha_0}{1 - \sin \alpha_0} \left( \frac{1}{a_1} + \frac{1}{a_2} \right) \quad (3.83)$$

глубины источника или, приложив график рис. 3.16.

$$T(a_0, r) = N'(\tau_1 + \tau_2) = \frac{2N'}{c_0} \ln \frac{1 + \sin \alpha_0}{1 - \sin \alpha_0} \left( \frac{1}{a_1} + \frac{1}{a_2} \right) \quad (3.84)$$

Для симметричного ПЭК  $a_1 = a_2$ , и выражение (3.84) совпадает с (3.32). Для мощности, удвоившейся канапом, и плотности энергии аналогично (3.72), (3.73) получаем

$$P_{a,k} = P_a \text{ при } a_0; \quad P_{a,k}/2z_{tr} = aP_a/a_0m \quad (3.85)$$

$$P_{a,k} \rightarrow 0, \quad P_{a,k}/2z_{tr} \rightarrow \infty.$$

Все приведенные рассуждения справедливы для излучателя, расположенного на оси ПЭК. По мере ухода излучателя от оси канала в ту или другую сторону появляются группы лучей, пересекающих ось ПЭК и претерпевающих полное внутреннее отражение на горизонтах, где скорость звука определяется выражением

$$c_t = c_0 / \cos \alpha_0.$$

Здесь  $c_0$  — скорость звука на горизонте источника звука. Изменение горизонта излучателя приводят к формированию на оси ПЭК зон акустической гены.

Удаление излучателя от оси ПЭК сопровождается уменьшением угла отклонения луча от горизонта излучателя. Это видно из (3.6), поскольку по мере смещения излучателя в стороны от оси ПЭК  $c_0 \rightarrow c_1$  или  $c_0 \rightarrow c_2$ .

Для практической цели интерес представляет уравнение законом стадии интенсивности.

Лучевые траектории поля применимы к условиям ПЭК разработанной П. М. Бруховским [2]. Закон стадии интенсивности звука в ПЭК на больших расстояниях имеет вид

$$I = \frac{P_0}{4\pi r^2} \cdot 10^{-0.1r}, \quad (3.86)$$

где  $r_0$  — переходное расстояние, начиная с которого сферический закон спада интенсивности сменяется цилиндрическим. Параметр определяется формулой

$$\frac{1}{r_0} = \frac{2a_0 c}{c_k^2} \int_{a_k, \min}^{a_k, \max} \frac{\sin 2a_k d a_k}{\sin \alpha_0 \sin \alpha(z) D(a_k)} \quad (3.87)$$

где  $\alpha_k$  — угол склонения луча по оси ПЗК;  $c_0$  и  $c_k$  — скорости звука на горизонтах источника звука  $z_0$  и на оси ПЗК  $z_k$  соответственно. Верхний предел интегрирования  $\alpha_k$  соответствует граничному лучу, управляемому каналом, никакой предел  $\alpha_k$  не имеется. Минимумы на нем утолщены склонениями на оси канала, при которых луч поднимается, на горизонтальную плоскость, так и на горизонт прямым.  $D(\alpha_k)$  — длина цикла луча, пересекающего ось канала под углом  $\alpha_k$ .

Нетрудно видеть, что величина  $r_0$  и зависимость  $r(z)$  могут быть выбраны, если известна профиль скорости звука и глубина излучателя  $Z$ . Зная зависимость  $r_0(z)$  и воспроизводящую формулу, можно вычислить силу звука на любом горизонте на больших расстояниях от источника. Определенное отношение  $r_0/r_0 \text{ min}$ , можно найти относительное вертикальное распределение силы звука в канале выше от источника:

$$I(z)/I_{\text{max}} = r_0 \text{ min} / r_0(z).$$

**Зоны конвергенции в окрестности Их выражение.** Анализ лучевых карт для практического источника ПЗК показывает, что при условии  $r > c_d$  и размещении источника выше оси канала образуется группа лучей, периодически выходящих к поверхности. Образующаяся при этом ветвящиеся освещенные области называются пальмовыми зонами акустической освещенности (ПЗК) или зонами конвергенции. Условия формирования этих зон и их основные параметры представляют значительный практический интерес.

На рис. 3.18 представлена зависимость  $s(z)$  и лучевая картина при расстоянии источника звука вблизи поверхности. Лучи, отраженные сферой звукоиздателя, попадают в конус излучения, образуя трубку в пределах которой акустическая энергия передается без потерь при отражении в гравитационных сродах.

Для акустического поля в этом случае характерна зональная структура поля. Неподвижный источник звука находится в центре зонковых зон акустической освещенности (БЗАО), за которой находится проплавленная в гравитационной трубке зона конвергенции без потерь при отражении на границах среды.

На рис. 3.18 представлена зависимость  $s(z)$  и лучевая картина при расстоянии источника звука вблизи поверхности. Лучи, отраженные сферой звукоиздателя, попадают в конус излучения, образуя трубку в пределах которой акустическая энергия передается без потерь при отражении в гравитационных сродах.

Для акустического поля в этом случае характерна зональная структура поля. Неподвижный источник звука находится в центре зонковых зон акустической освещенности (БЗАО), за которой находится проплавленная в гравитационной трубке зона конвергенции без потерь при отражении на границах среды.

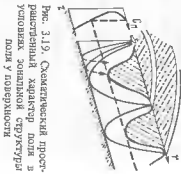


Рис. 3.18. Лучевая картина ПЗК. Источник звука (сплошная линия) и зона конвергенции (пунктир).

жемная зона акустической тени; за ней расположается первая зона конвергенции (1-я БЗАО). Затем следят зона тени, вторая зона конвергенции и т. д. Схематический характер поля в узловых зональных структурах при некотором акустическом звукоиздателе показан на рис. 3.19. Очевидно, что при некотором профиле  $r(z)$  и глубине октава подобное чередование зон будет перемещаться в пространстве со скоростью источника звука. При направлении источника звука к направлению излучения акустическое поле характеризуется электрической турбоколебательной когерентностью профиля, выраженной на поверхности колпаком Эллипса. Зона конвергенции для фиксированного горизонта наблюдения является зоной расстояния до зоны, промежуточности и толщины.

Знание элементов зон конвергенции зависит от целого ряда факторов: глубины оси ПЗК и величины  $\Delta = c_d - c_t$ . Для типичных условий открытия океана расстояние до первой зоны конвергенции составляет 55...70 км, до второй — 10...140 км и т. д.

Протяженность первой зоны достигает нескольких сот метров. При замедлении удаления горизонта наблюдения от поверхности окна зоны конвергенции разделится на две части, что соответствует восходящей и нисходящей частям луча волнистых лучей. Размеры зон освещенности и тени с увеличением номера зоны постепенно изменяются — горизонтальная протяженность освещенных зон увеличивается, а протяженность и толщина зон тени сокращаются. В благоприятных условиях удаление замедлится до 10...11 зон конвергенции. В дальнейшем зоны конвергенции перекрываются, образуя сплошную зону акустической освещенности.

Увеличение глубины погружения излучателя приводит к расширению зон конвергенции и соответствующему уменьшению зон тени. При различном излучателе на оси ПЗК вся область канала оказывается засвеченной. Угол излучения зон конвергенции разделяется на некоторый угол, не выходя к поверхности окна (глубинные зоны конвергенции). Подобное явление возникает в районах окна, где скорость звука у поверхности больше скорости звука вдоль  $c_t > c_d$ . При этом излучатель располагается на горизонте, где скорость звука меньше скорости звука вдоль.

Обязательным условием формирования вихревых освещенных зон на некоторой глубине также является наличие подводного звукового канала. Потери на распространение в узловых зональных структурах определяются в соответствии с выражением  $\Pi = -20 \lg r - \beta + 10 \lg A_f$ , где фактор аномалии  $A_f$  рассчитывается с помощью всего многообразия лучей, приходящих в точку наблюдения.

Применительно к Атлантическому океану оценить возможность формирования зонковых зон акустической освещенности можно с помощью рис. 3.20 [67]. В ходимыми параметрами здесь графиков являются температура воды на поверхности и глубина места.



Рис. 3.19. Схематический пространственный характер поля в узловых зональных структурах.



Рис. 3.20. Оценка волюмности вихря в зависимости от расстояния до нее от гидрофлага волны. График волны  $J = r - F(r)$ ; 2 — возможность вихря зоны с зондированием, 3 — наивысшая структура поля размахом  $\Delta c/c$ .

В заключение отметим, что для ПЗК также характерна утечка энергии. Выражение, позволяющее оценить критическую длину зондирования, имеет вид

$$\lambda_{\max} = 16/\eta(2/\Delta c/c)^{1/2} H_k, \quad (3.88)$$

где  $H_k$  — глубина ося ПЗК;  $\Delta c$  — переход скорость звука, определяемый мощностью канала [89].

**Рассеяние в глубоком море.** Рассмотрим выражение (3.51), которое с учетом направленности приемоизлучающей антенны  $R_1 = R_2$  в сферической системе координат примет вид

$$I_p = \frac{P_o k_0}{4\pi} \int_0^{2\pi} d\varphi \int_0^{\pi} R_1^2 R_2^2 \sin \vartheta d\vartheta \int_0^{\pi} \exp(-4\beta' p) \rho^2 d\rho, \quad (3.89)$$

где  $\rho$  — расстояние до внутренней поверхности возбужденного стока,  $\varphi$  — угол в вертикальной и горизонтальной плоскости соответственно (рис. 3.21). После интегрирования (3.89) получаем

$$I_p = \frac{P_o k_0 \eta}{4\pi^2} \frac{1 - \exp(-2\beta' c^2)}{4\beta'}, \quad (3.90)$$

где  $\eta$  — коэффициент, учитывающий влияние направленности приемоизлучающей антенны на уровень рассеяния,

$$\eta = \frac{\int d\varphi \int R_1^2 R_2^2 \sin \vartheta d\vartheta}{\int d\varphi \int \rho^2 \sin \vartheta d\vartheta}$$

для ненаправленной антенны  $\eta = 1$ . При направленной приемоизлучающей антенне  $\eta = 1.0$ . В частности, при  $R_1 = R_2$ ,  $\eta = 0.7$ . При выполнении условия  $2\beta' c \tau \leq 0.1$ ;  $1 - \exp(-2\beta' c \tau) \approx 2\beta' c \tau$ .

$$I_p = P_o k_0 \eta p c \beta' (1 - 4\beta' c \tau) / 8\pi r^2 \quad (3.91)$$

Изменчивость объемной рассеяния прямо пропорциональна длине импульса и обратно пропорциональна квадрату расстояния. Величина коэффициента  $\eta$  зависит от частоты и для глубокого моря в диапазоне частот  $1 \dots 20$  кГц лежит в пределах  $\eta = 10^{-5} \dots 10^{-9}$  м<sup>-1</sup>. Многочисленные исследования показали, что рассеяющие свойства океана существенно неодинаковы по пространству. Наиболее распространены неоднородности, к которым относятся океанские течения, волны, биологические скопления, акустические свойства горных отложений и акустических свойств воды, приводят к существенному изменению закона спада огибающей рассеяния от сферического ( $1/r^2$ ) до линейного  $(1/r)$  в большинстве случаев стратифицированы по глубине. В связи с этим для описания процесса формирования радиоизлучения в среде, рассеивающие свойства которой изменяются с глубиной, целесообразно воспользоваться выражением для слоевой рассеяния.

Замкнутый вклад в формирование спада огибающей вносят заукасторенные слои (ЗУС), представляющие собой горизонтально-протяженные скопления различных мягких органических веществ в среде, рассеивающие свойства которых изменяются с глубиной. С наступлением темноты слои мигрируют в поверхностные воды с частичным сдвигом вперед.

ЗУС распространены в океане в умеренных и экваториальных широтах. Более того, ЗУС защищают людей на плавниках в несколько сот метров.

Возможность формирования спада огибающей в среде, рассеивающей для сплошной зондировки, выражена для сплошной зондировки в выражении для сплошной зондировки, представляющей собой силу слоя  $M_S$ . Помимо этого при этом, что, согласно (3.51), коэффициент, характеризующий малость, рассеянную зондировкой  $d$ , в пространстве.

Значение коэффициента рассеяния (силы зондирования) зависит от частоты, широты места. Максимум

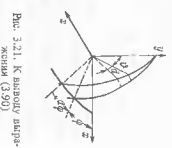


Рис. 3.21. К выражению (3.90).

расстояния, which отмечается на частотах 5...7 кГц и глубинах в несколько сот метров, уменьшения расстояния выше и ниже слоя на 1...2 портфельных. На частотах в десятки кГц уровень расстояния либо сохраняется неизменным, либо несколько уменьшается, чем на частотах 5...7 кГц.

Подъем расстояний при повышении уровня в зоне приема сопровождается увеличением уровня расстояния. Наиболее заметно это увеличение на частотах 2...3 кГц, где уровень расстояния повышается на 8...10 дБ; в областях 10...12 кГц подъем уровня составляет 3...5 дБ.

Основной причиной изменения уровня и смешания максимума коэффициента ко<sub>б</sub> является разомкнутость расстояния на плавающих плавурах рыб, находящихся в пределах слоя. При миграции за 300-400 км изменяются размеры плавательных пузырей, что и определяет соответствующими слоями максимум расстояния и изменением его уровня.

Преобразование рефракции акустических лучей при работе разборками допустимо только в случае крутых углов и на больших расстояниях. В реальных условиях на уровнях развертывания существенное влияние оказывают условия распространения акустической энергии, вызывающие ряд случаев существенного их повышения. Таким образом, наряду с шумом помехой развертывания выступает в качестве помех работы активных ГАС снижение их эффективности.

Поскольку интенсивность прямого сигнала в реальной среде пропорциональна фактору аномалии, амплитуда которого в первом очертании примет вид [66]:

$$I_p = \frac{P_a \gamma_1 k_0}{6\pi^2} \int_{-\rho^4}^{R_1^2 R_2^2 A_i^2(\sigma, f)} d\sigma, \quad (3.92)$$

$A_i(\sigma, f)$  — фактор аномалии в элементе объема  $d\sigma$ .

Поскольку среда является стационарно-недородной при  $c\tau f^2 \ll 1$ ,  $2\beta' \sigma r < 0.1$ , то фактор аномалии можно считать в пределах слоя  $\Delta\sigma = c\tau f^2$  величиной постоянной. Тогда в цилиндрической системе координат

$$I_{ct,p} = \frac{P_a \gamma_1 c \tau}{32 \pi^2 r^3} \int_{0}^{2\pi} \int_{0}^{K_0 A_f^2(\sigma, f) dz} \int_{0}^{R_1^2 R_2^2 d\sigma} e^{-4\beta' r}. \quad (3.93)$$

Выражение (3.93) описывает стоечую развертывание в реальной среде. Рассуждая аналогичным образом, можно получить выражение для интенсивности границной развертывания.

В глубоком море при импульсном излучении штокание зондирующего импульса определяется лучевой картиной. При зондовой структуре поля в начальные моменты времени гравитации является спиральнойной, чисто обсеменной, способной от поверхности и звукоизменять

воздушных струй, а затем по мере опускания в глубокие слои — граничной. В дальнейшем при приеме импульса к поверхности граничной развертки смещается снова обратной, спиральной и т. д. На расстояниях более 10 км конвективная акустическая луна имеет малые углы склонения ( $\alpha < 12...16^\circ$ ) и основной вклад в развертывание приносится на пропиограничные слои рассеивателей. Поскольку акустическое поле на этих расстояниях вблизи поверхности характеризуется пологими изменениями коэффициента аномалии, уровень развертывания при этом уменьшается. Развертывания, формируемые с расстояний дальних зон, называются дальними.

На рис. 3.22 приведены результаты обработки записей дальней развертывания, полученные в условиях пребывания моря для различных длительностей импульсов [66, 67]. На записках четко фиксируются превращения уровня развертывания на расстояниях вторичного выхода импульса приходящего к расширению Максвелла разборщика и некоторому их повышению. Согласно работе [67] сигнал от отражавшего объекта регистрировался на фоне развертываний помех и некоих помех, приводящих уровень собственных шумов к максимуму, который превышает уровень развертывания зондирующего выхода в 8...20 дБ. Приведенные результаты показывают, что на фоне развертываний, соответствующих уменьшению скорости звука в глубину, постепенно уменьшаются записи для импульса 132.

Для лучевой картины при размещении источника на глубине  $z_0$  характерно наличие заряда при предельном пути  $a_{om}$ , разделяющего ближнюю зону освещенности от зоны темноты. Луч, с углами  $\alpha > a_{om}$  отражается от поверхности моря. Прожекция ближней зоны (БЗО) определяется величиной гиперболы  $a$  и ординатой источника  $z_0$  и точки наблюдения  $z$ . Величина радиуса БЗО определяет геометрическую дальность  $r_{eff}$  (рис. 3.22).

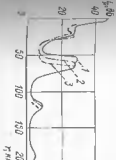


Рис. 3.22. Результаты записи стоячих разверток обработка зондирующей картины в условиях глубокого моря.

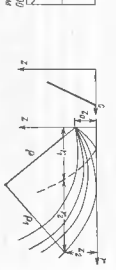


Рис. 3.23. График лучевой картины в условиях глубокого моря.

ческую дальность действия ГАС и легко может быть определена из рис. 3.23.

$$D_{\text{tr}} = r_1 + r_2 \approx \sqrt{2\rho z_0} + \sqrt{2\rho z} = \sqrt{2}\rho (\sqrt{z_0} + \sqrt{z}),$$

где  $\rho = 1/d \cos \theta_0$ .

Следует отметить, что понятие *рэзкой границы* между освещенной зоной и зоной тени является весьма условным. В зоне тени существует сплошное акустическое поле, сформированное рассеянным звуком на некотором расстоянии от границы зоны тени. Кроме того, всегда применяют двойковолновую явления и волны, расходящиеся из-за поверхности моря.

Интенсивное перемещивание воды в верхнем слое может способствовать отражению звука на дне, если же вода на некотором расстоянии от границы зоны тени неоднородна, то звук не будет отражаться от дна моря. Кроме того, всегда применяют двойковолновую явления и волны, расходящиеся из-за поверхности моря.

Градиент к краю. Образуется однородный слой некоторой толщины  $h$ , лежащий на слое с огнивательными градиентами.

При размещении излучателя в пределах однородного слоя интенсивность поля в нем спадает по сферической закону  $I \sim 1/r^2$  до некоторого чисто нормального расстояния  $r_0$ , начиная с которого оказывается действующей неоднородной среды, вызывающей отбор части энергии. С появлением пучевой акустики это объясняется радиопоглощением лучей, поэтому на больших удалениях сила звука оказывается весьма малой. С точки зрения волновой теории поля источник в пределах этого слоя предста-

вляет сумму нормальных волн [2, 15].

На малых расстояниях в формирования поля принимает участие ближнее чисто нормальное волнение, мало различающееся по амплитуде. В этом случае оценка поля по пучевой теории совпадает с точной. На больших расстояниях поле определяется исключительно интенсивными затухающими волнами. Амплитуды волн при этом экспоненциально монотонно уменьшаются с расстоянием, разрываясь источником в бесконечной среде; в связи с чем эту зону называют *зональной* или *задиффективной*.

По оценке Л. М. Брюковской величина  $r_0$  определяется из условий

$$r_0 \ll h^2/\lambda S; \quad S = (1/3) k \hbar (3d/k)^{1/3} \quad (3.94)$$

Параметр  $S$  является важнейшим параметром поля в однородном слое с позиций волновой теории. Чем больше параметр  $S$ , тем на больших расстояниях складывается спиралевидный пучок звука.

Все рассмотренные выше случаи распространения звука учитывали только вертикальную рефракцию акустических лучей. Изменение же скорости звука дополнительного в горизонтальной плоскости приводит к тому, что рефракция акустической линии, следящей за траекторией луча, фазовым искажениям и изменению законов смещения поля с расстоянием.

**Особенности распространения звука в Арктических морях.** За счет низких значений температур положительная рефракция в полярных

районах отмечается по всей толщине водного столба. Данные обстоятельство вызывает распространение звука на дно, а также большое расстояние излучения звука от верхней границы.

Комбинация положительной рефракции с отражением звука от верхней поверхности воды обуславливает затухание звука в акустических частотах с увеличением излучения на дно.

На неких частотах излучения звука в верхней частиности

аналогична проколировано снизу через головной фильтр. Излучение показывает, что наилучшими условиями для распространения сигналов имеют место в окрестной полосе от 15 до 30 Гц. Затухание звука при прохождении частоты выше 30 Гц, а также на частоте 10 Гц

занимает коэффициента простиранного затухания звука от частоты представлена на рис. 3.24.

В заключение отметим, что точность прогнозирования дальности действия ГАС зависит от точности задания параметров станицы, так и от потребности оценки потерь на распространение. Излучение многократно, определяющее характер акустического поля в существенно неоднородной среде, оценка величины потерь на распространение для использования в решении практических задач представляет собой достоверную стоковую проблему.

Об особенностях распространения звука говорят, что некоторые из поставленных задач решаются с помощью трактории звука, следящей за распространением звука в пограничной зоне. Пограничные зоны характеризуются отклонением прямолинейных уровней звука на расстояниях  $4 \pm 6$  дБ достаточно характеризуют ожидаемый разброс

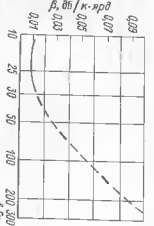
### Примеры к главе 3.

Пример 3.1. Определить значение скорости звука у поверхности моря ( $T = 12,1^{\circ}\text{C}$ ;  $S = 36,05^{\circ}/60$ ), на глубине 1000 м ( $T = 3,2^{\circ}\text{C}$ ;  $S = 35,50^{\circ}/60$ ) и у дна  $z = 4000$  м ( $T = 2,5^{\circ}\text{C}$ ;  $S = 34,91^{\circ}/60$ ) по формуле (3.2).

Результат расчета сравнять с данными рис. 3.1.

Решение. Решет по формуле (3.2) дает:

$$= 0 \text{ м}; \quad c = 1499,1 \text{ м/с};$$



**Задание поверхности в масиве аппроксимирующей функции**

$$z = 1000 \text{ м}; c = 1480.01 \text{ м/с};$$

$$z = 4000 \text{ м}; c = 1525.96 \text{ м/с}.$$

Полученные результаты удовлетворительно совпадают с данными номограммы рис. 3.1.

**Пример 3.2.** Разработать алгоритм автоматической аппроксимации вертикального распределения скорости звука, заданного таблицей.

Решение. Суть алгоритма заключается в последовательном приближении аппроксимирующей функции к заданному распределению с заданной точностью  $\Delta c$ . Соседним крайними точкам распределения прямой линии. Затем, для любого горизонта, находящегося между начальной и конечной точками линии, вычисляется разность между начальной скоростью и аппроксимирующей. Найденное максимальное значение разности ( $\Delta c_{\max}$ ) сравнивается с заданной точностью  $\Delta c$ . Если  $\Delta c_{\max} > \Delta c$ , то  $i$ -й горизонт принят за конечную точку, и вся процедура повторяется до тех пор, пока на какомлибо участке прямой не выполнится условие  $\Delta c_{\max} \leq \Delta c$ . В этом случае назначается новый шаг, который в качестве начальной точки возможного колебания лежит предыдущего шага, и процесс аппроксимации будет повторяться, пока не переругнется все горизонты.

Структурная схема алгоритма представлена на рис. 3.25, а сама процедура аппроксимации иллюстрируется рис. 3.26.

Точки линии изображают первоначальное распределение с  $(z)$ , заштриховано левым горизонтом, а линия  $c/m/s$  — аппроксимацией, полученной функцией. Пунктирные линии показывают последовательное приближение на первом шаге аппроксимации и соответствующие им максимальные разности ( $\Delta c_{\max}$ ).

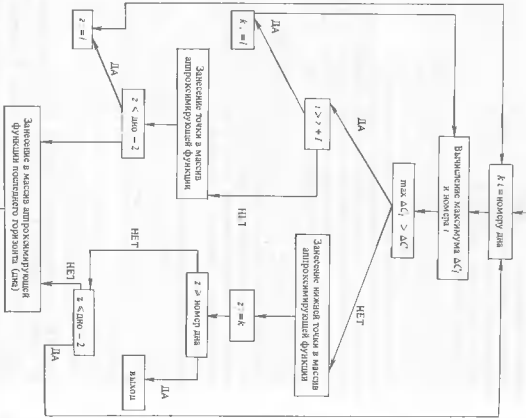


Рис. 3.25. Структурная схема алгоритма аппроксимации вертикального распределения скважины звука

На рис. 3.26 видно, что результат аппроксимации фракции состоит из пяти отрезков, полученных после пяти шагов аппроксимации. Точки 2, 3, 5 и 9 „обращаются” алгоритмом за счет заданной точности.

Выбор экстремальных точек на аппроксимирующей функции производится по смене границы на градусах двух слов с обязательным включением в этот массив начальной

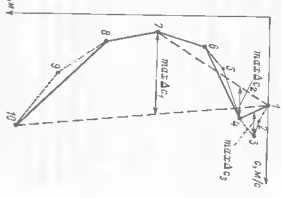


Рис. 3.26. Процедура кусочно-линейной аппроксимации скорости звука

и конечной точек ломаной кривой. Точкими экспериментальными точкиами на рис. 3-26 являются точки  $I_1$ ,  $I_2$  и  $I_3$ .

**Пример 3.3.** Источник звука на расстоянии  $r = r_0 = 1$  м излучает давление  $P_0$ . Определить изменение давления, обусловленное приструненным затуханием на расстояниях 10 и 20 км, если рабочая частота источника равна  $f = 10 \text{ кГц}$ .

**Решение.** Отношение давлений в однородной и поглощающей средах равно

$$\rho_{\text{одн}} / \rho_{\text{погл}} = 10^{0.05}; \quad 20 \lg (\rho_{\text{одн}} / \rho_{\text{погл}}) = \beta^r,$$

где  $r = 10 \text{ кГц}$ ;  $\beta = 1/4 \text{ дБ/км}$  (согласно  $\beta = 0.036 \cdot 10^{-3} \text{ дБ/м}^{3/2}$ ). Следовательно, амплитуда сигнала на этих расстояниях уменьшится на 11.4 и 22.8 дБ, что равнозначно уменьшению амплитуды в 3.7 и 13.8 раз соответственно.

**Пример 3.4.** Показать возможность учета изменения давления сигнала за счет пространственного затухания при его распространении в сплошной однородной среде.

**Решение.** Поскольку коэффициент пространственного затухания существенным образом зависит от температуры, а следовательно и от глушины, Изменение звукового давления с расстоянием видоизменяется опубликовано только затуханием, в общем виде может быть представлено краинопреставленным интегралом

$$\Delta P(\beta) = \int_C \beta(r, z) dl, \quad (3.95)$$

где  $\beta = \beta(r, z)$  — отрезок луча для заданного уравнения.

Зависимость  $\beta = \beta(r, z)$  в явном виде отсутствует. Учтывая, что при  $z = \text{const}$ ;  $T(r) = \text{const}$  (3.95) запишем так:

$$\begin{aligned} \Delta P(\beta) &= \int_C \beta(z(T)) dl = \lim_{\Delta t \rightarrow 0} \sum_{n=0}^N \beta[z_i(T) + z_{i+1}(T)] \Delta l_i = \\ &= \lim_{\Delta t \rightarrow 0} \sum_{i=1}^n \beta \left[ \frac{T_i - T_{i-1}}{2} \right] \Delta l_i, \end{aligned} \quad (3.96)$$

где  $\beta[(T_i + T_{i-1})/2]$  — флюктуационная зависимость коэффициента пространственного затухания от температуры воды. Таким образом, с помощью (3.96) возможно определить величину изменения звукового давления вдоль луча за счет пространственного затухания, обусловленного влиянием температуры воды и ее изменением глубиной.

**Решение 3.96.** Применяется следующим образом:

- разбить на сто волнисто среды;
- определить температуру на границах спектров  $T_b$ ,  $T_{l-1}$  и ее среднее значение  $T_{cp} = (T_l + T_{l-1})/2$ ;

— с графиком  $\beta(T)$  для определенной частоты найти по значению  $T_{cp}$ :

— определить величину  $\Delta l_i$ ,

— рассчитать значения  $\Delta P_i(\beta) =$



$= \beta(T_{cp}) \Delta l_i / 2 \Delta r$ .

Расчеты показывают, что разбиение сплошной воды окна с глубиной порядка 4000 м на 12...15 промежуточных слоев обеспечивает вполне удовлетворительную точность расчета. Рис. 3-27. К выводу выражения (7...10%) изменения давления за счет

для параметра Рейнольдса изменения  $\Delta r$  равна

пространственного затухания.

**Пример 3.5.** Вынести выражение, определяющее параметр Рейнольдса. Расмотрим два луча  $l$  и  $2$ , падающие на неровную поверхность под углом  $\theta$  (рис. 3-27). Найдем разность фаз между этими лучами после их отражения от различных точек поверхности. Проведем плоскость  $z = 0$  между лучами  $l$  и  $2$ . Поступаему разности фаз между лучами  $l$  и  $2$  постепенно приводим к виду

$\Delta r = B \cdot C + CD = 2CD - AB \cdot \ln(CD \cos \delta - h \cdot AB + AD \sin \delta) =$

$$= 2h \operatorname{tg} \delta \sin \theta.$$

Следовательно,  $\Delta r = 2h \operatorname{tg} \delta \sin \theta = 2h \cos \theta \sin \theta = 2k \sin \theta$  и разность фаз через угол скольжения  $\alpha = 90^\circ - \theta$ ;  $\Delta \varphi = k \Delta r = 2kh \sin \alpha$ . Мы получили формулу (3.9).

**Пример 3.6.** Показать возможность оценки параметров грунта, предложенного в виде полукаспийской среды, по результатам экспериментальных угловых зависимостей модуля коэффициента отражения. **Решение.** В выражении (3.12) производим некоторые преобразования. Представим  $C_2 = C_{20} \exp(-f\delta)$ , где  $\delta = \pi/2 - \pi/2$  — угол потерь.

$$B = (1 + |V| \cos \delta)^2 + |V|^2 \sin^2 \Theta,$$

$$n = c_0 / c_{20} = (c_0 / c_{20}) |\exp(-f\delta)| = |n| \exp(-f\delta); \quad V = |V| \exp(j\varphi)$$

После подстановки в (3.12) получим

$$\begin{aligned} c_{20}^2 &= c_0^2 B^2 \sin 2\delta / 4m |V| (1 - |V|^2) \cos^2 \theta_S \sin \delta, \\ \text{т.е.} \quad B &= (1 + |V| \cos \delta)^2 + |V|^2 \sin^2 \Theta; \end{aligned}$$

Направлен, экстремальным получено  $V = |1.62| \exp(f(45^\circ))$  при угле падения  $\Theta_1 = 60^\circ$ ;  $\rho_1 = 2.65 \text{ г/см}^3$ ;  $c_0 = 1500 \text{ м/с}$ . Результаты расчетов:

$$B^2 = 5.2;$$

$$\cos \delta = 1.530 \text{ м/с};$$

$$\delta = -9.5^\circ;$$

$$\eta = 0.3;$$

$$\beta_r = 710^{-2} \text{ м/с.}$$

**Пример 3.7.** Излучатель расположжен на оси ПЗК. Определить угол выхода луча из источника, претерпевшего полное внутреннее отра-

жение у поверхности и два раза.  
Решение. Выберем краюю  $I$  на рис. 3.2 с глубиной места 2500 м. С  $k = 1460 \text{ м/с}$ . Из условия задачи  $a_{\alpha} = a_{\mu} = 0$ ;  $c_p = c_t = 1476 \text{ м/с}$ ;  $c_d = c_v = 1508 \text{ м/с}$ . Из правой части волнистограммы (см. рис. 3.8):

$$a_{\alpha, m} = 8.5^\circ; \quad a_{\mu, 2} = 14.5^\circ.$$

**Пример 3.8.** Скорость звука на горизонте источника равна 1500 м/с. Определить угол выхода луча из источника, если он претерпевает полное внутреннее отражение в проколах, где скорость звука равна соотвественно  $c_r = 1502 \text{ м/с}$  и  $c_{t, 2} = 1504 \text{ м/с}$ .

**Решение.** Постоиму  $\Delta c = 2 \cdot 4 \text{ м/с} = 6.6 \text{ м/с}$ , восползувшись левой частью логнограммы (см. рис. 3.8);  $a_{\alpha, m} = 225^\circ$ ;  $a_{\mu, m} = 42.5^\circ$ .

**Пример 3.9.** Излучатель расположен у поверхности моря;  $c_p = 1500 \text{ м/с}$ . Определить горизонтальный угол отражения луча, выходящего из источника за пределами  $\alpha_0 = 5^\circ$ , если промежуточный слой характеризуется полупоглощенной рефракцией с относительным градиентом  $a = 1.2 \cdot 10^{-5} \text{ м}^{-1}$ .

**Решение.** Задача решается обратным путем. Переиндексируя от оси ординат в точке со  $= 1500 \text{ м/с}$  проводится до пересечения с видимой границей  $a = 5^\circ$ , что дает  $c_t = 1504 \text{ м/с}$ . Горизонт преграды луча находится из выражения  $\Delta z = \Delta c/a_0 \approx 34 \text{ м}$ .

**Пример 3.10.** Для распространения скорости звука, характерного для арктических районов (рис. 3.2), рассчитать горизонтальную дальность до выхода луча к поверхности, претерпевшего полное внутреннее отражение  $\theta$  раза. Определить угол входа луча в первую стой, а также на горизонтах, равных 290 и 790 м. Источник звука находится на поверхности.

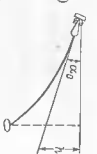
**Решение.** Согласно заданию  $c_p = c_d = 1482 \text{ м/с}$ . Из рис. 3.8  $a_0 = 13.40^\circ$ ;  $a_{\alpha} = 10.20^\circ$ ; из рис. 3.10  $r \approx 23 \text{ тыс. м}$ .

**Пример 3.11.** Помозгая лучевой акустикой, показать возможность определения глубины поражения цели.

**Решение.** В однородной среде глубина поражения цели района  $a_0 = c_0 \sin \alpha_0$  по  $r =$  в сумме пробега импульсом расстояния от цели и объекта.

Истинная глубина поражения цели может быть определена, если известны профиль скорости звука  $c(z)$ , время пробега  $t$  импульсом по пути от цели и измерено значение угла прямого луча  $\alpha$  (рис. 3.28). Согласно рис. 3.28  $dt = dS/c(z)$ , но  $dS = dz/\sin \alpha(z)$ . После интегрирования для времени пробега можно получить

$$t = \pm \frac{1}{c_0} \int_{z_0}^z \frac{n^2(z) dz}{\sqrt{n^2(z) - \cos^2 \alpha_0}} \quad (3.97)$$



В выражении (3.97) известны все величины, кроме истинной глубины поражения цели  $t$ . Если зависимость  $c(z)$  имеет сплошной глубины поражения (3.97) должна вычисляться методами. Если же  $n^2(z)$  является линейной функцией глубины, например  $n^2(z) = 1 + 2z$ , то интеграл вычисляется горю. В частности, при таком аппроксимации и предположении  $\cos^2 \alpha_0 = 1$ ;  $z^2 \alpha_0 \approx \alpha_0^2$  в (3.8) получаем такой результат:  $t = h = h_0 + a(c_0 t)^2/2$ .

Основная поправка на глубину поражения объекта равна  $\Delta h = h - h_0 = a(c_0 t)^2/2$ .

Пусть  $a = 6 \cdot 10^{-5} \text{ 1/км}$ ;  $t = 6 \text{ с}$ ;  $\Delta h = 65 \text{ м}$ .

**Пример 3.12.** Оценить пределы применимости лучевой акустики.

**Решение.** Максимальные отражательные градиенты в океане составляют  $a = 4 \cdot 10^{-3} \text{ м}^{-1}$ .

Согласно формуле (3.35), полагая, что неравенство  $\lambda \ll 1$  выполняется при  $\lambda = 0.1$ , для наивысшей частоты границы имеют  $f = 60 \text{ Гц}$ .

В случае гидростатического градиента  $g = 2 \cdot 10^{-5} \text{ м}^{-1}$ ,  $f = 1.8 \text{ Гц}$ .

Обратимся к условию  $a_0 \geq (\pi \lambda/2\pi)^{1/3}$ . Возьмем  $f = 60 \text{ Гц}$  и  $a = 4 \cdot 10^{-3} \text{ м}^{-1}$ ,  $a_0 \geq 14.5^\circ$ . С повышением частоты значения предельных углов склонения увеличиваются. При  $f = 1 \text{ кГц}$ ,  $a_0 \geq 56.5^\circ$ . Таким образом, второе условие является более жестким. При заданных  $a$  в зависимости от частоты условия должны быть исключены лучи в замкнутом угловом диапазоне.

**Пример 3.13.** Получить выражение для фактора фокусировки при различиях распространения скорости звука с глубиной.

**Решение.** 1) рассмотрим случай постоянной скорости звука. Горизонтальное расстояние определяется выражением (3.29).

Возьмем производную  $\partial r / \partial \alpha_0$  и утром, что  $\partial r / \partial \alpha_0 = F(\alpha_0)$ .

$$\partial r / \partial \alpha_0 = \left[ \sin \alpha_0 \sin \alpha(z) + \cos \alpha_0 \cos \alpha(z) \frac{\partial \alpha(z)}{\partial \alpha_0} + 1 \right] / a \cos^2 \alpha_0.$$

Величина  $\partial \alpha(z) / \partial \alpha_0$  может быть определена из закона Синуса. Окончательно имеем

$$\partial r / \partial \alpha_0 = r / \cos \alpha_0 \sin \alpha(z),$$

$$(3.98)$$

Поставим выражение (3.98) в (3.34), получаем  $f(a, r) = \cos^2 \alpha_0$ . При малых углах  $f(a, r) = 1.0$ . Таким образом, в случае  $a = \text{const}$  и малых углах  $\alpha_0$  фокусировка акустических лучей не происходит.

Пусть луч, исходящий из источника звука вида, отражается от дна. Положим, что горизонт источника и приемника совпадают. Для горизонтального расстояния  $r$  и производной  $\partial r / \partial a_0$  будет справедливо

$$r = 2[\sin a(z) - \sin a_0]/a \cos a_0; \quad \partial r / \partial a_0 = r/a \cos a_0 \sin a(z).$$

Основательно  $f(a, r) = \cos^2 a_0 \sin a(z)/\sin a_0$ . При достаточно больших глубинах отношение  $\sin a(z)/\sin a_0$  может в несколько раз превышать единицу.

2) рассмотрим случай произвольного расположения скорости звука в губеющей.

Апроксимируем профиль  $c(z)$  линейными отрезками. Если на горизонте излучения скорость звука равна  $c_0$ , угол выхода луча  $a_0$ , вдоль ствола  $k$ , то для полного горизонтального расстояния с учетом (3.30) получим

$$r = \frac{c_0}{\cos a_0} \sum_{i=1}^k \frac{\sin a_i - \sin a_{i-1}}{G_{c_i}}$$

Беря производную  $\partial r / \partial a$  и учитывая, что  $\partial a(z)/\partial a_0 = 4g a_0 c_0 g a_i$ , получим

$$\frac{\partial r}{\partial a_0} = \frac{c_0 \sin a_0}{\cos^2 a_0} \sum_{i=1}^k \frac{1}{G_{c_i}} \left[ \frac{1}{\sin a_i} - \frac{1}{\sin a_{i-1}} \right] =$$

$$= t \frac{k}{\sin a_0} \sum_{i=1}^k \frac{\Delta r_i}{\sin a_i \sin a_{i-1}} \quad (3.99)$$

Здесь  $\Delta r_i$  определяется согласно (3.30).

Подставляя выражение (3.99) в (3.34), имеем

$$f'(a_0, r) = \frac{r^2 + (z - z_0)^2 \cos^2 a_0}{r^2 + (z - z_0)^2 \cos^2 a_0} \quad (3.100)$$

$$r \sin a_0 \sin a(z) \sum_{i=1}^k \Delta r_i / (\sin a_i - \sin a_{i-1})$$

Заметим, что  $a(z) =$  угол склонения на горизонте наблюдения. Из выражения (3.100) видно, что в точках поворота луча  $a(z) = 0, f'(a, r) \rightarrow \infty$ ; это свидетельствует о направленности лучевой теории. Наименее, кроме того, что (3.100) справедливо при  $a_0 \gg (a \lambda/2\pi)^{1/3}$ .

Пример 3.14. Дадо распространение скорости звука (рис. 3.29). Определить фактор фокусировки в точке А на горизонтальном расстоянии  $r$ .

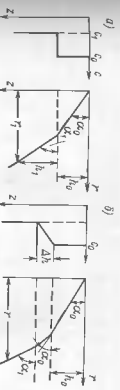


Рис. 3.29. Осиление звука стволом скважины — профиль скорости звука в губеющей при склонении звука в бесконечно тонком слое воды;  $\delta$  — в стое ковчевой толщины

**Решение.** Для горизонтального расстояния  $r$  с учетом малости углов  $a$  и  $\alpha$ , имеем

$$r = h_0/a_0 + h_1/a_1. \quad (3.101)$$

Углы  $a_1$  и  $a_0$  связаны между собой законом Снеллиуса:

$$\cos a_1 = (1 - \Delta c/c_0) \cos a_0; \quad \Delta c = c_0 - \Delta c.$$

Для малых углов склонения справедливо

$$a_1 = \sqrt{a_0^2 + 2\Delta c/c_0},$$

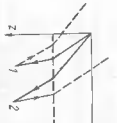
Дифференцируя (3.101) по  $a_0$ , учитывая  $da_1/d a_0 = a_0/a_1$  и подставив в (3.34), получаем

$$f'(a_0, r) = [h_0/a_0 + h_1/a_1]/[a_0 a_1 (h_0/a_0^3 + h_1/a_1^3)]. \quad (3.102)$$

Область глубин с реакцией переходом скорости звука изображается стволом скважины. При прохождении звука сквозь ствол склоненность поля река ослабленного действия, в области под стволом скважины ( $h_1 \ll h_0$ ) выражение (3.102) принимает вид

$$f(a_0, r) \approx a_0/r, \quad \text{то}$$

$$\begin{aligned} f(a_0, r) &\approx \frac{h_0}{r \sqrt{[h_0/r]^3 + 2\Delta c/c]} = \frac{h_0}{\sqrt{1 + 2r^2 \Delta c/h_0^3 c}} \approx \\ &\approx \frac{h_0^2}{r \sqrt{2\Delta c/c}} \end{aligned}$$



Например,  $\Delta c = 20 \text{ м/с}$ ;  $r = 2 \text{ км}$ ;  $a_0 = 50 \text{ м}$ ;  $c = 1,5 \cdot 10^3 \text{ м/с}$ ;  $f(d, r) = 0,15$ . Пущен аппроксимацией разрывных радиоприемников скорость звука является профилем, изобарической на рис. 3.29. Скорость звука определяется функцией вида  $c(z) = c_0(1 - az)$ . Несколько показано, что  $f(a_0, r) = f_0(r/a_0)/a_0^2 + (a_1 - a_0)/a_1$ . Если величины  $a$  и  $r$  положены, то угол по  $\frac{\pi}{4}$  град. При этом, если  $\Delta h \ll h$ , то

$$f(a_0, r) = a_0^2/a_1.$$

Очевидно, что для случая гидролокации в случае эхолокаторов силу приведения влагомассы ослабление поля составляет  $f^2(a_0, r)$ . Графически это показано на рис. 3.30. В любом случае выхода точки отражения на луче  $l$  или  $2$ , точка прямого излучения находится в пределах расходящейся после отражения азимутической группы.

Пример 3.15. Определить минимальное расстояние истечения звука от верхней границы  $z = H$ , при котором раскрытие изображения коротковолновых волн близки к их максимальному значению, равному единице.

**Решение.** Обозначим это расстояние через  $\Delta H$ . Оно найдется из условия  $|\cos(\pi(l-1/2)(H-\Delta H)/H)| = 1$ ,  $l = 1, 2, 3, \dots$ , хотя бы при одном из номеров  $l$ , соответствующих расположенным волнам. Учитывая, что  $\cos(\pi(l-1/2)(1-\Delta H/H)) = (-1)^{l+1} \sin[\pi(l-1/2)\Delta H/H]$ , так как  $\cos[\pi(l-1/2)] = 0$ ;  $\sin[\pi(l-1/2)]$ , заменим первоначальное условие в виде

$$|\sin[\pi(l-1/2)\Delta H/H]| = 1.$$

Для любой распространяющейся волны величина  $\pi(l-1/2) \leq kH$ , поэтому получим

$$|\sin(k\Delta H)| = 1 \quad \text{и} \quad \Delta H = \lambda/4.$$

Следовательно, излучатель следует расположить к абсолютно податливой границе на ближе, чем на четверть длины волны звука.

**Пример 3.16.** Пользуясь выражением для интенсивности звука в мелкой воде каки „эффектом“ значений фактора фокусировки звука в однородной бегущей волне, для „фокусового“ значения фактора фокусировки в воде получим

$$f = \sqrt{\pi}/2H(\sigma_1 + \sigma_2).$$

Пусть  $H = 200 \text{ м}$ ;  $\sigma_1 + \sigma_2 = 0,05 \dots 0,2$ . Тогда в пределах расстояния  $1 \dots 5 \text{ км}$  фактор фокусировки принимает значение  $11 \dots 14,5 \text{ дБ}$  и  $6,4 \dots 10 \text{ дБ}$  соответственно.

**Пример 3.17.** Определить основные характеристики проплавляемости ного каната толщиной соответственно  $50, 100, 200 \text{ мкм}$ , если градиент звуковых обрушиваний гидростатическим давлением, а излучатель располагается на поверхности.

**Решение.** Согласно формуле Лероя относительный градиент радиуса  $R = (61 \cdot 1,5 \cdot 10^3)^{-1} \approx 1,1 \cdot 10^{-5} \text{ м}^{-1}$ . На основании формулы (3.61), (3.59) и (3.75) для значений предельных углов, определяющих долю излучаемой энергии в один вспышки циклов  $\Delta$  и значений критических частот  $f_{k\theta}$  имеем:

$\Delta, \text{м}$	$f_{k\theta}, \text{Гц}$	$\theta, \text{рад}$
50	500	1,90
100	3300	2,68
200	176	3,82
500	8550	12,200
1000	176	62,5

Таким образом, рассмотренные каналы передают энергию в дальнейшую часть выше  $60 \dots 500 \text{ Гц}$  и расстояние углов не более  $3,8 \dots 3,2 \text{ рад.}$  Для ПЗК согласно (3.88), и параметров  $\Delta/c/e = 2 \cdot 10^{-3}$ ;  $H = 900 \text{ м}$ ;  $f_{k\theta} = 4,972 \text{ Гц}$ .

**Пример 3.18.** Найти уравнение каустики применительно к прямоволновому звукуому каналу. Излучатель находится на поверхности.

**Решение.** В гидростатической среде уравнение каустики лучей звуков излучения углов выхода плоск  $a_0$ :

$$r = r(z, \sigma_0).$$

Придавая различные значения углу  $\sigma_0$ , мы получим все возможные каустики, удовлетворяющие критерию нахождения из системы уравнений  $r = r(z, a_0)$ ,  $\partial/\partial\sigma_0 = 0$ .

Первое из этих уравнений для малых  $a_0$  записывается как

$$r = [(2N+1)a_0 - \sqrt{a_0^2 - 2az}] / a; \quad N = 0, 1, 2, 3, \dots \quad (3.103)$$

Дифференцируя (4.113) по  $a_0$  и приравнивая его к нулю, находим

$$\sigma_0 = (2N+1)\sqrt{2az} / \sqrt{(2N+1)^2 - 1}. \quad (3.104)$$

Подставляя (3.104) в (3.103), получаем уравнение каустики в виде уравнения Гардебольда

$$r^2 = 2[(2N+1)^2 - 1]z/a.$$

**Пример 3.19.** Показать аналитически, что интенсивность экспонента в однородной среде пропорциональна квадрату фактора аномалии.

**Решение.** В однородной среде точка излучателя и центр связана между собой концептуальным лучом (рис. 3.31).

Волны, испущенные по каждому из лучей на цель, отражаются по различным направлениям, в том числе и в направлении на приемник. В этом случае интенсивность сигнала будет определена как

$$I_3 \sim f_1 R_1 (f_1 R_1 + f_2 R_2 + f_2 R_3) + f_2 R_2 (f_1 R_1 + f_2 R_2 + f_3 R_3) +$$

$$+ f_3 R_3 (f_1 R_1 + f_2 R_2 + f_3 R_3) = [\sum f_i R_i]^2 \quad (3.105)$$

где  $R_i$  — функция характеристики направленности. Таким образом, в самом общем случае для интенсивности эхо-сигнала в реальной媒质е в гипотетической среде будет справедливо

$$I_3 = P_a \gamma_1 R_1^2 10^{-0.2 \alpha_p} A_f^2 / 10 \pi r^4;$$

$$A_f = \sum_{i=1}^N f_i(a) R_i^2(a, \varphi) W_i^{n_i}(a) V_i^{m_i}(a).$$

**Пример 3.20.** Определить величину переходного расстояния для скорости звука, изображенного на рис. 3.32.

**Решение.** Пусть излучатель и приемник находятся в пределах однородного слоя  $-H < z_0 < H$ . При  $|dz/dz| > H$  формула (3.87) принимает вид

$$\sigma = a_0; \quad c = c_0; \quad D(a_0) = H/g \ln \frac{r}{a_0} + g \ln a_0/a. \quad (3.87)$$

Во втором слое (на участке  $E F$  и  $M N$ ),  $4/H \ln a_0$  — расстояние, проходимое лучом, и упрощенные значения гиперболических интегралов, получим

$$r_0 = 2 \sqrt{H/a} / \pi. \quad (3.106)$$

Выражение (3.106) справедливо и для случая несимметричного канала, т. е. при  $z > H$   $|dz/dz| = c k z_0$ , а при  $z < -H$

$$|dz/dz| = a_2 z_0; \quad (a_1 \neq a_2),$$

если вместо градиента  $\sigma$  подставить  $\sigma = 2a_1 a_2/(a_1 + a_2)$ .

Пусть  $a_1 = 10^{-4}$  м;  $a_2 = 10^{-5}$  м;  $2H = 100$  м;  $r_0 = 2,8 \cdot 10^3$  м.

**Пример 3.21.** Для распространения скорости звука, изображенного на рис. 3.32, определить фактор фокусировки для случаев расположения излучателя и приемника на оси ПЗК.

**Решение.** Для гиперболического расположения  $r$ , в которое укладывается целое число циклов колебания  $a_0$ , имеем  $r = \pi/N(2H/\ln a_0 + 2\ln a_0/a)$ . Поставив в  $r$  произвольную  $\partial r/\partial a_0$ , получаем

$$f(a, r) = \left| \frac{\ln^2 a_0 + p}{\ln^2 a_0 - p} \right| \cos^2 a_0,$$

где  $p = \rho$  — фактор фокусировки, обращается в бесконечность. Следовательно, лучше, выходящие из источника волны близкими к  $a_0$  при возбуждении на ось канала фокусируются на некотором сре-

дом, приводящим к канализации в точку конфокальности.

Поставив  $18 a_0 = \sqrt{p}$  в выражение для гиперболического расстояния  $r$ , найдем расстояния, на которых фактор фокусировки обращается в бесконечность.

$$r = N a_0; \quad r_0 = 4 \sqrt{p} / \pi.$$

В этих точках  $\partial r/\partial a_0 = 0$ . Следовательно, для этих точек одновременно имеют место уравнения  $r = r(z_0, a_0)$ ;  $\partial r/\partial a_0 = 0$ , что означает принадлежность этих точек канализации. Поскольку лучшая теория спарвильдина дает  $\ln^2 a_0 \sqrt{p} > (\lambda/2\pi)^3$ , толщина однородного слоя должна быть

$$H \geqslant (\lambda/3\pi^2 a)^{1/3}.$$

**Пример 3.22.** Определить величину переходного расстояния  $r_0$  для распространения  $c(z)$ , изображенного на рис. 3.17. Источник звука на оси ПЗК.

**Решение.** Для реальных случаев с достаточной точностью можно положить

$$\cos a_1 \approx 1; \quad \sin a_1 \approx a_1; \quad \sin a_0 \approx a_0 = \sqrt{a_0^2 - 2(q_1 - 1)}; \quad q_1 = c_0/a_0.$$

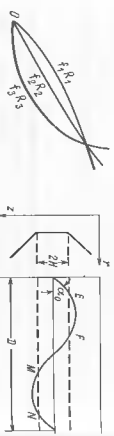
Аналогично и для  $\sin a(Z)$ . В результате получаем

$$\frac{1}{r_0} = 2 \int_{a_1 \min}^{a_1 \max} \frac{\sqrt{[a_1^2 - 2(q_1 - 1)][a_1^2 - 2(q - 1)]}}{a_1 d a_1} D(a_0)$$

где  $q = c(z)/c_0$ .

Скорость звука определяется уравнением  $c(z) = c_0 [1 - a_1(z - z_0)]$  при  $z < z_0$  и  $c(z) = c_0 [1 + a_1(z - z_0)]$  при  $z > z_0$ . При этом расстояния  $q_1 = 1$ ;  $q = 1 + a_1(z_0 - z)$ ;

Рис. 3.32. К расчету переходного расстояния  $r_0$  и фактора фокусировки в канале про-



$$a_1 \min = a_0 \min = \sqrt{2} a_1 (z_0 - z); \quad a_{1 \max} = a_0 \max = \sqrt{2} a_1 z.$$

Для любой углы скольжения которых заключены в указанном интервале,

$$D(a_0) = a_0 a^{-1}; \quad a^{-1} = a_1^{-1} + a_2^{-1},$$

Тогда

$$\frac{1}{r_0} = 2a \int \frac{\sqrt{2a_1^2 s_0}}{a_0 \sqrt{a_1^2 - 2a_1(z-z_0)}} = \frac{\sqrt{2a_1^2 s_0}}{\sqrt{2a_1(z_0-z_1)}} \arccos \left( \frac{\sqrt{2a_1(z_0-z)}}{\sqrt{2a_1 z_0}} \right)$$

Если применить расстояние недалеко от оси канала, так что выполняется условие  $\sqrt{(z_0-z)/z_0} \ll 1$ , то, ограничиваясь первым членом разложения арккоса, получим

$$r_0 = \sqrt{2a_1(z_0-z)/\pi a}.$$

Пусть  $a = 10^{-4}$  м;  $a = 2 \cdot 10^{-5}$  м;  $z = 10^3$  м;  $r_0 = 3,16 \cdot 10^3$  м. Значение  $r_0$  увеличивается при отходе от оси канала.

Это означает, что цилиндрический звуковой путь усиливается на все более далеких расстояниях от канала при удалении приемника от оси канала.

Пример 3.23. Определить в синусе переходного расстояния  $r_0$  для случая ПЗК.

Решение. ПЗК можно получить из рис. 3.32, если взять его индексную поливинил. При этом следует положить  $c_0 = c_k$  при  $z < H$  и  $dc/dz = a/c_k = \text{const}$  при  $z > H$ . При разделении канала и приемника внутрь однородного слоя сила звука будет в два раза больше, чем в синусе переходного ПЗК, а расстояние  $r_0$  в два раза меньше, чем значение по формуле (3.106).

Если при этом однородный слой отсутствует ( $H=0$ ) и во всем полупространстве  $z > 0$ ,  $c = c_k(1+az)$ , то получаем и применяем находим на производных уравнения  $z_0$ ,  $z$ , но выполняются условия  $(c_0 - c_k)/c_k = a z_0 \ll 1$ ,  $(c - c_k)/c_k = a z \ll 1$ ,  $z < z_k$ ,

$$\frac{1}{r_0} = \sqrt{\frac{2a}{z_0}} k(\sqrt{z/z_k}),$$

Пусть  $a = 1,2 \cdot 10^{-5}$  1/м;  $z_0 = 100$  м;  $z_0/z = 0,5 + j0$ . Тогда  $r_0 = 1,1 \cdot 10^{-3}$  и  $1,3 \cdot 10^{-3}$  м соответственно. Сравним этот результат с данными Р. Д. Урника [67].

Пусть  $z_0 = 50$  м. Обращаемся к формуле (3.80) и пользуясь данными примера 2.23, имеем  $r_0 \approx 1,2 \cdot 10^{-3}$ ;  $3,0 \cdot 10^{-3}$  и  $4,3 \cdot 10^{-3}$  м соответственно. Значения  $r_0$  определяются различными соотношениями, совпадают по порядку величины.

Пример 3.24. Оценить маскирующий эффект обвязкой развербара.

Решение. Характерной особенностью развербации является формирование ее на частоте излучения, при этом спектр развербации повторяет спектр излученного излучателя. Вокруг отдельные источники развербации  $J_1/J_0 = \gamma_1 R_1^2/2k_0 \pi c^2$ .

Если  $I_0/J_0 = 1$ , то можно найти расстояние  $r'$ , начиная с которого участь развербации превышает уровень эхо-излучения,

$$r' = \sqrt{\gamma_1 R_1} / \sqrt{2k_0 \pi c^2}$$

Пусть  $R_1 = R_2$ ;  $\gamma = 0,7$ ;  $r = 0,25$  см;  $R = 1,5$  м;  $\gamma_1 = 400$ ;  $k_0 = 4 \cdot 10^{-5}$ ;  $10^{-4}$  1/м. Тогда  $r' \approx 4,1 \cdot 10^3$  и  $1,3 \cdot 10^3$  м.

Пример 3.25. Оценить маскирующий эффект словной развербации.

Решение. Вокруг отдельных источников развербации:

$$I_0/I_p = 2\pi R_3^2/r \int_0^{2\pi} R_1^2 R_2^2 d\varphi M_2^2 c \tau,$$

где  $M_2^2 = \frac{2}{3} k_0 dz$ .

При небольших толщинах слов  $R(g^*) = R(0, \varphi)$ . Если при этом

$$R_1 = R_2, \quad 0 \int_0^{2\pi} R^4(0, \varphi) d\varphi = a \sin(\theta/2),$$

где  $R = \frac{2}{3} k_0 dz$ .

Для прямоугольной антенны  $a = 2/3$ .

Для расстояния  $r'$  будем иметь

$$r' = 2\pi R_3^2/a \sin(\theta/2) M_2^2 c \tau.$$

Пусть  $\sin(\theta/2) = 0,2$ ;  $R_3^2 = 15$  м;  $\tau = 0,25$  с;  $M_2^2 = 10^{-3} - 10^{-6}$ . Тогда

$\rho \approx 28,3 \cdot 10^{-6}$  м. Пример 3.26. Среди ее границы, рассчитывающие поглощающую акустическую энергию и формирующие развербации, можно отождествить цепь. Оценим "эффективные" эквивалентные радиусы морской среды:

где  $K$  — полный эллиптический интеграл первого рода.

$$R_{3, \text{ср}, \text{р}} = \sqrt{2 k_0 c \tau \pi r} / \sqrt{\gamma_1};$$

$$R_{3, \text{ср}, \text{р}} = \sqrt{c \tau \int_0^r k_0 dz} \sqrt{\frac{2 \pi}{\int_0^r R^2 d\varphi r}} / \sqrt{2 \pi}.$$

Заметим, что как отбеливание эхосигналов / радиорадиации, так и эквидистентный радио развертывания от毛主席 не зависит. Таким образом, сильные помехи гидролокатора не являются мерой борьбы с развертыванием помехой.

## ЭФФЕКТИВНОСТЬ СУДОВЫХ ГИДРОАКУСТИЧЕСКИХ СРЕДСТВ

### § 4.1. Методология оценки эффективности ГАС

**Постановка задачи.** Эффективность ГАС — степень соответствия тактических параметров предъявляемым требованиям при выполнении задач в конкретных условиях в течение заданного интервала времени. Эффективность определяется степенью тактического совершенства ГАС, т. е. структурой и свойствами образующих их устройств, способами использования, способностью выполнять свое назначение в установленных подзатыльниках противника и техническим состоянием в течение отведенного интервала времени.

Оценка эффективности ГАС производится в интересах планирования операций и учета различий целей и средств, в том числе и гидроакустических, на ее основе разработки и создания новых средств. В первом случае для планирования операций необходимо знать тактические характеристики средств в заданной совокупности исходных данных и возможность их дополнения предъявляемыми требованиями. Для сущности, находящейся на снабжении флота, оценка тактических возможностей является важнейшим элементом этапа оценки и их установившейся эксплуатации ГАС, после которой следует испытование по прямому назначению.

Применительно к рабочим приборам и средствам содействия первого сличья просусправляет количественную (атрибутивную) оценку физико-математических характеристик и сравнивает с требованиями эффективности. В этом случае обладает. Основой оценки эффективности будет отыскание значений различных параметров ГАС в интересах обеспечения предъявленных физико-математических (технических) требований с учетом наклонных ограничений по стоимости, габаритам, сложности и т. д.

Эффективность ГАС оценивается на основе выбранного критерия совокупности критерия совокупности показателей, характеризующих возможность выполнения поставленных задач в различных условиях [52].

**Критерий** — условие, признак (совокупность условий или признаков) соответствия средства предъявляемым требованиям. Показатель эффективности — количественная мера соответствия разработанного фундаментального поставленной перед системой цели. Показатель, характеризую-

ций способностью системы выполнить некоторую определенную задачу

дастся частичной.

Стремление оценить свойства ГАС при выполнении всех возможных на них задач с учетом всех факторов, влияющих на них, привело к необходимости разработки обобщенного показателя эффективности.

Современные ГАС являются средствами многоразового действия и предназначены для решения широкого круга задач в различных условиях обстановки. В связи с этим к ГАС правомерно отнести отнесение большой системы, а для исследования их использовать математический аппарат системотехники.

Основой системного подхода, как известно, является учет взаимозависимости и взаимообусловленности целого комплекса факторов и принятия решения (выбор лучшего варианта использования или выбор лучшего проекта) на основе полученных оценок, получаемых с помощью совокупности частных показателей или на основе выбранного обобщенного показателя.

Исходя из принципа системотехнического подхода, общими вопросами, подлежащими рассмотрению при оценке эффективности ГАС на любом этапе ее состояния, являются:

анализ задач, возлагаемых на ГАС;  
выбор частных и общих показателей и критерии эффективности;  
разработка математических моделей решения задач;  
формирование совокупности исходных данных и производные расчеты;

принятие решения по выбору варианта использования ГАС или технического решения на разработку.

Оценка эффективности ГАС – сложный многоступенчатый процесс, включающий ряд последовательных этапов, начиная с оценки эффективности отдельных каналов (подсистем) до оценки эффективности системы в целом (системы более высокого нервного уровня). Оценка эффективности начальных звеньев при этом оценивается первичными, эмпирическими показателями. По мере повышения нервного уровня яркость используется все более обобщенные характеристики и показатели.

Важнейшим моментом оценки эффективности ГАС независимо от этапа состояния является выбор критериев и соответствующих им показателей эффективности.

Общий вид показателя эффективности ГАС объекта, полностью характеризуемого совокупностью тактических  $\{a_i\}$  и технических параметров  $\{b_{ij}\}$ ,  $i = \overline{1, n}$ ,  $j = \overline{1, p}$ , а также совокупностью условий  $\{A_j\}$  и способов использования  $\{B_{ij}\}$ ,  $j = \overline{1, p}$ ,  $i = \overline{1, k}$ .

Для проектируемых и разрабатываемых ГАС, кроме того, должна быть учтена совокупность накладающих ограничений (стоимостных, массо-габаритных, энергетических и т. д.).

Следует подчеркнуть, что каждый тактический параметр  $a_i$  определяется совокупностью технических параметров  $\{\beta_{ij}\}$ .

Под условиями использования следует понимать гидроакустические характеристики района, а под способами – однотипные использование в составе группы судов, по одному или нескольким объектам наблюдения, находящимися в зоне обзора ГАС и т. д.

Таким образом, эффективность ГАС может быть условно представлена в виде функционала:

$$\mathcal{E} = \mathcal{E} \{ \alpha_i \}, \{ \beta_{ij} \}, \{ A_j \}, \{ B_{ij} \}. \quad (4.1)$$

В дальнейшем совокупность технических параметров, условий и способов использования будем обозначать  $\gamma_1, \gamma_2, \gamma_3$ .

Рассмотрим некоторый параметр  $\alpha_i$ , характеризующий решаемую задачу. В силу случайности целого ряда факторов этот параметр является случайным. Пусть  $F(\kappa)$  – функция распределения этого параметра, где  $\kappa$  – значение, приемлемое параметром  $\alpha_i$ .

Учитывая, что эффективность средства это степень его соответствия предъявляемым требованиям, для показателя эффективности мы выражаем

$$F(\kappa) = F[\kappa / \gamma_1, \gamma_2, \gamma_3]. \quad (4.2)$$

Здесь  $L(\kappa)$  – функция полезности, характеризующая поставленную задачу, а функция  $F(\kappa)$  количественно характеризует достижимые результаты.

Выражение (4.3) представляет собой математическое описание функции полезности  $L(\kappa)$  относительно функции  $F(\kappa)$ . Для определения конкретного значения показателя  $\mathcal{E}$  функции  $L(\kappa)$  и  $F(\kappa)$  должны быть каким-либо образом знаны.

Общее выражение (4.3) является спрямляемым и тогда, когда параметр  $\alpha$  является случайной, а детерминированной величиной. В этом случае необходимо использовать функцию распределения как частный вид случайной величины, тогда функция  $F(\kappa)$  будет иметь вид

$$F[\kappa / \gamma_1, \gamma_2, \gamma_3] = \begin{cases} 0 & \text{при } \kappa < \kappa^*[\gamma_1, A, B]; \\ 1 & \text{при } \kappa \geq \kappa^*[\gamma_1, A, B], \end{cases}$$

где  $\kappa^*[\gamma_1, A, B]$  – значение детерминированной величины  $\alpha$ , определяемое совокупностью технических параметров и заданных условий и способов использования.

В соответствии с выражением (4.3) показатель эффективности будет равен

$$\mathcal{E} = L(\kappa) / A_1 B_1$$

Задание функции полезности  $L(\kappa)$  и нахождение функции  $F(\kappa)$  являются достаточно сложной задачей. Но если они известны, то для показателя эффективности будет справедливо

$$3^* = \max_{\text{пр}} \left\{ \frac{\mathcal{E}(\kappa / \psi_1, A_1 B_1)}{\mathcal{E}} \right\}. \quad (4.4)$$

Запись (4.5), означает, что  $\mathcal{E}^*$  есть максимальное (минимальное) значение функции  $\mathcal{E}$ , взятое по совокупности возможных значений при заданных условиях и способах использования.

Изк, сущность оценки эффективности ГАС в соответствии с (4.3) и (4.5) сводится к нахождению функции полезности  $L(\kappa)$  и функции распределения  $F(\kappa / \psi_1)$ .

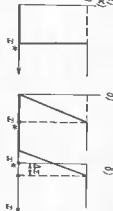
Конкретный вид функции полезности, характеризующей поставленные перед представителями задачи, в принципе может получиться при оценке эффективности системы более высокого инженерного уровня. В случаях, когда это не представляется возможным, функция  $L(\kappa)$  задается интуитивно из общих соображений или методом экспертных оценок.

Естественно, изменение характера функции  $L(\kappa)$  приведет к изменению некоторых видов функции полезности. Приведенные виды функций полезности не исчерпывают возможного их многообразия, но представлены наиболее типичными.

**Факторы, определяющие эффективность судовых ГАС.** Современные ГАС предназначены для решения большого круга задач. Основные из них [31, 42, 43] следующие: осмотр пространства и обнаружение целей, находящихся в зоне обзора; классификация целей; определение и сопровождение целей по координатам; выдача указаний пограничным информацией; обеспечение гидроакустической связью и навигационной безопасности; противодействие работе ГАС; измерение параметров среды и т. д.

Целевое назначение любого радиотехнического средства определяется ее тактическими параметрами (характеристиками), которые, в свою очередь, зависят от технических параметров.

Кроме тактических и технических параметров ГАС характеризуются эксплуатационными параметрами.



Чисто я вид параметров системы, составляющих тактико-

технические характеристики, зависит от назначения системы. Среди них можно выделить ряд основных, которые могут быть отнесены к любой из систем, размеры зоны обнаружения, определяемой сектором обзора по угловым координатам и дальностью действия; время обзора определяемые координаты и точность их измерения; разрешающая способность; помехозащищенность; надежность.

В группу технических параметров, в первую очередь, следует отнести акустическую мощность или развязывание при излучении давления рабочую частоту и длительность зондирующих импульсов, параметры направленного действия антенн, параметры тракта обработки и т. д. Вполне естественно, что возможность выполнения поставленных задач определяется также и обстоятельствами чисто внешними к ГАС: рядом стоящих также и обстоятельствами чисто внешними к ГАС: рядом стоящих возможностей узлов и механизмов, акустические свойства целей.

Таким образом, эффективность ГАС зависит от следующих основных четырех групп факторов:

- гидроакустических характеристик морской среды;
- акустических свойств объектов наблюдения;
- электроакустических параметров ГАС;
- акустических свойств целей.

Особенности распространения акустической энергии рассмотрены в гл. 3. Наиболее практический интерес представляют усредненные законы спадания или потери на распространение, позволяющие в дальнейшем производить расчет показателя эффективности ГАС.

Под усредненными наблюдениями понимают походовую акустическую помеху работы ГАС описанную в гл. 2.

К акустическим свойствам целей относится первичное гидроакустическое поле целей, формирующее сигнал для шумомодуляторов и встроенных гидроакустической полосы, определяющее дальность действия активных ГАС.

### § 4.2. Акустические характеристики объектов обнаружения, используемые при оценке эффективности судовых ГАС

**Акустические характеристики по первичному гидроакустическому полю.** Основными источниками первичного поля судна являются рабочие гребные винты, механизмы и судовые системы, а также гидродинамический шум отекания корпуса судна.

Гребной винт при своем вращении передает корпусу судна усилия через подшипники ватерпрова и боду. Силы, передающиеся через подшипники ватерпрова, могут быть следствием механической или гидродинамической нагрузки, воз действующими на оболочку корпуса и выступающие части, они вызывают вибрацию корпуса с частотой, равной числу оборотов винта.

Кроме того, гидродинамический шум винта при его работе в кавитационном поле скоростей, влияет на выбор геометрии корпера с частотой, кратной числу лопастей,

$$f_p = \pi z / 60, \text{ Гц},$$

где  $z$  — число оборотов винта в мин,  $z$  — число лопастей;  $z$  — номер гармоники.

При работе гребного винта возникает кавитационный шум. Кавитация является сплошным образованием, колебанием и постепенным разрушением воздушных пузырьков растворимого в воде газа. Интенсивное выделение таких пузырьков происходит при некотором критическом давлении  $P_{cr}$ . Кавитационный шум обладает высоким уровнем и занимает широкую полосу частот. Гребные винты надводных кораблей расположены в режиме повышенной мори и на начальном участке с малых ходов работают в режиме повышенной кавитации. На подводных толках момент позиционирования кавитации зависит от глубины и скорости, в связи с чем существует понятие критической скорости.

Массы воды, оторвавшиеся лопастями при вращении винта, вызывают самозубуждение потоков (автоколебания), формирующие интенсивный звук и облегчающий кавитацию цепей. Возможности кавитации улучшаются за счет изменения модуляции широкополосного кавитационного шума, называемой вращением гребного винта.

Работающие машины и механизмы, вызывая местные выбибрации, формируют интенсивный шум, проникающий в воду частично через воздух отsekов, а в основном через фундаменты и другие связи.

Движение судна в воде сопровождается возникновением гидро-

динамического шума, являющегося следствием турбулентных наростов, потока, вихревородления и кавитации на шероховатостях и выступах частей корпера.

Турбулентная потока сопровождается упомянутой акустического давления пограничного слоя, в связи с чем возможны вибрации отдельных листов обшивки, коробусных конструкций и всего корпуса в целом.

Первичное поле судов характеризует в основном функция спектральной плотности среднего квадрата давления шума.

Спектр суммарного акустического поля является суммой интегралов отдельных видов источников. Несколько на то что шумы различных классов судов обладают идентичностью, можно выделить некоторые общие закономерности, присущие первичным полям судов.

Работающие машины и механизмы формируют поле, для спектра которого характерно наличие сплошного фонового и ряда дискретных составляющих (устойчивых, превышающих), отмечаяющихся на частотах в различные лодках судов. С увеличением скорости шум машин и механизмов несколько повышается.

Основной вклад в первичное поле судов вносят гребные винты. Кавитационный шум характеризуется сплошным спектром от единицы Гц до сотни к Гц. Максимум спектральной плотности отмечается в звукоизмененном частотном диапазоне, который с увеличением скорости и уменьшением глубины маневрирования, возрастает в области более низких частот.

Повышение уровня шума наступает, начиная с некоторого значения скорости, называемой критической, при этом величина превышения составляет 20...30 дБ. Для надводных кораблей значение критической скорости составляет 6...9 уз. На подводных лодках она зависит от глубины маневрирования, возрастая с ее увеличением.

Гидродинамический шум в основном, характеризуется сплошными спектрами. Ощущаемый вклад в суммарное поле гребных шумов лежит в пределах 20 уз.

Исследования показали, что спектр шума может быть разбит на два диапазона. Спектр в диапазоне частот 0,5...1,0 кГц является наиболее действительным и интересным. Для этого участка характерен сплошной максимум и определенные дискретные составляющие. Уровни и положение максимумов в этом диапазоне определяются режимом движений и конструкции корабля. Так, наличие максимума в диапазоне частот 20...200 Гц является следствием выбибрации коренной оконечности и кавитации на выступающих частях корпуса.

В диапазоне частот выше 0,5...1,0 кГц спектр шумов кораблей, как правило, изменяется более плавно. С ростом частоты уровня спектра убывает. На малых ходах наклон спектра достигает величины 7...9 дБ/октава. С увеличением скорости спектр обогащается за счет кавитации, а наклон уменьшается до 0,5...6 дБ/октава.

На рис. 4.2 приведена типовая спектрограмма различных цепей [67, 69]. Можно видеть, что на частотах выше 0,5...1,0 кГц функция спектральной плотности мощности описывается выражением вида

$$G(f) = a / f^n, \quad (4.8)$$

Заметим, что, пользуясь (4.8), можно связать показатель  $n$  со спектром спектра  $\Delta G(f)$  в некотором интервале частот  $f_1 \dots f_2$ :

$$n = \Delta G / G(10 \lg(f_2/f_1)); \quad \Delta G = 10 \lg G(f_2) - 10 \lg G(f_1). \quad (4.9)$$

Если интervал частот — октава, то  $n = \Delta G / 3$  и при частотном диапазоне декада выражения (4.9) записывается  $n = \Delta G / 10$ .

Уровень спектра, приведенный на рис. 4.2, справедлив для небольших расстояний ( $r_0 = 1$  м).

Типовая зависимость уровня шума от скорости в звуковом диапазоне частот имеет вид:

$$\rho_{sh}(\Delta f) = k v^m, \quad (4.10)$$

где  $k$  и  $m$  — постоянные, определяемые конструкцией судна и диапазоном скоростей.

$$10 \lg G_{\text{ш}}(f) / \text{дБ/МГц} = f_1^2 / f_2^2 (f_2 / r)^{\beta}, \quad (4.11)$$

$$\rho_{\text{ш}}^2(f_0, \Delta f) = (r_0^2 / r^2) \int_a f^{-n} |10^{-0.1 \beta f}|^2 df, \quad (4.12)$$

где  $\beta$  – коэффициент пространственного затухания.

Выражение (4.11), определяющее площадь под функцией  $G(f)$  на произвольном расстоянии, можно представить в виде

$$\frac{f_2^2}{r^2} \int_a f^{-n} |10^{-0.1 \beta f}|^2 df = \frac{r_0^2}{r^2} \frac{\int_a f^{-n} df}{\Delta f} =$$



В такой записи квадрат давления шума представляет собой площадь прямоугольника с высотой  $G(f_0) 10^{-0.1 \beta f}$  и шириной  $\Delta f$ , равной площади под кривой  $G(f)$  на расстоянии  $r$ .

Таким образом,

$$\rho_{\text{ш}}^2(f_0, \Delta f, r) = \frac{a r_0^2 |10^{-0.1 \beta f}|^2}{r^2 f_0^n} \Delta f; \quad (4.13)$$



Рис. 4.2. Примеры спектров шумов некоторых цепей

$f_1 = 4$  – лестничный краеход,  $v = 24; 24A; 17$  и  $15$  усл.;  $S$  – торпеда (Япония);  $O$  – торпеда (США),  $v = 30$  усл.;  $g$  – торпедное судно;  $\vartheta$  – линкор,  $v = 20$  усл.;  $I_0$  – пассажирский судно;  $II$  – корабль,  $v = 15$  усл.;  $I_2 \dots I_5$  – подводная лодка под антенногомоном на перископической глубине,  $v = 10; 8; 6$  и  $4$  усл.

Для оценки дальности действия пассивных ГАС необходимо знать уровни шумов в полосе частот.

Допустим, что спектр шума корабля на расстоянии  $r_0 = 1$  м одинаков, как показано на рисунке 4.2. Тогда квадрат давления шума на некотором расстоянии  $r$  в полосе частот  $f_1 \dots f_2$  с учетом пространственного затухания составит

$$a = \rho_{\text{ш}}^2(f_0, 1, 1) f_0^n. \quad (4.14)$$

С учетом выражения (4.14) (4.13) примет вид

$$P_{\text{ш}}^2(f_2, \Delta f, r) = \rho_{\text{ш}}^2(f_0, 1, 1) \left( \frac{r_0}{r} \right)^2 \left( \frac{f_{01}}{f_2} \right)^2 10^{-0.1 \beta f} \Delta f. \quad (4.15)$$

Уровень шума в полосе будет

$$N_{\text{ш}}(f_2, \Delta f, r) = N_{\text{ш}}(f_{01}, 1, 1) + 20 \lg(r_0 f_2) - \beta_2 r + n \log(f_{01}/f_2) + 10 \lg \Delta f. \quad (4.16)$$

Индексы при уровнях шума обозначают частоту, полосу, расстояние, значение эквивалентной частоты  $f_3$  можно представить в виде произведения некоторого коэффициента  $\alpha(r)$ , зависящего от расстояния и среднегеометрической частоты  $\sqrt{f_1 f_2}$ .

$$f_3 = \alpha(r) \sqrt{f_1 f_2}. \quad (4.17)$$

Расчеты показывают, что в пределах спектра 1...12 дБ/октава, расстояний до 500 км, коэффициент  $\alpha(r)$  в частотных диапазонах 0,5...1,0 кГц и 2...4 кГц принимает значение 0,98...0,92 и 0,86...0,84 соответственно.

Интересно сравнить значения давлений шумов вычисляемых с использованием точного значения эквивалентной частоты  $f_3 = \alpha(r) \sqrt{f_1 f_2}$  и в виде среднегеометрического  $f = \sqrt{f_1 f_2}$ . Обозначим отношение этих давлений как  $m$ . Пусть  $f_0 = 10^3$  Гц.

$$m = \frac{P_{\text{ш}}(f_3 = \alpha \sqrt{f_1 f_2})}{P_{\text{ш}}(f_3 = \sqrt{f_1 f_2})} = \frac{\sqrt{f_1 f_2}}{f_3^{n/2}} 10^{0.095r} (\beta'_3 - \beta). \quad (4.18)$$

Здесь  $\beta'_3$  — коэффициент затухания на частоте  $f = \sqrt{f_1 f_2}$ . Значение коэффициента  $m$  для четырех частотных диапазонов и различных значений спектра приведены на рис. 4.3. Из рис. 4.3 видно, что  $m > 1$ , т. е. расчет давления шума в полосе частот с использованием эквивалентной частоты  $f_3 = \sqrt{f_1 f_2}$  приводит к занижению фактической величины давления. При этом ошибка в оценке давления будет тем выше, чем выше индекс отношения  $n$ .

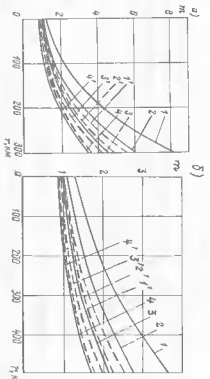


Рис. 4.3. Зависимость коэффициента  $m$  от расстояния и скорости спектра: (a) —  $f_1 = 1$  кГц;  $f_2 = 4$  кГц;  $f_1 = 2$  кГц;  $f_2 = 4$  кГц;  $f_1 = 1$  кГц;  $f_2 = 2$  кГц; (b) —  $f_1 = 0,5$  кГц;  $f_2 = 2$  кГц;  $f_1 = 1$  кГц;  $f_2 = 4$  кГц.

Кривые 1, 2, 3, 4; 1', 2', 3', 4' соответствуют значениям  $n = 4; 3; 2; 1$ .

частотных диапазонов и большие расстояния. Например, отношение давлений  $m$  в полосе частот 1...4 кГц при  $n=2, \dots, 4$  составляет от 5 до 8 раз. При производстве практических расчетов следует иметь в виду, что в уравнении шума, приведенные на рис. 4.2, спиральными для трансверзального направления, шум, излучаемый кораблями в направлении нос — корма в диапазоне частот 0,5...5 кГц, меньше, чем в бортовых аспектах, что является, по всей вероятности, следствием экраниации кораблем и кильватерной струей.

Акустические характеристики по вторичному гидроакустическому полю. Интенсивность звука, отраженного некоторым приемственным объектом, зависит от различных факторов: интенсивности падающей волны, расположения и приема. Обобщая, в отраженном сигнале можно выделить две составляющие условно называемые зеркальной (несущей) и дифракционной (случайной).

Зеркальная составляющая формируется за счет отражения от участков объекта локации с различными, сопоставимыми и значительно превышающими длины падающей волны. Отражение звука в этом случае получается законами геометрической акустики. Дифрактура составляющая является результатом рассеяния звука элементами корабельной струи, размеры которых много меньше длины волны, кильватерной и пеленальной пульзы, обволакивающих корпус цели при движении.

Сила звука, отраженного абсолютно жесткой сферой пропорциональна квадрату ее радиуса, может быть рассчитана по образованному для "высоких частот", совмещенного приемо-излучения и больших расстояний:

$$\left| \frac{p_{II}}{p_I} \right| = \frac{k}{2\pi r} \left| \int \exp(-j/2k\Delta r) \cos adS \right|, \quad (4.19)$$

где  $r$  — дальность в падающей и отраженной волне соответственно;

$\Delta r$  — кратчайшее расстояние от приемо-излучающей антенны до прямой линии, соединяющей конец приемника и нормалью в точке падения волны.

Решет по (4.19) для абсолютно жесткой сферы радиусом  $R_{\text{сф}}$  приводят к следующему выражению.

$$p_{II}/p_I = R_{\text{сф}}/(2r) \quad (4.20)$$

После перехода к интенсивностям с учетом пространственного затухания

$$= \frac{P_a \gamma_1 S_{\text{сф}}}{16 \pi r^4} 10^{-0.2 \beta r} = \frac{P_a \gamma_1 S_a}{16 \pi r^4} 10^{-0.2 \beta r}, \quad (4.21)$$

где  $S_a = \pi R^2$  — площадь попечного сечения сферы (эффективная площадь отражения сферы).

Аналогичным образом могут быть определены интенсивности эхо-импульсов от тел другой, сравнительно простой геометрической формы.

На практике отражательную способность кораблей и других целей придают характеристики радиусом абсолютной жесткости сферы эквивалентной по отражению данной кораблю. Другими словами, в каком случае метка отражательной способностью выступает радиус сферы, amplitude отражения от которой равна амплитуде отражения от данной сферы, корабля при прочих неизменных условиях. Выражение для интенсивности ярко-блеска в этом случае совпадает с выражением (4.20), за исключением замены  $R_{\text{сф}}$ , вместо которой записывается величина „эквивалентного радиуса цепи”  $R_a$ .

Прогонографируем (4.21) с учетом последнего замечания:

$$10 \lg I_a = 10 \lg (P_a \gamma_1 / 4 \pi) + 20 \lg (R_a / 2) - 2(20 \lg r + \beta r). \quad (4.22)$$

Величина  $20 \lg (R_a / 2) = T$  называется силой цепи, а  $(20 \lg r + \beta r)$  представляет собой потерю, обусловленную расширением фронта волны и пространственным затуханием при распространении в одну сторону.

При анализе уравнения под силой цепи понимают отношение интенсивности, возрастающей в некотором направлении, на единичном расстоянии от акустического центра цепи к интенсивности падающей на путь волны:

$$T = 10 \lg [I(r_0) / I_1] \Big|_{r_0 = 1}, \quad (4.23)$$

где  $I(r_0)$  — интенсивность отраженной волны на единичном расстоянии от цепи;  $I_1$  — интенсивность падающей волны в точке размещения цепи.

Действительно:

$$T = [P_a R_a^2 / 16 \pi r_0^2] \cdot [P_a / 4 \pi r_0^2] = R_a^2 / 4.$$

Сила цепи подводных объектов зависит от различных факторов, основными из которых является курсовой угол, расстояние, скорость и частота.

Наибольшее влияние на силу цепи оказывает курсовой угол. На курсовых углах от  $70^\circ$  до  $110^\circ$  уровень отражения кораблей максимальный.

С изменением курсового угла уменьшается эффективная отражательная поверхность и сила цепи падает. На иностранных и корабельных отражателях подводных лодок сила цепи по сравнению с трапециевидными уменьшается на  $10 \dots 20$  дБ.

При больших расстояниях сила цепи практически от расстояния не зависит. По мереближения с цепью сила цепи падает. Данное обстоятельство звук как плоскость или цилиндр, а не как сфера, и спадение поля по закону четвертой степени не отмечается. Экспериментально доказано что сила цепи подводных лодок достигает предельного значения при дистанциях в несколько сот метров. Этот же вывод справедлив и для кораблей, находящихся вблизи.

Характер влияния скорости на силу цепи будет определяться соотношением между этими двумя явлениями. Учитывая, что на больших расстояниях в пределе раствора  $\Delta t$  оказывается значительным участком волной среды, включая часть и кильватерную струю, следует ожидать некоторого увеличения силы цепи за счет подключения к эффекту отражения кильватерной струи.

Увеличение силы цепи с частотой объясняется наличием в корабле элементов с промежуточными составляющими и размерами, много меньшими, чем длина волны.

С увеличением частоты сила цепи растет в соответствии с зависимостью

$$T = 10 \lg [(R_0 / 2)^2 (f/f_0)], \quad (4.24)$$

где  $R_0$  — значение эквивалентного радиуса цепи на частоте  $f_0$ . Некоторые типовые значения силы цепи различных объектов и соответствующие им эквивалентные радиусы приведены в табл. 5.

Таблица 5. Сила цепи некоторых подводных объектов

Цепь	Курсовой угол, °	Сила цепи, дБ	Эквивалентный радиус, м	Примечание
Подводная лодка	90	27	44,28	Сила цепи для облучки частотой 100 кГц
Надводный корабль	Парусово-корпусной	10 ... 18	6,32 ... 15,8	Гидролокаторов.
	90	14 ... 27	10,0 ... 44,8	Водоизмещение до 5000 т.
Транспорт типа "Лайбринк"	60 ... 140	15 ... 23	11,2 ... 20,0	
Минэсмин	0	20 ... 30	63,2	
Торпеды	0	6 ... 10	4 ... 6,32	
Корабль средней плавучести	-	10 ... 20	0,628 ... 0,2	
Плавучий буёвый динамик	-	0	2	$f_0 = 20$ кГц
Рифы динамик	Любое	-15	0,356	
7 ... 15 см	Область сферы	-29 ... -39	3,54 ... 10^-2	$f_0 = 20 \dots 200$ кГц

**Обнаружение целей.** Обнаружение — принятие решения о нахождении объекта локации в разрешаемом зоне локации обзора водной среды с заданной (допустимой) вероятностью ошибочного разрешения. Процесс обнаружения начинается при обнаружении сигнала и заканчивается принятием решения оператором об отождествлении объекта локации определенному классу целей.

Поскольку обнаружение целей осуществляется, как правило, в помещении обстановке, для полного описания процесса обнаружения используются различные виды вероятности [52].

**Мгновенная вероятность обнаружения** сигнала цели  $P_i$  — вероятность обнаружения при однократном повторении (осмотре) заданного зондирования разрешения. Вероятность  $r_i$  отражает зависимость качества зондирования от номера обзора  $i$  или соответствующей ему дистанции до цели.

**Вероятность обнаружения цели  $P_0$**  — вероятность выполнения заданного (выбранного) правила решения об обнаружении цели в заданном числе смежных циклов обзора, последним из которых является текущий  $i$ -й цикл.

При расположении цели на небольших расстояниях от оператора может вынести решение об обнаружении цели по одной посылке. т. е. при выполнении простейшего правила об обнаружении. В этом случае  $P_0 = P_i$ . При наличии интересных помех окончательное решение об обнаружении оператор примет на основе анализа нескольких циклов обзора, и горизонт  $P_i$  и  $P_0$  оказываются различными.

**Вероятность первоначального обнаружения цели  $P_{\text{перв}}$**  определяет вероятность того, что при данном  $i$ -м цикле обзора принятого правила решения об обнаружении цели в смежных циклах обзора, из которых текущий является последним, выполнено впервые. Вероятность  $P_{\text{перв}}$  является важнейшим показателем эффективности ГАС, поскольку после первоначального обнаружения возможна практическое применение систем.

**Накопленная вероятность обнаружения цели  $P_i$**  выражает вероятность того, что при данном  $i$ -м цикле обзора выбранное правило принятого решения об обнаружении цели в  $i$  смежных циклах обзора было выполнено хотя бы один раз. Накопленная вероятность обнаружения является важным показателем ГАС при решении задачи обнаружения цели за время до ее приближения к определенному рубежу.

Положение этого рубежа относительно носителя ГАС характеризуется номером цикла обзора  $i$  или соответствующей ему дальностью [52].

Рассмотренные значения вероятностей зависят от отношения сигнал — помеха на входе ГАС (дистанции до цели) и могут быть рассчитаны при условии аналитического описания характера манипуляции цели.

$$r_i = r_1 - \psi_d T_{\text{обз}}(i-1),$$

где  $r_1$  — дистанция, соответствующая номеру обзора,  $i = 1$ ;  $\psi_d$  — расстояние до цели, с помощью уравнения дальности.

Текущая дистанция до цели в функции номера цикла обзора ГАС определяется соотношением

$$T_{\text{обз}}(i) = T_{\text{обз}}(i-1) + \frac{P_{\text{перв},i} P_{\text{обз}}}{P_{\text{перв},i-1} P_{\text{обз}}(i-1)}.$$

Решение о нахождении (появлении) цели в зоне обзора принимается либо по данным одного цикла, либо по результатам обработки нескольких смежных циклов обзора.

В качестве примера на рис. 4.4 представлена зависимость  $P_{\text{обз}}(i)$  от времени обзора  $r_{i-1}$ . Решение о нахождении цели в зоне обзора принимается либо по данным одного цикла, либо по результатам обработки нескольких смежных циклов обзора.

На рисунке приведены две шкалы  $r$  и  $i$ , имеющие противоположное направление.

Использование сложных правил принятия решения об обнаружении сигналов величину дистанции, соответствующей заданному значению вероятности обнаружения, не снижает и вероятность принятия ложного решения. Данное соотношение иллюстрируется кривой 4 на рис. 4.4. Максимальное значение вероятности первоначального обнаружения при сложном правиле ( $i = k$ ) реализуется на меньшей дальности, чем при правиле ( $i = 1$ ).

Вероятность первоначального обнаружения цели в случае принятия решения после каждого цикла (правило 1:1) может быть определена с помощью выражения

$$P_{\text{перв},1,1}(n) = P_{\text{перв}}(n) \prod_{i=1}^{n-1} [1 - P_{\text{перв}}(i)]. \quad (4.2)$$

Знание величины  $P_{\text{перв},1,1}(n)$  позволяет определить плотность вероятности и параметры закона распределения дальности действия ГАС, математического ожидания и дисперсии.



Рис. 4.4. Зависимость  $P_{\text{обз}}$  от дальности  $r$  и времени обзора  $i$ .

$$\bar{r} = \sum_{i=1}^k r_{\text{пера}, i, 1} (l) r_i$$

$$(4.27)$$

$$r_p^2 = \sum_{i=1}^k P_{\text{пера}, i, 1} (l) r_i^2 - (\bar{r})^2$$

$$(4.28)$$

Вероятность обнаружения цепи при стоком правиле правила решения  $P_0$ ,  $k$  выбросов на прояжении  $l$  последовательных циклов обзора, определяется зависимостью

$$P_0 = P_{\text{п.о.}} P_{\text{п.у.}} (k-1, l-1), \quad (4.29)$$

Если решение принимается по одному выбросу (простое правило), то

$$P_0 = P_{\text{п.о.}}$$

В самом общем случае, учитывая изменение мгновенных значений вероятностей от обзора к обзору, для вероятности  $P_{\text{п.у.}}$  будет справедливо

$$P_{\text{п.у.}} = \sum_{i=k-1}^{l-1} \sum_{j=1}^{c_f-1} p_j. \quad (4.30)$$

Здесь  $p_j$  — вероятность  $j$ -го сочетания  $i$  выбросов за  $i+1$  циклов. Для определения  $P_{\text{п.у.}}$  необходимо все возможные сочетания по выбросам за  $i-1$  циклов пронумеровать  $1, 2, \dots, (l-1)$ :

$$P_1 = P_{\text{п.о.}} (\nu), \dots, P_{n, o} (p) [1 - P_{\text{п.о.}} (m)], \dots, [1 - P_{\text{п.о.}} (g)], \quad (4.31)$$

где  $\nu, \dots, p$  сочетание выбросов, характеризующее случай, когда выбросы произошли в  $\nu, \dots, p$  циклах.

Если на прояжении  $l-j$  циклов относительным изменением вероятностей  $p_{\text{п.о.}}$  можно пренебречь, то (4.31) примет вид

$$P_{\text{п.у.}} = \sum_{i=k-1}^{l-1} c_{p-i}^l p_{\text{п.о.}}^i (1 - p_{\text{п.о.}})^{l-1-i}, \quad (4.32)$$

Характеристика накопленной вероятности типа  $P_{\text{н.у.}} (r)$  или  $P_{\text{н.о.}} (n)$ , как и  $P_{\text{п.о.}} (r)$  или  $P_{\text{пера}} (n)$ , рассчитывается исходя из заданных (известных) значений мгновенной вероятности  $p_{\text{п.о.}} (r)$  или  $p_{\text{п.о.}} (n)$ .

При независимости соединений и нахождении в подсистемах каждого цикла обзора цепь будет считаться обнаруженной, если выполнится условие правила „хотя бы один раз в течение  $n$  циклов“.

Выражение для оценки накопленной вероятности по правилу  $k, l$  хотя бы один раз за  $l$  циклов обзора имеет вид

$$P_{k, l, 1} (n) = P_{\text{п.к.}} (n-1) + P_{\text{пера}, k, l} (n), \quad (4.33)$$

где  $P_{\text{п.к.}} (n-1)$  — вероятность выполнения правила  $k, l$  хотя бы один раз за  $l-1$  циклов обзора;  $P_{\text{пера}, k, l} (n)$  вероятность выполнения правила  $k, l$  впервые в  $n$ -м цикле.

Заметим, что при любых правилах правилах практически решения обнаружения рассмотренные вероятности связаны очевидными соотношениями

$$P_{\text{к.д.}} (n) = 1 - Q (n) = \sum_{l=1}^n P_{\text{пера}} (l); \quad (4.34)$$

$$P_{\text{пера}} (n) = Q (n-1) - Q (n) = P_{\text{к.д.}} (n) - P_{\text{к.д.}} (n-1). \quad (4.35)$$

Здесь  $Q (n)$  — вероятность необнаружения цепи или вероятность того, что за  $n$  циклов обзора, включая текущий, правило решения об обнаружении не было выполнено ни разу.

Выражение для вероятности выполнения заданного правила впервые в  $n$ -м цикле имеют вид:

— обнаружение по правилу  $k, l$ ;

$$P_{\text{пера}, k, l} (n) = g (n-l) p (n-l+1), \dots, p (n) [1 - P_{\text{п.у.}, l} (n-i-1)] \dots;$$

— обнаружение по правилу  $(2, l)$ :

$$P_{\text{пера}, 2, l} (n) = \sum_{i=1}^{l-1} q [n - l - (l-1)] \dots q (n - i - 1) P (n - i) \times \\ \times q (n - i + 1) \dots q (n - 1) P (n) [1 - P_{\text{п.у.}, l} (n - i - l)]; \quad (4.36)$$

— обнаружение по правилу  $2, 3$  ( $k=2, l=3$ ):

$$P_{\text{пера}, (2, 3)} = q (n-3) q (n-2) P (n-1) p_n [1 - P_{\text{п.у.}, 3} (n-4)] + \\ + q (n-4) q (n-3) p (n-2) q (n-1) p_n [1 - P_{\text{п.у.}, 3} (n-5)].$$

В простейшем случае, когда решение об обнаружении принимается при условии, что хотя бы в одном из циклов было зарегистрировано превышение порога, выражение (4.33) имеет вид

$$1 - P_{\text{п.к.}, 1} (n) = [1 - p(n)] [1 - P_{\text{пера}, 1, 1} (n-1)],$$

$$P_{\text{недр}, 1,1}(n) = [1 - P_{H,1,1}(n-1)] p(n), \quad (4.37)$$

или

$$P_{H,1,1}(n) = 1 - \Pi [1 - \rho(i)],$$

Рассмотренные выше вероятности  $P_{D,0}$ ,  $P_{\text{недр}}$ ,  $P_H$  были справедливы для средней наблюдаемой с дискретным обзором. Современные троны шумопоглощением с врачающимися характеристиками направленими или веером статистической сформированности характеристик на правленности и электронным опросом пространственных каналов могут считаться средствами наблюдения с непрерывным обзором.

Выражение для наклонной вероятности в этом случае имеет вид

$$P_H(t_H) = 1 - Q(t_H) = 1 - \exp \left[ - \int_0^{t_H} \gamma_T dt \right] = 1 - \exp(-\varphi), \quad (4.38)$$

где  $Q(t_H)$  — вероятность необнаружения цели за время  $t_H$ ;  $\varphi$  — потенциал обнаружения.

Величина  $\gamma_T(t)$  называется интенсивностью обнаружения и представляет собой математическое ожидание числа обнаруженных целей в единицу времени. Используя в качестве аргумента дальность  $D$ , вместо выражения (4.38) будем иметь

$$P_H(D) = 1 - Q(D) = 1 - \exp \left[ - \int_D^D \gamma_T(D) dD \right] = 1 - \exp(-\varphi(D)). \quad (4.39)$$

В принципе можно показать, что соотношения для вероятностей, характеризующих дискретный обзор, могут быть выражены через вероятности при непрерывном обзоре и наоборот.

Апроксимация вероятностных характеристик обнаружения. Показатель эффективности ГАС вида (4.3) трактует определение функции распределения  $f(D) = \partial F(D)/\partial D$ , что в явном виде является достаточно сложной задачей. Вместе с тем выражение (4.26) представляет собой эффективность распространения информации, но для расчета показателя эффективности необходимо сформировать известными аналитическими способы решениями. Функция  $f(D)$  напоминает кривую гусиного распределения, которую в дальнейшем и используем для аппроксимации. Апроксимирующее соотношение запишем в виде (рис. 4.5):

$$f(D) = \frac{h}{\sqrt{\pi}} \exp[-h^2(D - \bar{D})^2] = \frac{1}{\sqrt{2\pi}\sigma} \exp \left[ -\frac{(D - \bar{D})^2}{2\sigma^2} \right], \quad (4.40)$$

$\bar{D}$  — математическое ожидание дальности обнаружения;  $h$  и  $\sigma$  — параметры распределения, связанные с собственными

$$h = \frac{1}{\sqrt{2\sigma}}, \quad \sigma = \frac{1}{\sqrt{2h}}, \quad (4.41)$$

$$\text{Пр} D = \bar{D}, f(D) = f(\bar{D}) = f_{\max}(D); \quad f_{\max}(D) = f(\bar{D}) = \frac{h}{\sqrt{\pi}} = \frac{1}{\sqrt{2\pi}\sigma} \quad (4.42)$$

параметры  $h$  и  $\sigma$  достаточно легко определяются по реальной кривой  $f(D)$  путем нахождения ширинны участка дальности, стоя от листанца до цели соответствующего определенному уровню, скажем, от 0,5  $f(D)$ . Обозначим ширину этого участка как  $d_{0,5}$ . Подставим в (4.40)  $\bar{D}$  и получим

$$h = -\frac{\ln 0,5}{0,25d_{0,5}^2} = \frac{2,77}{d_{0,5}^2}, \quad (4.43)$$

$$\sigma = \frac{1}{\sqrt{2h}} \approx 0,427d_{0,5}. \quad (4.44)$$

Соотношения (4.43) и (4.44) формулу (4.40) запишем в виде

$$f(D) = \frac{0,94}{d_{0,5}} \exp \left[ -\frac{2,77}{d_{0,5}^2} (D - \bar{D})^2 \right] \quad (4.45)$$

Полученное аппроксимирующее соотношение используются при расчете показателей эффективности ГАС.

Уравнение дальности. Дальность действия судовых ГАС, под которой понимают максимальное расстояние до цели, соответствующее заданным вероятностям  $P_{D,0}$  и  $P_H$ , зависит от значительного числа факторов, меняющихся во времени.

К числу таких факторов относят акустические характеристики зон, условия распространения акустической энергии, условия обзора, а также и т. д. По своей физической природе отмеченные факторы являются случайными, в силу чего и дальность действия является случайной величиной, подчиняющейся определенным законам распределения. Их величиной, подчиняющейся определенным законам распределения, является эффективность обнаружения зависящая от вида оконченного устройства. Если в качестве оконченного устройства используется раз-



Рис. 4.5. Аппроксимация

вероятности обнаружения дальности

параметрами  $\bar{D}$  и  $\sigma$ .

При этом (4.43) и (4.44) формулу (4.40) запишем в виде

$$f(D) = \frac{0,94}{d_{0,5}} \exp \left[ -\frac{2,77}{d_{0,5}^2} (D - \bar{D})^2 \right] \quad (4.45)$$

Полученное аппроксимирующее соотношение используется при расчете показателей эффективности ГАС.

Уравнение дальности. Дальность действия судовых ГАС, под которой понимают максимальное расстояние до цели, соответствующее заданным вероятностям  $P_{D,0}$  и  $P_H$ , зависит от значительного числа факторов, меняющихся во времени.

К числу таких факторов относят акустические характеристики зон, условия распространения акустической энергии, условия обзора,

а также и т. д. По своей физической природе отмеченные факторы являются случайными, в силу чего и дальность действия является случайной

величиной, подчиняющейся определенным законам распределения.

Их величиной, подчиняющейся определенным законам распределения, является эффективность обнаружения зависящая от вида оконченного

с оператором как получателем информации по интенсивности излучения и т. д.) будет зависеть от его состояния активности, включающей как интенсивный, так и психомоторные качества.

Характерной особенностью ГАС, по сравнению с другими радиолокационными средствами, является существенная зависимость дальности действия от условий распространения акустической энергии.

В связи с этим следует различать энергетическую дальность действия в реальных гидроакустических установках.

Описав все факторы, определяющие возможность обнаружения целей средними значениями, получим уравнение дальности в виде

$$I_c > \delta^2 I_{\text{th}}(f_a, \Delta f), \quad (4.46)$$

$$P_0 \geq \delta P_n(f_a, \Delta f). \quad (4.47)$$

Здесь  $I_c$ ,  $P_0$ ,  $I_{\text{th}}$ ,  $P_n$  – интенсивность и давление сигнала и помех в точке приема, соответственно;  $\delta$  – коэффициент расстояния, отдалине сигнала / помех на входе тракта обработки, обеспечивающее регистрацию сигнала с заданными значениями  $P_{\text{th},0}$ ,  $P_{\text{th},t}$ . Уравнение (4.47) может быть также использовано для определения текущего отношения сигнал / помеха на входе гидролокационного приемника и последующего использования этого отношения при расчетах вероятностных характеристик обнаружения. Заметим, при этом, что величина  $\delta$  связана с отношением сигнал / помеха на входе индикатора  $k_5$  параметром помехоустойчивости:

$$\delta = k_5 / Q \quad (4.48)$$

Разберем уравнение дальности применительно к различным режимам работы ГАС.

Режим звукопоглощения

$$\frac{P_a \gamma_1 R_3^2}{16 \pi r^4} - 10 - 0.2 \beta r A_f^2 \geq \delta^2 I_{\text{th}}(f_a, \Delta f), \quad (4.49)$$

Здесь  $P_a$ ,  $\gamma_1$  – акустическая мощность и коэффициент концентрации излучателя;  $A_f$  – фактор аномалии;  $I_{\text{th}}(f_a, \Delta f)$  – интенсивность помех в рабочей полосе станции;  $R_3$  – эквивалентный радиус цели.

Практические расчеты удобнее выполнять в единицах давления.

Выполним некоторые преобразования в (4.49):

$$P_a \gamma_1 / 4 \pi r_0^2 = \rho_0^2 / \rho c;$$

$$I_{\text{th}}(f_a, \Delta f) = \rho_n^2(f_a, \Delta f) / \rho c, \quad (4.50)$$

где  $r_0 = 1$  м;  $\rho$  – волновое сопротивление среды;  $P_n(f_a, \Delta f)$  – давление помехи в рабочей полосе станции. На основании этого уравнение (4.49) примет вид

$$\frac{P_0^2 r_0^2 R_3^2}{4 \pi r^4} - 10 - 0.2 \beta r A_f^2 \geq \delta^2 P_n^2(f_a, \Delta f), \quad (4.51)$$

где  $\rho_0$  – давление, развиваемое гидролокатором на оси ДН и условно называемое  $r_0 = 1$  м.

$$P_0 = 3.45 \cdot 10^{-2} \sqrt{P_n \gamma_1}, \quad (4.52)$$

Уравнение (4.51) является трансцендентным. Удобнее его решать методом гравитантактическим методом. Протографифмируем сто и оставим в левой части только члены, зависящие от расстояния:

$$2 \left[ -20 \lg r - \beta r + 10 \lg A_f \right] \geq N_{k,p} + N_{\text{th}}(f_a, \Delta f) - T - N_c, \quad (4.53)$$

где  $N_{k,p}$  – коэффициент расстояния;  $N_{\text{th}}(f_a, \Delta f) = 20 \lg P_n(f_a, \Delta f) - N_c = 20 \lg \rho_0$  – уровень помехи в рабочей полосе ГАС;  $T = 20 \lg (R_3 / 2)$  – сила шума;  $N_c = 20 \lg \rho_0$  – уровень излучения.

Левая часть представляется собой потерю при рас пространении (ПР), обусловленную расширением фронта волны и пространственным затуханием с учетом влияния среды. Второй множитель означает, что эти потери соответствуют расстоянию от ГАС до цели и обратно. Правая часть уравнения является потенциалом обнаружения ПО.

Максимальная (пределная) дальность будет корнем трансцендентного уравнения, при котором оно обращается в равенство. Потери на распространение, входящие в формулу (4.53) применительно к условиям однородной беспреградной среды, приведены на рис. 4.6. Расчет коэффициента затухания производится по формуле  $\beta = 0.0356 / d$ .

Величина дистинции, соответствующая корню уравнения (4.51),

при  $A_f = 1$  определяет энергетическую дальность действия ГАС. В режиме шумоподавления уравнение дальности с учетом (4.13) и (4.47) имеет вид

$$\frac{P_0^2 (1,1,1) r_0^2}{f_{\text{th}}^{\prime 2} \gamma_1} - 10 - 0.1 \beta r A_f \geq \delta^2 \frac{P_n^2 (1,1)}{f_{\text{th}}^{\prime 2} \gamma_2}, \quad (4.54)$$

где  $P_{\text{th}}(1,1,1)$ ;  $P_n(1,1)$  – приведенные давления шума цели и помехи ГАС соответственно;  $f_{\text{th}}^{\prime 1}$ ,  $f_{\text{th}}^{\prime 2}$  – окраинные частоты;  $\gamma_1$ ,  $\gamma_2$  – показатели при частоте в спектральной плотности мощности шума цели и помехи носителя ГАС;  $\gamma_2$  – коэффициент концентрации в режиме приема;  $r_0 = 1$  м.

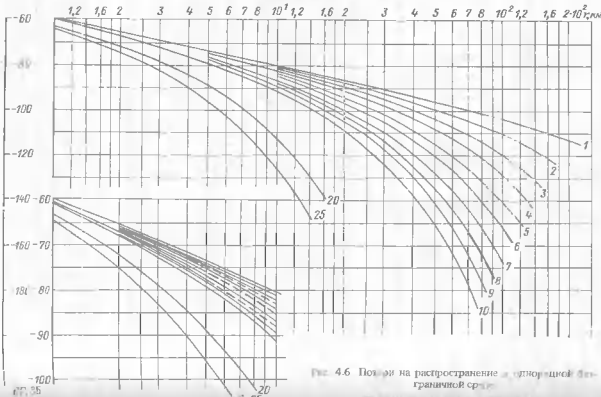


Рис. 4.6. Потери на распространение в однородной атмосфере при постоянной средней мощности.

При идентичности форм спектров и небольших расстояниях  $r_1 \approx r_2$ ,  
 $\approx f_{32}$  выражение (4.54) упрощается.

$$\frac{p_n^2(1,1,1)r_0^2}{r^2} 10^{0.1\beta r} A_f \geq \delta^2 \frac{p_n^2(1,1)}{r_2}, \quad (4.55)$$

аналогично (4.53) имеем

$$10\lg r - \beta r + 10\lg A_f \geq N_{k,p} + N_n(f_3, \Delta f) - 10\lg \gamma_2 - N_{\text{ш}}(1,1,1); \quad (4.56)$$

$\text{ПР} \geq \text{ПО}$

$N_{k,p} = 20\lg \delta$  — коэффициент распространения;  $N_{\text{ш}}(1,1,1)$  — предельный уровень помехи;  $N_n(1,1,1)$  — принятенный уровень шума. Приведенные уровни шума и помех выбраны из соответствующих спектрограмм (см. рис. 2.11 и 4.2).

Для средств гидроакустической связи (системетрических систем) приведение дальности записывается в виде

$$\frac{p_0^2 r_0^2 R_1^2(\varphi) R_2^2(\varphi)}{r^2} 10^{-0.1\beta r} A_f \geq \delta^2 p_n^2(f_3, \Delta f). \quad (4.57)$$

в логарифмической форме

$$-10\lg r - \beta r + 10\lg A_f \geq N_{k,p} + N_n(f_3, \Delta f) - 20\lg R_2(\varphi) - N_n. \quad (4.58)$$

$\text{ПР} \geq \text{ПО}$ ,

$$(4.58) \quad r_0 = 1 \text{ м}; R_1(\varphi); R_2(\varphi) \dots \text{Функции характеристики направления излучения и приемника в горизонтальной плоскости} \text{ соответствен-$$

$N_{k,p}$  и  $N_n$  — та же, что и в (4.53).

Таким образом, зная технические параметры ГАС, акустические свойства целей и условия наблюдения (уровень помех работе ГАС) — получим линейную зависимость  $r = r(\rho, \varphi)$ .

Значение коэффициента распространения при этом, соответствующее спектральной вероятности правильного обнаружения ( $p_{\text{п.о.}}$ ), рассчитывается исходя из запланированного статистического критерия (см. гл. 2).

Эффективность средств гидроакустической связи, работающих в сплошном режиме, зависит как от величины отложных сигналов, так и от требований разборчивости, громкости и натуральности. Первое требование для средства сплошной связи является основным. Видимо, как способ передачи речи определяется разборчивостью элементов речи — звуков, слов и фраз. Экспериментальные исследования показывают, что основная мощность речевых сигналов сосредоточена в диапазоне частот 0,5...2,5 кГц. Для средств служебной связи при сплошной модуляции интуитивно связь оказывается достаточноной, если по каналу передавать проплан частот от 300 до 1400 Гц.

Величина отношения сигнал/помеха ( $\delta_0$ ) при 70%-й модуляции выбиралась равной:

- для обеспечения минимально допустимого качества связи

$\delta_0^2 \geq 2,5$ ;

- для обеспечения удовлетворительной связи (4.59)

$\delta_0^2 \geq 4$ ;

- для обеспечения хорошей связи

$\delta_0^2 \geq 18$ .

**Влияние человека-оператора на эффективность обнаружения в классификации целей.** Рассмотренные выше соотношения для вероятности обнаружения справедливы для автоматических обнаружителей и не могут быть использованы при оценке эффективности ГАС с человеческим контроллером в качестве окончательного звена.

Функции оператора спрятаны к предмету, анализ информации и принятия решения. Основной и наиболее стойкой задачей оператора ГАС является установление наличия цели на основе анализа принятой информации, после чего осуществляется классификация контакта. Вероятность обнаружения зависит не только от величины отношения сигнал/помехи на входе индикатора, но и от целого ряда факторов, таких как: характер модуляции сигналов, тип ЭЛТ и разверток, характеристики приемо-передатчиков изображений, уровни освещения, внешние раздражители и т. д.

Несмотря на непрерывное совершенствование различных типов индикаторов, позволяющих регистрировать и длительное время хранить информацию об окружающей обстановке, слуху оператора по-прежнему отводится значительное внимание.

Анализ характеристик оператора показал, что человеческое ухо может служить как обнаружитель, содержащий набор полосовых фильтров, квадратный детектор и интегратор со временем осреднения порядка 0,2...1 с.

Ширина полосы фильтров, называемая критической, определяет возможность обнаружения тональных сигналов на фоне шумовой помехи. Изменение ширины полосы фильтров относительно критической приводит к снижению качества обнаружения. Значение критической полосы имеет минимум вблизи частоты 500 Гц и составляет величину порядка 60 Гц. Изменение рабочей частоты от 500 Гц вдвое и выше сопровождается величинами критической полосы частот,

в процессе радиолокации передаваемые всем индивидуально, отличник принимает после наблюдения отметки в двух-трех смежных строках обзора. Экспериментальные исследования характеристики определены при работе на типовых индикаторах показали, что вероятность правильного принятия за цели  $P_{\text{д}} = 0,95 \dots 0,98$ , вероятность правильного принятия обнаружения характеристик направляемости позволяет снизить вероятность ложной тревоги. В работе [76] приведен анализ работы определителя со звуковым индикатором. Оператор принимает определенное решение об обнаружении по результатам наблюдения в различных полентах и серии последовательных наблюдений на различные предполагаемые находки цели.

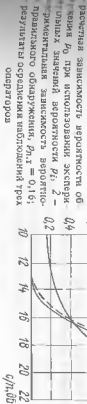
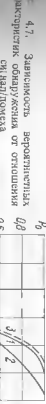
На рис. 4.7 приведена зависимость  $P_0$  от отношения сигнал/помеха на входе индикатора, построенная по результатам наблюдений ногами сканера 2 КГ на фоне шумовой помехи.

Таким образом, можно составить целый ряд важных выводов.

Характеристики обнаружения операторов так же, как и в автоматизированных ГАС, могут породить характер. Установлены правила применения решений об обнаружении на основе наложения характеристик и снижению вероятности ложных решений. Увеличение отношения сигнал/помеха на 2...3 Д проводит к увеличению вероятности обнаружения с 0,1...0,2 до 0,8. Хорошее совпадение различных и качественных показателей ТАС с характеристиками обнаружения с использованием стоячих правил указывает на первостепенную роль применения повторяемости сигналов в процессе идентификации и на участок в процессе решения кратковременной памяти оператора, в которой, очевидно, хранится вся информация о признаках наблюдаемого сигнала до окончания принятия решения.

Классификация контакт — стойкий и ответственный процесс в работе гидроакустика. Классификация контакта осуществляется оператором по совокупности признаков, основными из которых являются угловая протяженность цели, характер изменения цели на цель, тон излучения, тембр и т. д.

Угловая протяженность цели определяется панкетированием левого и правого срезов цели. Превышение угловой протяженности предполагает-



Индикатор	Обнаружение импульсных сигналов	Обнаружение шумовых сигналов
Электропроводная трубка Санктеса Уордона (искровый)	Минус несколько дБ -2; 0 +3 ... +6 <sup>1</sup>	-10 6 6 <sup>1</sup> ; 0

П о з в о л я ет реализовать большие отрицательные эмиссии.

Моя цепь позволяет сделать вывод об обнаружении вместо подводной подки косы. Изменение пелена на цель одновременно с тем, что цепь движется. При этом необходимо учитывать и претерпевание колебаний относительно цели. Тон эта также позволяет определить движение цели и облегчает классификацию. Наличие доплеровского сплита в частоте эхо-сигнала, одновременно как  $\Delta f = \pm 0.69$  Гц/м, к.г.п., позволяет снизить величину коэффициента распознавания. При сдвиге частот, разных 50...100 Гц, уменьшение коэффициента распознавания в случае приема импульсных сигналов с длительностью  $r_g = 30...100$  мс составляет 10...23 дБ соответственно [67]. Для классификации целей может быть также использована оценка длительности эхо-сигналов по сравнению с зоной притяжения и анализом показателя и тонкой структуры сигнала. Правило

$$kL \cos \theta / c,$$

где  $L$  – длина цепи;  $\theta$  – угол между направлением распространения волн и курсом цепи;  $k$  – коэффициент,  $k < 1$ .

Анализ огибающей сигнала позволяет выявить эффект модуляции эхо-сигнала вращением гребного винта, а тонкой структуры – регулярные вспышки, порождаемые „зажиганием” отражением от краинам элементов корпуса. Использование оператора, помимо готовых телефонов и ЭЛР, самолетов облегчает обнаружение и классификацию целей за счет визуальной коррекции записей в функции времени наблюдения. При шумоподавлении оператор улавливает характеристики особенности шумов за счет различия генбара сигнала от помехи. Примером может служить различная работа гребных винтов.

В табл. 6 приведены значения коэффициентов распознавания, реальная дальность следования и оптимальные параметры распознавания для определения оптимальных параметров ГАС. В уравнение дальности входит цепь передачи оптимальных параметров, при использовании некоторого индикатора.

Расчет оптимальных параметров ГАС. В уравнение дальности входит цепь передачи оптимальных параметров, являющихся функцией частоты. С изменением

частоты некоторое параметры снижают дальность действия, другие – способствуют ее повышению. Таким образом, существует оптимальная частота, позволяющая в зависимости от параметров задачи минимизировать (максимизировать) некоторую дальность. Задача оптимизации решается методом возвращения при проектировании ГАС. Возможны следующие варианты выбора оптимальных параметров судовых ГАС:

1. Задана оптимальная акустическая антенна. Существует оптимальная дальность, обеспечивающая реализацию максимальной дальности при фиксированной акустической мощности. И наоборот, существует оптимальная мощность излучения.
2. Задана направленность приемо-излучающих антенн. Существует оптимальная частота, обеспечивающая реализацию максимальной дальности при фиксированной акустической мощности излучения, и оптимальная частота, позволяющая реализовать заданное значение дальности минимизируя акустическую мощность.

Нетрудно видеть, что в первом варианте изменение частоты неизбежно приводит к изменению размеров антенн.

Представим характер при проектировании ГАС в условиях каждого варианта в объеме, отважном для средней. Во втором случае упрощения распространения акустической энергии накладывают жесткие ограничения на рабочий характеристики направленности ГАС. Переходим к рассмотрению некоторым частных случаев.

#### Режим пеленгования.

Уравнение дальности:

$$\frac{P_0 T_1 R^2}{16\pi r^4} 10^{-0.2Br} A_f^2 \geq \delta_2 \frac{a_{11} \Delta f}{f^2 r_1 r_2}. \quad (4.60)$$

Обозначим

$$\gamma_1 = k_1 f^{a_1}; \quad \gamma_2 = k_2 f^{a_2}; \quad R_3 = k_3 f^{a_3}; \\ \beta = \delta f^{n_B}; \quad A_f = A_{f_0} f^{a_f},$$

Подставляя данные величины в формулу (4.60), получим

$$\frac{P_0 k_1 k_2 k_3 A_f^2}{16\pi r^4 a_{11} \Delta f \delta^2} = f^{-m} 10^{-0.2Br} \beta^n \gamma_f = \psi(f), \quad (4.61)$$

где  $m = a_1 + 2a_2 + 2a_f + n_B + a_2$ .

Нетрудно видеть, что заданным параметрам, входящим в левую часть уравнения (4.61), соответствует минимум функции  $\psi_{\min}(f)$  при некотором значении частоты  $f_{\text{орт}}$ . Оптимальная частота  $f_{\text{орт}}$  находится из условия

$$\phi[\psi(f)]/df = 0.$$

$$f^m \rho_{k, k' \Gamma} = m / 0.46 \delta r^p, \text{ км.}$$

Зависимость оптимальных частот от расстояния для различных режимов работы ГАС представлена на рис. 4.8.

Введем обозначение

$$\Pi_3 = P_a k_1 k_2 k_3 A_{f_0}^2 / 16 \pi^2 a_k \Delta f' \quad (4.62)$$

и рассмотрим возможные варианты выбора оптимальных параметров:

1. Пусть задана дальность  $r_1$ . Тогда значение  $f_{\text{opt}}$  обеспечивает минимум амплитуды  $\Pi_3, \text{min}$ :

$$\Pi_3, \text{min} = r_1^4 u(f_{\text{opt}}). \quad (4.63)$$

2. Пусть задана  $\Pi_3$  является фиксированной. Тогда на оптимальной частоте реализуется максимальная дальность  $r_1, \text{max}$ :

$$r_1, \text{max} = \Pi_3 / u(f_{\text{opt}}).$$

Режим шумопеленгования.

Уравнение дальности:

$$\frac{P_m^2(1,1,1) r_0^2}{r^2} 10^{-0.1 b r} A_f = \delta^2 - \frac{P_m^2(1,1)}{r_0^2} \quad (4.64)$$

Обозначим

$$\beta = b f^m \rho; \quad \gamma_2 = k_2 f^{g_2}; \quad A_f = A_{f_0} f^{g_f}.$$

Тогда

$$\frac{P_m^2(1,1,1) k_2 \tilde{f}_{f_0}}{\rho^2 (1,1) \delta^2 r^2} = f^{-m} 10^{0.1 b f^m \rho r} = y(f'), \text{ где } m = g_2 + g_f.$$



Рис. 4.8. Зависимость оптимальной частоты от расстояния

1 – режим эхолокации,  $f = 33/r^{2/3}$ ; 2 – режим шумопеленгования,  $f = 29/r^{2/3}$ ; 3 – режим прямого сигнала,  $f = 6.5/r^{2/3}$ ; 4 – режим шумопеленгования; 5 – режим эхолокатора

мм,  $m, \rho = 435$ ; 5 – режим эхолокатора

$$\rho_n^2(1,1) \quad (4.65)$$

сокращим

$$\frac{\rho_n^2(1,1)}{\rho_n^2(1,1)} = \Pi_3' \quad (4.66)$$

1. Пусть задана дальность  $r_1$ . Значение  $f_{\text{opt}}$  обеспечивает минимум  $\Pi_3'$ :  $\Pi_3' = (r/r_0)^2 u(f); \quad \Pi_3, \text{min} = (r_1/r_0)^2 u(f_{\text{opt}})$ .

$$2. \text{ Величина } \Pi_3' \text{ фиксирована. Значение } f_{\text{opt}} \text{ обеспечивает реальную максимальную дальность}$$

$$\Pi_3' = (r/r_0)^2 u(f); \quad (r/r_0)^2 \text{max} = \Pi_3' / u(f_{\text{opt}}). \quad (4.68)$$

Можно показать, что выражение (4.65) будет справедливым и для режима прямого сигнала. При этом величина  $m$  будет равна

$$m = g_1 + g_2 + g_4 + g_f.$$

Выражение (4.62) справедливо в случае учета только шумовой помехи. В условиях промоделированной реальности оптимальной частоты не существует, поскольку единственный параметр уравнения – максимальная дальность действия – растет с ростом частоты, – коэффициент пространственного затухания, в отношении сигнал/помеха  $I_s/I_p$  сокращается.

Возможность расчета  $f_{\text{opt}}$  в самом общем случае  $I_s/(I_m + I_p)$  где  $I_m + I_p \neq \text{const}$  рассмотрена в работе [44].

Особенности расчета дальности действия ГАС в реальных гидроакустических установках. В гл. 3 отмечалось, что существенная проблема небольшого города Кинешма – энергетическая.

Контроль параметров среды – распределения скорости звука, состояния акустических характеристик границ среды – позволяет прямую и обратную дальность действия, являющуюся основой синтеза эффективности судовых ГАС.

Аналитическое влияние среды определяется величиной фактора аномалии ( $A_f$ ), характеризующего степень отклонения закона стационарного движения от реальных условий от сферического для однородной поглощающей среды.

Определение фактора аномалии для заданной частоты, горизонта маневрирования, цели и наблюдателя в функции расстояния

$$f^m \rho, \text{кГц} = m / 0.23 \delta n_B r, \text{км.}$$

обнаружения,  $P_D$ , и из  $P_D$  позволяет рассчитать вероятностные характеристики обнаружения ГАС, произведенные законами призвесты расчета показателя эффективности действия ГАС. Кроме того, набор графиков фактора аномалии дистанции, определенного по формуле (4.1), полностью описывает рассматриваемый район моря в акустическом отношении и позволяет выбирать оптимальные значения технических параметров ГАС, реализующих максимальную дальность действия ГАС.

В настоящее время опубликовано большое число отечественных и зарубежных работ по расчету акустических полей на ЭВМ, выполненных Ю. Л. Газянским [21], Ю. В. Постниковой [21, 40], А. Г. Алексеевым [5], Е. А. Селиным [56], В. В. Земцовым и О. К. Омельченко [21, 40], В. А. Стальновой [40], В. Н. Митинской и Ю. Ф. Тарасюком [39], В. А. Антоновым, В. Н. Митинской и Ю. Ф. Тарасюком [8]. Однако предложены для расчета дальности действия ГАС могут быть использованы не все перечисленные методики. Часть из них решает специфические задачи, большинство из которых требует значительных затрат машинного времени.

Оперативный расчет фактора аномалии в лучевом приближении, следовательно и оценка дальности действия ГАС, может быть выполнен с помощью методик [8]. Данная методика базируется на лучевой теории. Использованной информацией является распределение скорости звука по глубине, составленное поверхности моря (в баллах), коэффициенты отражения от границы, частота ГАС, шаг по дистанции и конечной дистанции расчета. В программе используется кусочно-линейная аппроксимация профиля скорости звука. С помощью данной методики можно получить график потерь при распространении для заданной совокупности гидроакустических условий данного района океана. Диаграммы методики характеризуют простоту составления запроса на расчет, небольшие расходы машинного времени и наглядность.

На рис. 4.9 приведены результаты расчета потерь при распространении, полученные с помощью данной методики, в некоторых районах Атлантического океана (разрез по Долли).

Соответствующие профили поверхности моря были выбраны из краевых на рисунке 3.2. На каждом графике отмечен сферический закон спада в среде для соответствующей частоты.

Анализ данных графиков и выражений (4.53), (4.56), (4.58) показывает следующим образом: определить процедуру оценки дальности действия в реальной среде:

— производится расчет потерь при распространении для заданных кустистических характеристиках среды  $c(z)$ ,  $\nu(z)$ ,  $\mu(z)$ , параметров акустической вибрации  $z_0$  и  $z_1$  и рабочей частоты ГАС;

— определяются значения потенциала обнаружения ПО для фиксированных значений  $\rho_{\text{ПО}}$ ; при  $\rho_{\text{ПО}} = \text{const}$  и соответствующие им значениям дальности обнаружения;

— строится зависимость  $\rho_{\text{ПО}} = \rho_{\text{ПО}}(D)$ .



Рис. 4.9 Потери при распространении для профилей скорости звука в Атлантическом океане (разрез по Долли)

$1 - C(z)$  соответствует кривой 5 на рис. 3.2;  $f = 1,0 \text{ кГц}$ ,  $z_0 = 10 \text{ м}$ ,  $z_1 = 100 \text{ м}$ ;  $C(z)$  соответствует кривой 5 на рис. 3.2;  $f = 1,0 \text{ кГц}$ ,  $z_0 = 10 \text{ м}$ ,  $z_1 = 100 \text{ м}$ ;  $2 - C(z)$  соответствует кривой 1 на рис. 3.2;  $f = 4,0 \text{ кГц}$ ,  $z_0 = 100 \text{ м}$ ,  $z_1 = 80 \text{ м}$ ; — потери при распространении в однородной среде для частот 1 и 4 кГц соответственно

Для построения зависимости накопленной вероятности обнаружения от дальности используют соотношения (4.34), (4.36). Заметим, что для большей наглядности расчета на графике потерь при распространении в реальной среде цептособразно нанести потери при распространении применительно к однородной среде ( $\text{ПР} = 20 \lg r - \beta r$ ). Рассмотрим пример. Пусть шумопоглощающий, работающий на частоте 4,0 кГц, для некоторого фиксированного заключения  $\delta$  обладает потенциалом обнаружения ПО = -85 дБ, которому, согласно рис. 4.6, соответствует энергетическая дальность действия  $r_0 = 8,5 \text{ км}$ . В условиях ПСК Средиземного моря предельная дальность обнаружения составляет 13,5 км (рис. 4.10 (кривая 3)).

Заметим, что, пользуясь такими зависимостями, можно решать конкретную задачу — каким должен быть энергетический потенциал ГАС, чтобы в данной гидроакустической среде реализовать заданную дальность.

Напомним, в тех же условиях Средиземного моря для обнаружения, находящегося вблизи поверхности ( $z_0 = 10 \text{ м}$ , кривая 1 на рис. 4.10)



Рис. 4.10 Потери при распространении в Средиземном море (крайний б на рис. 3.2)

$I - f = 1.0 \text{ кГц}$ ;  $x_0 = 10 \text{ м}$ ;  $z_0 = 100 \text{ м}$ ;  $2 - f = 4.0 \text{ кГц}$ ;  $z_0 = 100 \text{ м}$ ;  $z_1 = 50 \text{ м}$ ;  $3 - f = 4.0 \text{ кГц}$ ;  $z_0 = 100 \text{ м}$ ;  $z_1 = 200 \text{ м}$ ;  $4, 5 -$  потеря на распространении в однородной среде для частот 1 и 4 кГц

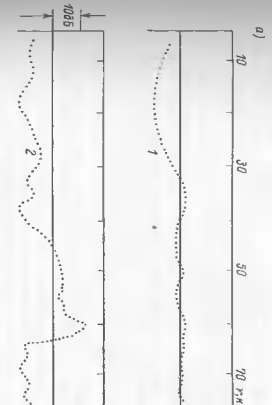


Рис. 4.11 Результаты сопоставления расчета поля для океанического профиля скорости звука при суммировании нормальных волн: а — метод нормальной волны; б — геометрическое приближение

$I - f = 16 \text{ Гц}$ ;  $2 - f = 32 \text{ Гц}$  и с использованием геометрической акустики скорости звука.

На рис. 4.11 приведен расчет поля при суммировании нормальных волн (кривые 1, 2) и расчет, выполненный по лучевой теории [8] (кривые 3). Распределение скорости звука было характерным для окрестности побережья Средиземного моря. Можно утверждать, что на частотах выше 32 Гц в 5-ჯутовом октанте можно применять формулу геометрического приближения.

На рис. 4.12 представлено сопоставление расчетов, выполненных на частоте 100 Гц по волновой и лучевой теориям для распространения звука, имеющего минимум на глубине 1000 м [13]. Видно, что ниже оси ПЗК простиралось отрицательные и положительные гребни.

Лучевая теория не смогла описать поля в зоне тени и в области Каустик. Однако положение и характер поля в первой зоне каустиками отписан лучевой теорией вполне достоверно.

Кризис  $\beta$  на рис. 4.11 соответствует расчету, выполненному по методике В. А. Альтомова.

Поскольку данная методика учитывает некогерентное спожжение луний, поле в зоне каустик совпадает с волноводами расщепления, а геометрическая теория (2) на 100 Гц [15]  $\beta_0 = 305$  м; расчет цинтийских максимумов, рассмотренные работы [7],  $\beta_0 = 500$  м [3].

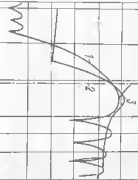
Несмотря на то что результаты расчета поля в области тени являются следствием свойств лучевой теории,

в [4, 12] результаты расчета дальности действия ГАС, примененных за рубежом, отмечается, что для выбора оптимальных режимов работы ГАС система противоракетной дальности действия ГАС должна включать модель околосолнечной среды, модель расчета пути и программы расчета потерь при распространении сигналов.

Справительская характеристика программы, использующих различные модели расчета (волнистые и лучевые), показала, что время расчета

расстояния до 200 км колеблется от 2,5 до 700 с. При этом потребность расчета среднего значения потерь на распространение составляет 0,6 до 3,1 дБ, а среднеквадратическое значение — от 2,1 до 5 дБ.

Однако неизбежные ошибки расчета потерь на распространение вызывают погрешность в определении дальности действия. В частности, в [1] предполагается, что погрешность в определении дальности действия в 1 дБ приводит к относительной ошибке дальности излучения порядка 23%.



Для определения координат цели (источника, азимута и угла места) элементов ее плавания (курса и скорости) используется акустическая (первая) первичного поля (пассивные методы) и вторичного поля (активные методы).

В активных методах дистанция до цели определяется по времени отклика какого-либо параметра отраженного сигнала от цели, определенного излученного. Использование при этом направленного излучения позволяет измерить и уловить координаты.

В пассивных методах определение угловых координат осуществляется за счет измерения либо амплитуды, либо фазы принимаемых сигналов, полученных методами волоконного определения и дистанции до цели, за счет триангуляции или взаимной корреляции принятых сигналов, находящихся в базе из двух направляемых антенн.

При этом используется база из двух направляемых антенн. Точки определения пространственных координат цели — важнейший параметр ГАС, характеризующий ошибкой измерения.

Суммарная ошибка измерения как правило, так и по знаку является случайной, поскольку случайными являются факторы ее вызывающие. Наряду со случайными факторами, влияющими на точность измерений координат, имеют место неслучайные, преимущественно однотипные факторы измерения. Такие факторы в принципе могут быть учтены, но систематические ошибки — неподдаются.

В зависимости от природы источников и места возникновения ошибок следует различать ошибки собственно установки, ошибки, обусловленные приемом сигналов, ошибки, определяемые условиями испытаний, координатами.

Ошибки установки включают в себя как ошибки собственно станции (аппаратуры), так и ошибки, определяемые условиями работы на космической орбите ГАС.

Аппаратурные ошибки складываются из ошибок, вносимых разбросом значений технических параметров преобразователей и элементов электрических схем. В аппаратурную ошибку входит также ошибки методики измерений координат, реализование в данной станции, и ошибки оператора. Ошибки за счет носителя ГАС вызываются ошибками системы курсокказания, искажением поля сигнала обтекателем ГАС, а также помехами приемной антенны.

Ошибка, обусловленные средой, вызываются ее неоднородностями и горизонтальными и вертикальными колебаниями.

Таблица 7. Соотношения между различными типами ошибок

Вероят- ная ошибка	Средне- квадра- тическая	Калиматометрическая, %		
		80	90	95
Берто- ни				
Берто- ни	1,00	1,48	1,90	2,44
Геометрическая	0,68	1,00	1,28	1,64
Геометрическо- максимальная				2,57
80	0,53	0,78	1,00	1,28
90	0,41	0,61	0,78	1,00
95	0,34	0,51	0,65	0,84
99	0,26	0,39	0,50	0,64
				0,76
				1,00

#### § 4.4. Теоретические методы определения пространственных координат целей

Общая характеристика методов и ошибок определения координат целей. Положение целей в морской среде относительно ГАС определяется двумя системами координат (сферической и горизонтальной). Координаты цели определяются дистанцией, углом в горизонте плоскости и вертикальной координатой.

такой рефракции, наклон линии) и нерегулярными (случайные неизвестности стечения). Наличие неоднородностей обуславливает появление искажений и случайных ошибок в определении координат.

К постепенной категории ошибок в обусловленном установками испытанием (использованием) следует отнести ошибки определения координат, вызванные самим работой ГАС судов, находящихся в непосредственной близости. Примером может служить совместная работа нескольких гидролокаторов или совместная работа гидролокатора и эхолота. В результате чего появляются гавочки в приемном тракте, изображающие экрана  $H$ , следовательно, ошибки в измерении координат.

Поскольку рассмотренные ошибки являются случайными и взаимозависимыми, для суммарной ошибки определения координат будет справедливо

$$\sigma_{\Sigma}^2 = \sigma_{\text{уст}}^2 + \sigma_{\text{ср}}^2 + \sigma_{\text{уср}}^2. \quad (4.6)$$

Абсолютное большинство ошибок определения координат целей получаемыми ГАС подчиняется нормальному закону.

Следовательно, показатели эффективности ГАС при решении задач определения координат целей служат числовыми характеристиками распределения ошибок: средняя  $E_a$ , среднеквадратическая  $s_a$  и максимальные  $a$  с указанием соответствующей вероятности.

В случае нормального закона для вероятности ошибок при  $\bar{a} = 0$  будем иметь

$$P(|a| < a_0) = \int_{-a_0}^{a_0} f(a) da = 2\Phi(a_0/\sigma_a) - 1. \quad (4.70)$$

Из выражения (4.70) видно, что для заданной вероятности  $P$  определяется

$$\Phi(z) = \frac{1}{\sqrt{2\pi}} \int_0^z \exp(-t^2/2) dt;$$

$$\Phi^*(z) = \frac{1}{\sqrt{2\pi}} \int_{-\infty}^z \exp(-t^2/2) dt,$$

$z = \frac{a_0}{\sigma_a}$  — некоторое фиксированное значение ошибки;  $\bar{a}$  — среднее значение ошибки

На основании выражения (4.70) составлена табл. 7, с помощью которой значения одних ошибок можно пересчитать в другие.

Например, чтобы выразить приведенную ошибку, соответствующую вероятности 0,99,  $a_{0,99}$  через среднеквадратическую  $\sigma_a$ , необходимо ее умножить на чистовую коэффициент, стоящий в горизонтальной строке, 0,99 и вертикальной строке среднеквадратическая  $\sigma_a = 0,394 \cdot 0,99$ .

Методы определения расстояния до цели. Сущность всех активных методов определения расстояния сводится к измерению временного задержания  $t_r$  некоторого параметра эхо-сигнала, прогонимо-вольнового задержания до цели  $r$ . Время задержания  $t_r$  может измеряться непосредственно при фиксации момента излучения и приема сигнала, или путем измерения разности частот излученного и принятого сигналов.

В соответствии с тем, какой из указанных параметров сигналов измеряется при определении расстояния, различают временной (импульсный), фазовый и частотные методы измерения расстояния. В судовых ГАС наибольшее применение нашли импульсный и частотный методы определения расстояния. При импульсном методе определение расстояния осуществляется в соответствии с выражением:

$$t_r = 2r/c. \quad (4.7)$$

Сущность частотного метода определения расстояния сводится к измерению промежутка времени за время распространения сигнала до цели и обратно.

Пусть частота зондирующего сигнала изменяется по закону  $\varphi_f = df/dt$ . За время  $t_r$  изменение частоты принимаемых колебаний составит

$$\Delta f = \varphi_f t_r = \varphi_f 2r/c. \quad (4.7)$$

Измеряя разницу частот излучаемых и принимаемых колебаний получаем возможность определения расстояния до цели. Частота блненя радиала  $f_p = \varphi_f t_r = \varphi_f 2r/c$ , откуда для расстояния  $r$  имеем

$$r = c f_p / 2 \varphi_f. \quad (4.73)$$

Непрерывное изменение частоты в больших пределах при использовании резонансных явлений осуществляется практическим образом. В этом случае цепь образует обесцветить периодичность модуляции, например по подиограммному закону с периодом  $T_m = 1/f_m$ . При малых импульсах колебаний с частотой  $f_m$  на интервале  $\Delta f$  разностная частота



Рис. 4.13. Сущность частотного метода измерения дальности: 1 — излученный сигнал; 2 — отраженный с интервалом  $t_0$

$$f_p = \vartheta_{fr} r = 2f_m \Delta f 2r/c, \quad (4.74)$$

Из приведенного выражения видно, что при измеренной частоте биссектрисы  $f_p$  дальность до цели определяется по формуле

$$\begin{aligned} r &= c f_p / 4 \Delta f m, \\ r &= c t_{\text{Н}} / 2. \end{aligned} \quad (4.75)$$

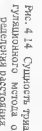


Рис. 4.14 Сущность «треугольного» метода определения расстояния на основе измерения угловых импульсов с точильным заполнением

Реализация импульсного метода в ступенных гетеродинных ГАС является сравнительно простой, позволяет использовать одну приемоизлучающую антенну. Разрешающая способность по дальности при измерении угловых импульсов с точильным заполнением определяется длиной импульса

$$\Delta r = c \tau_{\text{Н}} / 2.$$

Если для реализации больших дальностей обнаружения при импульсном методе требуются значительные мощности излучения, то при реализации частотных методов используются сравнительно небольшие мощности при высокой точности измерения и разрешающей способности по дальности и возможности измерения малых расстояний.

Основными недостатками частотного метода определения расстояния являются необходимость использования редких элементов, при реализации которых требуется значительная излучательная мощность при высоком качестве трактов, высокие требования к линейности изменения частоты колебаний

Сущность триангуляционного метода определения расстояния сводится к одновременному измерению двух угловых координат цели из трех, разделенных на некоторое расстояние  $d$  (рис. 4.14).

При заданной базе  $d$  и направлениях на цель расстояние до цели определяется из соотношений

$$AB = \frac{d \cos \alpha_2}{\sin (\alpha_1 + \alpha_2)}; \quad BC = \frac{d \cos \alpha_1}{\sin (\alpha_1 + \alpha_2)}, \quad (4.76)$$

(проксициональные токи для лежащих внутри базы  $d$

$$AB = \frac{d \cos \alpha_2}{\sin (\alpha_1 - \alpha_2)}; \quad BC = \frac{d \cos \alpha_1}{\sin (\alpha_1 - \alpha_2)}, \quad (4.77)$$

при реализации метода требует использования двух направлений ГАС, расположенных в пассивном режиме. Основным достоинством метода является скрытность и малое рабочее время, недостатком — зависимость

точности определения расстояния от ориентации цели относительно базы ее размещения.

Методы определения пеленга. Пеленгование — процесс определения направления на объект. Основными характеристиками устройств пеленгования являются непосредственно пеленгационная характеристика, представляющая собой зависимость выходного напряжения пеленгатора от направления прихода сигналов изображения ( $\sigma$ ), и пеленгационная чувствительность  $S_{\text{пел}}$ , равная крутизне пеленгационной характеристики в единицах на цель:

$$S_{\text{пел}} = dU_{\text{пел}}(\alpha) / d\alpha |_{\alpha=0}. \quad (4.78)$$

В основе всех методов пеленгования лежит использование явления интерференции волн. Следовательно, любой путь создания устройства пеленгования может быть назван фазовым. Однако в основе классификации методов пеленгования лежит способ используемого сигнала (входные антенны, определяющие пеленгационную характеристику) и метода минимума и максимума (равногангтальный метод и т.д.).

За исключением частотного, все перечисленные методы пеленгации нашли применение в современных ГАС. Амплитудный (максимальный) метод предусматривает использование направленных антенн. Отсчет пеленга осуществляется при повторе цели в момент достижения максимальным напряжением пеленгатора. Максимальный пеленгатор характеризуется при наблюдении цели зависимостью

$$U_{\text{пел}}(\alpha) = U_{\text{пел}} R(\alpha). \quad (4.79)$$

Пеленгационная чувствительность при  $\alpha = 0$  обращается в нуль, что является основным недостатком метода. К достоинствам метода относится простота реализации и возможность субъективных застужек отнести отсутствие необходимости в излучении излучающимися источниками.

Точность пеленгования можно значительно повысить за счет применения определенных методов (метод равногангтальной зоны), либо двумя антеннами с разнесенными в пространстве целями (метод равногангтической зоны). Пеленгатор

располагается либо параллельно либо между антennами с разнесенными в пространстве целями (метод равногангтической зоны), либо одни антennы (метод равногангтической зоны), либо одни антennы (метод равногангтической зоны). Пеленгатор

(мимитуды принимаемых сигналов становятся равными). Метод равноточного измерения координатным методом позволяет существенно повысить точность пеленгования и достаточно просто осуществлять автоматическое сопровождение за счет поиска по угловым координатам.

Сущность фазового метода заключается в непосредственной фиксации сдвигов фаз когерентных развязываемых пучков приемниками (группами приемников), расположенных на расстоянии  $d$ .

С выходов фазовых детекторов подаются на фазовый детектор. Выходное напряжение фазового детектора будет определяться только разностью фаз колебаний:

$$U_{\text{вых}} = k \cos(2\pi d \sin \alpha / \lambda), \quad (4.79)$$

где  $k$  — коэффициент пропорциональности.

Измеряя  $U_{\text{вых}}$ , можно определить направление прихода акустической волны. Так же, как и при максимальном методе, точность измерения угловой координаты волны  $\alpha = 0$  низка. Кроме того, нельзя определить направление смещения цели от перпендикуляра к базе.

Она эти недостатки устраняются при введении в один из каналов искусственного сдвига фазы на  $90^\circ$ . После введения фазового сдвига напряжение на выходе системы становится равным

$$U_{\text{вых}} = k \sin(2\pi d \sin \alpha / \lambda). \quad (4.80)$$

Точность пеленгования становится значительно более высокой.

Диодный метод также может быть использован для автоматического сопровождения целей по угловым координатам.

Определение положения цели можно осуществлять двумя путями: либо отсчитывать угол по показаниям измерителя напряжения, либо

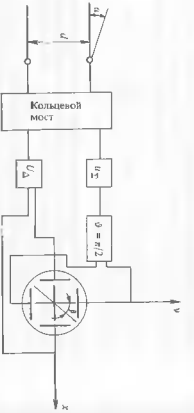


Рис. 4.15. Функциональная схема фазового измерителя координат

поворачивать антенну до тех пор, пока выходное напряжение не станет равным нулю. Помимо цели с этим случается будет определяться положением антенн. При изменении угла  $\alpha$  в широких пределах пеленгатором на характеристика неоднозначна. Устранить неоднозначность возможны приемник направляемые антенны. Ширина ДН каждой антенны при это не должна превышать  $\Delta$  в один. Если диапазон однозначного измерения угла может составлять  $\Delta$ , то диапазон однозначного измерения угла может быть принят равным

$$\frac{\Delta}{2} = \lambda / 2d. \quad (4.81)$$

Рассмотрим вариант схемы (рис. 4.15), в котором роль измерителя фазы играет электронно-лучевая трубка (ЭЛТ).

С выходов приемников сняты суммируются, вычитаются и построены сдвиги фаз, необходимого для получения синфазности, поступают к ЭЛТ.

Угол наклона склонившейся линии на экране связан с разностью фаз колебаний, поступающих на приемники, соотношением

$$\beta = \varphi / 2; \quad \varphi = 2\pi d \sin \alpha / \lambda. \quad (4.82)$$

При  $\alpha = 0$ ,  $\beta = 0$ ,  $\varphi = 0$ . Линия совпадает с вертикальной осью ЭЛТ нападающих нормали к базе совпадает с направлением на цель. При  $\alpha = \pm 90^\circ$ ,  $\beta = 180^\circ / d$ .

Следовательно, при  $d / \lambda = 1/2$  создается неоднозначность пеленгования. Другими словами, если выбрать  $d \leq 1/2$ , то при любом отклонении цели линия не будет пересекать через горизонтальный диаметр ЭЛТ.

Использование направляемых приемников облегчает пеленгование. Достоинства метода являются более высокая точность по сравнению с амплитудным и высокая надежность поддержания контакта цели.

К недостаткам метода относятся высокие требования к линейности каскадов, сравнительно низкий коэффициент распознавания (за счет синтеза ЭПР) и потеря некоторых классификационных признаков (тембормодуляции).

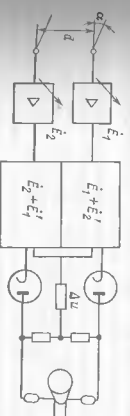


Рис. 4.16. Функциональная схема фазомимитущего измерителя координат

директива Доприказа № 1. А.Г. Сушково разработано устройство для приема и преобразования разности фаз прииммитивного метода синхронизации колебаний в разность амплитуд напряжений на выходе двух каналов приемного тракта. Схема устройства представлена на рис. 4.16. С выхода каждой антены напряжения сдвигаются по фазе на угол  $\vartheta$ , а затем суммируются с напряжением от другого канала:

$$U_1 = \dot{E}_1 + \dot{E}'_2; \quad U_2 = \dot{E}_2 + \dot{E}'_1,$$

где  
 $\dot{E}_1 = E_1 \exp(i\psi)$ ,  $\dot{E}'_1 = E_1 \exp(i\vartheta)$ ;  
 $\dot{E}_2 = E_2 \exp(-i\vartheta)$ ,  
 $\dot{E}'_2 = E_2 \exp(-i(\vartheta - \psi))$ .

На выходах каналов образуются напряжения одинаковой фазы, но с разными амплитудами, значения которых зависят от естественного сдвига фаз колебаний  $\vartheta$ :

$$u_1 = 2 \cos[(\varphi - \vartheta)/2]; \quad u_2 = 2 \cos[(\varphi + \vartheta)/2].$$

Разность напряжений  $\Delta u = u_1 - u_2$  может быть использована для воздействия на указатель отклонения пеленга:

$$|\Delta u| = 2 |\cos[(\varphi - \vartheta)/2] - \cos[(\varphi + \vartheta)/2]|.$$

Нетрудно показать, что разность напряжений будет максимальной, если искусственный сдвиг фаз  $\vartheta$  сделать равным  $\pi/2$ .

Для исключения необходимости пологотвания расстояния между элементами антенны должно быть меньше  $\lambda/2$ . При использовании направленных антенн пеленгование облегчается:

$$\Delta u' = \Delta u R(a).$$

ЭТП при фазовом и фазово-амплитудных методах пеленгования являются указателями отклонения пеленга оператору ТАС. Оба этих метода могут быть использованы для автоматического сопровождения шумящей цепи по угловым координатам.

Наиболее практическое применение в трактах автоматического сопровождения цепей по угловым координатам в судовых ТАС нашли суммарно-разностные пеленгаторы [17]. Напряжения канала суммы и разности в данных пеленгаторах после усиления и сложения по фазе на  $45^\circ$  поступают на фазовый детектор. Напряжение фазового детектора, пропорциональное углу отклонения цепи от направления нормали к базе, используется для управления двигателем, осуществляющим пеленгование акустической антенны.

**Ошибки определения координат цепей.** Точность определения приставленных координат наряду с дальностью обнаружения цепей

является важнейшим тактическим параметром ТАС и характеризуется измерением, равной сумме случайной и систематической ошибок:

$$\Delta r = \Delta r_{\text{сл}} + \Delta r_{\text{с}},$$

где  $r_{\text{и}}$ ,  $r'$  — истинное и измеренное значения дистанции;  $\Delta r'$  — ошибка измерения, равная сумме случайной и систематической ошибок:

$$\Delta r' = \Delta r_{\text{сл}} + \Delta r_{\text{с}}.$$

Следует подчеркнуть, что в качестве истинного значения измеряется величина, как правило, выступает „эталонное“ значение, получаемое средством с точностью по крайней мере на порядок выше используемого.

Систематическая ошибка  $\Delta r_{\text{с}}$  может быть получена при многократных измерениях из соотношения

$$\Delta r_c = [\sum_{i=1}^{n_1} \Delta r_{\text{изм},i} + \sum_{j=1}^{n_2} (-\Delta r_{\text{изм},j})]/n,$$

где  $\Delta r_{\text{изм},i}$  — ошибка измерения, взятая со своим знаком,  $n_1 + n_2$  — количество измерений.

Систематическая ошибка  $\Delta r_{\text{с}}$  в принципе может быть определена Случайную ошибку компенсировать нельзя. Она определяет и ограничивает точность измерения и характеризуется дисперсией

$$\sigma_r^2 = \frac{(r_{\text{изм}} - r_{\text{ср}})^2}{n},$$

единичное значение случайной ошибки при дискретных измерениях равно

$$\Delta r_{\text{сл}} = (\pm r_{\text{изм}}) - r_{\text{ср}}.$$

Дисперсия  $\sigma_r^2$ , как погрешность косвенного измерения  $r = c t_{\text{изм}}/2$ , может быть определена по формуле

$$\sigma_r^2 = \left( \frac{\partial r}{\partial c} \right)^2 \sigma_c^2 + \left( \frac{\partial r}{\partial t} \right)^2 \sigma_t^2 = (r^2/c_{\text{ср}}^2) \sigma_c^2 + c_{\text{ср}}^2 \sigma_t^2, \quad (4.8.2)$$

где  $c$ ,  $c_{\text{ср}}$  — погрешности измерения скорости звука и времени  $t$  простиранения.  
Ошибки определения расстояния гранулационным методом аналогично (4.8.2) будут равны:

$$GAC = \frac{d}{\sin^2(\alpha_1 - \alpha_2)} [\cos \alpha_1 \sigma_{a_1} + \cos \alpha_2 \cos(\alpha_1 + \alpha_2) \sigma_{a_2}]^{1/2},$$

$$\hat{x}_0 = 2x_0 \exp(-ikd \sin \alpha/2) \cos(kd \sin \alpha/2) + n_1 + n_2,$$

$$\sigma_{AC} = \frac{d}{\sin^2(\alpha_1 - \alpha_2)} [\cos \alpha_1 \sigma_{a_1} - \cos \alpha_2 \cos(\alpha_1 - \alpha_2) \sigma_{a_2}]^{1/2},$$

заметим, что на больших расстояниях  $\sin(\alpha_1 + \alpha_2) \approx \sin \psi = \psi$ ,  $\cos \alpha_2 = \sin \beta_2$  (см. рис. 4.14). Тогда при  $\beta_2 = \pi/2$  и  $\sigma_{a_1} = \sigma_{a_2}$

$$\sigma_{AB}^2 = \frac{2r^4}{(d \sin \alpha)^2} \sigma_a^2; \quad \sigma^2/r^2 = \frac{2r^2}{(d \sin \alpha)^2} \sigma_a^2.$$

Таким образом, относительная ошибка оценки расстояния пропорциональна расстоянию.

Применив операцию (4.83) к выражению (4.82), получим ошибку предсказания направления при фазовом методе пеленгования:

$$\sigma_u^2 = \frac{4 \sigma_\theta^2}{(kd \cos \alpha)^2}, \quad (4.84)$$

где  $\beta$  — угол наклона светящейся линии на экране относительно вертикали.

Выражение (4.84) характеризует точность методов определения координат без учета пояса, под действием которых тракт.

Наличие помех на входе тракта обработки существенным образом влияет на точность оценки таких параметров, как амплитуда, фаза частоты. В частности, показывается, что точность измерения временного азимута по переднему фронту эхо-сигнала при импульсном методе определения расстояния определяется выражением [18, 56]:

$$\sigma_r = \sqrt{\frac{1}{2 \Delta f (c/\pi)^2}}, \quad (4.85)$$

где  $\Delta f$  — полоса пропускания тракта;  $(c/\pi)$  — отношение сигнал / помеха на входе индикатора.

Поставлены (4.85) в (4.83), можно оценить влияние отношения сигнал / помеха на точность измерения дистанции.

Покажем, зависимость точности пеленгования при фазовом методе от отшепления сигнала / помехи.

Приименив к рис. 4.15 на выходах приемников с учетом помех будем иметь

$$z_0 + n_1; \quad z_0 \exp(-jk d \sin \alpha) + n_2,$$

где  $n_1$  и  $n_2$  напряжения помех.

Считая сигналы и помехи случайными, взаимоизвестными, их разности может записать

$$\sigma_z^2 = [2S_0 \cos(kd \sin \alpha/2) + n_1 - n_2]^2 = 4 \sigma_s^2 \cos^2(kd \sin \alpha/2) + 4 \sigma_n^2.$$

Для малых углов  $\cos z = 1$ ;  $\sin z \approx z$ :

$$\sigma_z^2 = 2[\sigma_s^2 (kd \sin \alpha/2)^2 + \sigma_n^2]^{1/2} = 2 \sigma_s (\sigma_s^2 + \sigma_n^2)^{1/2} = 2 \sigma_n.$$

Угол наклона линии на экране ЭЛТ определяется соотношением

$$kd \sin \alpha / \lambda = \arctg(\sigma_d / \sigma_z).$$

При лампового оператору отклонения оси характеристики направлений от цели будет справедливо (угол  $\alpha$  считаем малым):

$$\sigma_\alpha \equiv \frac{1}{kd} \sqrt{\frac{\sigma_s^2}{\sigma_z^2} + 1} = (kd)^{-1} [(\sigma_s / \sigma_n)^2 + 1]^{-1/2}$$

Таким образом, точность пеленгования определяется отношением  $\sigma_s / \sigma_n$ .

Теоретическая составляющая общой ошибки измерений, определенная оптимизацией сигнала помехи и формой сигнала при ламповом (ионизационных) параметрах ГАС, определяет потенциальную ошибку. Она характеризует предельно достижимую точность измерения координат данным методом обработки при приеме идеальных уловок. С учетом отшепления сигнала / помехи точность измерений становится ограниченной. Поскольку любая ГАС является технической реалией, то для систем, экспериментальное определение суммарной ошибки возможно с точностью, не превышающей аппаратурной погрешности системы.

Наличие вертикальных и горизонтальных градиентов скорости  $v_{x_1}$  и  $v_{y_1}$  также наклона морской дни приводят к появлению систематической ошибки в определении дистанции и угловых координат, а флюксом счищих ошибок в определении дистанции и угловых координат в определении координат

лишней вертикальной рефракции, имеют

наибольший вес в объеме баланса ошибок и могут быть учтены за счет определения среднегоризонтального значения скорости звука.

С позиций лучевой акустики величина  $c_{\text{с.г.}}$  при кусочно-линейной аппроксимации профиля  $c(z)$  с отрезками будет равна

$$c_{\text{с.г.}} = r / t,$$

где  $t = \sum \Delta t_i$  — суммарное время пробега сигналом траектории луча спектрона  $\Delta t_i$  определяется как

$$\Delta t_i = \int_{z_{i-1}}^{z_i} \frac{dz}{c(z) \sin \alpha(z)},$$

$$z_{i-1},$$

$$de = dt = dS/c(z) = dz/\sin \alpha(z) c(z).$$

Флюктуации температуры и солености воды приведут к флюктуации скорости звука, а следовательно, и к случайной ошибке оценки константы. Экспериментальные исследования показали, что флюктуации температуры в зависимости от градиента температуры, составляет  $\Delta T^{-1/2} \approx 0,1 \dots 0,3$ . Пользуясь выражением (3.3) можно найти соответствующее приращение скорости звука, которое будет зависеть от температуры воды.

Рассмотрим влияние горизонтальной рефракции на точность пеленгования. Обратимся к рис. 4.17. Пеленгатор с базой  $d$  ориентирован

в северо-западном направлении. В случае постоянного градиента скорости звука ( $a = G_c/a = \text{const}$ )

дисторсионными акустическими лучами будут дуги окружностей радиусом  $= 1/d$ . Безд учета поправки на непараллельность лучей, проходящих базе, ошибку пеленгации вызывает разность фаз, вызываемая разностью расстояний  $[(|S_1 - S_2| - (R_1 - R_2))$

$$\Delta \varphi = k(\Delta S - \Delta R),$$

где  $|S_1 - S_2| = 2/a [\arcsin(R_1 a/2) - \arcsin(R_2 a/2)]$ .

Так как  $k(S_1 - S_2) = k d \sin \alpha$ , для точности определения направления имется

$$\Delta \alpha = \frac{\operatorname{atan} \left( \frac{a R_1}{2} \sqrt{1 - \frac{a^2 R_1^2}{4}} - \frac{a R_2}{2} \sqrt{1 - \frac{a^2 R_2^2}{4}} \right) - ad \sin \alpha}{a d \cos \alpha}.$$

При  $|a| > R_1^2 \gg 1,0$ ,  $|a^2 R_2^2| \ll 1,0$ ,

$$\Delta \alpha = \frac{2 \arcsin(a d \sin \alpha/2) - ad \sin \alpha}{ad \cos \alpha}$$

расчеты по (4.86) показывают, что при размерах базы в десятки метров и больших отклонениях ошибки пеленгования составляют не сколько градусов.

В реальной среде в ряде случаев горизонтальной рефракцией лучше всего сравнивать с вертикальной. Можно пренебречь. Следовательно, если сигналы от цепей приема имеют угол склонения  $\alpha$ , то между измеренным и истинным замутом пути (углы отчитываются от направления базы) имеет место следующая связь:

$$\cos \hat{\theta}_{\text{изм}} = \cos \hat{\theta}_{\text{ист}} \cos \alpha_y \quad (4.87)$$

Следовательно, ошибка пеленгования равна  $\Delta \hat{\theta} = \delta \hat{\theta} = \hat{\theta}_{\text{изм}} - \hat{\theta}_{\text{ист}}$ . При  $\hat{\theta}_{\text{изм}} = \pi/2$ ,  $\Delta \hat{\theta} = \delta \hat{\theta} = \hat{\theta}_{\text{изм}} - \hat{\theta}_{\text{ист}} = 0$ .

Таким образом, ошибка пеленгования цепей судовых ГАС, обусловленная вертикальной рефракцией звука, в которых используются шарнирные антенны с вращением диаграммами направляемости по горизонту, практически равна нулю.

Из выражения (4.87) также следует, что пеленгование цепи плоскими антеннами, с комплексной колебанием, с постоянной ошибкой рефракции звука. Для устранения этой ошибки необходимо осуществить компенсацию и в вертикальной плоскости.

Действительно, разность фаз, вводимая компенсатором и измененная антенной, составляют:

$$\begin{aligned} \text{при } \alpha_{\text{д}} = 0, \Delta \varphi = \varphi_{\text{комп}} - \varphi_{\text{изм}} = kd \cos \hat{\theta}_{\text{комп}} - kd \cos \hat{\theta}_{\text{изм}} = 0; \\ \text{при } \alpha_{\text{д}} \neq 0, \Delta \varphi = kd \cos \hat{\theta}_{\text{комп}} - kd \cos \hat{\theta}_{\text{изм}} = \\ = kd \cos \hat{\theta}_{\text{ист}} (1 - \cos \alpha_{\text{д}}). \end{aligned}$$

Ошибка пеленгования будет равна

$$\cos (\hat{\theta}_{\text{изм}} - \Delta \hat{\theta}) = \cos \hat{\theta}_{\text{ист}} (1 - \cos \alpha_{\text{д}}). \quad (4.88)$$

Если ошибки пеленгования, обусловленные вертикальными и горизонтальными градиентами, считать независимыми, то общая погрешность определения направления совместным воздействием ошибок. Расчеты показывают, что при метровых базах, больших дистанциях и значительных углах склонения ошибки пеленгования достигают единиц градусов

наклон морского дна. Видят систематическую ошибку и определение угловой координаты пеленгования с использованием линий отражения при одном цикле пеленгования становится некорректным.

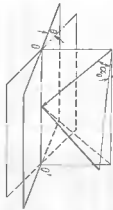


Рис. 4.18. Влияние наклона дна на точность пеленгования

$$\operatorname{tg} \delta a = \operatorname{tg} \theta \operatorname{tg} \alpha_0$$

Здесь  $\theta$  — угол наклона плоскости дна относительно плоскости пеленгования;  $\alpha$  — угол выхода луча из источника звука.

Положительная рефракция лучей способствует уменьшению ошибки пеленгования за счет наклона дна, а отрицательная — ее увеличению. Для ошибки пеленгования в этом случае будет справедливо

$$\operatorname{tg} \delta a = \operatorname{tg} \theta \operatorname{tg} (\alpha_0 + \alpha_1) / 2. \quad (4.90)$$

где  $\alpha_0$ ,  $\alpha_1$  — углы скользящего луча на горизонтах излучателя и дна, соответственно.

Рассечение акустических волн на случайных неоднородностях морской среды вызывает флюктуацию фазы в точках приема сигнала.

Если пеленгование осуществляется по фазовому методу, то случайные ошибки измерения угловой координаты будут вызваны в основном флюктуациями фазы. Внешние для дистанции ошибки пеленгования базой, содержащей два точечных приемника при кратковременном наблюдении, имеют вид

$$\sigma_a^2 = \frac{(\Delta \varphi_c)^2}{(k d \cos \alpha)^2} \quad (4.91)$$

где  $\Delta \varphi_c$  — ступенчатая разность фаз в точках приема;  $\alpha$  — ступенчатая ошибка в определении направления;  $d$  — угол от направления нормали к базе.

Распрямляя среднее значение квадрата разности фаз по правилам суммирования случайных величин, получим

$$\sigma_a^2 = \frac{2(\varphi_{1,c} - \varphi_{2,c})^2}{(kd \cos \alpha)^2} = \frac{2\varphi_c^2}{(kd \cos \alpha)^2} [1 - R(\xi)], \quad (4.92)$$

где  $R(\xi)$  — коэффициент пространственной корреляции фазы в канале спутанные фазы в точках приема считаются равными,  $\varphi_{1,c} = \varphi_{2,c}$ . В настоящем в ремя показано, что средний квадрат отклонений фаз в статистической и изотропной среде определяется как

$$\overline{\varphi_c^2} = \frac{\sqrt{\pi}}{2} k^2 r \left( \frac{\Delta c}{c} \right)^2, \quad (4.93)$$

где  $k = 2\pi/\lambda$ ;  $r$  — расстояние;  $a$  — относительный градиент скорости звука;  $\Delta c/c$  — средний квадрат флуктуаций скорости звука. Выражение (4.93) справедливо при  $1/a \gg 1$  и  $\Delta c/c \ll 1$ .

Поставив (4.93) в (4.92) для заданных параметров среды, получим оценку точности определения пеленга при мгновенном отсчете

$$(4.87)$$

#### § 4.5. Экспериментальные методы определения акустических характеристик целей и параметров ГАС

Использование при оценке эффективности судовых ГАС целого ряда допущений и предположений относительно акустических свойств целей и состояния стакана, структуры трактов обработки сигналов изображения человека-оператора и сложность описания процесса его работы приводят вопросу экспериментальных исследований в двух факторах: определяющих эффективность судовых ГАС, болгарское самоостоятельное значение. Наконец, только в процессе опытной эксплуатации в контуре измерения, условия которых могут быть выявлены правила принятия решений операторами об обнаружении (стратегия оператора) в зависимости от дистанции до цели (голосовая сигнал помеха), наличие приборов информации о новой, количестве и типе индикаторов и т. д. Набор статистического материала по акустическим свойствам объектов обнаружения и испытатель ГАС, по дальностям обнаружения и точности определения координат целей в контролируемых условиях и коррекции обработки изображения являются важнейшими задачами специалистов радиотехнической службы флота и судостроительной промышленности.

**Частовые характеристики распределений.** От吸取ание функции распределения какого-либо параметра с высокой точностью требует проведения большого объема испытаний. Вместе с тем для выявления соответствия их требований технического задания на разработку оказывается возможным определение первых двух моментов математического ожидания и дисперсии.

Необходимо число измерений находят на основе требуемой точности и достоверности, а также широкомасштабной информации о статистических характеристиках испытуемых величин — это один из вопросов, возникших при организации экспериментальных исследований.

Задача определения необходимого числа замеров какого-либо параметра к решается только в случае, когда испытуемый параметр

остей  $\sigma_k^2$ . В этом случае

$$n = \frac{u_a^2 - a^2}{\epsilon^2} \sigma_k^2, \quad (4.94)$$

где  $u_a = u_{a/2} - a$  — процентная точка гауссового распределения (квантиль стандартного нормального распределения гордика  $1 - a/2$ ;  $a$  — уровень значимости;  $\epsilon$  — требуемая толщина оценки математического ожидания

параметра  $\kappa$ ;

$a$  — процентная точка гауссового распределения  $u_{1 - a/2}$  определяется из условия:

$$P(|\kappa - \tilde{\kappa}| < \epsilon) = 1 - a = \beta^2 \quad (4.95)$$

братным интерполированием:

$$\tilde{\kappa}_p = \epsilon/\sigma = \arg \Phi^*[(1 + \beta)/2], \quad (4.96)$$

$$\Phi^*(z) = (2\pi)^{-1/2} \int_{-\infty}^z \exp(-t^2/2) dt,$$

$$\sigma_{\tilde{\kappa}_p}^2 = P(1 - p)/n. \quad (4.100)$$

Закон Гаусса оказывается стравленным даже не при больших значениях  $n$ : достаточно, чтобы величины  $n p$  и  $n(1 - p)$  были больше четырех.

Правильность данной формулы оказывается справедливой, когда число независимых событий  $n$  оказывается достаточно большим и число попыток события  $A$  существенно отличается от 0 и 1. В этом случае частота события  $P$  оказывается распределенной по закону Гаусса с дисперсией:

$$\begin{aligned} n &= \frac{t_1^2 - a/2}{\epsilon^2} S^2 \\ &= \frac{t_1^2 - a/2}{S^2} \quad (4.97) \end{aligned}$$

где  $t_1 = a/2 - a$  — процентная точка распределения Стьюдента Квантиль  $t_1$  — распределения с числом степеней свободы  $k = n - 1$ , определяемый выражением

$$P(T \geq t, k, a) = \int_{t^2}^{\infty} f(t) dt = a = 1 - \beta; \quad t_{k, 1-a/2} = -t_k, a/2. \quad (4.98)$$

При проведении необходимого числа испытаний определяется выражение среднее  $\tilde{\kappa}$  и среднеквадратическое отклонение  $S_{\tilde{\kappa}}$ :

Соотношение (4.97) может быть использовано и в том случае, если генеральная совокупность  $\{\kappa_i\}$  не принадлежит гауссовому пределению. Для этого достаточно в (4.97) заменить  $t_1 - a/2$  на

$\frac{1}{2}\sqrt{\frac{a}{\epsilon}} (в$  случае симметричного однородного распределения) или на  $1/\sqrt{a}$  (при правильном распределении [37]). Вполне очевидно, необходимо чисто испытанный в обоих случаях возрастать. Другими словами, недостаток априорной информации мы вынуждены компенсировать увеличением объема испытаний.

Расчет необходимого числа испытаний для оценки вероятности  $P$  некоторого события  $A$  в  $n$  независимых опытах производится по формуле

$$n = (u_a^2 / \epsilon_{\tilde{\kappa}_p}^2) P(1 - P), \quad (4.99)$$

где  $\tilde{\kappa}_p$  — процентная точка гауссового распределения;  $P$  — относительная частота (частоты) события  $A$ . По формуле (4.99) составлена табл. 8.

Правильность данной формулы оказывается справедливой, когда число независимых событий  $n$  оказывается достаточно большим и число попыток события  $A$  существенно отличается от 0 и 1. В этом случае частота события  $P$  оказывается распределенной по закону Гаусса с дисперсией:

$P$	$n$			
	$\beta = 0.90$	$\beta = 0.95$	$\epsilon_p = 0.05$	$\epsilon_p = 0.10$
0.1	24	98	35	140
0.2	43	174	62	250
0.3	57	230	81	330
0.4	65	93	380	—
0.5	272	96	390	—

$$D_2 = (1/n) \ln 1 / (1 - \beta).$$

Доверительный интервал для математического ожидания  $\bar{x}$  случайной величины  $x$  имеет вид:

$$\begin{aligned} & - в случае известной дисперсии  $\sigma_x^2$  на основе выборочной функции \\ &  $Z = (\bar{x} - \bar{x}_0) / \sigma_x$ , имеющей стационарное нормальное распределение \\ &  $\bar{x} - t_{\beta} \sigma_x / \sqrt{n} < \bar{x} < \bar{x} + t_{\beta} \sigma_x / \sqrt{n},$  \end{aligned} \quad (4.101)$$

где  $t_{\beta}$  определяется в соответствии с выражением (4.96),

- для неквадратичной дисперсии  $\sigma_x^2$  с использованием выборочных функций  $T = (\bar{x} - \bar{x}_0) \sqrt{n}/s$ , имеющей  $t$ -распределения Стьюлента

$k = n - 1$  степенями свободы

$$\bar{x} - t_{k, \alpha/2} s / \sqrt{n} < \bar{x} < \bar{x} + t_{k, \alpha/2} s / \sqrt{n}. \quad (4.102)$$

При построении повернутого интервала для дисперсии  $\sigma_x^2$  используя выборочную функцию  $\chi^2 = (n - 1)s^2/\sigma_x^2$ , имеющую  $\chi^2$ -распределения Пирсона с  $k = n - 1$  степенями свободы:

$$k_3^2 / \chi^2_{k, \alpha/2} < \sigma_x^2 < k_3^2 / \chi^2_{k, 1-\alpha/2}, \quad (4.103)$$

где  $k_3^2$  — процентная точка (квантиль)  $\chi^2$ -распределения с  $k = n - 1$  степенями свободы, определяемая равенством

$$P(\chi^2 > \chi^2_{k, \alpha}) = \int_{\chi^2_{k, \alpha}}^{\infty} f(\chi^2) d\chi^2 = \alpha = 1 - \beta.$$

Процентные точки  $\chi^2$ -распределения определяются с помощью таблиц. Экспериментальные методы замера шумности и определения силы сигнала. Экспериментальное исследование шумности судов осуществляется для решения двух основных задач.

- контроля уровня шумности, паспортизации и выполнения истинных показаний поля для выработки рекомендаций по снижению шума;

- разработка и совершенствование пассивных ГАС.

Для измерения шумов судов используют специальные передвижные стационарные гидроакустические контрольные станции. Органы записи, выбора района измерений и объема аппаратурного обеспечения определяются целью исследования.

В мелком море акустическое поле характеризуется сложной интегральной структурой, опускающейся шапкой граней среды. Характер интегральной структуры и абсолютные уровни шума будут существенно

влиять на акустические свойства поверхности и, особенно, дна моря. Несмотря на то что определенность знаний абсолютных уровней поля позволяет в этих областях осуществлять контроль общего уровня шума, интересует изучение с результатами предыдущих измерений и выявление источников повышенных уровней шума. Измерительные гидрофоны устанавливаются вблизи дна. Судно проходит заданной скоростью на определенном расстоянии (10...100 м) [67].

Поле формируется прямым и отраженным от поверхности моря лучами, которые также обуславливают интерференционный характер поля. Для модуля давления на расстоянии  $r$  от источника излучения получим  $P_d = 12\rho_0 s^2 (2\pi r)^2 / (r\nu^2)$ , где  $\rho_0$  и  $\nu$  — густина и температура воды,  $s$  — амплитуда звука. Таким образом, при неизменных  $\rho_0$ ,  $\nu$  и  $\lambda$  с увеличением горизонтального расстояния в точках максимума уровня давления на дно больше, чем в однородной безграничной среде. Устойчивая интерференционная картина будет отмечаться на сравнительно низких частотах.

На больших расстояниях  $P_d = 4\pi\rho_0 z_0^2 / \lambda r^2$  и давление пузыря оказывается пропорциональным глубине погружения источника и приемника звука. Следовательно, для улучшения условий шумогенетонования пузыря погружения приемника следует увеличивать.

Регистрируют шумы судов в достаточно широкой полосе частот с использованием специальной измерительной аппаратуры [32, 67]. Структурный анализ шумов осуществляется с помощью фильтров.

Фильтровочный анализатор состоит из набора электрических фильтров, каждый из которых вырезает в исследуемом шуме определенную полосу [32].

В основе построения измерительных фильтров лежит соотношение

$$f_{i+1}/f_i = 2^{\nu}, \quad (4.104)$$

где  $f_i, f_{i+1}$  — нижняя и верхняя границы полосы пропускания;  $\nu$  — параметр, характеризующий ширину полосы фильтра.

Если  $\nu = 1, 1/2, 1/3, 1/4$ , то фильтры называются соответственно четвертавыми, полуквартавными, третьюктавными и четьвертьктавными.

Отношение среднегеометрических частот смежных фильтров, определяемых как  $f_{i+1} / \sqrt{f_i f_{i+2}}$ , всегда равно  $2^{\nu}$ . Таким образом, зна-

яя допустимую крайнюю частоту первого фильтра, можно определить граничные и среднегеометрические частоты остальных фильтров.

Для получения такой структуры спектра (выявление дискретных частотных полос) используются узкополосные анализаторы.

Принцип работы гетеродинного анализатора заключается в получении разностной частоты, являющейся результатом сложения исследуемых колебаний и спектрального гетеродина, частота которого непрерывно изменяется. Биения разностной частоты выделяются узкополосным фильтром.

Аналитический процесс считается полным, если скорость изменения частоты генератора не превышает некоторой величины  $\dot{\gamma} = \Delta f^2/4$ , где  $\Delta f$  — линейная полоса прозрачности фильтра.

Продолжительность анализа полосы частот  $f_1 - f_2$  анализатором с постоянной шириной полосы прозрачности равна

$$t = (f_2 - f_1)/\dot{\gamma} = 4(f_2 - f_1)/(\Delta f)^2. \quad (4.105)$$

При достаточно узкой полосе прозрачности время анализа может достигать десятков минут.

Для уменьшения времени анализа применяют анализаторы с постоянной относительной шириной прозрачности  $\gamma$ , равной

$$\gamma = \Delta f/f_{cp} = \text{const}, \quad (4.106)$$

где  $f_{cp}$  — средняя частота прозрачности.

В практике измерений нашли применение анализаторы с относительными полосами  $\gamma = 3$  и  $10\%$ . Время, необходимое для анализа шума в этом случае, аналогично (4.105) и будет равно

$$t_1 = \frac{4f_2(1-\gamma/2) - f_1(1+\gamma/2)}{\gamma^2 f_2 f_1 (1-\gamma^2/4)}. \quad (4.107)$$

Заметим, что если  $f_2 \gg f_1$ , то (4.105) и (4.107) станут

$$t \approx 4f_2/\Delta f^2; \quad t_1 = 4\gamma^2 f_1. \quad (4.108)$$

Можно видеть, что если для анализатора с постоянной абсолютной шириной полосы анализа время работы определяется в основном частотой  $f_2$ , то для анализатора с постоянной относительной полосой это время зависит от наименьшей частоты.

Результаты анализа оформляются графически. При этом по оси абсцисс откладываются значения среднеспектральных частот полос, а по оси ординат — спектральные уровни в полосах фильтров.

Для получения функций спектральной плотности мощности данные анализа необходимо „исправить на полосу“. Таким образом, спектральная плотность и уровень спектральной плотности мощности будут равны:

$$- \text{при анализе с постоянной полосой прозрачности}$$

$$P_w^2(f_1, \Delta f, r)/\Delta f_1 = G_w(f); \quad (4.109)$$

$$10\log G_w(f) = N_w(f_1, \Delta f, r) - 10\log \Delta f_1$$

— при анализе с постоянной процентной полосой

$$P_w^2(f_1, \Delta f, r)/f_1^2 \Delta f_1 = G_w(f);$$

$$10\log G_w(f) = N_w(f_1, \Delta f, r) - 10\log (\gamma, f_{cp}, r).$$

Ориентативные спектрограммы после исправления на полосу необходимо перенести к условному расположению ординат  $r = 1$  м в предположении однородного закона спада силы звука.

На рис. 4.19 приведен график для перевода уровня в частотных полосах различной ширины в спектральные уровни мощности, и наоборот. Заметим, что для определения полосы трепетокальных фильтров можно пользоваться следующим приближенным соотношением:

$$\Delta f_1 \cong 0,23f_{cp,r}. \quad (4.111)$$

Полученные экспериментально спектральные плотности мощности являются исходной информацией для расчета дальности судовых шумоделегаторов.

Экспериментальные исследования отражательной способности кораблей могут быть осуществлены путем физического моделирования, а также в натуральных условиях. Методы физического моделирования подобны рассмотренным в работе [68].

В реальных морских условиях определение отражательной способности может быть выполнено с помощью метода сравнения и непосредственных измерений.

Сущность первого метода сводится к сдвигу уровня отражения от цели к уровню отражения от сфере и частотному радиусу, размноженному в квадрате. Сущность второго метода сводится к сдвигу уровня отражения от цели и частотному радиусу, размноженному в квадрате. Помимо этого, метод сравнения может быть использован для определения отражательной способности из отношения интенсивностей экосигнала от цели и экосигнала от вспомогательной сферы:

$$R_{3d}^2 = R_{3d,0}^2 (u_d/u_0)^2 (r_w/r_e)^2 [0.024(u_0 - r_e)(A_r/A_r'')], \quad (4.112)$$

где  $u_d$  и  $u_0$  — напряжения на выходе измерительного тракта, вызванные отражением звука от цели и эталонной сферы соответственно.

Постоянство метода в отсутствии необходимости абсолютной градуировки приемоизлучающего тракта. Основным недостатком метода является неканоничность при  $r_c \neq r_{l,0}$ , ошибки в определении коэффициента затухания  $\beta$  и фактора японии  $A_f$ .

Эти недостатки лишь метод копироственных измерений. Анализ

тических сущностных методов сводится к следующему. Преобразуем выражение для интенсивности экосигнала (3.8):

$$J_0 = \frac{P_0^2}{\rho c} = \frac{\rho_0 \gamma_1 R_2^2}{16\pi^4} 10^{-0.2\beta r} A_f^2 = \frac{\rho_0 \gamma_1}{4\pi^2} r_0^2 \frac{R_2^2}{4} \frac{10^{-0.2\beta r}}{r^4} A_f^2 =$$



Рис. 4.19. Зависимость поправки на появление шума от спектральной ширины полосы фильтров.  $f_{cp,r}$  — частота измерительного фильтра;  $\beta$  — половина октавы;  $2 - 1/2$  октавы;  $3 - 3/2$  октавы;  $4, 5 - 3$  кв. полосы пропускания

$$= \frac{p_0^2}{p c} \frac{R_s^2}{r^4} \frac{10^{-0.2Br}}{4 - A_f^2},$$

де  $p_0$  – давление прямого сигнала на расстоянии  $r_0 = 1$  м;  $p_3$  – давление эхо-сигнала в точке приема.

Таким образом, для квадрата давления эхо-сигнала получим

$$P_3^2 = \frac{p_0^2 r_0^2}{r^2} 10^{-0.1Br} A_f^2 \frac{R_s^2}{r^2} 10^{-0.1Br} A_f = p^2(r) \frac{R_s^2}{4} \frac{p^2(r)}{p_0^2 r_0^2}. \quad (4.113)$$

Из (4.113) для силы цепи имеем

$$R^2/4 = p_3^2(r) p_0^2 / p^4(r); \quad T = 20 \lg p_3(r) + 20 \lg p_0 - 40 \lg p(r). \quad (4.114)$$

Из выражения видно, что сущность метода замены силы цепи сводится к замене давления прямого сигнала в точке различия на давление эхо-сигнала в точке приема при условии контроля уровня излучения.

Замер давления сигнала в точках нахождения цепи и приемника осуществляется влияниями среды, что способствует повышению точности определения силы цепи.

Схема излучения и приема должна быть проградуирована. Перед началом измерений разрабатывается методика, предусматривающая заменное моделирование наблюдателя и цепи для получения наилучших данных на каждом курсовом угле. Сравнительно за изобилием промежуточного времени можно получить достоверные данные по отражательной способности подводной ложи.

**Экспериментальное определение ВХО.** Определение ВХО может быть осуществлено непосредственно в лабораторных условиях и на основе натурных испытаний. Кроме того, для определения ВХО могут быть использованы данные, полученные в процессе опытной эксплуатации судовых ГАС в контролируемых условиях.

Характерной особенностью лабораторных исследований является необходимость строгого выполнения то же самое условий исследуемого тракта реальным условиям. Это положение налагает исключительные жесткие требования к формирователям сигналов, помех, к медиаторам и т. п.

В лабораторных условиях могут быть определены вероятности  $\rho_{\text{пр},0}$  и  $\rho_{\text{пр},n}$ . Сущность таких испытаний может быть приближенно сформулирована с помощью блок-схемы устройства, изображенной на рис. 4.2.0. В качестве оператора [20, 47, 67], целесуказывающего к реальным условиям: продолжительность работы, дискретизующую поступления информации, объем приемной информации о цели и т. д.

В процессе испытаний необходимо произвести ряд измерений. В первую очередь это касается замера отклика сигнала/помехи на первый ниро-ролик о цели и т. д.

На рис. 4.20 схема устройства для экспериментального определения вероятности обнаружения.

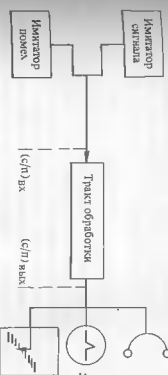


Рис. 4.20. Схема устройства для экспериментального определения вероятности обнаружения

Оценка вероятности правильного обнаружения  $P_{\text{пр},0}$  и ложной тревоги  $P_{\text{л},0}$  определяются из очевидных соотношений:

$$P_{\text{пр},0}^* = N_{\text{пр}} / N_{\Sigma, \text{с+ш}}; \quad P_{\text{л},0}^* = N / N_{\Sigma, \text{ш}}, \quad (4.115)$$

$N_{\text{пр}}$  и  $N_{\Sigma, \text{с+ш}}$  – количество правильных обнаружений сигналов и общее число реализаций сканеров сигнала/шума;  $N_{\Sigma, \text{ш}}$  – количество ложных обнаружений и общее число реализаций шума.

Отличием первоначальной схемы, представляется возможным определение "частоты" ошибок оператора при ложной тревоге  $P_{\text{л},0}^*$  в функции временных "частот" ошибок оператора  $T_n$  и отношения сигнал/шум,  $P_{\text{л},0}^* = P_{\text{л},n}^* (T_n)$  и зависимости частоты правильного обнаружения от среднего интервала спектрования посылок  $T_n$ .

Расчет  $P_{\text{л},n}^*$  производится на основании

$$P_{\text{л},n}^* \sqrt{-2 \ln P_{\text{л},n}^*} = n_{\text{л},n} / \Delta f T_n, \quad (4.116)$$

где  $n_{\text{л},n}$  – количество ложных тревог за время  $T_n$ ;  $\Delta f$  – полоса пропускания прецессора.

В лабораторных условиях возможна проверка помехоустойчивости антенны.

(с/f)<sub>вых</sub> АЛ = (с/f)<sub>вых</sub> АЛ /  $\gamma_2(\Delta f)$ ,

где  $\gamma_2(\Delta f)$  – коэффициент концентрации антенны в рабочей полосе ГАС, связывающий отношение сигнала/помехи на входе и выходе антенны. Значение коэффициента концентрации  $\gamma_2(\Delta f)$  рассчитывается с помощью формулы

$$\gamma_2(\Delta f) = \frac{2H}{\lambda_{\text{ср}}} \frac{2\pi}{\int_0^{2\pi} R^2(0, \varphi, \Delta f) d\varphi},$$

где  $H$  — высота антены;  $R(0, \psi, \Delta)$  — функция характеристики направлений в горизонтальной и горизонтальной плоскости соответственно;  $\alpha, \varphi$  — углы в вертикальной и горизонтальной плоскости соответственно.

Для ГАС, находящихся на сближении флота, ВХО определяется при проведении ходовых испытаний судов на специальном оборудованном посту в контролируемых условиях [35]. Определение ВХО осуществляется по результатам измерений дальности приема сигнала, подаваемого на глубине порядка 50 м плавающим буем.

В процессе испытаний для различных фиксированных расстояний до постов определялась частота обнаружения, являющаяся оценкой вероятности правильного обнаружения и „сходящейся к ней по вероятности“ по мере увеличения числа галсов:

$$P^*(D) = m/n,$$

где  $m/n$  — отношение количества обзоров, при которых обнаруживалась объект к общему числу галсов.

Доверительный интервал для  $\bar{r}$  и  $D_p$  определяется в соответствии с формулами (4.101) и (4.100).

Разработанная аналогичных испытаний является методика, в процессе которой на протяжении  $N$  галсов фиксируется дальность первого статистической ряд:  $r_1, r_2, \dots, r_N$ . Число таких галсов, как правило, невелико изза сложности и дороговизны испытаний.

В данной ситуации возникает задача в определении дистанции на базе ограниченного числа испытаний и в указанной границе интервала  $r_{1,2}, r_{3,4}, \dots$ , в котором это значение дистанции лежит с доверительной вероятностью  $\beta$ .

Здесь  $\beta$  — вероятность обнаружения цели на дистанции не менее заданной.

Пободная задача в предположении нормального закона для дальности действия среиства наблюдения подобно рассмотрена в работе [61].

При решении этой задачи выполняют следующие операции:

— определяют оценки математического ожидания  $\bar{r}$  и дисперсии дистанности  $\sigma_r^2$  по данным выборок  $\{r_i\}$ :

$$\bar{r} = \frac{1}{N} \sum_{i=1}^N r_i / N, \quad (4.117)$$

$$\sigma_r^2 = \frac{1}{N-1} \sum_{i=1}^N (r_i - \bar{r})^2 / N - 1, \quad (4.118)$$

— вычисляют по заданной доверительной вероятности  $\beta$  величину температурную величину  $\eta$ , определяющую равенства (см. рис. 4.21);

$$P(r_{a_1} \geq \bar{r}_a) = \eta; \quad (4.119)$$

$$P(r_{a_2} \leq \bar{r}_a) = \eta; \quad (4.120)$$

$$\eta = (1 - \beta)/2. \quad (4.121)$$

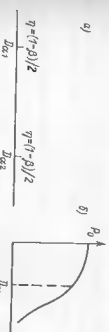


Рис. 4.21. К определению выражения 4.119 и 4.120: а — равенство  $P(r_{a_1} > r_a) = \eta$ ;  $P(r_{a_2} < \bar{r}_a) = \eta$ ; б — выражение  $P(r > r_a)$

— определяют коэффициенты  $k_a$  и  $k_\eta$  по таблице интегралов  $\Phi^*(z) =$

$$= (2\pi)^{-1/2} \int_{-\infty}^z \exp(-t^2/2) [c. \text{м. (4.70)}];$$

$$k_a = \arcsin \Phi^*(1 - \eta); \quad k_\eta = \arcsin \Phi^*(1 - a), \quad (4.122)$$

где  $a$  — вероятность, определяемая как  $\text{Вер}(r \geq r_a) = a$ .

— определяют коэффициенты  $k_1$  и  $k_2$  из квадратного уравнения

$$\left[ \frac{1 - k_\eta^2}{2(N-1)} \right]^2 k_f^2 - k_a k_f + \left( k_a^2 - \frac{k_\eta^2}{N} \right) = 0; \quad (4.123)$$

— определяют границы доверительного интервала  $r_{a_1}$  и  $r_{a_2}$ :

$$r_{a_1} = \bar{r} + k_1 \sigma_r; \quad r_{a_2} = \bar{r} + k_2 \sigma_r. \quad (4.124)$$

Полученные вероятностные значения дальностей  $r_a$  сравнивают с данными, полученным расчетным путем, учитывая фактическое распределение скорости звука в районе испытаний.

Экспериментальные методы оценки точности определения угловых координат в реальных условиях. Сущность любой коммерческой сводится к сравнению полученных экспериментальных данных с эталонными величинами.

В реальных условиях при оценке точности пеленгования сравнивание результатов замеров производится с результатами измерений любым способом, отличным более высокой (не менее чем на порядок) и радиолокационные. В крайнем случае, возможно сравнение результатов измерений с теоретической величиной изменения угловой координаты из некоторой цели при маневрировании постами ГАС постоянными курсом и скоростью.

В качестве цели выбирают обекты, устанавливаемый на якоре и излучающий сигналы, либо корабли, маневрирующий по определенному

программе. Носитель ГАС может работать на дальности приема сигналов и осуществляется замер совокупности кусковых углов на цепь. Набор необходимого объема статистики должен осуществляться равномерно в пределах всего сектора обзора ГАС.

По окончании измерений при больших отношениях сигнал/помеха по возможности переходит к оценке точности определения угловой координаты на предыдущих листаниях.

После испытаний производят обработку экспериментальных данных.

Если полученные значения ошибок больше требуемых технических задач,

то необходимо провести шаттерную проверку всех блоков и уз-

лов ГАС, участвующих в пеленговании, и повторные экспериментальные проверки.

**Примеры к главе 4.**

**Пример 4.1.** Определить уровень шума легкого крейсера в полосе 1...4 кГц на расстоянии  $r = 200$  км, если приведенный уровень шума, согласно рис. 4.2, равен  $N_{\text{ш}}(1, 1, 1) = 44$  дБ/Па.

**Решение.** Определяем скорость спектра шума при  $r = 1$  м. Из рис. 4.2  $\Delta G = 25$  дБ/декада. Согласно (4.9)  $n = 2,5$ . Этому значение  $n$  из рис. 4.3 соответствует величина отложенная давлением  $m = 2,8$ .

Определим среднегеометрическое значение полосы и коэффициент затухания:

$$f_3 = \sqrt{1 \cdot 4} = 2 \text{ кГц}; \quad \beta = 0,036 \cdot 2^{3/2} = 0,1 \text{ дБ}.$$

Уровень шума в полосе 1...4 кГц на расстоянии  $r = 200$  км согласно (4.16) и (4.18) будет равен

$$N_{\text{ш}}(f_3, \Delta f, r) = N_{\text{ш}}(1, 1, 1) + 10 \lg \Delta f + 20 \lg m - 20 \lg f_3 -$$

$$- 20 \lg r - \beta r = 44 + 36 + 9 - 6 - 20 = -43 \text{ дБ/Па};$$

$$P_{\text{ш}}(f_3, \Delta f, r) \cong 7,1 \cdot 10^{-3} \text{ Па}.$$

**Пример 4.2.** Пользуясь спектрограммой шума подводной лодки (кривая  $f_2$  на рис. 4.2), определить уровень шума в полосе 3...5 кГц при  $r = 1$  м.

**Решение.** Определим показатель спада спектра  $n$  по формуле (4.9).

Поскольку из рис. 4.2  $\Delta G = 14$  дБ/декада, то  $n = 1,4$ . Для расчета уровня шума в полосе частот воспользовались выражением (4.15), полоски предварительно  $\beta = 0$  и  $r = r_0$ , а эквивалентной частоты – (2.116). Из рис. 4.2 приведенный уровень шума равен

$$N_{\text{ш}}(1, 1, 1) = 13 \text{ дБ/Па}. \quad f_2 = 3,5 \text{ кГц}.$$

Для уровня шума получаем

$$N_{\text{ш}}(f_2, \Delta f, 1) = N_{\text{ш}}(1, 1, 1) + 10 \lg \Delta f - n \cdot 10 \lg f_2 = 13 + 33 - 7,7 =$$

$$= 38 \text{ дБ/Па}.$$

$$P_{\text{ш}}(f_2, \Delta f, 1) = 80 \text{ Па}.$$

**Пример 4.3.** Уровень приведенного шума цепи  $N_{\text{ш}}(1, 1, 1) = 140$  дБ/мкПа. Определить уровень шума в полосе  $\Delta f = 250$  Гц на частоте  $f_3 = 5$  кГц, если спад спектра определяется выражением вида  $G = \alpha f^3$ .

**Решение.** Используя (4.16) при  $\beta = 0, r = r_0 = 1$ , имеем

$$N_{\text{ш}}(f_3, \Delta f, 1) = N_{\text{ш}}(1, 1, 1) - n 10 \lg f_3 + 10 \lg \Delta f = 140 - 21 + 24 = 143 \text{ мкПа}.$$

$$P_{\text{ш}}(f_3, \Delta f, 1) = 14,1 \text{ Па}.$$

**Пример 4.4.** Уровень шума эскортного корабля при скорости  $v = 20$  уз, установленном расстоянии  $r = 1$  м, частоте  $f_3 = 5$  кГц, равен  $N_{\text{ш}}(5, 1, 1) = 140$  дБ/мкПа [67]. Определить уровень шума на частоте  $f_3 = 1$  кГц, полосе 1 Гц, если спад спектра составляет 5 дБ/декада и расстояние  $r_1$ , на котором это давление станет равным давлению шума моря на полосе 1 Гц при волнении моря шесть баллов.

**Решение.** Определим величину  $n = \Delta G / 3 = 5/3$ . Согласно (4.16) приведенный уровень шума будет равен

$$N_{\text{ш}}(1, 1, 1) = 151,7 \text{ дБ/мкПа}; \quad p_{\text{ш}}(1, 1, 1) = 38,5 \text{ Па}$$

Уровень шума моря на частоте  $f = 1$  кГц, согласно рис. 2.10, равен  $N_{\text{ш}}(1, 1, 1) = 70$  дБ/мкПа. Расстояние  $r_1$  определяется из равенства

$$P(r_1) = \frac{p_{\text{ш}}(1, 1, 1)}{r_1} 10^{-0,055n} = p_{\text{ш}, \text{м}}(1, 1),$$

$$N_{\text{ш}}(1, 1, 1) - 20 \lg r_1 - \beta r_1 = 70 \text{ дБ/мкПа}.$$

Коэффициент затухания на частоте  $f_3 = 1$  кГц равен  $\beta = 0,036 \text{ дБ/км}$ .

Решая последнее равенство, получаем

**Пример 4.5.** Показать возможность определения параметров закона распределения давления шума корабля, если имеется зависимость

$$p_{\text{ш}} = k_V r^m$$

**Решение.** Воспользуемся известным соотношением между плотностью распределения функции  $u = F(x)$  и аргументом  $f(x)$

$$f'(x) = f[x = \varphi(y)] |\partial \varphi / \partial x|.$$

$$f(p_{\text{ш}}) = f[v = \varphi(p_{\text{ш}})] |\partial\varphi(p_{\text{ш}})/\partial p_{\text{ш}}|.$$

Задача решается, если известна плотность распределения скорости, что логично быть достаточно обосновано. Для простоты возьмем штотность  $f[v = \varphi(p_{\text{ш}})]$  равномерной в диапазоне значений  $v_1 \dots v_2$ :

$$f(v) = \begin{cases} 0, & v < \bar{v} - \Delta v, \\ 1/2\Delta v, & v_1 < v < v_2, \\ 0, & v > \bar{v} + \Delta v, \end{cases}$$

### Производная обратной функции

$$\frac{\partial v}{\partial p_{\text{ш}}} = \frac{1}{m} \frac{1}{\sqrt{v k}} p_{\text{ш}}^{-m},$$

Таким образом

$$f(p_{\text{ш}}) = \begin{cases} \frac{1}{2\Delta v} \frac{1}{m} \frac{1}{\sqrt{v k}} p_{\text{ш}}^{-m}, & \bar{v} - \Delta v \leq v \leq \bar{v} + \Delta v, \\ 0 \text{ при } v \geq (\bar{v} \pm \Delta v). \end{cases}$$

Обработка данных Р. Д. Урика [67] позволяет получить  $k = 2,4 \cdot 10^{-3}$ :  $m = 3$ . Пусть при этом  $v = 20$  уз,  $\Delta v = 8$  уз. Тогда

$$p_{1,\text{ш}} = k(\bar{v} - \Delta v)^m = 2,4 \cdot 10^{-3} \cdot 16^3 = 9,83 \text{ Па},$$

$$p_{2,\text{ш}} = k(\bar{v} + \Delta v)^m = 2,4 \cdot 10^{-3} \cdot 24^3 = 33,17 \text{ Па}.$$

Математическое ожидание и дисперсия шума найдем по известным соотношениям:

$$M[p_{\text{ш}}] = \int_{-\infty}^{\infty} f(p_{\text{ш}}) p_{\text{ш}} (\nu) dp_{\text{ш}} = 19,95 \text{ Па};$$

$$D[p_{\text{ш}}] = \int_{-\infty}^{\infty} (p_{\text{ш}} - M[p_{\text{ш}}])^2 f(p_{\text{ш}}) dp_{\text{ш}} = 45,5^2 \text{ Па};$$

$$0_{p_{\text{ш}}} / M[p_{\text{ш}}] = 33,8 \% \text{ Па}.$$

Аналогично могут быть найдены параметры закона распределения  $p_{\text{ш}}$  для других законов  $f(v)$ .

**Пример 4.6.** Определить: 1) силу цели  $G$  и эквивалентный радиус головной подкап  $R_g$ , удаленной от судна на расстояние 5 км, если давление звука сигнала в токе приема составляет  $P_s = 0,0308 \text{ Па}$ ;

2) изменение уровня эхосигнала, если сила цели выросла на  $T = +14 \text{ дБ}$ , а расстояние до подкапы, если сила усилилась до 6,4 км

Параметры ГАС:  $C_d = 10^4 \text{ Вт}$ ;  $r_1 = 200$ ;  $\beta = 1 \text{ дБ/км}$ .

**Решение:** Ктененность эхосигнала  $J_s = P_s^2 / \rho c = 6,32 \cdot 10^{-10} \text{ Па}^2 \cdot \text{сек}^2$ .

Подставляя исходные данные в (4.23) для силы цели, получим  $T = 14 \text{ дБ}$ ,  $R_g = 10 \text{ м}$ .

2) учитывая, что потеря на распространение увеличивается на величину  $[20 \log(6,4/5) + 1(6,4 - 5)] = 7 \text{ дБ}$ , а сила цели возросла на 14 дБ, уровень эхосигнала увеличится на величину  $10 \log \Delta r = 7 \text{ дБ}$ .

**Пример 4.7.** Величина вероятности правильного обнаружения сигнала равна  $P_{0,0} = 0,5$ . Определить вероятность обнаружения цели  $P_0$ , если в ГАС применяется логика оценки результатов наблюдений (3,5); ( $k = 3$ ,  $m = 5$ ). Вероятности  $p_{l,0}$  в течение  $l = 5$  циклов считать неизменной.

**Решение:** Пользуясь выражением (4.29), получаем  $P_0 = 0,343$ .

**Пример 4.8.** В автоматическом обнаружителе реализовано правило принятия решения (2,3); ( $k = 2, l = 3$ ). Вероятности правильного обнаружения от цикла к циклу составляют  $p_{l,0} = 0,2, 0,3$  и 0,4. Определить вероятность обнаружения цели  $P_0$ .

**Решение:** Согласно выражению (4.29) имеем  $P_0 = 0,116$ .

**Пример 4.9.** Доказать рекуррентное соотношение для накопленной вероятности при правиле принятия решения (2,2); ( $k = 2, l = 2$ ).

**Решение:** Продолжим киркум в ее благоприятные, отвечающие условию (2,2), и неблагоприятные события за 2, 3, и 4 цикла обзора. Результаты свидетельствуют в табл. 9.

Из табл. 9 видно, что сумма вероятностей благоприятных событий в каждом цикле составляет накопленную вероятность. А разность накопленной вероятности при правиле (2,2) и правиле (2,1) отличается между собой на вероятность события, отвечающего правилу (2,2) и появления его в данном цикле впервые. В табл. 9 они взяты в рамку, т. е. мы получили выражение (4.33).

**Пример 4.10.** Рассчитать накопленную вероятность обнаружения цели  $G$  за 3, 4 и 5 циклов обзора судовой ГАС, если в ней реализовано правило обработки результатов наблюдений (2,3). Вероятность правильного обнаружения от цикла к циклу не меняется и равна  $P_{0,0} = 0,5$ .

**Решение:** Пользуясь (4.33), получаем

$$P_{n,1,2,3}(3) = 0,5; \quad P_{n,1,2,3}(4) = 0,625; \quad P_{n,1,2,3}(5) = 0,718.$$

**Пример 4.11.** Графически показать зависимость накопленной вероятности обнаружения цели гидролокатором судна, если решение об обнаружении принимается после каждого обзора (1,1). Число обзоров обозначим  $n = 1, 2, 3, 4, 5$ ; вероятность ложной тревоги в эпизоде разрешения принять равной  $P_{l,T} = 10^{-4}$ . Условии наблюдения от обзора к обзору считать независимыми.

Таблица 9 Сударство роста

накопленной вероятности обнаружения

Номер обозр.	Вероятности благоприятных событий	Накопленная вероятность
= 2	$P_1 P_2$	
= 3	$\frac{P_1 P_2 P_3}{P_1 P_2 P_3}$	$P_1 P_2 + q_1 P_3 P_4$
= 4	$\frac{P_1 P_2 P_3 P_4}{P_1 P_2 P_3 P_4}$	$P_1 P_2 + q_1 P_3 P_4 + q_2 P_3 P_4$
	$\boxed{P_1 P_2 P_3 P_4}$	
	$\boxed{q_1 q_2 P_3 P_4}$	

**Решение.** Для вероятности правильного обнаружения в случае приема одиночного синусоидального импульса, амплитуда которого фиксирована по закону Рэлея, воспользуемся выражением (2.27). Коэффициент неоптимальности обработки  $Q$  примем равным 1. В соответствии с (4.37) для накопленной вероятности будем иметь

$$P_{n,1,1}(n) = 1 - [1 - P_{h,T}^{1+\delta^2(r)}]^{-n}. \quad (4.125)$$

Подставляя в (4.125) величины  $P_{h,T}$  и  $\delta^2(r)$ , получим зависимость, представленную на рис. 4.22. Нетрудно видеть, что при наличии на входе гидротокамионного приемника отшумления сигнала помехи, равного  $\sqrt{5}$ , накопленная вероятность с  $P_{n,0} P_H = 0.2$ , при  $n = 1$  через пять циклов обзора составит  $P_n = 0.7$ .

**Пример 4.12.** Разработать блок-схему алгоритма расчета накопленной вероятности обнаружения цели с правильным решением  $l_f = 3,3$  (при пороге).

**Решение.** В соответствии с (4.34)  $Q(1) = Q(2) = 1$ , а  $Q(3) = 1 - P_{1,P_2,P_3}$ . При  $n \geq 4$  расчеты производят по формуле, полученной из (4.33) и (4.35):

$$\begin{aligned} P_{\text{пор}}(n) &= Q(n-4)q(n-3) \times \\ &\times p(n-2)p(n-1)p(n); \\ Q(n) &= Q(n-1) - Q(n-4) \times \\ &\times q(n-3)p(n-2)p(n-1)p(n). \end{aligned}$$

Вероятность обнаружения за каж-

дый оборот  $P_l(i) = p(c|n)$  определяется в зависимости от режима

работы ГАС по формулам (2.152)

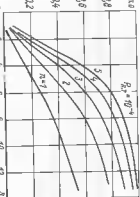


Рис. 4.22. Пример зависимости накопленной вероятности обнаружения от изменения старт/помехи

либо (2.27). Текущее отношение сигнал/помеха выражается из уравнений (4.51), (4.54). Фактор анодации записи либо таблицы либо аналитической зависимости актива  $A_f(r)$ . Схема алгоритма представлена на рис. 4.23. Последовательность расчета показана стрелками и начинается с определения  $P_l$ , затем  $P_{\text{пор}}(l)$  и  $Q(l)$ .

Для разработки алгоритма при правиле (2.3) можно использовать формулу (4.36). Однако для наглядности последовательность расчетов более подробно.

Определение накопленной вероятности оказывается более удобным использованием вероятности выполнения решения. Типовые окончания реализаций, соответствующих невыполнению правила (2.3) при четырех циклах обзора  $l \leq 3$ , классифицируются так:  $W_1 = 00$ ;  $W_2 = 10$ ;  $W_3 = 01$ ;  $W_4 = 11$ .

Заметим, что вероятность события  $W_1$  не удовлетворяет нашему правилу при отображении последнего знака и прибавлении перед ним единицы  $W_1$ , как 1, так и 0, а для вероятностей  $W_1$  и  $W_2$  — только 1. Таким образом, можно написать, что при

$$\begin{aligned} Q(W_1) &= q_1 q_2; \quad Q_2(W_1) = P_1 q_2; \quad Q_2(W_2) = q_1 P_2; \\ Q(2) &= Q_2(W_1) + Q_2(W_1) + Q_2(W_2) = 1 - P_1 P_2. \end{aligned}$$

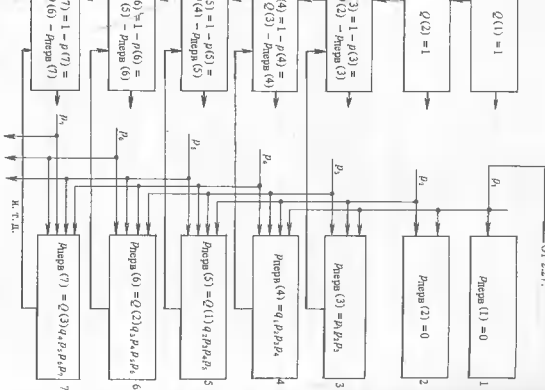
Для числа реализаций  $l \geq 3$  вероятности образования реализации соответствующих невыполнению критерия (2.3) будут равны

$$Q_l(W_1) = q_1 [Q_{l-1}(W_1) - Q_{l-1}(W_2)];$$

$$Q_l(W_2) = P_1 Q_{l-1}(W_1);$$

$$Q_l(i) = Q_1(W_1) + Q_1(W_1) + Q_1(W_2);$$

$$P_n(i) = 1 - Q(i); \quad P_{\text{пор}}(i) = Q(i-1) - Q(i).$$



Полученным соотношением соответствует схема (рис. 4.24), пока-  
занная по следовательности действий при расчете величин  $P_i(i)$  и  
 $P_{i,pj}$  (1). Число в вертикальных столбцах равно числу типовых окончий  
Горизонтальные строки соответствуют очередному шагу обзора и со-  
стоят из операторов, вычисляющих вероятности реализации с опре-  
ленным типом окончания для текущего шага обзора  $i$  при  
известных вероятностях реализации с такими же типовыми окончаниями  
при  $i = 1$ .

Начало расчета начинается с определения  $P_1 = p_1$  (сл. 1). Вход, результа-  
тоз вычисленный от операторов одной строки к последующей показан  
斯特релками.

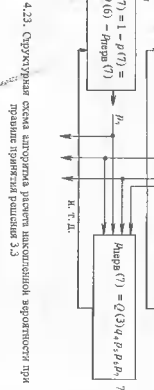
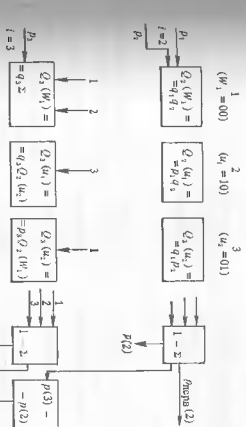


Рис. 4.23. Структурная схема алгоритма расчета накопленной вероятности при правиле принятия решений 3.3

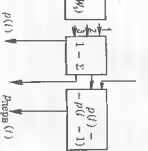


Рис. 4.24. Структурная схема алгоритма расчета накопленной вероятности при правиле принятия решений 2.3

этой суммы из циклов находятся вектора  $P_{n,i}$ , а поствычитанная разность  $P_n(i) - P_n(i-1)$  дает значение  $P$  для каждого цикла обзора.

**Пример 4.13.** Показать возможность аналитического определения плотности распределения вероятности дальности действия ГАС.

*Решение.* Расмотрим правило (2.3). Вероятность обнаружения за каждый образ определяется как

$$P_i(r_i) = P_{n,i} [1 + \delta^2(r)]^{-1} = \exp \left[ \frac{\ln P_{n,i}}{1 + \delta^2(r)} \right]. \quad (4.126)$$

Отношение  $\delta^2(r)$  в (4.126) находится из уравнения дальности (4.51). Для случая  $\delta^2(r) \gg 1$ ,  $P_i(r) \approx \exp [\ln P_{n,i} \delta^2(r)]$ .

Если  $f(r)$  — плотность вероятности дальности обнаружения,  $F(r)$  — интегральная функция, то вполне очевидно:

$$f(r_i) = P_0 [1 - F(r)] / A, \quad i = 1, \infty, \quad (4.127)$$

где  $P_0$  — трактуется как вероятность обнаружения впервые в  $i$ -м цикле;  $1 - F(r)$  — вероятность необнаружения в предыдущих циклах;  $A$  — нормирующий множитель.

Решая уравнение (4.127) и учитывая, что  $f'(r) = dF(r)/dr$  получим

$$f(r) = P_0 \exp \left[ - \int_r^\infty P_0(t) dt \right]. \quad (4.128)$$

Распределение  $f(r)$  в форме (4.128) эквивалентно экспоненциальному распределению с параметром  $\lambda = P_0 f(r)/A$ . Данное распределение характеризует тем, что математическое ожидание распределения  $\bar{r}$  равно  $A/P_0$ , дисперсия  $D = A^2/P_0^2$ . Следовательно, в распределении (4.128) можно ожидать постоянства коэффициента перспективы  $\sigma_f/F$ .

Анализ экспериментальных данных по дальности обнаружения ГАС с различной энергетикой, полученных в условиях полигонической радиолокации с градиентами  $0.2 \dots 0.02 \text{ c}^{-1}$  при волнении моря два-три балла в диапазоне частот  $3 \dots 10 \text{ кГц}$  показал, что закон распределения вероятности  $f(r)$  является гауссовым с постоянным коэффициентом вариации  $\sigma_f/F = 0.235 = k$  ( $0.19 \leq k \leq 0.28$ ) и параметрами  $\bar{r} = r$  ми при  $P_{n,0} = 0.9$ ,  $\sigma_f = k\bar{r}$  ми [63].

Таким образом, построение  $f(r)$  сводится к расчету дальности обнаружения ГАС при  $P_{n,0} = 0.9$  ми и величине  $\sigma_f = k\bar{r}$  ми.

**Пример 4.14.** Показать связь между плотностью распределения вероятности дальности действия  $f(D)$  и интегральной обнаружения  $\gamma_i(D)$ .

*Решение.* Допустим, имеется закон распределения дальности обнаружения цепи  $f(D)$ , сближающейся с наблюдателем на курсовом параметре  $\nu$  и относительной скоростью  $v$ . Вероятность обнаружения

цели на дистанции, не менее заданной  $r^*$ , определяется соотношением

$$p(r \geq r^*) = \int_{r^*}^{\infty} f(D) dD. \quad (4.129)$$

Величина дистанции  $r^*$  соответствует накопленной вероятности обнаружения  $P_{n,i}$ . В случае дискретного обзора это — вероятность обнаружения хотя бы раз за  $n$  циклов  $P_{n,1}(n)$  обзора, при непрерывном обзоре это — вероятность обнаружения цели за время  $t_n P_{n,n}(t_n)$ . Количество циклов обзора и время наблюдения определяются как

$$\pi = (r_1 - r) / \Delta r, \quad t = (r_1 - r) / v,$$

где  $\Delta r = v T_0$ ;  $r_1$  — дистанция до цели в первом цикле наблюдения ( $i = 1$  в момент наблюдения  $t = 0$ ).

Для накопленной вероятности обнаружения за  $n$  циклов обзора (время наблюдений  $t_n$ ) справедливо

$$P_{n,1,1}(n) = 1 - \prod_{i=1}^n (1 - p_i); \quad (4.130)$$

$$P_{n,i}(t_n) = 1 - \exp \left[ - \int_0^{t_n} \gamma_i(r) dr \right]. \quad (4.131)$$

Приравням (4.130) и (4.131)

$$1 - \prod_{i=1}^n (1 - p_i) = \int_{r_1}^{\infty} f(D) dD. \quad (4.132)$$

Обозначим значение дальности  $r_i$  через  $y_i$ :

$$y_i = \int_{r_1}^{\infty} f(D) dD. \quad (4.133)$$

Тогда в соответствии с (4.37) при  $i = 1$  и  $i = 2$  имеем

$$1 - (1 - p_1) = p_1 = y_1; \quad 1 - (1 - p_1)(1 - p_2) = y_2; \quad p_2 = \frac{y_2 - y_1}{1 - y_1}. \quad (4.134)$$

В самом общем случае

$$p_i = \frac{y_i - y_{i-1}}{1 - y_{i-1}}, \quad (4.135)$$

где числитель представляет вероятность первого обнаружения в диапазоне дальностей  $r_i, r_{i+1}$ :

$$p_i = \frac{\int_{r_i}^{r_{i+1}} f(D) dD}{1 - \int_{r_1}^{r_i} f(D) dD}, \quad (4.136)$$

где  $\Delta r = -v T_0$ .

$$\gamma_t(D)dD = \frac{f(r)dr}{1 + \int_0^r f(D)dD}, \quad (4.136)$$

где  $r = v_p t$ ;  $dr = -v_p dt$ .

С учетом этого (4.136) перепишем в виде

$$\gamma_t(\varphi)v_p dt = \gamma_t(r)dt = \frac{f(v_p t)v_p dr}{1 + \int_0^{v_p t} f(D)dD}.$$

Тогда

$$\gamma_t(\varphi)v_p dt = \gamma_t(r)dt = \frac{\int_0^{(v_p t)} f(v_p t)v_p dt}{1 + \int_0^{v_p t} f(D)dD}.$$

Следует подчеркнуть, что поскольку мы рассматриваем выражение для накопленной вероятности вида (4.37), функция  $f'(D)$  должна определяться для правила принятия решения  $k, j = 1, 1$ .

**Пример 4.15.** Рассчитать вероятностные характеристики обнаружения цели с эквивалентным радиусом  $R_s = 14,2$  м и автоматизированным гидролокатором импульсного судового гидролокатора. Параметры гидролокатора принять равными: акустическая мощность  $P_a = 10^4$  Вт; рабочая частота  $f = 10$  кГц; в режиме излучения и приема  $\gamma_1 = \gamma_2 = 100$ ; параметра пропускания приемного тракта  $\Delta f = 100$  Гц; первоначальное давление помех  $P_{n,0} = 10^{-4}$ ;  $\tau_2 = 0^2$ ;  $N_n(1, 1) = -50$  дБ/Гц. Среду считать однородной.

**Решение.** Обратимся к выражению (2.152), справедливому для случая обнаружения целей молобонных сигналов. Полагая значения  $P_{n,0}\sqrt{\Delta f/T}$  и задаваясь  $P_{n,0} = 0,5$  и  $0,1$ , получим соответствующие отклики  $(c(t))^2(r)$  на входе тракта шумоподавления. Аналогично примеру (4.15) из рис. 4.6 находим

$$P_{n,0} = 0,5; r \approx 16 \text{ км};$$

$$P_{n,0} = 0,2; r \approx 17,5 \text{ км};$$

$$P_{n,0} = 0,1; r \approx 19 \text{ км}.$$

**Пример 4.17.** Показать влияние различных факторов на предельную дальность обнаружения целей гидролокатором полводной лодки в условиях однородной среды.

**Решение.** Для расчета возьмем следующие исходные данные [26]:  $P_a = 10^4$  Вт; рабочая частота  $f = 4,0$  кГц, КК в режимах излучения и приема  $\gamma_1 = \gamma_2 = 100$ ; полоса пропускания  $\Delta f = 100$  Гц; эквивалентный радиус цели  $R_s = 14,2$  м;  $\delta^2 = 10$ . Приведенное давление помех  $P_n(1, 1) = 10$  Па (см. рис. 2.11). Сделав стекрет помехи равен 6 дБ/постава Попытавшись выражениями (4.53) и (2.118), находим явление, различное гидролокатором  $P_0 = 345 \cdot 10^5$  и давление помехи в рабочей полосе станции.

Подставляя необходимые данные в уравнение дальности, получаем  $1/2 \text{ ПО} = 1/2 [N_{k,p} + N_h(f_s, \Delta f, \gamma_2) - T - N_c] = 1/2 [10 - 52 - 0,1 \cdot Q(c(t))_{\text{ах}}^2 - 3] = -85 \text{ дБ}.$

$$1/2 \text{ ПО} = 1/2 [N_{k,p} + N_h(f_s, \Delta f, \gamma_2) - T - N_c] = 1/2 [10 - 52 - 0,1 \cdot Q(c(t))_{\text{ах}}^2 - 3] = -85 \text{ дБ}.$$

Энергетическая дальность обнаружения согласно рис. 4.6, равна  $r = 12$  км. Путь мощности гидролокатора уменьшается на 6 дБ и энергетическая дальность снижается до  $9.5$  км.

Таким образом, изменение мощности ГАС сравнительно слабо влияет на дальность обнаружения.

Допустим, что с увеличением скорости якоря уровень помехи возрастает на 10 и 20 дБ. Величина токсичности обнаружения изменяется на 5 и 10 дБ, что приведет к уменьшению дальности до 6,5 и 3,5 км соответственно.

Выполненный анализ говорит о значительном влиянии уровня помех на характеристики обнаружения и необходимость приведения мер по борьбе или же поддержанию их на номинальном уровне.

**Пример 4.18.** Определить предельную дальность обнаружения подводной лодки в однородной среде вертолетной ГАС. Параметры ГАС при полете самолета  $P_0 = 1,5$  кВт;  $\gamma_1 = \gamma_2 = 10$ ;  $\Delta f = 100$  Гц;  $f = 20$  кГц;  $R_3 = 14.2$  м;  $\delta^2 = 10$ .

**Решение.** Давление помехи примем равным давлению шума моря, стад спектра 6 дБ/юкта.

Согласно рис. 2.11  $N_{\text{г}}(1,1) = -50$  дБ/Па. Уровень помехи в рабочей полосе ГАС согласно (2.118), будет равен

$$N_T(f_s, \Delta f, \gamma_2) = -66 \text{ дБ.}$$

Уровень давления, развиваемого ГАС, в соответствии с (4.52)  $N_c = -92.5$  дБ. Подставляя полученные данные в (4.53), получаем  $1/2 \text{ ПО} = -82.7$  дБ, и дальность обнаружения, согласно рис. 4.6,  $r \approx 3.4$  км.

**Пример 4.19.** Определить энергетический потенциал ГАС ( $P_a, \gamma_1$ ), необходи́мый для обнаружения гидротехнического сооружения на частоте  $f = 10$  кГц на расстоянии не менее  $r = 5$  км. Эффективная площадь приставки равна  $S_g = 314 \text{ м}^2$ . Остальные параметры примут равными  $\delta = 10$ ;  $\Delta f = 316$  Гц;  $\gamma_2 = 100$ ;  $P_0(1,1) = 3 \cdot 10^{-3}$  Па; стад спектра помех  $\rho_3 = 6$  дБ/юкта. Среду считать однородной.

**Решение.** Обратимся к уравнению дальности в рабочем эксплуатационном диапазоне (4.49).

Рассчитаем интенсивность помех в рабочей полосе ГАС. В соответствии с выражением (2.19)  $I_p(f_s, \Delta f, \gamma_2) = 1.9 \cdot 10^{-3} \text{ Вт/м}^2$ . Погонная масса с выражением (4.49) и решая относительно  $10 \log(P_T)$ , получаем  $\sim 40$  дБ

при  $P_T = 10^4$  Вт.

**Пример 4.20.** Определить предельную дальность обнаружения радиолокатора якоря средней плотности гидролокатора „Палуба-М“. Исходные данные для расчета помехи  $P_0 \approx 8 \cdot 10^4$  Па;  $f_0 = 20$  кГц;  $\delta^2 = 10$ ;  $P_T(f_s, \Delta f, \gamma_2) = 4.43 \cdot 10^{-3}$  Па [38].

**Решение.** Подставляем исходные данные в уравнение дальности (4.53). Получаем помехи обнаружения  $1/2 \text{ ПО} = -67.5$  дБ, чemu соответствует дальность обнаружения  $r \approx 1.6$  км.

**Пример 4.21.** Шумозадающий установка в подводной лодке. Акустическое поле помех при скорости  $v$  соответствует кривой 2 на рис. 2.11. Определить зависимость предельной дальности шумозадающих установок крейсеров на скорости  $v = 24$  уз от скорости хода подводной лодки, если дальность помех изменяется в соответствии с выражением  $P_p = k(v/v_0)^3$ . Для расчета принять  $f_0 = 4.0$  кГц;  $\gamma_2 = 100$ ;  $\delta = 1.0$  [26].

**Решение.** Подставляя исходные данные в (4.56), получаем  $v/v_0 = 110$  дБ, чему соответствует предельная дальность обнаружения крейсера при скорости  $v$  подводной лодки  $r \approx 56$  км.

С увеличением скорости подводной лодки растет уровень помех, что снижает предельную дальность обнаружения. Ниже приведены значения прироста уровня помехи и соответствующее снижение дальности обнаружения:

$v/v_0$	1.0	1.26	1.58	2.0
дБ, ПДС	0	6	12	18
пред. КМ	56	42	30	20

**Пример 4.22.** Принять оценку дальности обнаружения акустической пассивной системой самонаведения торпеды крейсера на скорости  $v = 24$  уз. Исходными данными считать:  $f_0 = 25$  кГц;  $\gamma_2 = 40$ ;  $\delta^2 = 10$ ;  $P_0(25, 11) = 3.16$  Па.

**Решение.** Подставляя исходные данные в уравнение дальности (4.56), получаем  $1/2 \text{ ПО} = -70$  дБ, дальность обнаружения согласно (4.6)  $r = 1.3$  км.

**Пример 4.23.** Гидроакустический маяк-светильник, устанавливаемый на глубинах 6000 ... 7000 м, в ответ на запрос подводного гидролокатора излучает отрывной импульс длительностью  $\tau = 1.5 \dots 3$  мс на одной из пяти частот в диапазоне от 3 до 12 кГц. Мощность маяка-светильника передается 2 кВт. Определить дальность обнаружения сигнала маяка шумозадающим гидролокатором подводной лодки на частоте  $f = 10$  кГц в условиях однородной среды.

**Решение.** Для расчета примем следующие исходные данные:  $\delta^2 = 10$ ,  $\gamma_2 = 100$ ;  $P_0(1,1) = 3.16 \cdot 10^{-3}$  Па. Положим пропускание  $\Delta f$  с учетом длительности принятого импульса изолировано  $\Delta f = 1000$  Гц. Маяк относительной якоря гидролокатора расположен по направлению, соответствующему значению 0.7 ПДС,  $R_2 = 0.7$ . Стад спектра помехи полагаем равным 6 дБ/юкта. Излучатель маяка будем считать неконцентрическим  $\gamma_1 = 1$ ,  $R_1 = 1$ .

Подставляя исходные данные в уравнение (4.58), получаем  $1/2 \text{ ПО} = -131$  дБ, и дальность обнаружения  $r \approx 35$  км.

**Пример 4.24.** Определить мощность гидролокатора, необходимую для обнаружения якоря средней плотности ( $R_3 = 2$  м) на дистанции 2 км на фоне шумовой помехи,  $\rho_3 = \rho_4 = 0$ . Параметры гидролокатора принять равными  $\delta^2 = 12.6$ ;  $\Delta f = 316$  Гц, антenna — проскаль в погонную площадь  $S_g = S_2 = 10^{-1} \text{ м}^2$ . Приведенное давление помехи для сейнера на склоне 9 уз считать равным  $P_h(1,1) = 0.122$  Па. Стад спектра помехи

мощности, если обнаружение поиска на этой дистанции осуществляется не

сразу.

Решение. Пользуясь (4.62) и (4.63), имеем  $f_{\text{опт}} = 24.6 \text{ кГц}$ ;  $P_{\text{ш}} = 1.7 \text{ кВт}$ ;  $f = 0.5 \text{ кГц}$ .

**Пример 4.25.** Сокретные гидролокаторы реализуют дальность обнаружения подводных лодок порядка  $r \approx 50 \text{ км}$  [48]. Оценить мощность гидролокатора, необходимую для обнаружения подводной лодки с эквивалентным радиусом  $R_p = 20 \text{ м}$  на расстоянии 50 км. Среду считать однородной.

**Решение.** Примем следующие параметры гидролокатора: антenna плоская с размерами  $S_1 = S_2 = 4.5 \text{ м}^2$  [48];  $\delta = 10$ ;  $\Delta f = 100 \text{ Гц}$ ;  $P_n(1, 1) = 0.01 \text{ Па}$ .

На основании выражения (4.62), (4.63) имеем  $f_{\text{опт}} = 2.9 \text{ кГц}$ ;  $P_{\text{ш}}(f_{\text{опт}}) = 10^{-19}$ ;  $P_{\text{ш}} = 8160 \text{ кВт}$ .

Если предположить, что в реальных условиях фактор аномалии на этом расстоянии равен  $10 \lg A_f = 10 \text{ дБ}$ , то необходимая мощность упадет до  $81.6 \text{ кВт}$ .

**Пример 4.26.** Определить минимальную шумность цели, обнаруживаемой шумогенератором на расстоянии  $r = 2 \text{ км}$ , если его параметры равны: коэффициент распознавания  $\delta = 1$ ; площадь антенны  $S_1 = S_2 = 2.5 \times 10^{-2} \text{ м}^2$  (антenna плоская);  $\delta = 0$ ;  $a = 2$ ;  $b = 3.6 \cdot 10^{-2}$ ;  $n_p = 1.5$ .

**Решение.** Согласно (4.65)  $f_{\text{опт}} = 18.4 \text{ кГц}$ ; из (4.67) следует  $P_n(1, 1, 1) = 3.5 \cdot 10^3 \text{ Па}$ . Если  $P_n(1, 1) = 3 \cdot 10^{-3} \text{ Па}$ , то  $P_n(1, 1, 1) = 1 \text{ Па}$ .

**Пример 4.27.** Определить предельную дальность обнаружения подводной лодки по дискретной составляющей на частоте 500 Гц в условиях однородной среды с уровнем излучения 32 дБ/Гц.

Прием осуществляемый на подводном кораблем на боксиренную антенну с акустическим модулем длиной 189 м [29, 69]. Уровень помех на частоте в полюсе 1 Гц равен  $-60 \text{ дБ/Гц}$ . Регистрация сигнала осуществляется: а) путем записи на слух; б) автоматизированным трактом приема тракта:  $\Delta f/T = 10$ ;  $P_{\text{ш}} = 0.8$ ;  $P_{\text{ш}} = 10^{-4}$ .

**Решение.** 1) коэффициент конвертации линейной антенны равен  $\gamma = 2L/\lambda = 2 \cdot 189 / 500 \cdot 1500 = 1.26$  (см. 1.33). Уровень помех с учетом направленности  $N_r(f_c, \gamma_2) = -60 - 10 \lg 126 = -81 \text{ дБ}$ . Порог обнаружения оператором тональных сигналов в широкополосном режиме приема равнялся 16 дБ [69; (рис. 12.14; 12.16)]. Погрешность обнаружения составляла  $\Gamma(f) = 16 - 81 - 32 = -97 \text{ дБ}$ . Из выражения (4.66) для потерь на распространение  $\Pi R = -20 \lg r - \beta r = -97 \text{ дБ}$ ; дальность обнаружения  $r = 71 \text{ км}$ .

2) согласно (рис. 2.29)<sup>\*</sup> значением  $P_{\text{ш}, 0} = 0.8$ ;  $P_{n, 1} = 10^{-4}$ ;  $\Delta f/T = 10$  соответствует величина  $\delta^2 = 2$ ;  $10 \lg \delta = 3 \text{ дБ}$ .

Прием полосы анализа равной  $\Delta f = 1 \text{ Гц}$ . Уровень помех остался прежним. Погрешность обнаружения  $\Pi R = N_{\text{ш}, 0} + N_{\text{ш}}(f_c, \gamma_2) - N_c = 3 - 81 - 32 = -110 \text{ дБ}$ . Из потерь на распространение  $r = 225 \text{ км}$ . Оператор, не-

имеющий на получаемую большую вероятность ложных тревог ( $P_{\text{л.т.}} \approx 0.1, \dots, 0.2$ ), проигрывает автомата за счет меньшего времени обременения ( $T = 0.2 - 1 \text{ с}$ ) [72]).

**Пример 4.28.** Дистанция до цели равна 10 км. Определить минимальную шумность цели, если обнаруживаемой на этом расстоянии с заданной вероятностью, если шумогенератор работает на частотах  $f = 0.5 \text{ кГц}$  и  $f = 1.5 \text{ кГц}$ .

**Решение.** Пусть  $\delta = 1$ ; площадь антенны  $S_1 = 1 \text{ м}^2$ ;  $\delta = 0$ ;  $a = 2$ ;  $b = 3.6 \cdot 10^{-2}$ ;  $n_p = 1.5$ . Согласно выражению (4.65)  $f_{\text{опт}} = 6.3 \text{ кГц}$ . Из выражения (4.67)  $P_n(1, 1, 1)P_n(1, 1) = 1.27 \cdot 10^3$ . Если  $P_n(1, 1) = 3 \cdot 10^{-3} \text{ Па}$ , то  $P_n(1, 1, 1) = 3.8 \text{ Па}$ . При  $f = 3.16 \text{ кГц}$ ,  $P_n(1, 1, 1) = 5 \text{ Па}$ ; при  $f = 9.45 \text{ кГц}$ ,  $P_n(1, 1, 1) = 4.5 \text{ Па}$ .

**Пример 4.29.** Определить дальность шумогенерирования надводного корабля в условиях прямывательной Атлантики, если погрешность стационарного обнаружения целей в первой зоне акустической тени за счет помех отражений. Глубина освещения равна 5000 м.

**Решение.** В соответствии с кривой 2 рис. 4.9 цель обнаруживается в диапазоне дистанций 64 ... 78 и 128 ... 150 км.

Цели, находящиеся в диапазоне расстояний от шумогенератора 20 ... 50 км, просматриваются при углах наклона характеристики направленности антеннами  $\sim 27 \dots 11^\circ$ . Для углов склонности  $\alpha > 12 \dots 15^\circ$  рефракционный луч можно претерпеть. Тогда  $A_f = V^2(\alpha)$ , где  $V(\alpha)$  — коэффициент отражения звука штором. Погрешность распространения на частоте  $f_s = 1 \text{ кГц}$  с учетом наклона характеристики направленности на этих дистанциях составляет

$$\Pi R = -87.8 + 20 \lg V(\alpha) \quad \text{и} \quad \Pi R = -96.8 + 20 \lg V(\alpha).$$

Если значения коэффициента отражения для данных углов склонения составляют  $V(\alpha) = 0.5 \dots 0.4$ , то диапазон значений погрешности распространения составляет  $\Pi R = -100 \dots 106 \text{ дБ}$ .

Таким образом, для обнаружения целей за счет линий отражений погрешности стаций необходимо помнить на величину 5 ... 11 дБ.

**Пример 4.30.** Рассчитать предельные дальности двухсторонней гидроакустической связи в режиме телефонии на напряжении подводной лодки — надводный корабль. Параметры станций исполнительных:  $f = 8 \text{ кГц}$  [70];  $\Delta f = 420 \text{ Гц}$  [42, 70];  $P_{\text{ш}} = 100 \text{ Вт}$ ;  $\gamma_1 = \gamma_2 = 10$ . Уровень помех в работе ГАС:  $P_n(1, 1) = 3.16 \cdot 10^{-3} \text{ Па}$  (на подводной лодке) и  $3.16 \cdot 10^{-2} \text{ Па}$  (на надводном корабле) (см. рис. 2.10).

\* Допускаем представление дискретной составляющей за счет влияния среды в виде ступенчатого профиля с законом распределения Гаусса.

**Решение.** Уровень излучения, согласно выражению (4.52), равен

$\rho = 81 \text{ дБ}$ . Уровни помех в рабочей полосе станции составляют  $N_{\text{r}}(\Delta f) = -47,5 \text{ дБ}$  и  $-27,5 \text{ дБ}$  соответственно. Коэффициент расстояния  $\alpha(4.59) N_{\text{r}} = 12,5 \text{ дБ}$ . Результаты расчетов показывают обнаружения, согласно выражению (4.55), и дальности обнаружения из номо-

рограмм рис. 4.6 дают:

$$\text{ПО}_1 = -116,5 \text{ дБ}; \quad r_{\text{н.к.} - \text{п.л.}} \approx 23 \text{ км},$$

$$\text{ПО}_2 = -96 \text{ дБ}; \quad r_{\text{п.л.} - \text{н.к.}} \approx 15 \text{ км}.$$

Зводка поправки на направленность приемоизлучающих антенн в горизонтальной плоскости  $20 \lg R_1(40,7) = -3 \text{ дБ}$  и  $20 \lg R_2(40,7) = -3 \text{ дБ}$ , окончательно получаем  $21$  и  $11 \text{ км}$ .

Таким образом, в интересах двусторонней связи расстояние между корреспондентами не должно превышать  $11 \text{ км}$ .

**Пример 4.31.** Определить необходимое чисто голоса при испытаниях ГАС, обеспечивающих определение математического ожидания  $D$  дальности обнаружения с точностью  $\delta D = 1 \text{ км}$ , если:

- известна выборочная нормальная выборка  $s^2 = 6,25 \text{ км}^2$  и ее объем  $n = 11$ ;
- известна дисперсия  $s^2 = 6,25$  при неизвестном объеме выборки.

Закон распределения выборки симметричный одногорициний;

в) известна инверсия  $s^2 = 6,25 \text{ км}^2$ . Закон неизвестен.

**Решение:**

а) выбираем уровень значимости  $\alpha = 0,05$ ;  $\alpha/2 = 0,025$ ;  $k = n - 1 = 10$ . Согласно таблицам [27]  $t_{10; 0,025} = 2,23$ . По (4.97) получаем  $n = 2,23^2 \times 6,25/1^2 = 31,1$ . Берем  $n = 31$ .

б) в соответствии с [37]  $t_k; 0,025 = (2/3)0,05 - 0,5 \approx 3,0$ ;  $n = 3^2 \times 6,25/1^2 = 56,3$ . Берем  $n = 56$ .

в)  $t_k; 0,025 = 1/\sqrt{0,05} = 4,47$ ,  $n = 4,47^2 \cdot 6,25/1^2 = 125$ .

**Пример 4.32.** Использование промеделов. Получены выборочные значения  $\bar{x}$  и  $s^2$ . Определить доверительный интервал при доверительной вероятности  $\beta = 0,95$  для математического ожидания дальности. Число галсов было  $n = 31$ .

**Решение.** Доверительный интервал по (4.102) равен

$$\epsilon_1, D = 3,16 \cdot 2,23 / \sqrt{31} = 1,27,$$

следовательно,  $8,73 < \bar{x} < 11,27$ . Определяем  $\chi^2_{30; 0,025} = 46,98$ ;  $\chi^2_{30; 1 - 0,025} = 16,79$ . Согласно (4.103) имеем

$6,39 < \sigma_D^2 < 18,00$ .

$$0,418 < \rho < 0,582.$$

**Пример 4.34.** Цепь обнаруживалась 20 раз на дальностях  $9,5$ ,  $9,8$ ,  $9,4$ ,  $9,4$ ,  $10,2$ ,  $11,4$ ,  $9,2$ ,  $11,7$ ,  $10,9$ ,  $10,2$ ,  $8,7$ ,  $10,5$ ,  $9,2$ ,  $10,1$ ,  $9,9$ ,  $9,3$ ,  $10,5$ ,  $10,9$ ,  $10,8$ . Расстояния приведены в километрах. Определить дальность действия ГАС при  $75\%$  вероятности обнаружения ( $\alpha = 0,75$ ) и указать границы доверительного интервала с доверительной вероятностью  $\beta = 0,95$ .

**Решение.** Пользуясь выражениями (4.117) и (4.118), определяем параметры распределения  $D = 10 \text{ км}$ ;  $S = 0,88 \text{ км}$ . Вероятностная величина  $\rho$  согласно (4.121) равна  $\rho = 0,025$ . Из таблицы интеграла Ф(з) находим  $K_a = 0,6745$ ;  $K_b = 1,96$ . Решая уравнения (4.123), получаем граничины доверительного интервала  $D_a = 10 - 1,27 \cdot 0,88 = 8,88 \text{ км}$ ,  $D_b = 10 - 0,23 \cdot 0,88 = 9,80 \text{ км}$ .

Таким образом, дальность действия ГАС при  $75\%$  вероятности обнаружения цепи лежит в пределах от  $8,88$  до  $9,80 \text{ км}$  и это утверждение справедливо с вероятностью  $95\%$ .

**Пример 4.35.** В современных судовых ГАС реализован импульсный метод определения дистанции до цели с ЭЛЛ и линейной разверткой в качестве регистратора момента прихода эхо-сигнала. Каким временным захватом эхо-сигнала соответствуют расстояния до цели в море  $10,15$  и  $69 \text{ км}$ ?

Скорость звука принята равной  $1500 \text{ м/с}$ . Какую дальность цели снял метр с индикатором оператора, если первой следования импульсов равен  $T_n = 7,3 \text{ с}$  с цепь удалена от ГАС на  $10 \text{ км}^0$ .

**Решение.** По окольку  $t = 2r/c$ , то  $t_1 = 13,3 \text{ с}$ ;  $t_2 = 20 \text{ с}$ ;  $t_3 = 40 \text{ с}$ ;  $t_4 = 80 \text{ с}$ .

Если цепь удалена от гидролокатора на  $r = 10 \text{ км}$ , а период следования импульсов стал  $T = 7,3 \text{ с}$ , то каждый отраженный сигнал, принятый гидролокатором, будет попадать на вторую развертку. По окольку измеряемое время западания равно  $t_{\text{н.к.}} = t_1 - T_n = 6 \text{ с}$ , оператор снимет расстояние до цели, равное  $t = 4,5 \text{ км}$ .

**Пример 4.36.** На какой интервал по дальности смеется отметка от цепи на ЭЛЛ с линией развертки, если цепь находится на  $r = 10 \text{ км}$ , а длина развертки в следствие нестабильности работы изменилась до  $95 \text{ мм}$ ? В каких пределах лежат изменения измеряемой дальности сечения изображения дальности развертки составляет  $1,13 \text{ см}^2$ ?

**Решение.** 1. Составим пропорцию  $13,3/100 = x/95$ . Отсюда  $x \approx 0,6 \text{ км}$ . 2. Аналогично (пр. 4.34)  $\Delta r \approx 1 \text{ км}$ .

Однако цепи по одному посыпке, в которой заключена вероятность обнаружения цепи по одному посыпке.

**Решение.** Применим применимость нормального закона:  $\mu r = 50$   $n(1 - \rho) = 50$ . Об величинах больше четырех, следовательно, нормальные законы применимы. По заданной доверительной вероятности  $\beta = 0,9$ , параллельный интервал для вероятности обнаружения:

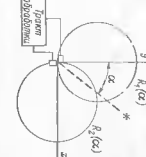
$$0,418 < \rho < 0,582.$$

импульсом с углом  $\varphi_{\text{рак}} = \pi/2$ , т.е. вектором, направленным по рабочему радиусу, максимальный временной запаздывание  $t_p$ . Чему равно времена запаздывания сигналов, изображенные с помощью ЭП?

**Решение.** При любом цикле что-либо, удовлетворяющем неравенству  $nT_p < t_p$ , измеренное время запаздывания будет равно

$$t_{\text{изм}} = t_p - nT_p,$$

Рис. 4.25. К примеру 4.38



**Пример 4.38.** В океанографических исследованиях широкое применение нашли гидротакты с частотным методом определения дистанции до цели. Описать характер влияния эффекта Доплера на значение частоты при симметричном изменении частоты излучения. Каким образом при наименьшем доплеровском сдвиге частоты отраженных сигналов обеспечить точное измерение дальности?

**Решение.** Обратимся к рис. 4.13. В каждый момент частота отраженного сигнала будет увеличена на величину  $f_p$ . Разностная частота  $f'_p = |f_p - f_1|$  в течение одного периода модуляции будет увеличена на  $f_p$ , то есть в течение другого — уменьшена на эту величину. Следовательно, дистанция до цели определяется с ошибкой. Для устранения этой ошибки необходимо осуществить разделение измерение разностной частоты за каждую половину периода частотной модуляции ГАС: за одну половину периода  $f_1 = f_p - f_r$  и за вторую  $f_2 = f_p + f_r$ . Полусумма частот  $f_1$  и  $f_2$  позволит однозначно определить дальность до цели

$$r = \frac{c(f_1 + f_2)}{8\Delta f}.$$

**Пример 4.39.** Для пеленгования целей в судовой ГАС используются антенны с круговыми диаграммами направленности (рис. 4.25).

Выходное напряжение приемника пропорционально отношению амплитуд приемляемых сигналов. Найти пеленгационную характеристику и чувствительность пеленгатора в пределах угла  $2\beta$ .

Определить разрешающую способность пеленгатора при допустимом изменении пеленгационной чувствительности в 10 раз и максимальном значении угла  $\alpha = 70^\circ$ .

**Решение.** Найдем пеленгационную характеристику. Согласно условию она равна

$$y_{\text{пел}}(\alpha) = kR_1(\alpha)/R_2(\alpha) = kR_1 \cos \alpha / k_2 \sin \alpha = a \operatorname{ctg} \alpha,$$

для пеленгационной чувствительности, согласно (4.78), имеем

$$S_{\text{пел}} = d(a \operatorname{ctg} \alpha) / da = -a (1 + \operatorname{ctg}^2 \alpha).$$

Поскольку чувствительность изменяется в 10 раз, то

$$S_{\text{пел, макс}} = d(a \operatorname{ctg} \alpha) / da = -a (1 + \operatorname{ctg}^2 \alpha).$$

Остальная часть  $= 17^\circ$ . Рабочая зона пеленгатора в пределах от 17 до  $70^\circ$ .

**Пример 4.40.** Оценить возможность пеленгования устройством, (см. рис. 4.15), если осуществлять искусственный сдвиг фаз не равный  $\pi/2$ .

**Решение.** Рассмотрим направления в каналах схемы:

$$u_x = y = b_1 \sin \omega t, \quad u_d = x = a_1 \cos \omega t. \quad (4.137)$$

Здесь  $b_1 = 2k \cos(\varphi/2)$ ;  $a_1 = 2k \sin(\varphi/2)$  — коэффициенты пропорциональности.

Введем в один из каналов фазу  $\psi$ :

$$y = b_1 \sin(\omega t + \psi), \quad x = a_1 \cos(\omega t - \psi). \quad (4.138)$$

Использовав выражения (4.138) в время  $t$ , получим

$$x^2/a_1^2 + y^2/b_1^2 = 2k^2 \sin^2 \psi / a_1 b_1 \approx \cos^2 \psi, \quad (4.139)$$

представляющее собой уравнение эллипса. Большая ось эллипса открыта от оси  $y$  на угол  $\beta$ , который равен

$$tg 2\beta = 2a_1 b_1 \sin \psi / (b_1^2 - a_1^2). \quad (4.140)$$

Скрадывая величины  $a_1$  и  $b_1$ , имеем

$$\tan 2\beta = tg \psi \sin \psi. \quad (4.141)$$

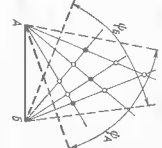
Полуподс расматриваемого импульса равны

$$a_1 = \sqrt{(1 - \sqrt{1 - \sin^2 \psi \cos^2 \psi})/2}, \quad b_1 = \sqrt{(1 - \sqrt{1 - \sin^2 \psi \cos^2 \psi})/2}, \quad (4.141)$$

где  $1/2 = 2k$ . При  $\alpha = 0$ ,  $\psi = 0$ ;  $\beta = 0$  эллипс превращается в вертикальную линию  $y$  — прямую линию;  $\alpha = 0$ ,  $\psi = 2k = \pi/2$ .

При использовании неизправимых приемников с увеличением угла  $\alpha$ , следовательно, свита фигура эллипс, поворачивающийся, изменяет свою форму. При  $\beta = 0$  эллипс превращается в горизонтальную прямую. При изменении направления приемника с увеличением угла  $\alpha$  и параллельных размеров. Таким образом, пеленгование при  $\psi \neq \pi/2$  возможно.

Пример 4.41. Для береговых шумоизоляционных систем используя для определения количества цепей укажут длины шумозащитных пристройств имеющие в осмогидравлическом утранении неизменность?



Решение. Если при обеих ГАС быстро и независимо перемещаются в пределах секторов, то произвольное соединение пентагонов двух стендов покажет  $n^2$  цепей, т. е. нознанность можно устранить за счет сканирования лучей с разными скоростями. Например, лучи первой ТАС превратят на свою ширину за время обзора лучом второй ГАС всего сектора.

Пример 4.42. Оценить расчетную точность пеленгования по фазовому методу, если дополнительный сдвиг по фазе сделан не равным  $\pi/2$ ,  $\vartheta < \pi/2$ .

**Решение.** Из (4.141) для малых  $\Delta\varphi$  малое изменение наклона эллипса  $\Delta\beta$  равно

$$\Delta\beta = (\Delta\varphi \sin \vartheta)/2.$$

Поскольку  $\Delta\varphi = 2\pi d\Delta\alpha/\lambda$ , для расчетной точности  $\Delta\alpha$  в градусах получим

$$\Delta\alpha^\circ = \Delta\beta^\circ \lambda / \pi d \sin \vartheta.$$

Так, если  $\Delta\beta^\circ = 0,5^\circ$  и  $1,0^\circ$ , то при  $\vartheta = 45^\circ$  точность пеленгования составляет  $\Delta\alpha = 0,1^\circ$  и  $0,2^\circ$  соответственно.

При сдвиге фазы не равном  $\pi/2$  определение угловой координаты устройствами с фазовым методом пеленгования осуществляется повышенными точностями.

Пример 4.43. Возможно ли пеленгование по фазовому методу, если дополнительный сдвиг по фазе  $\vartheta$  в один из каналов не будет, т. е.  $\vartheta = 0$ .

**Решение.** Возьмем в квадрат (4.139) и складываям

$$x^2/a_1^2 + y^2/b_1^2 = 1.$$

Данное уравнение является уравнением эллипса. В момент точного на правления на цель эллипс превращается в прямую линию. Таким образом, если не вводить дополнительный сдвиг фаз, то пеленгование возможно. Заметим, что выражение (4.142) можно получить из (4.139), если положить  $\vartheta = 0$ .

Пример 4.44. Определить возможность пеленгования цепи с помощью базы АВ, расположенной к горизонтальной плоскости горизонта под углом с помостью базы АВ. Среду считать однородной (рис. 4.27).

**Решение.** Согласно рис. 4.27 для разности фаз на выходе приемника базы АВ имеем:

$$\varphi_{AB} = kdA_B \sin \alpha \cos \beta; \quad k = 2\pi/\lambda.$$

Для определения направления и угла места цели в этом случае необходимо комбинировать разность фаз на выходе еще одной базы, detta, находящейся к плоскости пеленгования под углом  $90^\circ$  к базе АВ:

$$\varphi_{AC} = kdA_C \cos \alpha \cos \beta.$$

Таким образом,

$$\alpha = \arctg [dA_C \varphi_{AB} / dA_B \varphi_{AC}];$$

$$\beta = \arctg \cos [\varphi_{AC} / kdA_C \cos \alpha] = \arctg \cos [\varphi_{AB} / kdA_B \sin \alpha].$$

Пеленгование возможно.

Пример 4.45. Оценить ошибки пеленгования антенной решеткой с компенсацией только в горизонтальной плоскости за счет вертикальной рефракции акустических лучей, наклона морского дна и рассеяния звука на недлиннородных морской среды. Размер базы  $d = 1$  м, рабочая частота  $f = 4,0$  кГц.

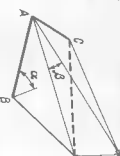
**Решение.** Допустим сектор пеленгования ограничивается углами  $\pm 60^\circ$  от направления нормали к базе. Пусть угол скольжения лучей, проходящих к базе, имеет максимальное значение  $a_0 = 10^\circ$ . Тогда в соответствии с выражением (4.88) ошибка пеленгования на границах сектора будет равна

$$\Delta\alpha = \sin \vartheta (1 - \cos a_0) \approx 0,74^\circ.$$

Для определения ошибки пеленгования за счет наклона дна обратимся к (4.89). Пусть наклон дна составляет  $\theta = 2 \dots 5^\circ$ . Тогда в условиях однородной среды при  $a_0 = 30^\circ$  получим

$$\Delta\alpha \approx 1,1^\circ \text{ и } 2,86^\circ.$$

Ошибку пеленгования, применительно к фазовому методу, за счет среды определим выражению (4.91), где величина  $a_0^2$  определяется из выражения  $a_0^2 = 8 \cdot 10^{-10}$ . Если  $f_0 = 40$  кГц;  $k = 16,8$ ; тогда при  $r = 10$  км  $\Delta\varphi = 4,47 \cdot 10^{-2}$  и  $\Delta\beta = 0,15^\circ$ .



могут появляться значительные всплески.

**Пример 4.46.** Получить выражение для показателей эффективности при использовании одномерных функций полезности, изображенных на рис. 4.1.

Решение. Для рис. 4.1 функция  $L(D)$  имеет вид

$$L(D) = \begin{cases} 1 & \text{при } D \geq D^* \\ 0 & \text{при } D < D^*. \end{cases}$$

После интегрирования (4.7) в предположении закона Гаусса для  $f(D)$

$$\begin{aligned} \mathcal{E}(D) &= \int_{-\infty}^{\infty} f(D)dD = 0,5 - \Phi\left(\frac{D^* - \bar{D}}{\sigma}\right) = 0,5 - \Phi\left(\frac{D^* - \bar{D}}{0,43d_{0,5}}\right) = \\ &= 0,5 - 0,5 \Phi_0\left(\frac{D^* - \bar{D}}{0,43d_{0,5}}\right), \end{aligned}$$

$$\Phi(z) = \frac{1}{\sqrt{2\pi}} \int_0^z \exp(-t^2/2) dt, \quad \Phi_0(z) = \frac{2}{\sqrt{2\pi}} \int_0^z \exp(-t^2/2) dt.$$

Видим, что при  $D^* \rightarrow \infty$ ,  $\mathcal{E}(D) = 0$ . При  $D^* = \bar{D}$ ,  $\mathcal{E}(D) = 0,5$ , а при  $D^* = 0$ ,  $\mathcal{E}(D) = 1$ .

Согласно рис. 4.1 функция  $L(D)$  в области  $D^* - \Delta D < D < D^* + \Delta D$  определяется выражением

$$L(D) = \frac{(D - \bar{D}) - (D^* - \bar{D}) + \Delta D}{2\Delta D}, \quad (4.143)$$

соответственно в области  $D < D^* - \Delta D$ ,  $L(D) = 0$ , а при  $D > D^* + \Delta D$ ,  $L(D) = 1,0$ .

Выражение же показывает эффективности с учетом (4.143) примет вид

$$\begin{aligned} \mathcal{E}(D) &= \int_{D^* - \Delta D}^{D^* + \Delta D} \frac{(D - \bar{D}) - (D^* - \bar{D}) + \Delta D}{2\Delta D} f(D) dD + \int_{-\infty}^{D^* - \Delta D} f(D) dD, \\ &= D_p^* - \bar{R} - \Delta R, \end{aligned} \quad (4.144)$$

после разделения первого слагаемого на два интеграла и некотором преобразованием получаем

$$\begin{aligned} \mathcal{E}(D) &= 0,5 - 0,5 \frac{R^* - \bar{R} + \Delta R}{2\Delta R} \Phi_0(R^* - \bar{R} + \Delta R) + \\ &+ 0,5 \frac{R^* - \bar{R} - \Delta R}{2\Delta R} \Phi_0(R^* - \bar{R} - \Delta R). \end{aligned}$$

Далее  $R^* = \bar{R} + \Delta R$

$$\begin{aligned} \mathcal{E}(D) &= 0,5 - 0,5 \frac{R^* - \bar{R} + \Delta R}{2\Delta R} \Phi_0(R^* - \bar{R} + \Delta R) + \\ &+ 0,5 \frac{R^* - \bar{R} - \Delta R}{2\Delta R} \Phi_0(R^* - \bar{R} - \Delta R) = \\ &= \frac{0,5}{\sqrt{2\pi\Delta R}} \left\{ \exp\left[-\frac{(R^* - \bar{R} + \Delta R)^2}{2}\right] - \exp\left[-\frac{(R^* - \bar{R} - \Delta R)^2}{2}\right] \right\}, \end{aligned} \quad (4.145)$$

Можно утверждать, что требовать дальность пепечукования от ГАС более 8 км целесобойно, поскольку на этих расстояниях эффективность оружия низка. Выбрав функцию  $L(D)$  (4.1, a) где  $D = D_{tp}$  = 8 км. В соответствии с формулой (4.7) получим

(4.145), вспомогательная функция  $\Phi_0$ , вспомогательные параметры  $(R^* - \bar{R})$  и  $\Delta R$ , представлена на рис. 4.28.

При определении действий ГАС находящимися в спектре пищевого излучения положений § 4.5;

— выборе из тактических соображений функции полезности  $L(D)$  и значений  $D^*$  и  $\Delta D$ ;

— выбора величин  $R^* - \bar{R}$  и  $\Delta R$ ;

— нахождении с помощью графиков рис. 4.28 значений функции  $\mathcal{E}(D)$ ;

$\mathcal{E}(D) = \mathcal{E} |(R^* - \bar{R}), \Delta R|$ .

На основании графиков рис. 4.28 можно сделать выводы о том, что эффективность системы  $\mathcal{E}(D)$  зависит от двух факторов:

— расположения центров распределений функций  $L(D)$  и  $f(D)$ ;

— ширины области линейного изменения функции  $L(D)$ , т. е. от величины  $\Delta R$ .

При совпадении центров распределения ( $D^* - \bar{D}$ ) значение  $\mathcal{E}(D)$  при любых  $D$  оказывается равным 0,5.

При  $\Delta D = 0$  линейная аппроксимация переходит в ступенчатую, а выражение (4.145) в (4.7). При  $\Delta D = \infty$  линейная аппроксимация принимает форму прямой, параллельной оси абсцисс, при этом  $\mathcal{E}(D) = 0,5$ . Эффективность системы равна 0, если  $D^* \gg D$  и максимальна при  $D \leq D^*$ .

В промежуточных случаях эффективность системы изменяется в соответствии с зависимостью (4.145).

Приложим полученные соотношения конкретным расчетом.

Допустим, что дальность действия ГАС надводного корабля на покосной скорости  $v_p$  определяется законом Гаусса с параметрами  $D = 10$  км и  $10/D = 20\%$  в эффективности противолодочного оружия характеризующих следующими данными:

$$\begin{array}{ccccccccccccc} D, \text{ км.} & \cdots & 4 & 6 & 8 & 10 & 12 & 14 \\ \text{Норм. Пл.} & \cdots & 0.95 & 0.90 & 0.80 & 0.70 & 0.60 & 0.50 \end{array}$$

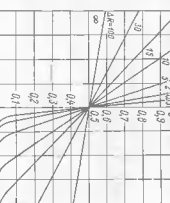


Рис. 4.28. Графическая зависимость  $\mathcal{E} = \mathcal{E} |(R^* - \bar{R}), \Delta R|$ .

$$J(D) = \int_{-\infty}^{\infty} L(D) f(D) dD = 0.5 - 0.5 \Phi \left[ \frac{8 - 10}{2} \right] = 0.84.$$

Ужестоящие требования к ГАС по дальности штепселяции до 10 и 12 км при том же виде функции полезности приводят к снижению пока заты эффективности до 0,5 и 0,16 соответственно.

Представление функции полезности в виде (4.1, б) с параметрами  $D^* = 8$  км,  $\Delta D = 2$  км в соответствии с рис. 4.28 дает величину показателя 3, равную 0,75.

Данный пример подтверждает необходимость чистового обоснования выбора вида функции полезности при оценке эффективности ГАС.

## СПИСОК ЛИТЕРАТУРЫ

1. Абдул В. А., Судаль В. Г. Порядок обработки. М.: Суд. радио, 1977. 334 с.
2. Акустическая окисалютная полоса. Гер. II. М.: Прометей, 1974. 694 с.
3. Акустическая окисалютная полоса. Гер. II. Спец. патент. Год. рец. Дк. Святое. М.: Мин. пр-ва, 1982. 318 с.
4. Акустическая окисалютография. Пер. с англ. М.: Мир, 1980. 580 с.
5. Алексеев А. Г. Вычисление поля методом нормированной линии для определения акустической скорости звука в гидроакустической модели моря при стационарной зависимости скорости от глубины. Гер. VIII. Всесоюз. акуст. конф. М.: 1973. С. 25.
6. Он же. О порядке метода расчета поля в сплошно-нелинейных средах // Пр. акуст. института, 1970. Вып. VIII. С. 5.
7. Андрианов И. Б. Физические основы распространения звука в океане. Л.: Гидрометеопиздат, 1975. 189 с.
8. Антонов В. А., Матвеенко В. Н., Тарасов Ю. Ф. Поле точечного гармонического источника в сплошно-нелинейной среде: Межвузовский сб. докл. Л.: 1976. Вып. 59. С. 7.
9. Архипов Б. С. О направляемости цилиндрических преобразователей // Вопр. радиотехники, Сер. XII общеэлектронная. 1966. № 3. С. 31-37.
10. Башкиров А. Е., Флеров Б. С. Методика статистического поисково-анализического анализа и приложения. М.: Сов. радио, 1962. 352 с.
11. Бейтман Г., Эрдле А. Высшие трансцендентные функции. В 2 ч. М.: Наука, 1967. Ч. 1, 2. 299 с.
12. Беккер А., Тироль А. Применение корреляционного и статистического анализа. Пер. с англ. М.: 1963. 312 с.
13. Благушанин М., Нюхом А., Юберат Х. Сравнение лучевой теории, модифицированной лучевой теории и теории нормальных волн для случая глубокого моря с производными профилями скорости звука // Журн. акуст. СССР. 1974. Т. 55. № 6.
14. Борис Г. В., Щенок К. Е. Упрощенное колоколеобразное изображение минимума // Кандидатская степень в стажировании и предисловие к докторской. Геодезия информации и ее применение: Пер. с англ. М.: Олимпия, 1959. 150 с.
15. Бородин В. И., Смирнов Г. Е., Толстиков Н. А., Яковлев Г. В. Гидроакустические напоминающие спектры. Л.: Судостроение, 1953. 261 с.
16. Борис Г. В., Щенок К. Е. Упрощенное изображение минимума // Акуст. М.: Сов. радио, 1961. 350 с. Т. 1, 2.
17. Басин В. В., Степанов Б. М. Справочник-записник по радионавигации. М.: Гидрометеоиздат, 1983. 264 с.
18. Васин В. В., Степанов Б. М. Теоретические основы акустики окисалютной выработки // Акуст. СССР, 1977. 315 с.

18. Ван Трек Г. Теория обнаружения, оценок и модуляции. Пер. с англ. М.: Суд. радио, 1975. Т. I. III
19. Вактишин Е. С. Теория вероятностей. М.: Наука, 1969. 576 с.
20. Воздушное обнаружение целей на излучателе с яростной модуляцией с азим. // Экспресс-информ. ВИНИТИ. 1963. № 34. С. 1-5.
21. Вопросы динамической теории распространения сейсмических волн. М.: Наука, 1968. Вып. 6. 1970. Вып. 10.
22. Вандер Ф. М. Теория вероятностей и теория информации с применением радиоэлектроники. М.: Сов. радио, 1955. 128 с.
23. Гарифов М. В. Виброрадионавигация на судах. М.: Трансорт, 1970. 201 с.
24. Григорьев Н. Г., Герасимов В. А., Карповский М. И. Помехоустойчивость типового тракта обнаружения сигналов. Канд. Техн. наук, 1971. 189 с.
25. Гидроакустика за 20 лет. Год. рец. Ю. Ф. Тарасова. Л.: Судостроение, 1975. 172 с.
26. Гильельс., Сабатин. Основы акустической мори. Л.: Гидрометеонадз., 1967. 212 с.
27. Гуревич В. Г., Корнеев А. Г., Тихонов В. И. Статистическая радиотехника. К.: Техника и здравоохранение, 1962. 452 с.
28. Гуткин Л. С. Теория оптимальных методов радиотелеметрии при флюктуационном излучении. М.: Сов. радио, 1972. 447 с.
29. Гуревич А. А., Гусев Н. И., Яковлев Г. В. и др. Гидроакустические системы с побочными проекциями биокорреляции антенными // Судостроение за рубежом. 1984. С. 34-53.
30. Завьялов И. М. Номограммы для определения некоторых характеристик волнового поля распространения в окисалюте // Гер. Гидрометролог. ин-та. 1970. Вып. 4. С. 12-17.
31. Камп П. Пополнение акустики: Пер. с англ. М.: Мир, 1972. 324 с.
32. Клюиков И. Б. Борьба с шумом и звуковыми излучениями на судах. Л.: Судостроение, 1971. 416 с.
33. Колмогоров А. Н. Интегральное и экстремальное статистическое слушание посредством анализа АН СССР: матем. М.: Мир, 210 с.
34. Колчанская Л. С. Гидроакустические станицы. Л.: Судостроение, 1982. 236 с.
35. Колчанская Л. И., Поляников М. Д. Морские испытания новой гидроакустической станции // Радио, косм. 1975. № 12.
36. Клюиков И. Б. Вопросы оценки параметров сигналов при наличии помех. М.: Сов. радио, 1969. 244 с.
37. Левин В. Р. Теоретические основы статистической радиотехники. В 2 т. М.: Сов. радио, 1968. Т. 2. 502 с.
38. Логинов К. В. Гидроакустическая помеховая приборы. М.: Изд. пром-ства, 1971. 440 с.
39. Матвеенко В. Н., Тарасов Ю. Ф. Дальность действия гидроакустических средств. Л.: Судостроение, 1981. 203 с.
40. Математические проблемы геодезии. Сб. статей. Новосибирск, 1979.
41. Миллер Д. Введение в статистическую теорию связи. Пер. с англ. В. т. Вып. 1. Вып. 2.
42. Митко В. Б., Ершов А. П., Гущин С. Е. Гидроакустические средства связи и мониторинга. Л.: Судостроение, 1982. 200 с.
43. Ольшанский В. В. Статистические методы в гидролокации. Л.: Судостроение, 1973. Т. 201 с.
44. Он же. Энергетическая теория оптимальных частот в гидролокации // Акуст. М.: Сов. радио, 1961. 350 с. Т. 1, 2.
45. Плавающий акустик // Пер. с англ. М.: Мир, 1965. Ч. 1.
46. Плодородный Г. М., Благородный В. С., Халикович В. В., Носов А. И. и др. Теоретические основы горизонтального оружия. М.: МО СССР, 1969. 360 с.

43. Простаков А. П. Гидроакустика плавсреды и радиотехника. М.: Сов. радио, 1971.
44. Простаков А. П. Гидроакустика и корабль. Т.1: Судостроение. 1967. № 1.
45. Он же. Электрический киток к окну. С: Судостроение. 1981. № 1.
46. Применение цифровой обработки сигналов: Пер. с англ./Под ред. Олимпера М. М.: Мир, 1980. 550 с.
47. Радиоакустические устройства/Под ред. В. В. Григорьева-Рябова. М.: Сов. радио, 1970. 620 с.
48. Раков В. И. Эффективность судовых радиолокационных систем. Л.: Судостроение, 1974. № 327.
49. Ремах У. Р. Влияние доплеровской модуляции на обнаружение и разрешающую способность при использовании согласованных фильтров/Пр. якн. заяв. по акустопротивнице и радиолокаторам. 1966. Т. 54, № 1.
50. Раков В. И. Акустическая обработка сигналов с точки зрения доплеровского эффекта/Пр. якн. заяв. № 38-48.
51. Раков В. И. Радиолокационные сигналы и их обработка. М.: Сов. радио, 1977. 446 с.
52. Ремах У. Р. А. О расчетах на ЦВМ акустических характеристик звукоизлучателя в морской среде/Пр. № 1. Вестник акуст. конф. М.: 1963.
53. Ремах У. Р. А. Оценка скорости звука в море. Л.: Гидрометиздат, 1973. 136 с.
54. Раков В. И. Сигналы, полученные с точки зрения доплеровского эффекта/Пр. якн. заяв. № 38-48.
55. Савостьян С. М. Радиолокационные сигналы и их обработка. М.: Сов. радио, 1966. 320 с.
56. Севан Е. А. О расчетах на ЦВМ акустических характеристик звукоизлучателя в морской среде/Пр. № 1. Вестник акуст. конф. М.: 1963.
57. Серавин Г. Н. Импульсные скорости звука в море. Л.: Гидрометиздат, 1973. 132 с.
58. Скурик Е. Основы акустики. М.: Мир, 1976. 520 с.
59. Смирнов М. Д. Направленность гидроакустических антенн. Л.: Судостроение, 1973. 276 с.
60. Справочник по гидроакустике/Под ред. А. Е. Колесникова. Л.: Судостроение, 1982. 382 с.
61. Ставанс К. Направление границы дальности действия радиолокационных станций//Вестн. радиотехники техники. 1958. № 3.
62. Судостроение за рубежом. 1983. № 2. 1983. № 5.
63. Суварна Н., А., Сурик В., Филип Г. Д. Некоторые особенности построения новых моделей гидроакустического обнаружения. Дальномеростроительная сборка. Владивосток, 1975. Вып. 1. С. 94-99.
64. Табакин Д. Ракеты скорости звука в морской воде/Под ред. В. Н. Федо- ташвили/Бюл. радиотехнической техники. 1965. № 56 с.
65. Тихонов В. И. Статистическая радиотехника. М.: Радио и связь, 1982. 622 с.
66. Труды аспирантской школы – семинара по статистической гидроакустике. Новосибирск: Наук. Т. 1. 1971. Т. 1V. 1973.
67. Урик Е. Д. Основы гидроакустики: Пер. с англ. Л.: Судостроение, 1978. № 444 с.
68. Физическая основа подводной акустики: Пер. с англ. М.: Сов. радио, 1955. № 39 с.
69. Хортон Дж. У. Основы гидроакустики. Пер. с англ. Л.: Судостроение, 1961. № 172 с.
70. Чарльз Э. Е. Гидроакустическая генетика в океанологии. Л.: Изд-во ИГУ, 1978. 147 с.
71. Шелков С., Фрик Г. Акустическая теория и практика. М.: Сов. радио, 1955. № 104 с.
72. Щетиников Л. В. Волновые задачи гидроакустики. Л.: Судостроение, 1972. № 48 с.
73. Ширман Я. Д., Максос В. Н. Теория и техника обработки радиолокационной информации на фронт помех. М.: Радио и связь. 1981. № 416 с.
74. Яковлева А. Н., Калюга Г. П. Гидроакустический ближний дистанции. Л.: Судостроение, 1983. № 199 с.
75. Яноши Г. Теория и практика обработки результатов измерений. М.: Мир, 1968. 280 с.
76. Andrews F. An analysis of operation of passive sonar having a finite output spectrum. Proc. IEEE Int. Conf. Eng. Ocean Environ., Seattle Wash., 1973

## ОГЛАСЛЕНИЕ

### Предисловие

### Глава 1

#### Направленность судовых акустических антенн

§ 1.1. Параметры, характеризующие направленность акустических антенн	5
§ 1.2. Направленность основных типов акустических антенн	5
§ 1.3. Управление формой ПН	17
§ 1.4. Влияние конструктивных особенностей антенн на их акустическое параметры	27

### Примеры к главе 1

### Глава 2

#### Помехоустойчивость судовых гидроакустических систем

§ 2.1. Элементы статистической теории обнаружения примесей	67
только к заданным, решаемым в гидроакустике	67
§ 2.2. Характеристики гидроакустических сигналов и помех	80
§ 2.3. Оптимальные гидроакустические обнаружители	102
§ 2.4. Оптимальная гидроакустическая система	106
§ 2.5. Помехоустойчивость приемных трактов ГАС	114

### Примеры к главе 2

### Глава 3

#### Моделирование

§ 3.1. Моделирование статистической теории обнаружения примесей	117
§ 3.2. Моделирование гидроакустических сигналов	121
§ 3.3. Моделирование приемных трактов ГАС	125

duct in the sea//J. Acoust. Soc. Amer., 1975. Vol. 57, № 5.

78. Boooton R. C. An Optimization Theory for Time Varying Linear Systems with nonstationary statistical Inputs//Proc. IR E. 1952. Vol. 40, № 8.

79. Clark Jones R. On the Theory of the directional patterns of continuous source distributions on the plane surface//J. Acoust. Soc. Amer., 1975. Vol. 60, № 3.

80. Davis R. C. On the Theory of Prediction of nonstationary stochastic processes//J. Appl. Phys., 1952. Vol. 23 N 9.

81. Dolph C. L. A Current Distribution of Broadside Arrays which optimizes the relationship between Beamwidth and Side Lobe Levels//Proc. IR E. 1946.

82. Garrison E. Sound absorption measurements at 10–60 kHz in near-freezing seawater//J. Acoust. Soc. Amer., 1975. Vol. 58 N 3.

83. Fisher K. Über die physikalische der künstlichen Charakteristik einer beliebigen Anordnung von stabbau in Raum//Fizikalische Nachrichten Technik, 1931. Bd. 5. H. 2.

84. Flade F. E. Long-range sound propagation in the deep ocean//J. Acoust. Soc. Amer., 1967. Vol. 41 N 2.

85. North D. O. Analysis of Factors which determine Signal to Noise Discrimination in Pulse Target Systems. Rep. RIR-65, RKA, Princeton, 1943.

86. Tow Approaches to 50% probability of detecting Targets by Sonar//J. Acoust. Soc. Amer., 1975. Vol. 57 N 1.

87. Thorp W. H. Analytic description of the low-frequency attenuation coefficient//J. Acoust. Soc. Amer., 1967. Vol. 42. N 1.

88. Trunn G. L. An Introduction to Matched Filters//Trans IRRL on Inform. Theory. Vol. IT-16. N 3.

89. Zuker R. J. Sound propagation in the sea Washington, 1979.

90. Wiener N. Extrapolation Interpolation and Smoothing of Stationary Time Series. John Wiley, 1949.

91. Zadeh L., Ragazzini J. An Extension of Wiener's Theory of Prediction//J. Appl. Phys., 1950. Vol. 21, N 7.

Глава 3.	Распространение искусственных сигналов в океане . . . . .	142
3.1. Характеристика океана как звукопроводящей среды . . . . .	142	
3.2. Основные методы измерения звука в морской среде . . . . .	154	
3.3. Распространение звука в „глубоком море“ . . . . .	163	
3.4. Распространение звука в глубоком море . . . . .	170	
Примеры к главе 3 . . . . .	185	

Эффективности судовых гидроакустических средств . . . . .	201
§ 4.1. Методология оценки эффективности ГАС . . . . .	201
§ 4.2. Акустическое характеристики объектов обнаружения . . . . .	205
Методика оценки при оценке эффективности судовых ГАС . . . . .	214
§ 4.3. Платность действия судовых ГАС . . . . .	214
§ 4.4. Теоретические методы определения акустических координат целей . . . . .	234
§ 4.5. Экспериментальные методы определения акустических характеристик целей и параметров ГАС . . . . .	249
Примеры к главе 4 . . . . .	260
Приложения . . . . .	284

На стр. 123 4 и 5 строку снизу следует читать:

Решение. На спектрограмме (кризис //) видно, что уровень теплового шума возрастает  $\sim$  6 дБ на октаву.

## Опечатка

Производственное издание

автора Александра Петрович  
Ляпинко Валентина Борисович

## ИНЖЕНЕРНЫЕ РАСЧЕТЫ В ГИДРОАКУСТИКЕ

главный редактор И. К. Зубарев

редактор А. В. Ольхина

Куложественный редактор Э. А. Дубаев

технический редактор Е. А. Попкова

корректора Г. С. Александрова, С. Н. Макосяк

№ 1051

Год письма 1976 г. Печать 07.09.88 № 27765. Образат 60 л 90 116. Бумага оф-

фсетная № 1. Печать офсетная, усл. печ. л. 18,0. Усл. кр.-отт. 18,75. Уч.-изд. л. 18,7.

яртаж 4100. Изд. № 3945-84. Знаки 605 Цвет 1 р.

издано в издательстве „Судостроение“ на заборно-печатном автоматах отографо-

рами И. В. Дроновой, В. А. Шестаковой.

издательство „Судостроение“, 191065, г. Ленинград, ул. Гоголя, 8.

Ульяновская типография Соколомонографии при Государственном комитете СССР  
о делах изобретений, патентов и промышленной собственности, г. Тула, пр. Ленина, 109.